

AUTOSTRADA (A14) : BOLOGNA-BARI-TARANTO TRATTO: BOLOGNA BORGO PANIGALE - BOLOGNA SAN LAZZARO

POTENZIAMENTO IN SEDE DEL SISTEMA
AUTOSTRADALE E TANGENZIALE DI BOLOGNA

"PASSANTE DI BOLOGNA"

PROGETTO DEFINITIVO

IN - VIABILITA' INTERFERITA

I50 - VIA BENAZZA km 11+603

CV75T - PARTE STRUTTURALE

RELAZIONE DI CALCOLO SPALLE

IL PROGETTISTA SPECIALISTICO

Ing. Umberto Mele
Ord. Ingg. Milano n.18641

RESPONSABILE STRUTTURE

IL RESPONSABILE INTEGRAZIONE
PRESTAZIONI SPECIALISTICHE

Ing. Raffaele Rinaldesi
Ord. Ingg. Macerata N. A1068

IL DIRETTORE TECNICO

Ing. Andrea Tanzi
Ord. Ingg. Parma N. 1154

PROGETTAZIONE NUOVE OPERE AUTOSTRADALI

CODICE IDENTIFICATIVO

RIFERIMENTO PROGETTO			RIFERIMENTO DIRETTORE				RIFERIMENTO ELABORATO				ORDINATORE
Codice Commissa	Lotto, Sub-Prog. Cod. Appalto	Fase	Capitolo	Paragrafo	W B S	Parte d'opera	Tip.	Disciplina	Progressivo	Rev.	
111465	0000	PD	IN	I50	CV75T	00000	R S T R	1424	- 2	SCALA -	



PROJECT MANAGER:

Ing. Raffaele Rinaldesi
Ord. Ingg. Macerata N. A1068

REDATTO:

SUPPORTO SPECIALISTICO:

REVISIONE

n.	data
0	NOVEMBRE 2017
1	SETTEMBRE 2019
2	SETTEMBRE 2020
3	-
4	-

VISTO DEL COMMITTENTE	VISTO DEL CONCEDENTE
 IL RESPONSABILE UNICO DEL PROCEDIMENTO Ing. Fabio Visintin	 Ministero delle Infrastrutture e dei Trasporti DIPARTIMENTO PER LE INFRASTRUTTURE, GLI AFFARI GENERALI ED IL PERSONALE STRUTTURA DI VIGILANZA SULLE CONCESSIONARIE AUTOSTRADALI

AUTOSTRADA (A14) : BOLOGNA-BARI-TARANTO
TRATTO: BOLOGNA BORGO PANIGALE - BOLOGNA SAN LAZZARO

**POTENZIAMENTO DEL SISTEMA TANGENZIALE DI BOLOGNA
TRA BORGO PANIGALE E SAN LAZZARO**

PROGETTO DEFINITIVO

OPERE D'ARTE MAGGIORI
Cavalcavia Benazza km 11+603

Relazione di calcolo spalle

Sommario

1 INTRODUZIONE	5
2 DOCUMENTI DI RIFERIMENTO	6
2.1 NORMATIVA DI RIFERIMENTO	6
3 CARATTERISTICHE DEI MATERIALI.....	7
3.1 ACCIAIO	7
3.1.1 Acciaio per armature	7
3.2 CALCESTRUZZO STRUTTURALE.....	7
3.2.1 Trave di coronamento e paraghiaia.....	7
3.2.2 Pali di fondazione.....	7
3.2.3 Magrone di pulizia e livellamento.....	7
4 DESCRIZIONE DELLE OPERE	8
5 STRATIGRAFIA E PARAMETRI GEOTECNICI DI CALCOLO	11
5.1 PREMESSA.....	11
5.2 INDAGINI E PROVE DI LABORATORIO DI RIFERIMENTO.....	11
5.3 MISURE PIEZOMETRICHE E LIVELLI DI FALDA.....	12
5.4 STRATIGRAFIA DI RIFERIMENTO E PARAMETRI DI CARATTERIZZAZIONE GEOTECNICA.....	12
5.5 DETERMINAZIONE DELLA CATEGORIA DI SUOLO	14
6 CRITERI DI CALCOLO.....	15
6.1 CRITERI DI DEFINIZIONE DELLE AZIONI DI CALCOLO.....	15
6.2 CRITERI E DEFINIZIONE DELL'AZIONE SISMICA	15
6.3 COMBINAZIONI DI CARICO.....	17
6.3.1 Combinazioni per la verifica allo SLU	17
6.3.2 Combinazioni per la verifica allo SLE.....	19
6.3.3 Combinazioni per la condizione sismica.....	19
6.3.4 Coefficienti di combinazione	20
6.4 CRITERI DI DEFINIZIONE DELLE RESISTENZE DI CALCOLO.....	26
6.5 PROGETTAZIONE DELLE STRUTTURE DI FONDAZIONE	26
7 CRITERI DI VERIFICA	29
7.1 RESISTENZA A SFORZO NORMALE E FLESSIONE	29
7.2 VERIFICHE ALLO STATO LIMITE ULTIMO PER TAGLIO	29
7.3 VERIFICHE ALLO STATO LIMITE DI FESSURAZIONE.....	31
7.4 VERIFICHE DELLE TENSIONI IN ESERCIZIO	35
7.5 VERIFICHE AGLI STATI LIMITE ULTIMI DI TIPO GEOTECNICO	35
7.5.1 Colllasso per carico limite della palificata nei riguardi dei carichi assiali di compressione e di trazione...	36
7.5.2 Colllasso per carico limite della palificata nei riguardi dei carichi trasversali.....	36
7.5.3 Stabilità globale	36
8 CURVE DI RESISTENZA DI PROGETTO DEL PALO SINGOLO	37
8.1 GENERALE	37
8.1.1 Resistenza laterale di calcolo	37
8.1.2 Resistenza di base di calcolo	39
8.2 RESISTENZA DI CALCOLO DEI PALI TRIVELLATI DA PARAMETRI GEOTECNICI.....	42
8.3 RESISTENZA CARATTERISTICA	43
8.4 RESISTENZA DI PROGETTO	44
8.5 EFFETTO DI GRUPPO	45
9 CALCOLO DELLA PALIFICATA	46

9.1	PROGRAMMI DI CALCOLO	46
9.1.1	<i>Group</i>	46
9.2	CALCOLO DELLE AZIONI AGENTI IN TESTA PALIFICATA	59
9.3	CALCOLO DELLE SOLLECITAZIONI DOVUTE A SFORZO NORMALE, MOMENTO E TAGLIO TRASVERSALE E MOMENTO LONGITUDINALE.	65
9.3.1	<i>Analisi della palificata</i>	65
9.3.2	<i>Risultati delle analisi</i>	67
9.4	CALCOLO DELLE SOLLECITAZIONI SULLA PARATIA FRONTALE.....	70
9.4.1	<i>Spinta della terra – Effetto dell’attrito terreno/struttura</i>	70
9.4.2	<i>Spinta della terra - Coefficienti di spinta in condizioni statiche</i>	70
9.4.3	<i>Coefficienti di spinta in condizioni sismiche</i>	71
9.4.4	<i>Analisi della paratia</i>	73
9.4.5	<i>Fasi di calcolo</i>	75
9.4.6	<i>Risultati dell’analisi</i>	78
9.5	CALCOLO DELLE SOLLECITAZIONI SUI PALI DI ANCORAGGIO	87
9.5.1	<i>Analisi della palificata</i>	87
9.5.2	<i>Risultati delle analisi</i>	90
10	CALCOLO DELLE SOLLECITAZIONI DI PROGETTO	93
10.1	PALI PARATIA FRONTALE	96
10.2	PALI DI ANCORAGGIO DELLA PARATIA FRONTALE	103
11	VERIFICHE GEOTECNICHE	110
12	TRAVE DI CORONAMENTO	115
13	ALLEGATI.....	139
13.1	OUTPUT DEL SOFTWARE PARATIE	139
13.2	OUTPUT DEL SOFTWARE GROUP	368
13.3	OUTPUT DEL SOFTWARE ENG	461

1 INTRODUZIONE

Questa relazione è parte integrante dei documenti del Progetto Definitivo dell'Autostrada A14 (Bologna - Bari - Taranto), Potenziamento del sistema tangenziale di Bologna.

In questo documento si riportano le verifiche strutturali e geotecniche delle fondazioni profonde del cavalcavia di via Benazza.

Il cavalcavia in oggetto è a campata unica con luce pari a 70,0 m; presenta larghezza della sede stradale pari a 9,0 m e spalle di tipo passante su pali di diametro pari a 1,50 m.

Le verifiche sono state condotte in accordo al metodo degli stati limite secondo quanto indicato dal DM2018 e dalla relativa circolare esplicativa.

2 DOCUMENTI DI RIFERIMENTO

2.1 NORMATIVA DI RIFERIMENTO

- [1] D.M. 17 gennaio 2018 – “Nuove norme tecniche per le costruzioni”.
- [2] CIRCOLARE ESPLICATIVA delle NTC2018.
- [3] AGI Associazione Geotecnica Italiana (1984) - Raccomandazioni sui pali di fondazione.

3 CARATTERISTICHE DEI MATERIALI

Si riportano le caratteristiche dei materiali utilizzati nell'opera in oggetto.

3.1 ACCIAIO

3.1.1 Acciaio per armature

Per le armature metalliche si adottano tondini in acciaio del tipo B450C controllato in stabilimento, che presentano le seguenti caratteristiche:

Tensione di snervamento f_{yk} > 450 N/mm²

Tensione di rottura f_{tk} > 540 N/mm²

3.2 CALCESTRUZZO STRUTTURALE

3.2.1 Trave di coronamento e paraghiaia

Classe di resistenza : C28/35

Classe di esposizione : XC2

3.2.2 Pali di fondazione

Classe di resistenza : C25/30

Classe di esposizione : XC2

3.2.3 Magrone di pulizia e livellamento

Classe di resistenza : C12/15

Classe di esposizione : X0

4 DESCRIZIONE DELLE OPERE

Il cavalcavia in oggetto sostituisce il cavalcavia esistente per il quale è prevista la demolizione e rifacimento in sede.

Il nuovo cavalcavia è realizzato con sezione a via inferiore e travi laterali reticolari in acciaio a campata unica con luce pari a 70.0 m (v. Figura 4-1).

L'impalcato è sostenuto da due travi reticolari di altezza totale massima pari a 5.00 m e di larghezza massima pari a 2.20 m ognuna. La larghezza netta dell'impalcato è pari a 14.70 m entro i quali è disposta la soletta realizzata in c.a. di spessore pari a 0.26 m.

Lateralmente rispetto alla sede viabile sono presenti un marciapiede di larghezza totale pari a 2.50 m da un lato e una pista ciclabile di larghezza totale pari a 3.20 m dall'altro lato.

L'impalcato poggia su 4 dispositivi elastomerici (isolatori) disposto all'intradosso dei correnti inferiori delle reticolari in corrispondenza dell'asse del traverso di spalla.

Le spalle del cavalcavia sono di tipo passante e realizzate con una trave di coronamento in c.a. di dimensioni pari a 2.00 m x 2.15 m e parigliaia di spessore pari a 0.45 m, su pali di diametro pari a 1.50 m (v. Figura 4-3).

Le spalle sono costituite da una paratia frontale di pali in c.a. di diametro ϕ 1,50 m disposti ad interasse pari a 1,80 m. La paratia frontale presenta sviluppo pari a 18,10 m e viene vincolata tramite 3 file di pali di ancoraggio anch'essi in c.a. di diametro ϕ 1,50 m. Le due file di pali laterali svolgono inoltre la funzione di contenimento del rilevato di approccio alla spalla.

Tutti i pali presentano lunghezza pari a 30,0 m.

Per ulteriori dettagli si rimanda alle tavole di progetto.

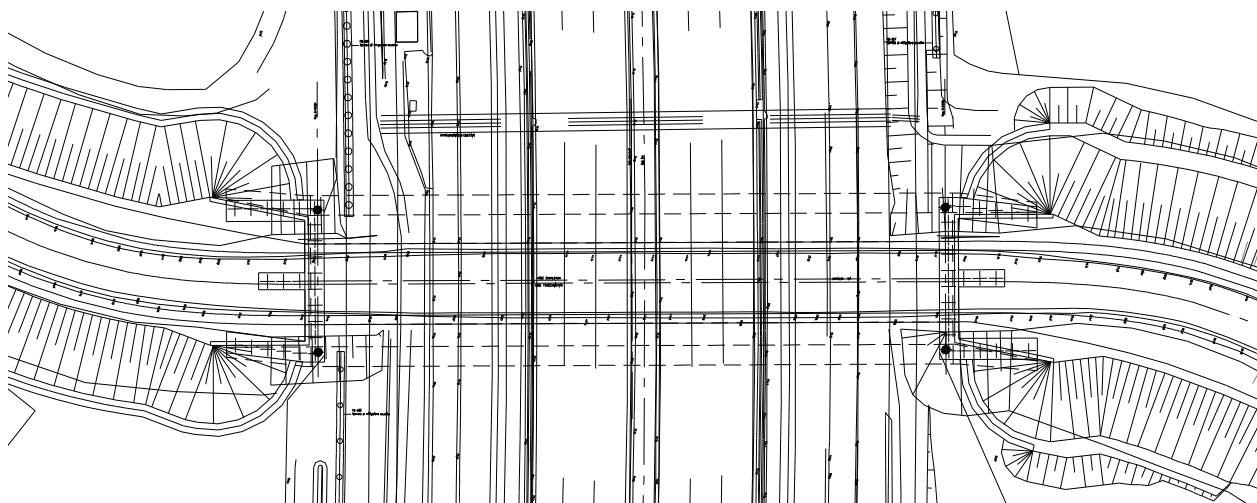


Figura 4-1 - Planimetria intervento

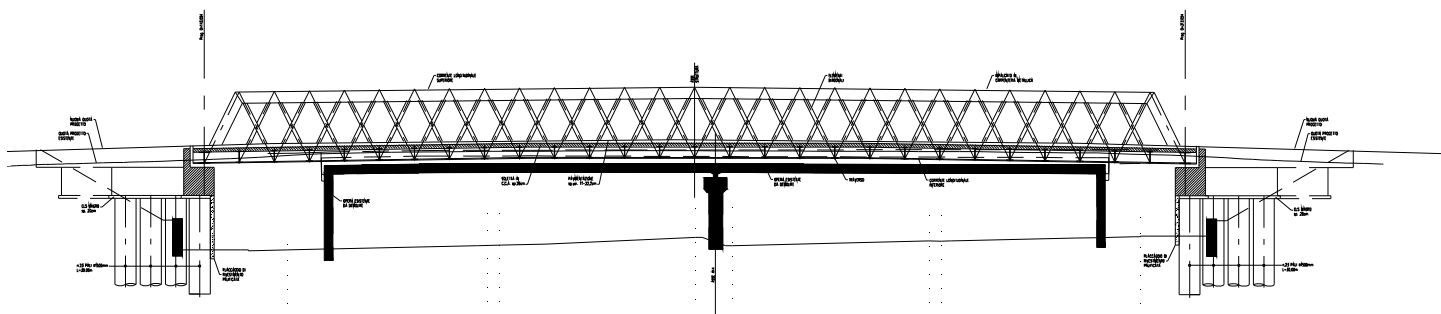


Figura 4-2 – Prospetto cavalcavia

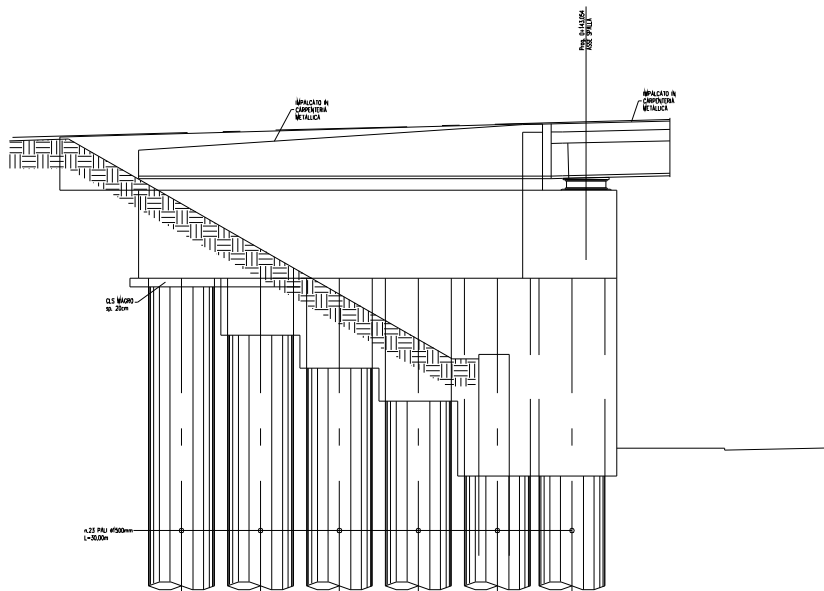
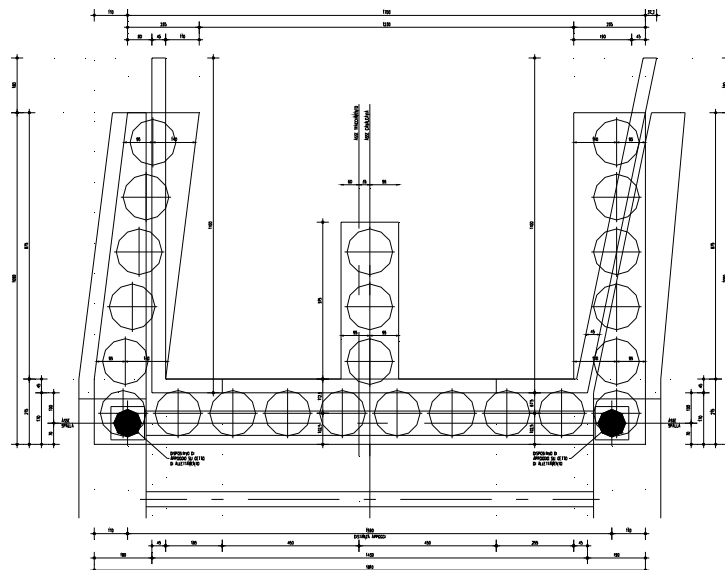


Figura 4-3 – Sezione longitudinale spalla



5 STRATIGRAFIA E PARAMETRI GEOTECNICI DI CALCOLO

5.1 PREMESSA

Di seguito viene esposta la caratterizzazione geotecnica e la stratigrafia di riferimento utilizzata nei calcoli per il dimensionamento e la verifica delle fondazioni. I valori caratteristici dei parametri geotecnici e la stratigrafia di riferimento sono stati ottenuti mediante l'interpretazione di prove e misure effettuate in sito.

5.2 INDAGINI E PROVE DI LABORATORIO DI RIFERIMENTO

Nelle tabelle seguenti si riportano le verticali di indagine considerate per la caratterizzazione dei terreni di fondazione.

sigla sond./pozz./prova	campagna di indagine	<u>Progressiva (km)</u>	quota p.c. (m s.l.m.)	lunghezza (m)	strumentazione installata
SI01pz	1986	11+654	33.20	30.00	C(28.5)
PB9	2016	11+554	32.94	55.00	-

C (...) = cella piezometrica Casagrande (profondità cella);
 TA (...) = piezometro a tubo aperto (tratto filtrante).
 CH = tubo per misure Cross-hole

Tabella 5.1: Verticali di riferimento

5.3 MISURE PIEZOMETRICHE E LIVELLI DI FALDA

Per quanto riguarda il riferimento della falda si è tenuto conto di un livello piezometrico superficiale; nei calcoli è stata assunta in via cautelativa una falda a quota di piano campagna naturale.

5.4 STRATIGRAFIA DI RIFERIMENTO E PARAMETRI DI CARATTERIZZAZIONE GEOTECNICA

Le tabelle sottostanti riportano le unità litostratigrafiche individuate e la caratterizzazione stratigrafico – geotecnica, valutata a partire dal piano campagna.

Quota p.c. (m s.l.m.m.)	Profondità (m da p.c.)	descrizione	sigla	z_w (m da p.c.)	Parametri medi caratteristici
~34	0.0 ÷ 6.5	Limo argilloso/Argilla limosa	A	17.5	Tabella IV
	6.5 ÷ 9.0	Sabbia fine limosa	B		Tabella V
	9.0 ÷ 19.0	Argilla deb. limosa	A		Tabella IV
	19.0 ÷ 31.0	Ghiaia limosa sabbiosa	B		Tabella V

Tabella 5.2: Caratterizzazione stratigrafico – geotecnica Spalla Nord

Quota p.c. (m s.l.m.m.)	Profondità (m da p.c.)	descrizione	sigla	z_w (m da p.c.)	Parametri medi caratteristici
~33	0.0 ÷ 5.7	Limo argilloso	A	14.6	Tabella IV
	5.7 ÷ 9.6	Sabbia fine limosa con ghiaia	B		Tabella V
	9.6 ÷ 19.2	Limo argilloso/Argilla limosa	A		Tabella IV
	19.2 ÷ 35.0	Sabbia fine limosa con ghiaia	B		Tabella V

Tabella 5.3: Caratterizzazione stratigrafico – geotecnica Spalla Nord

Ai fini dei calcoli si è assunta la stratigrafia più sfavorevole tra le due suddette.

Descrizione	γ (kN/m ³)	c' (kPa)	ϕ (°)	c_u (kPa)	G_0 (MPa)	E_{op} (MPa)	CR (-)	RR (-)	k_v (m/s)
Limo argilloso	19	0	24 ÷ 28	30+z ÷ 90+2z	75 ÷ 100	0.20 x E ₀ ÷ 0. 33 x E ₀	0.15 ÷ 0.25	0.01 ÷ 0.05	1.0 x 10 ⁻⁹ ÷ 5.0 x 10 ⁻⁸
Argilla limosa									

 γ = peso di volume del terreno c' = coesione efficace ϕ = angolo di resistenza al taglio c_u = resistenza al taglio non drenata G_0 = modulo di elasticità tangenziale a piccoli livelli deformativi E_{op} = modulo di elasticità operativo

CR = rapporto di compressione in condizioni edometriche

RR = rapporto di ricompressione in condizioni edometriche

 k_v = coefficiente di permeabilità verticale

Tabella IV Parametri medi caratteristici dei materiali Limo argilloso (A)

Descrizione	γ (kN/m ³)	c' (kPa)	ϕ (°)	E_0 (MPa)	E_{op} (MPa)
Ghiaia e sabbia	19	0	34 ÷ 36	75 ÷ 100	(0.20 ÷ 0.33) x E ₀

 γ = peso di volume del terreno c' = coesione efficace ϕ = angolo di resistenza al taglio E_0 = modulo di elasticità a piccoli livelli deformativi E_{op} = modulo di elasticità operativo

Tabella V: Parametri medi caratteristici dei materiali Ghiaia e Sabbia (B)

Come parametri di progetto del terreno si sono presi i valori medi dei range riportati nelle tabelle sopra.

Descrizione	γ (kN/m ³)	c' (kPa)	ϕ (°)	c_u (kPa)
Limo argilloso	19	0	26	60+1.5z
Argilla limosa				

Tabella 5.4: Parametri di progetto caratteristici dei materiali Limo argilloso (A)

Descrizione	γ (kN/m ³)	c' (kPa)	ϕ (°)
Ghiaia e sabbia	19	0	35

Tabella 5.5: Parametri di progetto caratteristici dei materiali Ghiaia e Sabbia

5.5 DETERMINAZIONE DELLA CATEGORIA DI SUOLO

La determinazione della categoria di suolo, in accordo con le prescrizioni della Normativa (Doc. Rif. 0), è basata sulla stima dei valori di velocità media di propagazione delle onde di taglio $V_{S,30}$ o alternativamente sui valori della resistenza penetrometrica dinamica equivalente $N_{SPT,30}$ entro i primi 30 m di profondità (per terreni a grana grossa), o sulla resistenza non drenata equivalente media sempre entro i primi 30 m di profondità $C_{U,30}$ (per terreni a grana fina).

Sulla base della definizione delle categorie di suolo di cui al par. 3.2.2 del Doc. Rif. 0, l'area di intervento risulta caratterizzabile come sito di **categoria C**.

6 CRITERI DI CALCOLO

6.1 CRITERI DI DEFINIZIONE DELLE AZIONI DI CALCOLO

In ottemperanza al D.M. del 14.01.2018 (Nuove norme tecniche per le costruzioni), i calcoli sono condotti con il metodo semiprobabilistico agli stati limite.

Le azioni presenti sulla struttura utilizzate nei modelli di calcolo e nelle combinazioni di carico sono riportate di seguito:

- g** **Carichi permanenti:** peso proprio struttura, peso pavimentazione, spinta delle terre, carichi permanenti impalcato, ritiro;
- q** **Carichi variabili:** sovraccarico, spinta del sovraccarico, traffico e vento;
- ε** **Variazioni termiche:** azione elastica;
- E** **Azioni sismiche:** azioni sismiche, spinta delle terre secondo Mononobe- Okabe

6.2 CRITERI E DEFINIZIONE DELL'AZIONE SISMICA

L'effetto dell'azione sismica di progetto sull'opera nel suo complesso, includendo il volume significativo di terreno, la struttura di fondazione, gli elementi strutturali e non, nonché gli impianti, deve rispettare gli stati limite ultimi e di esercizio definiti al § 3.2.1, i cui requisiti di sicurezza sono indicati nel § 7.1 della norma.

Il rispetto degli stati limite si considera conseguito quando:

- nei confronti degli stati limite ultimi siano rispettate le indicazioni progettuali e costruttive riportate nel § 7 e siano soddisfatte le verifiche relative al solo Stato Limite di salvaguardia della Vita.

Per Stato Limite di salvaguardia della Vita (SLV) si intende che l'opera a seguito del terremoto subisce rotture e crolli dei componenti non strutturali e impiantistici e significativi danni di componenti strutturali, cui si associa una perdita significativa di rigidezza nei confronti delle azioni orizzontali (creazione di cerniere plastiche secondo il criterio della gerarchia delle resistenze), mantenendo ancora un margine di sicurezza (resistenza e rigidezza) nei confronti delle azioni verticali.

Gli stati limite, sia di esercizio sia ultimi, sono individuati riferendosi alle prestazioni che l'opera a realizzarsi deve assolvere durante un evento sismico; per la funzione che l'opera deve espletare nella sua vita utile, è significativo lo Stato Limite di Salvaguardia della Vita (SLV) per lo stato limite ultimo.

Per la definizione dell'azione sismica, occorre definire il periodo di riferimento P_{VR} in funzione dello stato limite considerato.

La vita nominale (V_N) dell'opera è stata assunta pari a 50 anni.

La classe d'uso assunta è la IV.

Il periodo di riferimento (V_R) per l'azione sismica, data la vita nominale e la classe d'uso vale:

$$V_R = V_N \cdot C_u = 50 * 2 = 100 \text{ anni}$$

I valori di probabilità di superamento del periodo di riferimento P_{VR} , cui riferirsi per individuare l'azione sismica agente è:

$$P_{VR}(\text{SLV})=10\%$$

Il periodo di ritorno dell'azione sismica T_R espresso in anni, vale:

$$T_R(\text{SLV}) = -\frac{V_R}{\ln(1 - P_{VR})} = 949 \text{ anni}$$

Dato il valore del periodo di ritorno suddetto, tramite le tabelle riportate nell'Allegato B della norma o tramite la mappatura messa a disposizione in rete dall'Istituto Nazionale di Geofisica e Vulcanologia (INGV), è possibile definire i valori di a_g , F_0 , T^*_c .

a_g → accelerazione orizzontale massima del terreno su suolo di categoria A, espressa come frazione dell'accelerazione di gravità;

F_0 → valore massimo del fattore di amplificazione dello spettro in accelerazione orizzontale;

T^*_c → periodo di inizio del tratto a velocità costante dello spettro in accelerazione orizzontale;

S → coefficiente che comprende l'effetto dell'amplificazione stratigrafica (Ss) e dell'amplificazione topografica (St);

I valori delle caratteristiche sismiche (a_g , F_0 , T^*_c) per lo Stato Limite di salvaguardia della Vita sono:

$$a_g = 0,212 \text{ g};$$

$$F_0 = 2,434;$$

$$T^*_c = 0,315 \text{ s}$$

Il calcolo viene eseguito con il metodo pseudostatico (NT § 7.11.6). In queste condizioni l'azione sismica è rappresentata da una forza statica equivalente pari al prodotto delle forze di gravità per un opportuno coefficiente sismico.

Nelle verifiche allo Stato Limite Ultimo i valori dei coefficienti sismici orizzontali k_h e verticale k_v possono essere valutati mediante le espressioni:

$$k_h = \beta_m \cdot \frac{a_{\max}}{g} \quad k_v = \pm 0.5 * k_h$$

dove:

a_{\max} = accelerazione orizzontale massima attesa al sito;

g = accelerazione di gravità;

Il sottosuolo su cui insiste l'opera può essere inserito nella categoria " C ".

Data la categoria di suolo, si ottengono i seguenti parametri:

$$S_s(SLV) = 1,4$$

$$S_T = 1,0$$

L'accelerazione massima è valutata con la relazione:

$$a_{max}(SLV) = S \cdot a_g = 1,4 \cdot 0,212 g = 0,297 g$$

L'incremento di spinta sismica del terreno a tergo e le azioni sismiche dovute ai pesi delle strutture e dei permanenti portati dall' impalcato, della trave di coronamento e dei pali di fondazione sono riportate nei paragrafi seguenti.

6.3 COMBINAZIONI DI CARICO

Le combinazioni di carico, considerate ai fini delle verifiche, sono stabilite in modo da garantire la sicurezza in conformità a quanto prescritto al cap. 2 delle NT.

6.3.1 Combinazioni per la verifica allo SLU

Gli stati limite ultimi delle opere interrate si riferiscono allo sviluppo di meccanismi di collasso, determinati dalla mobilitazione della resistenza del terreno, e al raggiungimento della resistenza degli elementi strutturali che compongono l'opera.

Le verifiche agli stati limite ultimi sono eseguiti in riferimento ai seguenti stati limite:

- SLU di tipo geotecnico (GEO e EQU): collasso per carico limite dell'insieme fondazione-terreno;
- SLU di tipo strutturale (STR): raggiungimento della resistenza negli elementi strutturali.

Trattandosi di opere interrate, le verifiche saranno condotte secondo l'approccio progettuale "Approccio 2" (A1+M1+R3), utilizzando i coefficienti parziali riportati nelle Tabelle 6.2.II e 5.1.V per i parametri geotecnici e le azioni.

Ai fini delle verifiche degli stati limite ultimi si definiscono le seguenti combinazioni:

$$\text{STR-GEO} \Rightarrow \gamma_{G1} \cdot G_1 + \gamma_{G2} \cdot G_2 + \gamma_{Q1} \cdot Q_{k1} + \sum_i \gamma_{Qi} \cdot \psi_{0i} \cdot Q_{ki}$$

$$\text{EQU} \Rightarrow \gamma_{G1} \cdot G_1 + \gamma_{G2} \cdot G_2 + \gamma_{Q1} \cdot Q_{k1} + \sum_i \gamma_{Qi} \cdot \psi_{0i} \cdot Q_{ki}$$

I coefficienti impiegati nelle verifiche sono riportati nelle tabelle sottostanti:

Tabella 6.2.II - Coefficienti parziali per i parametri del terreno

PARAMETRO	GRANDEZZA ALLA QUALE APPLICARE IL COEFFICIENTE PARZIALE	COEFFICIENTE PARZIALE γ_M	(M1)	(M2)
Tangente dell'angolo di resistenza al taglio	$\tan \phi'_k$	$\gamma_{\phi'}$	1,0	1,25
Coesione efficace	c'_k	γ_c'	1,0	1,25
Resistenza non drenata	c_{uk}	γ_{cu}	1,0	1,4
Peso dell'unità di volume	γ	γ_y	1,0	1,0

Tabella 6.2.I/5.1.V - Coefficienti parziali per le azioni o per l'effetto delle azioni

		Coefficiente	EQU ⁽¹⁾	A1 STR	A2 GEO
Carichi permanenti	favorevoli sfavorevoli	γ_{G1}	0,90 1,10	1,00 1,35	1,00 1,00
Carichi permanenti non strutturali ⁽²⁾	favorevoli sfavorevoli	γ_{G2}	0,00 1,50	0,00 1,50	0,00 1,30
Carichi variabili da traffico	favorevoli sfavorevoli	γ_Q	0,00 1,35	0,00 1,35	0,00 1,15
Carichi variabili	favorevoli sfavorevoli	γ_{Qi}	0,00 1,50	0,00 1,50	0,00 1,30
Distorsioni e presollecitazioni di progetto	favorevoli sfavorevoli	$\gamma_{\varepsilon 1}$	0,90 1,00 ⁽³⁾	1,00 1,00 ⁽⁴⁾	1,00 1,00
Ritiro e viscosità, Variazioni termiche, Cedimenti vincolari	favorevoli sfavorevoli	$\gamma_{\varepsilon 2}, \gamma_{\varepsilon 3}, \gamma_{\varepsilon 4}$	0,00 1,20	0,00 1,20	0,00 1,00

⁽¹⁾ Equilibrio che non coinvolga i parametri di deformabilità e resistenza del terreno; altrimenti si applicano i valori di GEO.
⁽²⁾ Nel caso in cui i carichi permanenti non strutturali (ad es. carichi permanenti portati) siano compiutamente definiti si potranno adottare gli stessi coefficienti validi per le azioni permanenti.
⁽³⁾ 1,30 per instabilità in strutture con precompressione esterna
⁽⁴⁾ 1,20 per effetti locali

I valori dei coefficienti ψ_i sono quelli riportati nella tabella sottostante.

Azioni	Gruppo di azioni (Tabella 5.1.IV)	Coefficiente ψ_0 di combinazione	Coefficiente ψ_1 (valori frequenti)	Coefficiente ψ_2 (valori quasi permanenti)
Azione da traffico (Tabella 5.1.IV)	Schema 1 (Carichi tandem)	0,75	0,75	0,0
	Schemi 1, 5 e 6 (Carichi distribuiti)	0,40	0,40	0,0
	Schemi 3 e 4 (carichi concentrati)	0,40	0,40	0,0
	Schema 2	0,0	0,75	0,0
	2	0,0	0,0	0,0
	3	0,0	0,0	0,0
	4 (folla)	----	0,75	0,0
	5	0,0	0,0	0,0
	Vento a ponte scarico			
	SLU e SLE	0,6	0,2	0,0
Vento q_s	Esecuzione	0,8	----	0,0
	Vento a ponte carico	0,6		
Neve q_s	SLU e SLE	0,0	0,0	0,0
	Esecuzione	0,8	0,6	0,5
Temperatura	T _k	0,6	0,6	0,5

6.3.2 Combinazioni per la verifica allo SLE

Ai fini delle verifiche degli stati limite di esercizio (fessurazione/ stato tensionale) si definiscono le seguenti combinazioni:

$$\text{Frequente}) \Rightarrow G_1 + G_2 + \psi_{11} \cdot Q_{k1} + \sum_i \psi_{2i} \cdot Q_{ki}$$

$$\text{Quasi permanente}) \Rightarrow G_1 + G_2 + \psi_{21} \cdot Q_{k1} + \sum_i \psi_{2i} \cdot Q_{ki}$$

$$\text{Rara}) \Rightarrow G_1 + G_2 + Q_{k1} + \sum_i \psi_{0i} \cdot Q_{ki}$$

6.3.3 Combinazioni per la condizione sismica

Per la condizione sismica, le combinazioni per gli stati limite ultimi da prendere in considerazione sono le seguenti (approccio 1):

$$E + G_1 + G_2 + \sum_i \psi_{2i} \cdot Q_{ki}$$

Le verifiche agli stati limite ultimi § 7.11.1(NTC) devono essere effettuate ponendo pari all'unità i coefficienti parziali sulle azioni e impiegando i parametri geotecnici e le resistenze di progetto, con i valori dei coefficienti parziali indicati nel Cap. 6.

Gli effetti dell'azione sismica saranno valutati tenendo conto delle masse associate ai seguenti carichi gravitazionali:

$$G_1 + G_2 + \sum_i \gamma_{2i} \cdot Q_{ki}$$

6.3.4 Coefficienti di combinazione

Nelle tabelle sottostanti sono riportate le combinazioni di base applicate nello sviluppo dei calcoli.

Le condizioni elementari di carico sono quelle riportate nella definizione delle azioni di calcolo.

Le combinazioni sono suddivise secondo lo schema:

- Combinazioni STR-GEO: dalla 1 alla 42;
- Combinazioni SLE Rara: dalla 85 alla 126;
- Combinazioni SLE Frequente: dalla 127 alla 140;
- Combinazioni SLE Quasi Permanente: dalla 141 alla 142;
- Combinazioni SISMA: dalla 143 alla 190.

	COMBINAZIONE	1	2	3	4	5	6	7	8	9	10	11	12	13	14	15
1	Peso proprio	1,35	1,35	1,35	1,35	1,35	1,35	1,35	1,35	1,35	1,35	1,35	1,35	1,35	1,35	
2	Peso terreno imbarcato	1,35	1,35	1,35	1,35	1,35	1,35	1,35	1,35	1,35	1,35	1,35	1,35	1,35	1,35	
3	peso pavimentazione	1,35	1,35	1,35	1,35	1,35	1,35	1,35	1,35	1,35	1,35	1,35	1,35	1,35	1,35	
4	Sovracarico	1,35	1,35	1,35	1,35	1,35	1,35	1,35	1,35	1,35	1,35	1,35	1,35	1,35	1,35	
5	spinta terre riposo	1,35	1,35	1,35	1,35	1,35	1,35	1,35	1,35	1,35	1,35	1,35	1,35	1,35	1,35	
6	spinta sovrafflato	1,35	1,35	1,35	1,35	1,35	1,35	1,35	1,35	1,35	1,0125	1,0125	1,0125	1,0125	1,0125	
7	sisma long	0	0	0	0	0	0	0	0	0	0	0	0	0	0	
8	sisma trasv	0	0	0	0	0	0	0	0	0	0	0	0	0	0	
9	sisma z	0	0	0	0	0	0	0	0	0	0	0	0	0	0	
10	Spinta M-O long	0	0	0	0	0	0	0	0	0	0	0	0	0	0	
11	Spinta M-O +trasv	0	0	0	0	0	0	0	0	0	0	0	0	0	0	
12	Spinta M-O -trasv	0	0	0	0	0	0	0	0	0	0	0	0	0	0	
13	Spinta attiva long	0	0	0	0	0	0	0	0	0	0	0	0	0	0	
14	Spinta attiva +trasv	0	0	0	0	0	0	0	0	0	0	0	0	0	0	
15	Spinta attiva -trasv	0	0	0	0	0	0	0	0	0	0	0	0	0	0	
16	carichi permanenti impalcato	1,35	1,35	1,35	1,35	1,35	1,35	1,35	1,35	1,35	1,35	1,35	1,35	1,35	1,35	
17	azione elastica impalcato +y	0	0	0,72	0	0	0,72	0	0	0	0	1,2	0	0	1,2	
18	azione elastica impalcato -y	0,72	0,72	0	0,72	0,72	0,72	0	0,72	1,2	1,2	0	1,2	1,2	0	
19	Gruppo1	1,0125	0	0	0	1,0125	0	0	0	1,0125	0	0	0	1,0125	0	
20	Gruppo 2a -y	0	1,0125	0	0	0	1,0125	0	0	0	1,0125	0	0	0	1,0125	
21	Gruppo 2a +y	0	0	1,0125	0	0	0	1,0125	0	0	0	1,0125	0	0	1,0125	
22	Gruppo 2b	0	0	0	1,0125	0	0	0	1,0125	0	0	0	1,0125	0	0	
23	vento in trasversale impalcato (+x)	0,9	0,9	0,9	0,9	0	0	0	0	0,9	0,9	0,9	0,9	0	0	
24	vento in verticale impalcato (+x)	0,9	0,9	0,9	0,9	0	0	0	0	0,9	0,9	0,9	0,9	0	0	
25	vento in trasversale impalcato (-x)	0	0	0	0	0,9	0,9	0,9	0,9	0	0	0	0,9	0,9	0,9	
26	vento in verticale impalcato (-x)	0	0	0	0	0,9	0,9	0,9	0,9	0	0	0	0,9	0,9	0,9	
27	Cedimento	0,72	0,72	0,72	0,72	0,72	0,72	0,72	0,72	0,72	0,72	0,72	0,72	0,72	0,72	

	16	17	18	19	20	21	22	23	24	25	26	27	28	29	30	31
1	1,35	1,35	1,35	1,35	1,35	1,35	1,35	1,35	1,35	1,35	1,35	1,35	1,35	1,35	1,35	1,35
2	1,35	1,35	1,35	1,35	1,35	1,35	1,35	1,35	1,35	1,35	1,35	1,35	1,35	1,35	1,35	1,35
3	1,35	1,35	1,35	1,35	1,35	1,35	1,35	1,35	1,35	1,35	1,35	1,35	1,35	1,35	1,35	1,35
4	1,0125	1,0125	1,0125	1,0125	1,0125	1,0125	1,0125	1,0125	1,0125	1,0125	1,0125	1,0125	1,0125	1,0125	1,0125	1,0125
5	1,35	1,35	1,35	1,35	1,35	1,35	1,35	1,35	1,35	1,35	1,35	1,35	1,35	1,35	1,35	1,35
6	1,0125	1,0125	1,0125	1,0125	1,0125	1,0125	1,0125	1,0125	1,0125	1,0125	1,0125	1,0125	1,0125	1,0125	1,0125	1,0125
7	0	0	0	0	0	0	0	0	0	0	0	0	0	0	0	0
8	0	0	0	0	0	0	0	0	0	0	0	0	0	0	0	0
9	0	0	0	0	0	0	0	0	0	0	0	0	0	0	0	0
10	0	0	0	0	0	0	0	0	0	0	0	0	0	0	0	0
11	0	0	0	0	0	0	0	0	0	0	0	0	0	0	0	0
12	0	0	0	0	0	0	0	0	0	0	0	0	0	0	0	0
13	0	0	0	0	0	0	0	0	0	0	0	0	0	0	0	0
14	0	0	0	0	0	0	0	0	0	0	0	0	0	0	0	0
15	0	0	0	0	0	0	0	0	0	0	0	0	0	0	0	0
16	1,35	1,35	1,35	1,35	1,35	1,35	1,35	1,35	1,35	1,35	1,35	1,35	1,35	1,35	1,35	1,35
17	0	0	0	0,72	0	0	0	0,72	0	0	0	0	0,72	0	0	0,72
18	1,2	0,72	0,72	0	0,72	0,72	0,72	0	0,72	0,72	0,72	0	0,72	0,72	0,72	0
19	0	1,35	0	0	0	1,35	0	0	0	1,0125	0	0	0	1,0125	0	0
20	0	0	1,35	0	0	0	1,35	0	0	0	1,0125	0	0	0	1,0125	0
21	0	0	0	1,35	0	0	0	1,35	0	0	0	1,0125	0	0	0	1,0125
22	1,0125	0	0	0	1,35	0	0	0	1,35	0	0	0	1,0125	0	0	0
23	0	0,9	0,9	0,9	0,9	0	0	0	0	1,5	1,5	1,5	1,5	0	0	0
24	0	0,9	0,9	0,9	0,9	0	0	0	0	1,5	1,5	1,5	1,5	0	0	0
25	0,9	0	0	0	0	0,9	0,9	0,9	0,9	0	0	0	0	1,5	1,5	1,5
26	0,9	0	0	0	0	0,9	0,9	0,9	0,9	0	0	0	0	1,5	1,5	1,5
27	0,72	0,72	0,72	0,72	0,72	0,72	0,72	0,72	0,72	0,72	0,72	0,72	0,72	0,72	0,72	0,72

	32	33	34	35	36	37	38	39	40	41	42
1	1,35	1,35	1,35	1,35	1,35	1,35	1,35	1,35	1,35	1,35	1,35
2	1,35	1,35	1,35	1,35	1,35	1,35	1,35	1,35	1,35	1,35	1,35
3	1,35	1,35	1,35	1,35	1,35	1,35	1,35	1,35	1,35	1,35	1,35
4	1,0125	1,0125	0,0000	1,0125	1,0125	1,0125	1,0125	1,0125	1,0125	1,0125	1,0125
5	1,35	1,35	1,35	1,35	1,35	1,35	1,35	1,35	1,35	1,35	1,35
6	1,0125	1,0125	0,0000	1,0125	1,0125	1,0125	1,0125	1,0125	1,0125	1,0125	1,0125
7	0	0	0	0	0	0	0	0	0	0	0
8	0	0	0	0	0	0	0	0	0	0	0
9	0	0	0	0	0	0	0	0	0	0	0
10	0	0	0	0	0	0	0	0	0	0	0
11	0	0	0	0	0	0	0	0	0	0	0
12	0	0	0	0	0	0	0	0	0	0	0
13	0	0	0	0	0	0	0	0	0	0	0
14	0	0	0	0	0	0	0	0	0	0	0
15	0	0	0	0	0	0	0	0	0	0	0
16	1,35	1,35	1,35	1,35	1,35	1,35	1,35	1,35	1,35	1,35	1,35
17	0	0	0	0	0,72	0,72	0	0	0	0,72	0
18	0,72	0	0	0,72	0,72	0	0,72	0,72	0,72	0	0,72
19	0	0	0	1,0125	0	0	0	1,0125	0	0	0
20	0	0	0	0	1,0125	0	0	0	1,0125	0	0
21	0	0	0	0	0	1,0125	0	0	0	1,0125	0
22	1,0125	0	0	0	0	0	1,0125	0	0	0	1,0125
23	0	0	0	0,9	0,9	0,9	0,9	0,9	0	0	0
24	0	0	0	0,9	0,9	0,9	0,9	0,9	0	0	0
25	1,5	0	0	0	0	0	0	0,9	0,9	0,9	0,9
26	1,5	0	0	0	0	0	0	0,9	0,9	0,9	0,9
27	0,72	0	0	1,2	1,2	1,2	1,2	1,2	1,2	1,2	1,2

	85	86	87	88	89	90	91	92	93	94	95
1	1	1	1	1	1	1	1	1	1	1	1
2	1	1	1	1	1	1	1	1	1	1	1
3	1	1	1	1	1	1	1	1	1	1	1
4	1	1	1	1	1	1	1	1	0,75	0,75	0,75
5	1	1	1	1	1	1	1	1	1	1	1
6	1	1	1	1	1	1	1	1	0,75	0,75	0,75
7	0	0	0	0	0	0	0	0	0	0	0
8	0	0	0	0	0	0	0	0	0	0	0
9	0	0	0	0	0	0	0	0	0	0	0
10	0	0	0	0	0	0	0	0	0	0	0
11	0	0	0	0	0	0	0	0	0	0	0
12	0	0	0	0	0	0	0	0	0	0	0
13	0	0	0	0	0	0	0	0	0	0	0
14	0	0	0	0	0	0	0	0	0	0	0
15	0	0	0	0	0	0	0	0	0	0	0
16	1	1	1	1	1	1	1	1	1	1	1
17	0	0	0,6	0	0	0	0,6	0	0	0	1
18	0,6	0,6	0	0,6	0,6	0,6	0	0,6	1	1	0
19	0,75	0	0	0	0,75	0	0	0	0,75	0	0
20	0	0,75	0	0	0	0,75	0	0	0	0,75	0
21	0	0	0,75	0	0	0	0,75	0	0	0	0,75
22	0	0	0	0,75	0	0	0	0	0,75	0	0
23	0,6	0,6	0,6	0,6	0	0	0	0	0,6	0,6	0,6
24	0,6	0,6	0,6	0,6	0	0	0	0	0,6	0,6	0,6
25	0	0	0	0	0,6	0,6	0,6	0,6	0	0	0
26	0	0	0	0	0,6	0,6	0,6	0,6	0	0	0
27	0,6	0,6	0,6	0,6	0,6	0,6	0,6	0,6	0,6	0,6	0,6

NUOVO CAVALCAVIA BENAZZA km11+603

autostrade per l'italia

Progetto Strutturale

spea
ENGINEERING
gruppo Atlantia

	96	97	98	99	100	101	102	103	104	105	106	107	108	109	110	111
1	1	1	1	1	1	1	1	1	1	1	1	1	1	1	1	1
2	1	1	1	1	1	1	1	1	1	1	1	1	1	1	1	1
3	1	1	1	1	1	1	1	1	1	1	1	1	1	1	1	1
4	0,75	0,75	0,75	0,75	0,75	0,75	0,75	0,75	0,75	0,75	0,75	0,75	0,75	0,75	0,75	0,75
5	1	1	1	1	1	1	1	1	1	1	1	1	1	1	1	1
6	0,75	0,75	0,75	0,75	0,75	0,75	0,75	0,75	0,75	0,75	0,75	0,75	0,75	0,75	0,75	0,75
7	0	0	0	0	0	0	0	0	0	0	0	0	0	0	0	0
8	0	0	0	0	0	0	0	0	0	0	0	0	0	0	0	0
9	0	0	0	0	0	0	0	0	0	0	0	0	0	0	0	0
10	0	0	0	0	0	0	0	0	0	0	0	0	0	0	0	0
11	0	0	0	0	0	0	0	0	0	0	0	0	0	0	0	0
12	0	0	0	0	0	0	0	0	0	0	0	0	0	0	0	0
13	0	0	0	0	0	0	0	0	0	0	0	0	0	0	0	0
14	0	0	0	0	0	0	0	0	0	0	0	0	0	0	0	0
15	0	0	0	0	0	0	0	0	0	0	0	0	0	0	0	0
16	1	1	1	1	1	1	1	1	1	1	1	1	1	1	1	1
17	0	0	0	1	0	0	0	0,6	0	0	0	0,6	0	0	0	0,6
18	1	1	1	0	1	0,6	0,6	0	0,6	0,6	0,6	0	0,6	0,6	0,6	0
19	0	0,75	0	0	0	1	0	0	0	1	0	0	0	0,75	0	0
20	0	0	0,75	0	0	0	1	0	0	0	1	0	0	0	0,75	0
21	0	0	0	0,75	0	0	0	1	0	0	0	1	0	0	0	0,75
22	0,75	0	0	0,75	0	0	0	0	1	0	0	0	1	0	0	0
23	0,6	0	0	0	0	0,6	0,6	0,6	0,6	0	0	0	0	1	1	1
24	0,6	0	0	0	0	0,6	0,6	0,6	0,6	0	0	0	0	1	1	1
25	0	0,6	0,6	0,6	0,6	0	0	0	0	0,6	0,6	0,6	0,6	0	0	0
26	0	0,6	0,6	0,6	0,6	0	0	0	0	0,6	0,6	0,6	0,6	0	0	0
27	0,6	0,6	0,6	0,6	0,6	0,6	0,6	0,6	0,6	0,6	0,6	0,6	0,6	0,6	0,6	0,6

	112	113	114	115	116	117	118	119	120	121	122	123	124	125	126	127
1	1	1	1	1	1	1	1	1	1	1	1	1	1	1	1	1
2	1	1	1	1	1	1	1	1	1	1	1	1	1	1	1	1
3	1	1	1	1	1	1	1	1	1	1	1	1	1	1	1	1
4	0,75	0,75	0,75	0,75	0,75	0,75	0	0,75	0,75	0,75	0,75	0,75	0,75	0,75	0,75	0,75
5	1	1	1	1	1	1	1	1	1	1	1	1	1	1	1	1
6	0,75	0,75	0,75	0,75	0,75	0,75	0	0,75	0,75	0,75	0,75	0,75	0,75	0,75	0,75	0,75
7	0	0	0	0	0	0	0	0	0	0	0	0	0	0	0	0
8	0	0	0	0	0	0	0	0	0	0	0	0	0	0	0	0
9	0	0	0	0	0	0	0	0	0	0	0	0	0	0	0	0
10	0	0	0	0	0	0	0	0	0	0	0	0	0	0	0	0
11	0	0	0	0	0	0	0	0	0	0	0	0	0	0	0	0
12	0	0	0	0	0	0	0	0	0	0	0	0	0	0	0	0
13	0	0	0	0	0	0	0	0	0	0	0	0	0	0	0	0
14	0	0	0	0	0	0	0	0	0	0	0	0	0	0	0	0
15	0	0	0	0	0	0	0	0	0	0	0	0	0	0	0	0
16	1	1	1	1	1	1	1	1	1	1	1	1	1	1	1	1
17	0	0	0	0,6	0	0	0	0	0	0,6	0	0	0	0,6	0	0
18	0,6	0,6	0,6	0	0,6	0	0	0,6	0,6	0	0,6	0,6	0,6	0	0,6	0,5
19	0	0,75	0	0	0	0	0	0,75	0	0	0	0,75	0	0	0	0
20	0	0	0,75	0	0	0	0	0	0,75	0	0	0	0,75	0	0	0
21	0	0	0	0,75	0	0	0	0	0	0,75	0	0	0	0,75	0	0
22	0,75	0	0	0	0,75	0	0	0	0	0	0,75	0	0	0	0,75	0
23	1	0	0	0	0	0	0	0,6	0,6	0,6	0,6	0	0	0	0	0
24	1	0	0	0	0	0	0	0,6	0,6	0,6	0,6	0	0	0	0	0
25	0	1	1	1	1	0	0	0	0	0	0	0	0,6	0,6	0,6	0
26	0	1	1	1	1	0	0	0	0	0	0	0	0,6	0,6	0,6	0
27	0,6	0,6	0,6	0,6	0,6	0,6	0	1	1	1	1	1	1	1	1	0,5

NUOVO CAVALCIAIA BENAZZA km11+603

autostrade per l'italia

Progetto Strutturale

spea
ENGINEERING
gruppo Atlantia

	128	129	130	131	132	133	134	135	136	137	138	139	140	141	142	143
1	1	1	1	1	1	1	1	1	1	1	1	1	1	1	1	1
2	1	1	1	1	1	1	1	1	1	1	1	1	1	1	1	1
3	1	1	1	1	1	1	1	1	1	1	1	1	1	1	1	1
4	0,75	0	0	0	0	0	0	0	0	0	0	0	0	0	0	0
5	1	1	1	1	1	1	1	1	1	1	1	1	1	1	1	0
6	0,75	0	0	0	0	0	0	0	0	0	0	0	0	0	0	0
7	0	0	0	0	0	0	0	0	0	0	0	0	0	0	0	1
8	0	0	0	0	0	0	0	0	0	0	0	0	0	0	0	0,3
9	0	0	0	0	0	0	0	0	0	0	0	0	0	0	0	0,3
10	0	0	0	0	0	0	0	0	0	0	0	0	0	0	0	0
11	0	0	0	0	0	0	0	0	0	0	0	0	0	0	0	0,3
12	0	0	0	0	0	0	0	0	0	0	0	0	0	0	0	0
13	0	0	0	0	0	0	0	0	0	0	0	0	0	0	0	0
14	0	0	0	0	0	0	0	0	0	0	0	0	0	0	0	1
15	0	0	0	0	0	0	0	0	0	0	0	0	0	0	0	0
16	1	1	1	1	1	1	1	1	1	1	1	1	1	1	1	1
17	0,5	0,6	0	0	0,5	0	0,5	0	0,5	0	0,5	0	0	0,5	0	0,5
18	0	0	0,6	0,5	0,5	0	0,5	0	0,5	0	0,5	0,5	0,5	0,5	0,5	0
19	0	0	0	0,75	0	0	0	0	0	0	0	0	0	0	0	0
20	0	0	0	0	0,75	0	0	0	0	0	0	0	0	0	0	0
21	0	0	0	0	0	0,75	0	0	0	0	0	0	0	0	0	0
22	0	0	0	0	0	0	0,75	0	0	0	0	0	0	0	0	0
23	0	0	0	0	0	0	0	0,2	0,2	0	0	0	0	0	0	0
24	0	0	0	0	0	0	0	0,2	0,2	0	0	0	0	0	0	0
25	0	0	0	0	0	0	0	0	0	0,2	0,2	0	0	0	0	0
26	0	0	0	0	0	0	0	0	0	0,2	0,2	0	0	0	0	0
27	0,5	0,5	0,5	0,5	0,5	0,5	0,5	0,5	0,5	0,5	0,5	0,6	0,6	0,5	0,5	0,5

	144	145	146	147	148	149	150	151	152	153	154	155	156	157	158	159
1	1	1	1	1	1	1	1	1	1	1	1	1	1	1	1	1
2	1	1	1	1	1	1	1	1	1	1	1	1	1	1	1	1
3	1	1	1	1	1	1	1	1	1	1	1	1	1	1	1	1
4	0	0	0	0	0	0	0	0	0	0	0	0	0	0	0	0
5	0	0	0	0	0	0	0	0	0	0	0	0	0	0	0	0
6	0	0	0	0	0	0	0	0	0	0	0	0	0	0	0	0
7	0,3	0,3	1	0,3	0,3	1	0,3	0,3	-1	-0,3	-0,3	-1	-0,3	-0,3	-1	-0,3
8	1	0,3	0,3	1	0,3	-0,3	-1	-0,3	0,3	1	0,3	-0,3	-1	-0,3	0,3	1
9	0,3	1	-0,3	-0,3	-1	0,3	0,3	1	0,3	0,3	1	0,3	0,3	1	-0,3	-0,3
10	0	0	0	0	0	0	0	0	1	0,3	0,3	1	0,3	0,3	1	0,3
11	1	0,3	0,3	1	0,3	0	0	0,3	1	0,3	0	0	0	0,3	1	0
12	0	0	0	0	0	0,3	1	0,3	0	0	0	0,3	1	0,3	0	0
13	0	0	0	0	0	0	0	0	1	1	1	1	1	1	1	1
14	1	1	1	1	1	0	0	0	1	1	1	1	0	0	1	1
15	0	0	0	0	0	1	1	1	0	0	0	1	1	1	0	0
16	1	1	1	1	1	1	1	1	1	1	1	1	1	1	1	1
17	0,5	0,5	0,5	0,5	0,5	0,5	0,5	0,5	0,5	0,5	0,5	0,5	0,5	0,5	0,5	0,5
18	0	0	0	0	0	0	0	0	0	0	0	0	0	0	0	0
19	0	0	0	0	0	0	0	0	0	0	0	0	0	0	0	0
20	0	0	0	0	0	0	0	0	0	0	0	0	0	0	0	0
21	0	0	0	0	0	0	0	0	0	0	0	0	0	0	0	0
22	0	0	0	0	0	0	0	0	0	0	0	0	0	0	0	0
23	0	0	0	0	0	0	0	0	0	0	0	0	0	0	0	0
24	0	0	0	0	0	0	0	0	0	0	0	0	0	0	0	0
25	0	0	0	0	0	0	0	0	0	0	0	0	0	0	0	0
26	0	0	0	0	0	0	0	0	0	0	0	0	0	0	0	0
27	0,5	0,5	0,5	0,5	0,5	0,5	0,5	0,5	0,5	0,5	0,5	0,5	0,5	0,5	0,5	0,5

	160	161	162	163	164	165	166	167	168	169	170	171	172	173	174	175
1	1	1	1	1	1	1	1	1	1	1	1	1	1	1	1	1
2	1	1	1	1	1	1	1	1	1	1	1	1	1	1	1	1
3	1	1	1	1	1	1	1	1	1	1	1	1	1	1	1	1
4	0	0	0	0	0	0	0	0	0	0	0	0	0	0	0	0
5	0	0	0	0	0	0	0	0	0	0	0	0	0	0	0	0
6	0	0	0	0	0	0	0	0	0	0	0	0	0	0	0	0
7	-0,3	1	0,3	0,3	-1	-0,3	-0,3	1	0,3	0,3	1	0,3	0,3	1	0,3	0,3
8	0,3	-0,3	-1	-0,3	-0,3	-1	-0,3	0,3	1	0,3	0,3	1	0,3	-0,3	-1	-0,3
9	-1	-0,3	-0,3	-1	-0,3	-0,3	-1	0,3	0,3	1	-0,3	-0,3	-1	0,3	0,3	1
10	0,3	0	0	0	1	0,3	0,3	0	0	0	0	0	0	0	0	0
11	0,3	0	0	0	0	0	0	0,3	1	0,3	0,3	1	0,3	0	0	0
12	0	0,3	1	0,3	0,3	1	0,3	0	0	0	0	0	0	0,3	1	0,3
13	1	0	0	0	1	1	1	0	0	0	0	0	0	0	0	0
14	1	0	0	0	0	0	0	1	1	1	1	1	1	0	0	0
15	0	1	1	1	1	1	1	0	0	0	0	0	0	1	1	1
16	1	1	1	1	1	1	1	1	1	1	1	1	1	1	1	1
17	0,5	0,5	0,5	0,5	0,5	0,5	0,5	0	0	0	0	0	0	0	0	0
18	0	0	0	0	0	0	0	0,5	0,5	0,5	0,5	0,5	0,5	0,5	0,5	0,5
19	0	0	0	0	0	0	0	0	0	0	0	0	0	0	0	0
20	0	0	0	0	0	0	0	0	0	0	0	0	0	0	0	0
21	0	0	0	0	0	0	0	0	0	0	0	0	0	0	0	0
22	0	0	0	0	0	0	0	0	0	0	0	0	0	0	0	0
23	0	0	0	0	0	0	0	0	0	0	0	0	0	0	0	0
24	0	0	0	0	0	0	0	0	0	0	0	0	0	0	0	0
25	0	0	0	0	0	0	0	0	0	0	0	0	0	0	0	0
26	0	0	0	0	0	0	0	0	0	0	0	0	0	0	0	0
27	0,5	0,5	0,5	0,5	0,5	0,5	0,5	0,5	0,5	0,5	0,5	0,5	0,5	0,5	0,5	0,5

	176	177	178	179	180	181	182	183	184	185	186	187	188	189	190
1	1	1	1	1	1	1	1	1	1	1	1	1	1	1	1
2	1	1	1	1	1	1	1	1	1	1	1	1	1	1	1
3	1	1	1	1	1	1	1	1	1	1	1	1	1	1	1
4	0	0	0	0	0	0	0	0	0	0	0	0	0	0	0
5	0	0	0	0	0	0	0	0	0	0	0	0	0	0	0
6	0	0	0	0	0	0	0	0	0	0	0	0	0	0	0
7	-1	-0,3	-0,3	-1	-0,3	-0,3	-1	-0,3	-0,3	1	0,3	0,3	-1	-0,3	-0,3
8	0,3	1	0,3	-0,3	-1	-0,3	0,3	1	0,3	-0,3	-1	-0,3	-0,3	-1	-0,3
9	0,3	0,3	1	0,3	0,3	1	-0,3	-0,3	-1	-0,3	-0,3	-1	-0,3	-0,3	-1
10	1	0,3	0,3	1	0,3	0,3	1	0,3	0,3	0	0	0	1	0,3	0,3
11	0,3	1	0,3	0	0	0,3	1	0,3	0	0	0	0	0	0	0
12	0	0	0	0,3	1	0,3	0	0	0	0,3	1	0,3	0,3	1	0,3
13	1	1	1	1	1	1	1	1	1	0	0	0	1	1	1
14	1	1	1	0	0	0	1	1	1	0	0	0	0	0	0
15	0	0	0	1	1	1	0	0	0	1	1	1	1	1	1
16	1	1	1	1	1	1	1	1	1	1	1	1	1	1	1
17	0	0	0	0	0	0	0	0	0	0	0	0	0	0	0
18	0,5	0,5	0,5	0,5	0,5	0,5	0,5	0,5	0,5	0,5	0,5	0,5	0,5	0,5	0,5
19	0	0	0	0	0	0	0	0	0	0	0	0	0	0	0
20	0	0	0	0	0	0	0	0	0	0	0	0	0	0	0
21	0	0	0	0	0	0	0	0	0	0	0	0	0	0	0
22	0	0	0	0	0	0	0	0	0	0	0	0	0	0	0
23	0	0	0	0	0	0	0	0	0	0	0	0	0	0	0
24	0	0	0	0	0	0	0	0	0	0	0	0	0	0	0
25	0	0	0	0	0	0	0	0	0	0	0	0	0	0	0
26	0	0	0	0	0	0	0	0	0	0	0	0	0	0	0
27	0,5	0,5	0,5	0,5	0,5	0,5	0,5	0,5	0,5	0,5	0,5	0,5	0,5	0,5	0,5

Nelle combinazioni i carichi variabili sono stati fatti variare in modo che ognuno fosse principale. Sono invece state escluse le combinazioni di carico che prevedevano la presenza contemporanea di azioni agenti in direzioni opposte poiché non significative per il calcolo delle sollecitazioni.

Per i carichi agenti in due direzioni, quali la frenatura o il vento (agenti in + o - x e + o - y), è stata considerata di volta in volta la direzione più sfavorevole, in funzione della direzione delle altre azioni con cui veniva combinata.

È stata inoltre aggiunta la condizione con i soli carichi permanenti agenti, trascurando la presenza dei carichi variabili.

6.4 CRITERI DI DEFINIZIONE DELLE RESISTENZE DI CALCOLO

Le resistenze di calcolo adottate per le verifiche strutturali sono definite come segue:

$$f_d = \frac{f_k}{\gamma_m}$$

In cui:

f_d : Resistenza di calcolo

f_k : Resistenza caratteristica

γ_m : coefficiente parziale del materiale

I coefficienti parziali dei materiali adottati, conformi con le NTC 18 sono riportati nella seguente tabella:

Cemento armato	Resistenza del conglomerato	γ_c	1.5
	Resistenza dell'armatura	γ_s	1.15

La resistenza del conglomerato è valutata prendendo in conto il coefficiente riduttivo della resistenza per fenomeni di lunga durata $\alpha_{cc}=0.85$

6.5 PROGETTAZIONE DELLE STRUTTURE DI FONDAZIONE

Nel presente paragrafo si espongono i criteri di progettazione adottati per le strutture di fondazione, intese come il complesso palificata e plinto di fondazione.

In ottemperanza al D.M. del 17.01.2018 (Nuove norme tecniche per le costruzioni), le verifiche delle fondazioni su pali vengono condotte con riferimento agli stati limite di tipo geotecnico (GEO) e strutturali (STR).

Secondo il D.M. 17/01/2018, per ogni Stato Limite Ultimo deve essere rispettata la condizione

$$E_d \leq R_d$$

dove E_d è il valore di progetto dell'azione o dell'effetto dell'azione e R_d è il valore di progetto della resistenza del sistema geotecnico. Sia il valore di progetto dell'azione sia il valore di progetto della resistenza del sistema geotecnico dipendono, tra l'altro, dai valori caratteristici delle azioni E_k e delle resistenze R_k , fattorizzati con opportuni coefficienti di sicurezza parziali γ .

La verifica deve essere effettuata impiegando diverse combinazioni di gruppi di coefficienti parziali, rispettivamente definiti per le azioni (A1), per i parametri geotecnici (M1) e per le resistenze (R3).

I diversi gruppi di coefficienti di sicurezza parziali sono scelti nell'ambito di due approcci progettuali distinti e alternativi.

Le verifiche Geotecniche di seguito riportate sono state condotte mediante l'Approccio 2 (A1+M1+R3) previsto da Norma.

I coefficienti parziali γ relativi alle azioni sono di seguito indicati:

	Effetto	Coefficiente Parziale γ_F (o γ_E)	EQU	(A1)	(A2)
Carichi permanenti G_1	Favorevole	γ_{G1}	0,9	1,0	1,0
	Sfavorevole		1,1	1,3	1,0
Carichi permanenti $G_2^{(1)}$	Favorevole	γ_{G2}	0,8	0,8	0,8
	Sfavorevole		1,5	1,5	1,3
Azioni variabili Q	Favorevole	γ_{Qi}	0,0	0,0	0,0
	Sfavorevole		1,5	1,5	1,3

Il valore di progetto della resistenza R_d è determinato in modo analitico, con riferimento al valore caratteristico dei parametri geotecnici del terreno, diviso per il valore del coefficiente parziale di sicurezza γ_M specificato nella successiva tabella:

PARAMETRO	GRANDEZZA ALLA QUALE APPLICARE IL COEFFICIENTE PARZIALE	COEFFICIENTE PARZIALE γ_M	(M1)	(M2)
Tangente dell'angolo di resistenza al taglio	$\tan \phi'_k$	$\gamma_{\phi'}$	1,0	1,25
Coesione efficace	c'_k	$\gamma_{c'}$	1,0	1,25
Resistenza non drenata	c_{uk}	γ_{cu}	1,0	1,4
Peso dell'unità di volume	γ	γ_γ	1,0	1,0

Per i pali soggetti a carichi assiali il valore di progetto R_d della resistenza si ottiene a partire dal valore caratteristico applicando i coefficienti parziali γ_R di seguito riportati:

Resistenza	Simbolo	Pali infissi	Pali trivellati	Pali ad elica continua
	γ_R	(R3)	(R3)	(R3)
Base	γ_b	1,15	1,35	1,3
Laterale in compressione	γ_s	1,15	1,15	1,15
Totale (*)	γ	1,15	1,30	1,25
Laterale in trazione	γ_{st}	1,25	1,25	1,25

Con riferimento alle procedure analitiche che prevedono l'utilizzo dei parametri geotecnici o dei risultati di prove in situ, il valore caratteristico della resistenza $R_{c,k}$ (o $R_{t,k}$) è dato dal minore dei valori ottenuti applicando alle resistenze calcolate $R_{c,cal}$ ($R_{t,cal}$) i fattori di correlazione riportati, in funzione del numero n di verticali di indagine.

$$R_{c,k} = \text{Min} \left\{ \frac{(R_{c,cal})_{\text{media}}}{\xi_3}, \frac{(R_{c,cal})_{\text{min}}}{\xi_4} \right\}$$

$$R_{t,k} = \text{Min} \left\{ \frac{(R_{t,cal})_{\text{media}}}{\xi_3}, \frac{(R_{t,cal})_{\text{min}}}{\xi_4} \right\}$$

I fattori di correlazione, in accordo con la NT, sono riportati nella tabella sottostante:

Numero di verticali indagate	1	2	3	4	5	7	≥ 10
ξ_3	1,70	1,65	1,60	1,55	1,50	1,45	1,40
ξ_4	1,70	1,55	1,48	1,42	1,34	1,28	1,21

Per le verifiche strutturali si considerano tutte le combinazioni previste dalla normativa di riferimento, sia per lo S.L.U. che per lo S.L.E.

7 CRITERI DI VERIFICA

7.1 RESISTENZA A SFORZO NORMALE E FLESSIONE

Si fa riferimento alle ipotesi di base riportate nel paragrafo 4.1.2.1.2.1 delle NT:

- Conservazione delle sezioni piane,
- Perfetta aderenza tra acciaio e calcestruzzo,
- Resistenza a trazione del calcestruzzo nulla,
- Rottura del calcestruzzo determinata dal raggiungimento della sua capacità deformativa ultima a compressione,
- Rottura dell'armatura tesa determinata dal raggiungimento della sua capacità deformativa ultima.

Per quanto concerne i materiali si adotta il diagramma di calcolo tensione-deformazione “parabola-rettangolo” per il calcestruzzo, elastico-perfettamente plastico per l'acciaio.

La verifica di resistenza si conduce confrontando $M_{Rd}(N_{Ed})$ con M_{Ed} come indicato di seguito:

$$M_{Rd} = M_{Rd}(N_{Ed}) \geq M_{Ed}$$

dove:

M_{Rd} è il valore di calcolo del momento resistente corrispondente a N_{Ed} ,

N_{Ed} è il valore di calcolo della compressione assiale (sforzo normale) dell'azione,

M_{Ed} è il valore di calcolo della componente flettente dell'azione.

7.2 VERIFICHE ALLO STATO LIMITE ULTIMO PER TAGLIO

Si distingue tra elementi non armati a taglio (paragrafo 4.1.2.1.3.1 delle NT) ed elementi armati a taglio con staffe (paragrafo 4.1.2.1.3.2 delle NT).

Elementi non armati a taglio

La verifica di resistenza si pone con:

$$V_{Rd} \geq V_{Ed},$$

dove:

V_{Rd} è il valore di calcolo della resistenza a taglio,

V_{Ed} è il valore di calcolo dello sforzo di taglio agente.

Con riferimento all'elemento fessurato da momento flettente, la resistenza al taglio si valuta con:

$$V_{Rd} = \{0.18 k (100 \rho_1 f_{ck})^{1/3}/\gamma_c + 0.15 \sigma_{cp}\} b_w d \geq (u_{min} + 0.15 \sigma_{cp}) b_w d$$

Con:

$$k = 1 + (200/d)^{1/2} \leq 2$$

$$v_{min} = 0.035 k^{3/2} f_{ck}^{1/2}$$

e dove:

- d è l'altezza utile della sezione (in mm),
- ρ_1 è il rapporto geometrico di armatura longitudinale (≤ 0.02),
- σ_{cp} è la tensione media di compressione nella sezione ($\leq 0.2 f_{ck}$),
- b_w è la larghezza minima della sezione (in mm).

Elementi armati a taglio

La resistenza a taglio V_{Rd} per elementi strutturali dotati di specifica armatura a taglio è valutata sulla base di una adeguata schematizzazione a traliccio.

Gli elementi resistenti dell'ideale traliccio sono: le armature trasversali, le armature longitudinali, il corrente compresso di calcestruzzo ed i puntoni d'anima inclinati.

L'inclinazione ϑ dei puntoni di calcestruzzo rispetto all'asse della trave deve rispettare i seguenti limiti:

$$1 \leq \operatorname{ctg} \vartheta \leq 2.5.$$

La verifica di resistenza si pone con:

$$V_{Rd} \geq V_{Ed},$$

dove:

V_{Ed} è il valore di calcolo dello sforzo di taglio agente.

Con riferimento all'armatura trasversale (staffe), la resistenza di calcolo a "taglio trazione" si calcola con:

$$V_{Rsd} = 0.9 d A_{sw}/s f_{yd} \operatorname{ctg} \vartheta.$$

Con riferimento al calcestruzzo d'anima, la resistenza di calcolo a "taglio compressione" si calcola con:

$$V_{Rcd} = 0.9 d b_w \alpha_c f_{cd} \operatorname{ctg} \vartheta (1 + \operatorname{ctg}^2 \vartheta).$$

La resistenza al taglio della trave è la minore delle due sopra definite:

$$V_{Rd} = \min (V_{Rcd}, V_{Rsd}),$$

dove:

- d è l'altezza utile della sezione,
- σ_{cp} è la tensione media di compressione nella sezione ($\leq 0.2 f_{ck}$),
- b_w è la larghezza minima della sezione,
- A_{sw} è l'area dell'armatura trasversale,
- s è l'interasse tra due armature trasversali consecutive,
- f_{cd} è la resistenza a compressione ridotta del calcestruzzo d'anima,
- α_c è il coefficiente maggiorativo funzione di σ_{cp} .

7.3 VERIFICHE ALLO STATO LIMITE DI FESSURAZIONE

In ordine di severità si distinguono i seguenti stati limite:

- a) Stato limite di decompressione nel quale la tensione normale è ovunque di compressione ed al più uguale a 0;
- b) Stato limite di formazione delle fessure nel quale la tensione normale di trazione nella fibra più sollecitata è:

$$\sigma_{ct} = f_{ctm}/1.2,$$

con f_{ctm} definito definito nel paragrafo 11.2.10.2 delle NT;

- c) Stato limite di apertura delle fessure, il valore limite di apertura della fessura calcolato al livello considerato è pari ad uno dei seguenti valori nominali:

$$w_1 = 0.2 \text{ mm},$$

$$w_2 = 0.3 \text{ mm},$$

$$w_3 = 0.4 \text{ mm}.$$

Lo stato limite di fessurazione è fissato in funzione delle condizioni ambientali e della sensibilità delle armature alla corrosione, come descritto nel seguito.

Le combinazioni di riferimento sono:

- le combinazioni Quasi Permanenti,
- le combinazioni Frequenti.

Le condizioni ambientali si distinguono come riportato nella tabella seguente:

CONDIZIONI AMBIENTALI		CLASSE DI ESPOSIZIONE	
Ordinarie		X0, XC1, XC2, XC3, XF1	
Aggressive		XC4, XD1, XS1, XA1, XA2, XF2, XF3	
Molto aggressive		XD2, XD3, XS2, XS3, XA3, XF4	

Per quanto concerne la sensibilità delle armature, trattandosi di armature di acciaio ordinario queste si considerano poco sensibili.

La scelta dei limiti di fessurazione si esegue sulla base di quanto riportato nella tabella seguente:

Gruppi di esigenze	Condizioni ambientali	Combinazione di azioni	Armatura			
			Sensibile		Poco sensibile	
			Stato limite	wd	Stato limite	wd
a	Ordinarie	frequente	ap. fessure	≤ w2	ap. fessure	≤ w3
		quasi permanente	ap. fessure	≤ w1	ap. fessure	≤ w2
b	Aggressive	frequente	ap. fessure	≤ w1	ap. fessure	≤ w2
		quasi permanente	decompressione	-	ap. fessure	≤ w1
c	Molto aggressive	frequente	formazione fessure	-	ap. fessure	≤ w1
		quasi permanente	decompressione	-	ap. fessure	≤ w1

Per quanto concerne gli stati limite di decompressione ("a" nell'elenco precedente) e di formazione delle fessure ("b"), le tensioni sono calcolate in base alle caratteristiche geometriche e meccaniche della sezione omogeneizzata non fessurata.

Per quanto concerne lo stato limite di apertura delle fessure il valore di calcolo di apertura w_d non deve superare i valori nominali w_1 , w_2 , w_3 secondo quanto riportato nella tabella precedente.

Il valore di calcolo è dato da:

$$w_d = 1.7 w_m,$$

dove:

w_m rappresenta l'ampiezza media delle fessure.

L'ampiezza media delle fessure w_m è calcolata come prodotto della deformazione media delle barre d'armatura ε_{sm} per la distanza tra le fessure Δ_{sm} :

$$w_m = \varepsilon_{sm} \Delta_{sm}.$$

Per i valori di ϵ_{sm} e Δ_{sm} si fa riferimento a quanto indicato da comprovata letteratura tecnica.

Nella Circolare Applicativa del 2009, si fa riferimento al seguente calcolo per w_d :

$$w_d = \epsilon_{sm} \Delta_{sm}$$

dove:

Δ_{sm} rappresenta la distanza massima tra le fessure.

La deformazione unitaria delle barre, ϵ_{sm} , può essere calcolata con la seguente espressione:

$$\epsilon_{sm} = 1/E_s [\sigma_s - k_t f_{ctm}/\rho_{eff} (1 + \alpha_e \rho_{eff})] \geq 0.6 \sigma_s/E_s,$$

dove:

σ_s è la tensione nell'armatura tesa valutata considerando la sezione fessurata,

α_e è il rapporto E_s/E_{cm} ,

ρ_{eff} è pari ad $A_s/A_{c,eff}$,

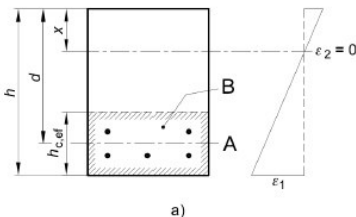
$A_{c,eff}$ è l'area efficace di calcestruzzo tesio attorno all'armatura, di altezza $h_{c,ef}$, dove $h_{c,ef}$ è il valore minore tra $2.5(h-d)$, $(h-x)/3$ ed $h/2$ (come indicato in figura seguente).

Nel caso di elementi in trazione, in cui esistono due aree efficaci, l'una all'estradosso e l'altra all'intradosso, entrambe le aree vanno considerate separatamente,

k_t è un fattore dipendente dalla durata del carico.

Legenda

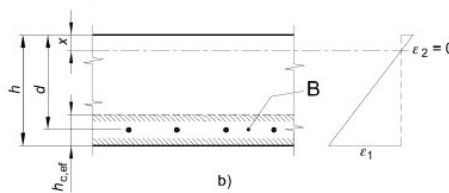
- a) Trave
 A Livello del baricentro dell'acciaio
 B Area tesa efficace, $A_{c,eff}$



a)

b) Piastra

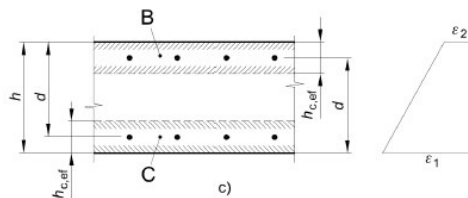
- B Area tesa efficace, $A_{c,eff}$



b)

c) Elemento in trazione

- B Area tesa efficace di estradosso, $A_{ct,eff}$
 C Area tesa efficace di intradosso, $A_{cb,eff}$



c)

Fig. C4.1.9 Area tesa efficace. Casi tipici.**Figura 7.1 Area tesa efficace. Casi tipici**

Per quanto concerne la distanza massima Δ_{smax} , nel caso in cui l'armatura sia disposta con una spaziatura non superiore a 5 ($c + \phi/2$), essa può essere valutata come segue:

$$\Delta_{smax} = k_3 c + k_1 k_2 k_3 k_4 \phi / p_{eff},$$

dove:

- ϕ è il diametro delle barre (se nella sezione sono impiegate barre di diametro diverso si raccomanda l'uso di un opportuno diametro equivalente ϕ_{eq}),
- c è il ricoprimento delle barre di armatura,
- k_1 è funzione dell'aderenza delle armature,
- k_2 è funzione dello stato sollecitativo di trazione o flessione,
- k_3 assume il valore fisso di 3.4,
- k_4 assume il valore fisso di 0.425.

Nel caso in esame, come riportato nelle caratteristiche dei materiali, le strutture di fondazione e i pali di fondazione presentano classe di esposizione XC2.

Pertanto si ottengono i seguenti limiti per lo stato limite di fessurazione:

	Condizioni ambientali	Combinazione di azioni	limite apertura fessure w_d
Strutture di fondazione e pali di fondazione	Ordinarie	Frequente	$\leq w_3 = 0.4 \text{ mm}$
		Quasi Permanente	$\leq w_2 = 0.3 \text{ mm}$

7.4 VERIFICHE DELLE TENSIONI IN ESERCIZIO

La massima tensione di compressione del calcestruzzo σ_c deve rispettare la seguente limitazione:

$$\sigma_c < 0.60 f_{ck} \quad \text{per combinazione caratteristica (rara),}$$

$$\sigma_c < 0.45 f_{ck} \quad \text{per combinazione quasi permanente.}$$

La tensione massima per l'acciaio σ_s deve rispettare la limitazione seguente:

$$\sigma_s < 0.80 f_{yk} \quad \text{per combinazione caratteristica.}$$

Nel caso in esame si ottiene pertanto:

- Per le strutture di fondazione e i pali di fondazione si ha $f_{ck} = 25 \text{ MPa}$ da cui:

$$\sigma_c < 0.60 f_{ck} = 15 \text{ MPa} \quad \text{per combinazione caratteristica (rara),}$$

$$\sigma_c < 0.45 f_{ck} = 11.3 \text{ MPa} \quad \text{per combinazione quasi permanente.}$$

La tensione dell'acciaio risulta pari a $\sigma_s < 0.80 f_{yk} = 360 \text{ Mpa}$

7.5 VERIFICHE AGLI STATI LIMITE ULTIMI DI TIPO GEOTECNICO

Le verifiche di sicurezza agli SLU di tipo geotecnico sono:

- collasso per carico limite della palificata nei riguardi dei carichi assiali di compressione e di trazione;
- collasso per carico limite della palificata nei riguardi dei carichi trasversali;
- stabilità globale.

7.5.1 Colllasso per carico limite della palificata nei riguardi dei carichi assiali di compressione e di trazione

Di seguito si riporta nel dettaglio la procedura di verifica nei confronti dei carichi assiali:

1. Determinazione della curva di resistenza di progetto del palo singolo, mediante l'utilizzo delle combinazioni di carico previste dalla Normativa, ed in particolare utilizzando l'approccio 2 (A1+M1+R3).
2. Determinazione dell'azione assiale massima (di compressione e di trazione) sul singolo palo, mediante l'analisi di gruppo col codice di calcolo Group come azioni agenti sull'intera palificata. Tale calcolo viene eseguito inserendo nel codice di calcolo Group:
 - la curva carico-cedimento del palo singolo abbattuta per effetto gruppo;
3. le curve p-y generate internamente da Group ed abbattute secondo procedura interna al codice di calcolo;
4. Definizione della lunghezza di palo entrando con le azioni assiali massime ricavate al punto 2 nella curva di resistenza definita al punto 1.
5. Adozione della lunghezza del palo così verificato per tutti i pali della palificata.

7.5.2 Colllasso per carico limite della palificata nei riguardi dei carichi trasversali

Per quanto concerne le verifiche geotecniche nei confronti dei carichi orizzontali si ritiene, in virtù della flessibilità dei pali sottoposti a tali carichi, che tale meccanismo di rottura non sia possibile, e che le problematiche progettuali della palificata sottoposta ai carichi di progetto orizzontali afferiscano piuttosto nei seguenti aspetti:

- limitazione degli spostamenti orizzontali entro i limiti accettabili, imposti dal progettista strutturale (nella valutazione del campo di spostamento indotto si terrà conto anche delle rotazioni);
- limitazione dei carichi orizzontali e dei relativi momenti di incastro per limiti strutturali.

7.5.3 Stabilità globale

La stabilità globale non viene qui considerata in quanto la geometria del problema non rende possibili fenomeni di instabilità globale della fondazione.

8 CURVE DI RESISTENZA DI PROGETTO DEL PALO SINGOLO

8.1 GENERALE

Le curve di resistenza di progetto a compressione (o trazione) del palo singolo $R_{c,d}$ (o $R_{t,d}$), da confrontare con la massima azione di compressione (o trazione) agente in testa al palo E_d , sono date dalle seguenti espressioni:

$$R_{c,d} = \frac{R_{c,k}}{\gamma_R} = \min \left\{ \frac{(R_{c;cal})_{media}}{\xi_3}; \frac{(R_{c;cal})_{min}}{\xi_4} \right\} / \gamma_R \quad \text{Resistenza di progetto a compressione}$$

$$R_{t,d} = \frac{R_{t,k}}{\gamma_R} = \min \left\{ \frac{(R_{t;cal})_{media}}{\xi_3}; \frac{(R_{t;cal})_{min}}{\xi_4} \right\} / \gamma_R \quad \text{Resistenza di progetto a trazione}$$

dove:

$R_{c,cal}$ e $R_{t,cal}$ resistenza di calcolo del palo singolo, rispettivamente a compressione e a trazione,

ξ_3, ξ_4 fattori di correlazione per la determinazione della resistenza caratteristica del palo in funzione del numero di verticali indagate,

$R_{c,k}$ e $R_{t,k}$ resistenza caratteristica del palo singolo rispettivamente a compressione e a trazione,

γ_R coefficienti parziali da applicarsi alle resistenze caratteristiche in funzione dell'approccio considerato.

Le resistenze di progetto vengono calcolate a partire dalla curva di capacità portante come indicato nel capitolo 12.

8.1.1 Resistenza laterale di calcolo

La resistenza laterale di calcolo è stata determinata, in base al tipo di terreno attraversato, come indicato nel seguito (AGI, 1984).

Per terreni coesivi, si utilizza l'equazione:

$$\tau_{LIM} = \alpha \cdot c_U \leq 100 kPa$$

dove:

α = coefficiente riduttivo:

= 0.9 per $cU \leq 25$ kPa; 0.8 per $25 < cU \leq 50$ kPa; 0.6 per $50 < cU \leq 75$ kPa; 0.4 per $cU > 75$ kPa; AGI [1984];

c_U = coesione non drenata (kPa).

I valori dell'attrito laterale limite in terreni granulari sono valutati mediante l'espressione:

$$\tau_{LIM} = K \cdot \sigma'_v \cdot \tan (\phi),$$

dove:

K = rapporto tra pressione orizzontale e pressione verticale efficace in prossimità del palo.

σ'_v = pressione geostatica verticale efficace;

ϕ = angolo d'attrito;

Per pali trivellati si adotta [Reese – Wright (1977)]:

$K = 0.7$ in compressione

$K = 0.5$ in trazione

Per pali battuti si adottano i coefficienti raccomandati da AGI [1984]. Per i pali trivellati deve essere comunque soddisfatta anche la seguente verifica:

$$\tau_{lim} \leq \tau = f(N_{SPT})$$

dove:

N_{SPT} = numero di colpi/piede in prova SPT.

Di seguito è illustrata la correlazione proposta da Wright e Reese tra il valore della τ_{lim} ed il valore di N_{SPT} .

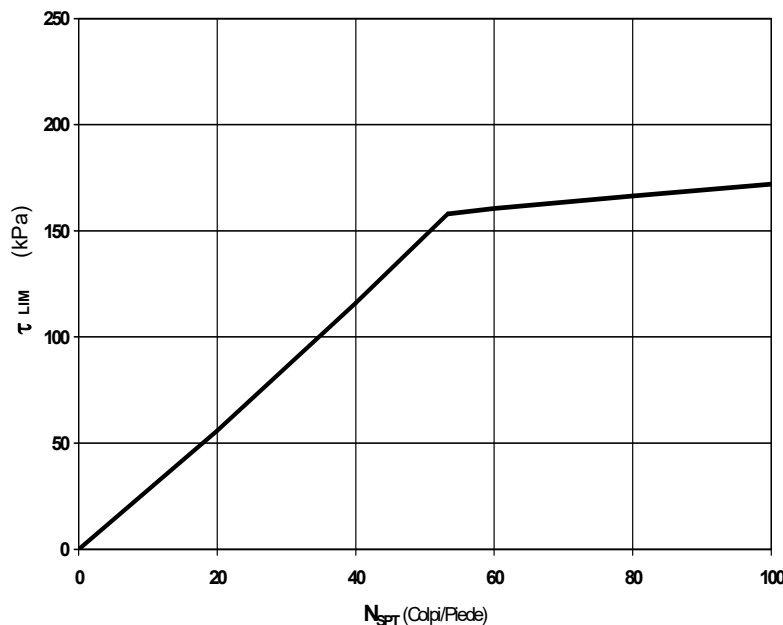


Figura 8.1: Terreni granulari - $\tau_{LIM} = f(N_{SPT})$ (Wright-Reese [1977])

Nel caso di terreni stratificati, costituiti da alternanze di strati di limi e argille sature e di sabbie e ghiaie, i criteri di valutazione delle portate laterali limite rimangono analoghi a quelli sopra descritti.

8.1.2 Resistenza di base di calcolo

La resistenza di base di calcolo è stata determinata, in base al tipo di terreno alla base del palo, come indicato nel seguito (AGI, 1984).

Per terreni coesivi, la valutazione della capacità limite di base viene calcolata in base all'equazione:

$$q_b = 9 \cdot c_u + \sigma_v$$

dove:

c_u = coesione non drenata (kPa).

σ_v = tensione geostatica verticale (kPa)

I valori di q_b sono interamente mobilizzati ad una profondità critica z_c (Meyerhof, Sastry [1978]), secondo l'espressione $z_c = m * D$ con D pari al diametro del palo e m variabile tra 4 e 8.

In accordo con le più recenti metodologie di calcolo, la valutazione della capacità limite di base per terreni granulari è condotta facendo riferimento non più alle condizioni di rottura bensì riferendosi ad una "portata critica" corrispondente ad una "condizione di servizio limite" basata su considerazioni di sedimenti ammissibili, ed in genere riferita all'insorgere di deformazioni plastiche nei terreni di fondazione. Pertanto, si porrà $q_b = q_{cr}$, dove

$$q_{cr} \quad = \quad \text{portata critica unitaria di base};$$

Per pali trivellati la portata critica è valutata in accordo con le indicazioni di Reese-Wright et al. [1978]:

$$q_{cr} = 0.0667 \cdot N_{SPT} \leq 4 MPa$$

I valori di q_{cr} sono interamente mobilitati ad una "profondità critica" z_c come descritto sopra, con m variabile fra 4 e 21 secondo la figura di seguito riportata.

Per pali battuti, la portata critica, sempre maggiore di quella per pali trivellati, viene valutata di volta in volta secondo le effettive modalità esecutive.

La costruzione dell'andamento della portata di base con la profondità in condizioni stratigrafiche particolari (pali che attraversano uno strato di terreno sciolto fino a immorsarsi in uno strato compatto di base di notevole spessore, piuttosto che pali immorsati in uno strato compatto di base di modesto spessore sovrastante uno strato di terreno sciolto) è condotta in accordo alle indicazioni riportate nelle figure seguenti.

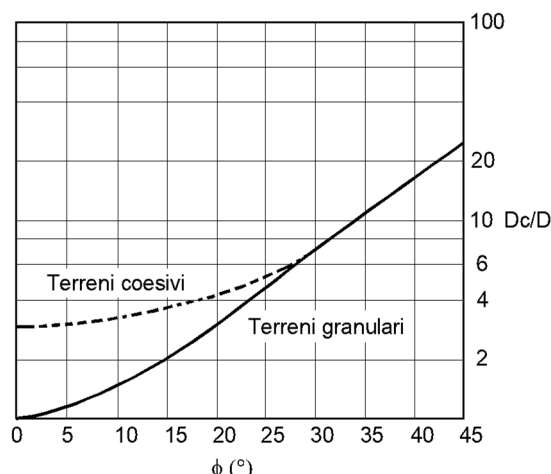


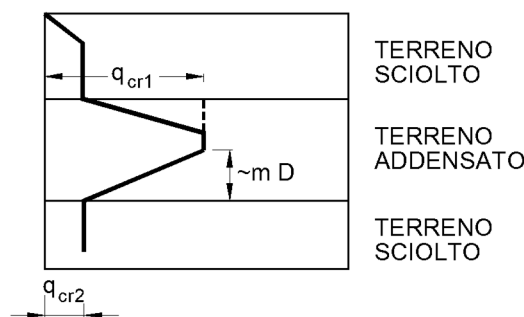
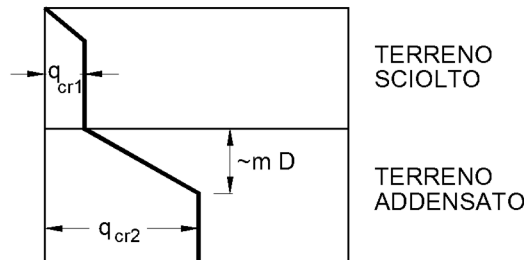
Figura 8.2: $zc/D = f(Dr)$ (Meyerhof [1976])

Figura 8.3: Portata di base - Terreni stratificati (Meyerhof [1976])

8.2 RESISTENZA DI CALCOLO DEI PALI TRIVELLATI DA PARAMETRI GEOTECNICI

La resistenza di calcolo $R_{c,cal}$ a compressione del palo viene definita come capacità portante totale data dalla somma dei contributi della resistenza laterale e della resistenza di base, mentre la resistenza di calcolo $R_{t,cal}$ a trazione del palo viene valutata come sola portata limite per attrito laterale. Di seguito si riportano entrambe le espressioni di calcolo:

$$R_{c,cal} = Q_{ult_comp} = Q_{lat_ult} + Q_{base_ult} - (W_p - W_s)$$

$$R_{c,traz} = Q_{ult_traz} = Q_{lat_ult} + (W_p - W_s)$$

dove:

Q_{ult_comp} Resistenza di calcolo a compressione;

Q_{ult_traz} Resistenza di calcolo a trazione

$$Q_{lat_ult} = \pi \cdot D \cdot \int_{z_t}^{z_b} \tau_{us} \cdot dz \quad \text{Portata limite per attrito laterale}$$

con

τ_{us} = tensione tangenziale ultima lungo il fusto del palo,

z_b = profondità della base del palo dal p.c. originario;

z_t = profondità della testa del palo dal p.c. originario.

$$Q_{base_ult} = \frac{\pi \cdot D^2}{4} \cdot q_{ub} \quad \text{Portata limite di base}$$

con

q_{ub} = pressione limite alla base del palo;

W_p Peso del palo;

W_s Peso del terreno sostituito dal palo.

8.3 RESISTENZA CARATTERISTICA

La resistenza caratteristica a compressione $R_{c,k}$ e la resistenza caratteristica a trazione $R_{t,k}$ del palo singolo sono state determinate a partire dalle resistenze di calcolo ottenute con metodi che utilizzano i parametri geotecnici adottati; in accordo con quanto definito nel paragrafo 6.4.3.1.1 delle NTC2018 risulta pertanto:

$$R_{c,k} = \text{Min} \left\{ \frac{(R_{c,cal})_{\text{media}}}{\xi_3}; \frac{(R_{c,cal})_{\text{min}}}{\xi_4} \right\}$$

$$R_{t,k} = \text{Min} \left\{ \frac{(R_{t,cal})_{\text{media}}}{\xi_3}; \frac{(R_{t,cal})_{\text{min}}}{\xi_4} \right\}$$

essendo:

$R_{c,k}$ e $R_{t,k}$ resistenza caratteristica rispettivamente a compressione e a trazione del palo singolo ad una data profondità;

$R_{c,cal}$ e $R_{t,cal}$ resistenza di calcolo rispettivamente a compressione e a trazione determinate ad una data profondità;

$(R_{c,cal})_{\text{media}}$ e $(R_{t,cal})_{\text{media}}$ resistenza di calcolo media ad una data profondità;

$(R_{c,cal})_{\text{min}}$ e $(R_{t,cal})_{\text{min}}$ resistenza di calcolo minima ad una data profondità;

ξ_3, ξ_4 fattori di correlazione in funzione del numero di verticali indagate, in accordo a quanto indicato nel paragrafo 6.4.3.1 delle NTC2018, Tab. 6.4.IV.

8.4 RESISTENZA DI PROGETTO

Il valori della resistenza di progetto a compressione $R_{c,d}$ e della resistenza di progetto a trazione $R_{t,d}$ sono determinati applicando al valore caratteristico della resistenza i coefficienti parziali γ_R secondo le seguenti espressioni:

$$R_{c,d} = \frac{R_{c,k}}{\gamma_R}$$

$$R_{t,d} = \frac{R_{t,k}}{\gamma_R}$$

essendo:

$R_{c,d}$ e $R_{t,d}$ resistenza di progetto del palo singolo rispettivamente a compressione e a trazione;

$R_{c,k}$ e $R_{t,k}$ resistenza caratteristica del palo singolo rispettivamente a compressione e a trazione;

γ_R coefficienti parziali da applicarsi alle resistenze caratteristiche in funzione dell'approccio considerato e della tipologia esecutiva del palo (vedi la figura di seguito in cui sono riportati i fattori parziali relativi a pali trivellati).

Pali trivellati	
Resistenza \ γ_R	R3 [-]
Base	1.30
Laterale - compressione	1.15
Laterale - trazione	1.25

Tabella 8.1: Coefficienti parziali alle resistenze caratteristiche

Nelle figure delle pagine seguenti si riportano, per ognuno dei cavalcavia in esame, i profili della resistenza di progetto variabili con la lunghezza del palo; tali curve sono state calcolate per le seguenti combinazioni di progetto:

- Resistenza di progetto, in condizioni statiche, in accordo all'Approccio 2 (coefficienti parziali A1+M1+R3);
- Resistenza di progetto, in condizioni sismiche SISMA, in accordo ai coefficienti parziali A1+M1+R3.

Tali valori saranno poi confrontati con i corrispondenti valori delle sollecitazioni assiali risultanti dai calcoli.

8.5 EFFETTO DI GRUPPO

La capacità portante di un gruppo di pali non è uguale alla somma delle capacità portanti dei pali considerati isolati, si può quindi valutare la riduzione di portanza attraverso un coefficiente di efficienza ϵ del gruppo di pali. Il coefficiente di efficienza ϵ è il rapporto tra la portanza della palificata e la somma delle portanze dei singoli pali:

$$P_{p\text{ult}} = \epsilon \cdot n \cdot P_{\text{ult}}$$

Per quanto riguarda le palificate in oggetto, essendo l'interasse minimo tra i pali $\phi = 1,50$ m pari a 1,80 m, pertanto inferiore ai 3 diametri, si è deciso di ridurre i valori di resistenza considerando un coefficiente $\epsilon = 0,71$ in modo da tenere conto dell'effetto di "trascinamento" del palo singolo su quelli adiacenti.

9 CALCOLO DELLA PALIFICATA

La spalla in oggetto è costituita da una paratia frontale ortogonale all'asse longitudinale dell'impalcato composta da pali in c.a. di diametro ϕ 1,50 m ad interasse pari a 1,80 m.

La paratia viene vincolata in corrispondenza della trave di coronamento da tre file di pali di ancoraggio anch'essi di diametro ϕ 1,50 m.

Tutti i pali presentano lunghezza pari a 30,0 m.

L'analisi della palificata, volta ad identificare i carichi massimi verticali agenti in testa ai pali, le sollecitazioni flettenti e di taglio lungo il fusto dei pali e gli spostamenti della palificata, è stata condotta utilizzando i codici di calcolo Group e Paratie.

A partire dalle azioni trasmesse dall' impalcato è stato effettuato il calcolo delle azioni nominali agenti in testa palificata in corrispondenza della mezzeria dell' asse della spalla. Tali azioni sono state combinate come richiesto da Normativa Vigente in modo da ottenere le quintuple di progetto per le combinazioni significative e dimensionanti. Le quintuple sono composte dalle seguenti azioni: sforzo normale, taglio e momento trasversali, taglio e momento longitudinali.

E' stato quindi realizzato un modello di calcolo dell' intera palificata tramite il software Group applicando le azioni sopra citate nelle combinazioni di progetto ad eccezione del taglio longitudinale.

Successivamente è stato realizzato un modello di calcolo tramite il software Paratie della paratia frontale di pali vincolata in corrispondenza della trave di coronamento da un appoggio, per modellare il vincolamento imposto dalle file di pali di ancoraggio. In questo modello di calcolo è stata applicata alla paratia la spinta del terreno a tergo, il sovraccarico stradale sul terrapieno a tergo, il taglio longitudinale trasmesso dagli appoggi sia nelle fasi statiche che nella fase finale sismica.

Infine è stato realizzato un modello di calcolo dei soli pali di ancoraggio della paratia frontale tramite il software Group in cui è stata applicata la reazione d'appoggio ottenuta dal precedente modello di Paratie opportunamente combinata secondo le combinazioni di progetto.

Le sollecitazioni assiali, taglienti e flettenti agenti sui pali calcolate nei tre modelli di calcolo sono state sommate e fattorizzate in modo da ottenere le sollecitazioni di progetto agli SLE e agli SLU strutturali e geotecnici.

9.1 PROGRAMMI DI CALCOLO

Il calcolo delle sollecitazioni sulla spalla viene condotto utilizzando i codici di calcolo Group e Paratie. Si riportano di seguito le principali caratteristiche dei due programmi di calcolo utilizzati.

9.1.1 Group

Il programma di calcolo agli elementi finiti Group 7.0.24 (Ensoft Inc.) permette di effettuare analisi tridimensionali di interazione tra plinto di fondazione, pali e terreno. Tale programma consente infatti di analizzare il comportamento di un gruppo di pali sottoposto a sollecitazioni assiali, di taglio e momento.

Il calcolo della palificata viene condotto ipotizzando che il plinto di fondazione sia infinitamente rigido. Si è utilizzata la funzione di generazione automatica delle curve di risposta non lineare del terreno carico – cedimento (curve t-z) per condizioni di carico assiale, torsione – rotazione (M-θ) per condizioni di carico torsionali, e carico orizzontale–spostamento orizzontale (curve p-y) per carichi orizzontali.

Per quanto riguarda le curve carico–cedimento relative a condizioni di carico assiale, il programma genera internamente, in base alla natura del terreno, le curve di trasferimento del carico assiale in funzione dello spostamento verticale del palo; tali curve sono implementate sulla base di dati ricavati da numerosi studi effettuati su pali strumentati, realizzati in terreni di diversa natura.

In particolare, per le curve p-y relative a carichi orizzontali, vengono utilizzate le correlazioni riportate di seguito.

La valutazione dei parametri necessari ad individuare il comportamento di un palo libero di ruotare in testa, soggetto a carico orizzontale e momento flettente applicati in testa, è effettuata attraverso la risoluzione del

problema di un palo infisso in un semispazio elastico sollecitato da una forza concentrata H_t agente in sommità del palo ed una coppia M_t ; tale problema è governato dalla risoluzione dell'equazione differenziale:

$$E_p J \frac{d^4 y}{dx^4} + Q \frac{d^2 y}{dx^2} = p$$

con:

- p = $-E_s y$ = reazione orizzontale del terreno per unità di lunghezza
 E_s = modulo di reazione orizzontale del terreno (modulo secante della curva di reazione del terreno $p-y$)
 E_p = modulo elastico del palo
 J = modulo di inerzia della sezione del palo
 y = spostamento orizzontale del palo alla quota x lungo il fusto del palo
 Q = carico assiale agente sul palo

Per pali caricati lateralmente di rigidità flessionale EPJ costante con la profondità e immersi in terreni caratterizzati dalle seguenti tre possibili diverse leggi di variazione del modulo ES con la profondità:

- $E_s = k$ modulo di reazione costante
 $E_s = k x$ modulo di reazione variabile linearmente con la profondità
 $E_s = k_1 + k_2 x$ variazione del modulo di reazione con legge polinomia,

si può fare riferimento alle soluzioni in forma chiusa individuate da Matlock-Reese [1960]. In questo caso, la valutazione dei parametri:

- y = spostamento orizzontale
 s = rotazione
 M = momento flettente
 T = taglio
 p = reazione orizzontale

si può effettuare con riferimento alle seguenti formule:

$$y = \left(\frac{H_t \cdot T^3}{E \cdot J} \right) \cdot A_y + \left(\frac{M_t \cdot T^2}{E \cdot J} \right) \cdot B_y$$

$$s = \left(\frac{H_t \cdot T^2}{E \cdot J} \right) \cdot A_s + \left(\frac{M_t \cdot T}{E \cdot J} \right) \cdot B_s$$

$$M = (H_t \cdot T) \cdot A_m + M_t \cdot B_m$$

$$H = H_t \cdot A_s + \left(\frac{M_t}{T} \right) \cdot B_s$$

$$p = \left(\frac{H_t}{T} \right) \cdot A_p + \left(\frac{M_t}{T^2} \right) \cdot B_p$$

dove:

$A_y, B_y, A_s, B_s, A_m, B_m, A_v, B_v, A_p, B_p$ = coefficienti adimensionali, funzione di:

andamento con la profondità del modulo di reazione orizzontale del terreno;

flessibilità relativa, rappresentata dai rapporti L/T e z/T, con L pari alla lunghezza del palo e z pari alla profondità generica dal piano campagna, dove $T = (E_p J / k_1)^{0.2}$

In modo più rigoroso, l'equazione differenziale che descrive il comportamento del palo sottoposto a carico orizzontale può essere risolta iterativamente con un metodo di calcolo alle differenze finite, suddividendo il palo in conci di lunghezza h ed assegnando le adeguate condizioni al contorno alla testa del palo. Le curve p-y di risposta del terreno, che esprimono la resistenza del terreno in funzione della profondità e dello spostamento del palo, possono essere ricavate in relazione alla tipologia di terreni e alle proprietà geomeccaniche che li caratterizzano, in accordo alle procedure proposte da:

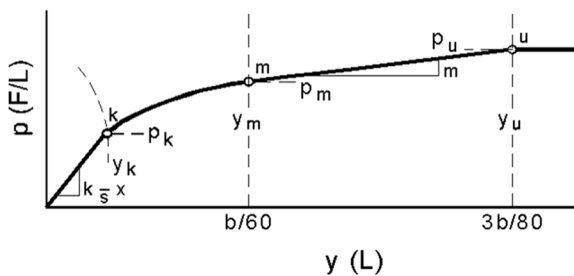
Reese, Cox e Koop [B15] per sabbie

Welch e Reese [B21] per argille tenere

Reese, Cox e Koop [B16] per argille dure sotto falda

Welch-Reese [B21] e Reese-Welch [B17] per argille dure sopra falda

I metodi di calcolo sono descritti da Figura 9.1.a a Figura 9.1.i con riferimento sia ai carichi statici che ai carichi ciclici.



1- calcolo di $p = \min(p_{u1}; p_{u2})$

$$p_{u1} = \gamma \cdot z \cdot \frac{K_0 \cdot z \cdot \tan \phi \cdot \sin \beta}{\tan(\beta - \phi) \cdot \cos \alpha} \cdot A_1 + \frac{\tan \beta}{\tan(\beta - \phi)} \cdot (D \cdot A_3 + z \cdot \tan \beta \cdot \tan \alpha \cdot A_3^2) +$$

$$+ \gamma \cdot z \cdot [+ K_0 \cdot z \cdot \tan \beta \cdot (\tan \phi \cdot \sin \beta - \tan \alpha) \cdot A_1 - K_a \cdot D]$$

$$p_{u2} = K_a \cdot D \cdot \gamma \cdot z \cdot \left(\tan^8 \beta - 1 \right) + K_0 \cdot D \cdot \tan \phi \cdot \tan^4 \beta$$

$$A_1 = (4 \cdot A_2^3 - 3 \cdot A_2^2 + 1)$$

$$A_2 = (\tan \beta \cdot \tan \delta) / (\tan \beta \cdot \tan \delta + 1)$$

$$A_3 = 1 - A_2$$

dove :

p_u resistenza laterale unitaria ultima

y spostamento orizzontale

γ peso di volume efficace

z profondità da p.c.

K_0 coefficiente di spinta a riposo

ϕ angolo di attrito

$\beta = 45 + \phi/2$

$\alpha = \phi/2$

D diametro del palo

$K_a = \tan^2(45 + \phi/2)$

δ inclinazione del piano campagna rispetto all'orizzontale

2- calcolo di $p_u = A_i \cdot p$ (Fig. 10).

3- calcolo di $p_m = B_i \cdot p$ (Fig. 10)

4- definizione del tratto iniziale della curva $p-y$

5- definizione del tratto parabolico della curva $p-y$
 $p = Cy^{1/n}$

dove :

$$n = p_m / my_m$$

$$C = p_m / (y_m)^{1/n}$$

Figura 9.1.a: Curva p-y per SABBIE – carichi statici e ciclici

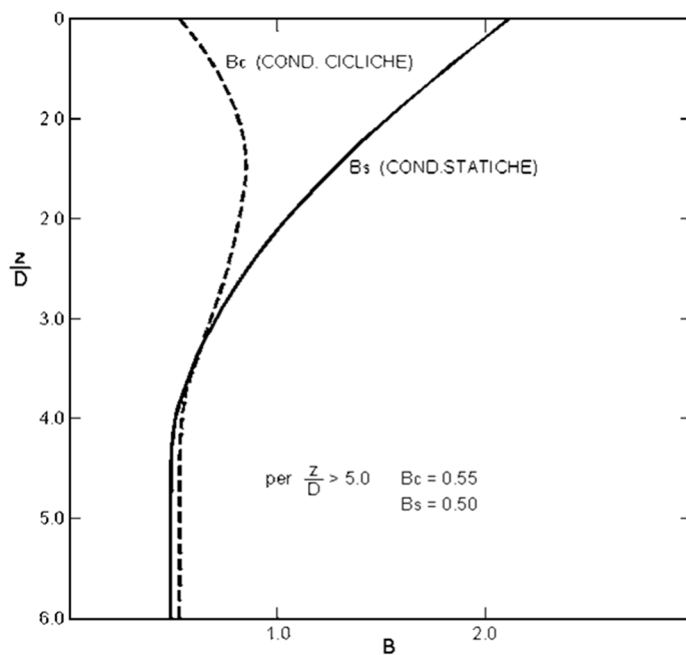
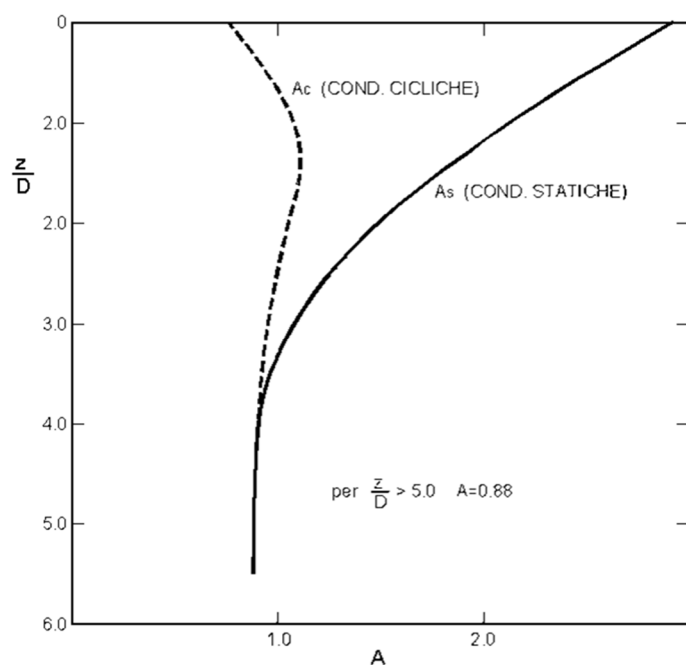
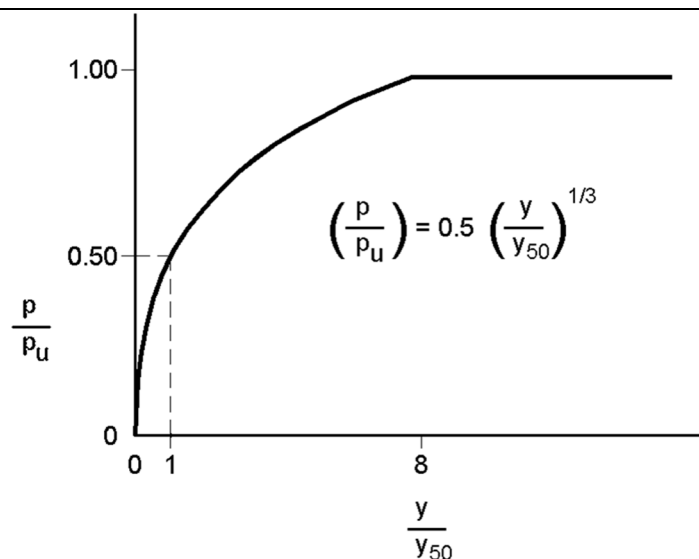


Figura 9.1.b: Curva p-y per SABBIE – carichi statici e ciclici



$$p_{u1} = [3 + \sigma'/c_u + (J/D)z]c_u D \alpha$$

$$p_{u2} = 9 c_u D \alpha$$

$$\alpha = 1/(1 + \tan \delta)$$

$$p_u = \min(p_{u1}, p_{u2})$$

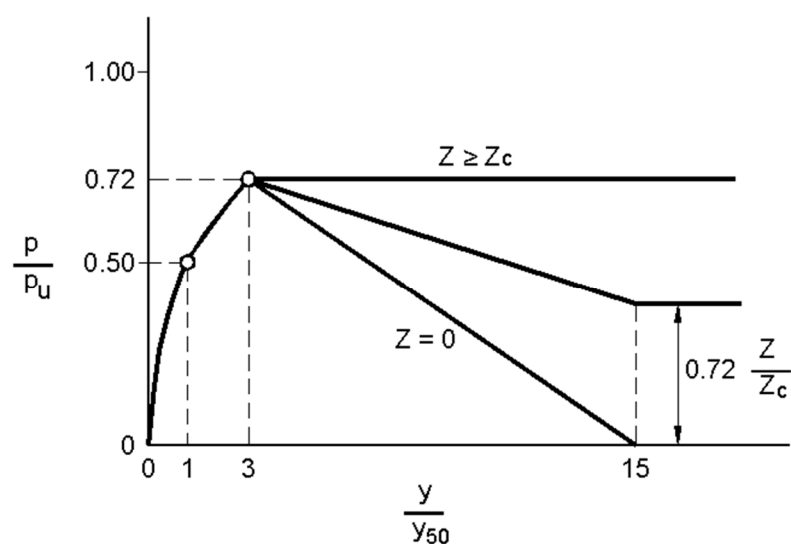
$$p/p_u = 0.5 (y/y_{50})^{1/3}$$

$$y_{50} = 2.5 \varepsilon_{50} D$$

dove:

p_u	resistenza laterale unitaria ultima
σ'	pressione geostatica verticale efficace alla quota z
c_u	coesione non drenata
z	profondità da p.c.
D	diametro del palo
δ	inclinazione del piano campagna rispetto all'orizzontale
y	spostamento orizzontale
y_{50}	spostamento orizzontale per $p=0.5 p_u$
ε_{50}	deformazione unitaria corrispondente ad una mobilitazione delle tensioni tangenziali pari al 50% della resistenza al taglio

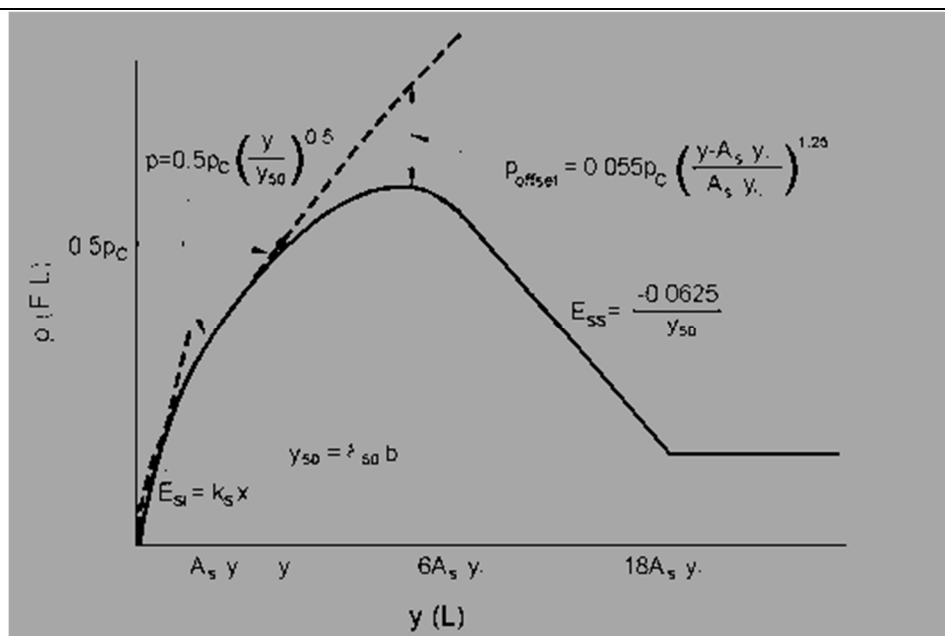
Figura 9.1.c: Curva p-y per ARGILLE TENERE SOTTO FALDA – carichi statici



$$Z_c = [6 c_u D] / [\gamma' D + 0.5 c_u] \alpha$$

γ' = peso di volume efficace

Figura 9.1.d: Curva $p-y$ per ARGILLE TENERE SOTTO FALDA – carichi ciclici



$$p_{u1} = (3 c_u D + \sigma' D + 2.83 c_u z)$$

$$p_{u2} = 11 c_u D \alpha$$

$$\alpha = 1/(1+\tan\delta)$$

$$p_u = \min(p_{u1}; p_{u2})$$

p_u resistenza laterale unitaria ultima

z profondità da p.c.

σ' pressione geostatica verticale efficace alla profondità z

c_u coesione non drenata

D diametro del palo

y spostamento orizzontale

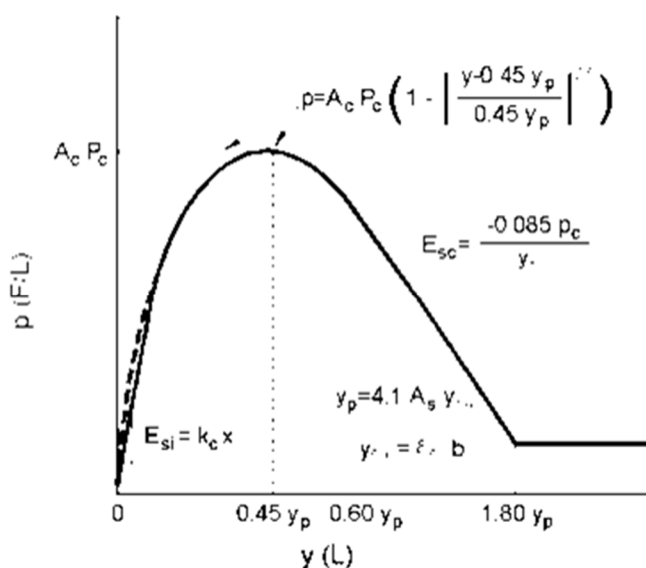
y_{50} = $2.5 \epsilon_{50} D$ = spostamento orizzontale per $p=0.5 p_u$

ϵ_{50} deformazione unitaria corrispondente ad una mobilitazione delle tensioni tangenziali pari al 50% della resistenza al taglio

k_s pendenza del tratto iniziale della curva

A_s parametro empirico (vedasi figura 6.1.1.g)

Figura 9.1.e: Curva $p-y$ per ARGILLE DURE SOTTO FALDA – carichi statici



K_c pendenza del tratto iniziale della curva
 A_c parametro empirico (vedasi figura 6.1.1.g)

Figura 9.1.f: Curva $p-y$ per ARGILLE DURE SOTTO FALDA – carichi ciclici

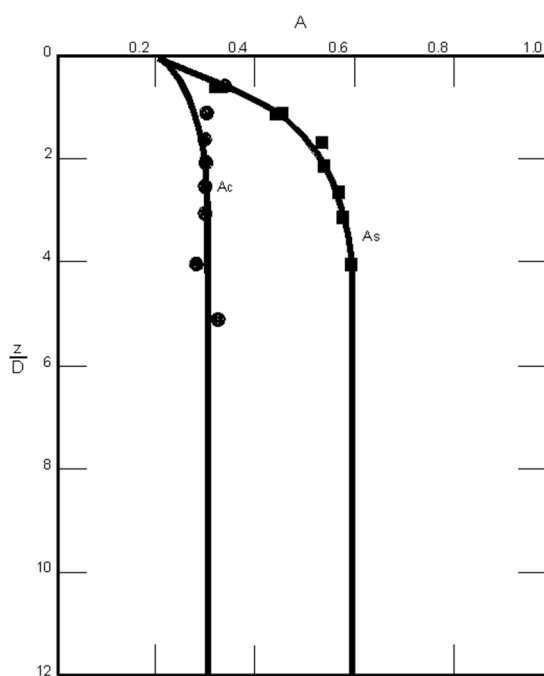
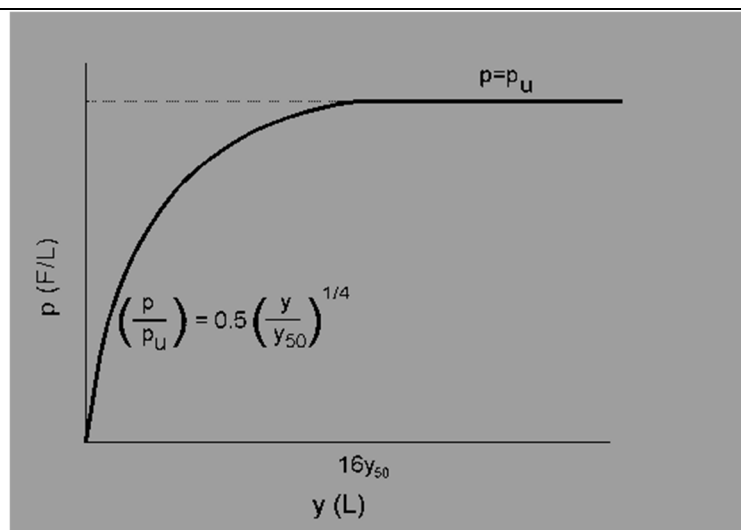


Figura 9.1.g: Curva $p-y$ per ARGILLE DURE SOTTO FALDA-Parametri empirici A_c e A_s



$$p_{u1} = [3c_u D + \gamma'D z + 2.83c_u z] \alpha$$

$$p_{u2} = 9 c_u D \alpha$$

$$\alpha = 1/(1+\tan\delta)$$

$$p_u = \min(p_{u1}, p_{u2})$$

dove :

p_u resistenza laterale unitaria ultima

γ' peso di volume unitario

c_u coesione non drenata

z profondità da p.c.

D diametro del palo

δ inclinazione del piano campagna rispetto all'orizzontale

y spostamento orizzontale

y_{50} spostamento orizzontale per $p=0.5 p_u$ ($= 2.5 \epsilon_{50} D$)

ϵ_{50} deformazione unitaria corrispondente ad una mobilitazione delle tensioni tangenziali pari al 50% della resistenza al taglio

K_s pendenza del tratto iniziale della curva

Figura 9.1.h: Curva p-y per ARGILLE DURE SOPRA FALDA – carichi statici

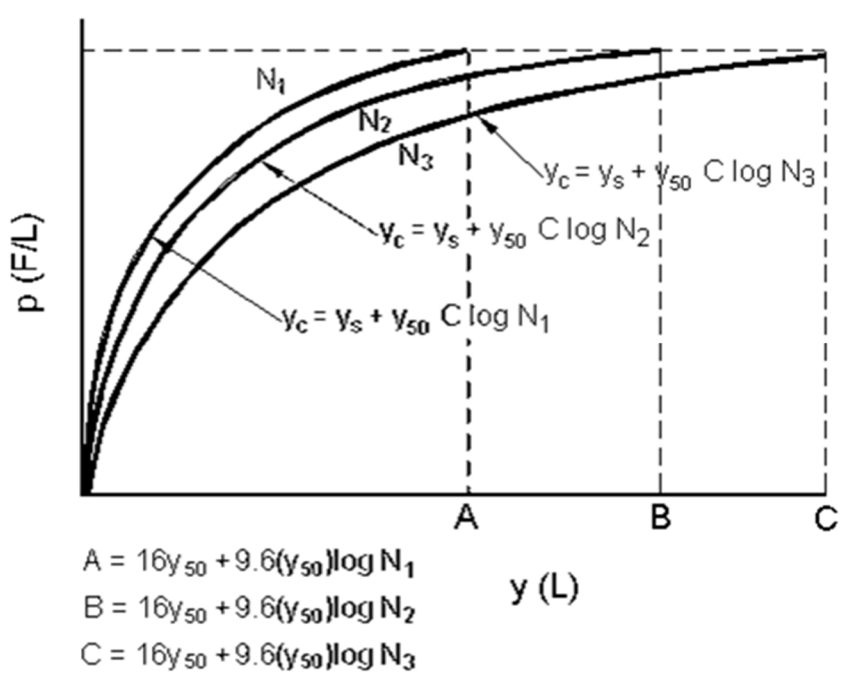
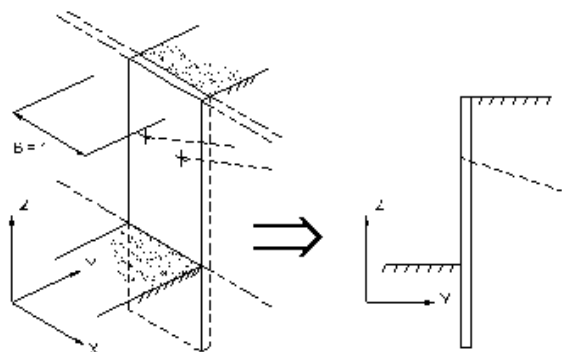


Figura 9.1.i: Curva p - y per ARGILLE DURE SOPRA FALDA – carichi ciclici

Paratie

Il programma di calcolo Paratie è un codice agli elementi finiti che simula il problema di uno scavo sostenuto da diaframmi flessibili e permette di valutare il comportamento della parete di sostegno durante tutte le fasi intermedie e nella configurazione finale.

Il problema è assimilato ad un problema piano in cui viene analizzata una "fetta" di parete di larghezza unitaria, come mostrato nella figura che segue.



La modellazione numerica dell'interazione terreno-struttura è del tipo "TRAVE SU SUOLO ELASTICO": le pareti di sostegno vengono rappresentate con elementi finiti tipo trave il cui comportamento è definito dalla rigidezza flessionale EJ , mentre il terreno viene simulato attraverso elementi elastoplastici monodimensionali (molle) connessi ai nodi delle paratie: ad ogni nodo convergono uno o al massimo due elementi terreno.

Il programma di calcolo consente di valutare gli effetti delle spinte del terreno sia durante le fasi costruttive che nella configurazione finale di progetto su diaframmi flessibili.

Il programma permette di analizzare l'interazione terreno-struttura durante le fasi realizzative dell'opera, valutando le deformazioni laterali subite dal diaframma durante le varie fasi di scavo e di conseguenza la variazione delle pressioni orizzontali nel terreno. La simulazione numerica del problema reale è condotta con il metodo degli elementi finiti. Si analizza il problema piano (i gradi di libertà nodali attivi sono lo spostamento laterale e la rotazione fuori piano); la schematizzazione del fenomeno fisico è del tipo 'trave su suolo elastico alla Winkler'.

La parete di sostegno è schematizzata da una serie di elementi finiti verticali il cui comportamento flessionale è definito dalla rigidezza flessionale EJ ; il terreno è simulato da elementi finiti monodimensionali (molle) con legge costitutiva di tipo elasto-plastico; gli altri elementi strutturali (tiranti, solette, puntoni...) sono schematizzati tramite molle puntuali convergenti in alcuni nodi della parete.

L'analisi svolta è una analisi statica incrementale di tipo elasto-plastico: ogni configurazione, quindi, dipende in generale dalle configurazioni precedenti e lo sviluppo di deformazioni plastiche ad un certo step di carico condiziona la risposta della struttura negli step successivi.

La legge costitutiva, rappresentativa del comportamento elasto-plastico del terreno, è identificata dai parametri di spinta/reazione e di deformabilità del terreno, e prevede cicli di scarico e ricarico.

I parametri di spinta/reazione del terreno sono:

il coefficiente di spinta a riposo K_o , (corrispondente alla condizione iniziale indeformata) i coefficienti di spinta attiva K_A e passiva K_P (corrispondenti alle condizioni di equilibrio limite inferiore e superiore).

I parametri di deformabilità del terreno compaiono nella definizione della rigidezza delle molle. In particolare tale rigidezza viene definita come:

$$K = \frac{E \cdot \Delta}{L}$$

dove E è il modulo elastico del terreno , Δ il passo di discretizzazione della struttura ed L una grandezza geometrica caratteristica, diversa tra monte (L_A) e valle (L_P) in quanto diversa è la dimensione del cuneo di terreno coinvolto nel movimento.

Il programma valuta automaticamente la grandezza L attraverso le seguenti relazioni:

$$L_A = \frac{2}{3} I_A \tan(45^\circ - \frac{\phi'}{2}) \quad \text{in zona attiva}$$

$$L_P = \frac{2}{3} I_P \tan(45^\circ + \frac{\phi'}{2}) \quad \text{in zona passiva}$$

dove I_A ed I_P sono rispettivamente:

$$I_A = \min\{l, 2H\}$$

$$I_P = \min\{-H, H\}$$

con

l = lunghezza totale della paratia,

H = profondità corrente dello scavo.

I contrasti rappresentati dai tiranti sono schematizzati mediante elementi finiti che divengono attivi a partire dal momento in cui vengono inseriti. L'inserimento di tali elementi provoca nel modello due effetti:

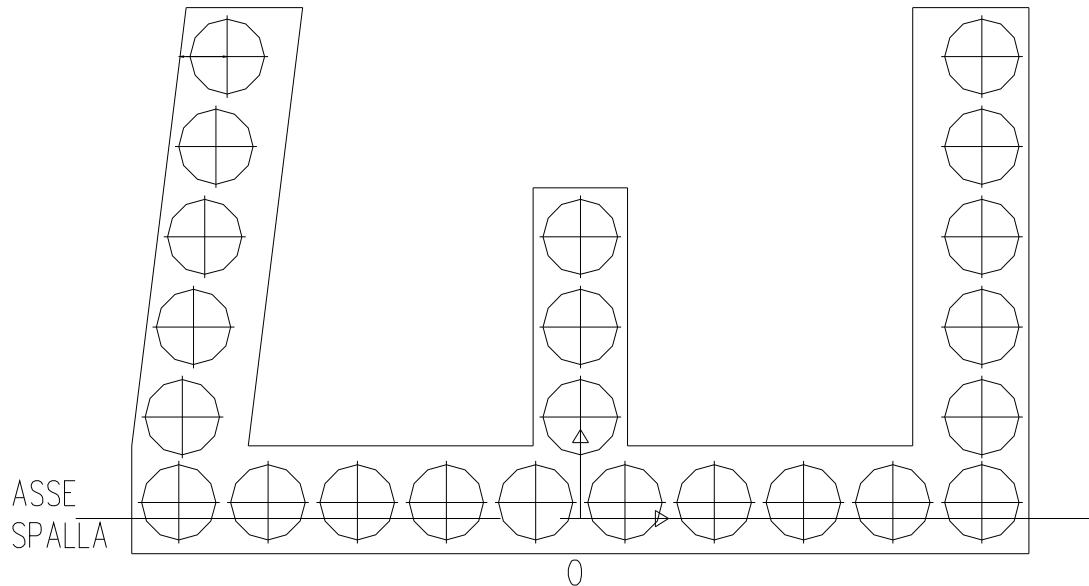
l'insorgenza di una forza nel nodo di applicazione, corrispondente alla forza di coazione eventualmente imposta;

la modifica delle rigidezze globali della struttura (matrice di rigidezza assemblata) attraverso l'aggiunta di un contributo pari alla rigidezza del contrasto.

Quando, nelle fasi successive, in corrispondenza del nodo ove il tirante è connesso viene a modificarsi lo spostamento, lo stato di sollecitazione nel tirante subirà incrementi pari all'incremento di spostamento moltiplicato per la rigidezza. Nelle equazioni di equilibrio si tiene ovviamente conto delle variazioni di sforzo nei contrasti.

9.2 CALCOLO DELLE AZIONI AGENTI IN TESTA PALIFICATA

Si riporta di seguito il calcolo delle azioni agenti in testa palificata in corrispondenza della mezzeria dell'asse della spalla (punto O della pianta palificata di seguito riportata).



I carichi elementari considerati sono il peso delle strutture e dei permanenti portati dell' impalcato, il peso del paragliaia e della trave di coronamento, il ritiro della soletta in c.a, la variazione termica, il traffico veicolare sull'impalcato, il vento e le azioni simiche.

CARICHI PERMANENTI		
Pesi strutturali e permanenti portati	13160,0	kN
Area trave di coronamento	4,63	m ²
Sviluppo trave di coronamento	41,35	m
Peso trave di coronamento	4786,3	kN
Eccentricità trave di coronamento	-3,324	m
Momento longitudinale peso trave di coronamento	-15909,5	kNm

AZIONI DOVUTE AL RITIRO		
Ritiro della soletta	200,0	kN
Quota baricentro soletta rispetto a estradosso traverso	0,2	m
Altezza traverso metallico	0,8	m
Altezza appoggi	0,3	m
Altezza trave di coronamento	2,0	m
Quota di applicazione ritiro rispetto a testa palificata	3,3	m
Momento longitudinale dovuto al ritiro della soletta	660,0	kNm

AZIONI DOVUTE ALLE VARIAZIONI TERMICHE		
Azione assiale dovuta alla variazione termica in soletta	300,0	kN
Quota di applicazione variazione termica rispetto a testa palificata	3,3	m
Momento longitudinale dovuto alla variazione termica	990,0	kNm

AZIONI DOVUTE AL TRAFFICO			
Luce di calcolo		70,0	m
1 CORSIA	2Q _{1k}	600	kN
	q _{1k}	9	kPa
	Sq _{1k}	945	kN
	e ₁	3,35	m
	N _{Q1k}	1545,0	kN

	M _{trasv_Q1k}	5175,8	kNm
--	------------------------	---------------	-----

2 CORSIA	2Q _{2k}	400	kN
	q _{2k}	2,5	kPa
	Sq _{2k}	262,5	kN
	e ₂	0,35	m
	N _{Q2k}	662,5	kN
	M _{trasv_Q2k}	231,9	kNm

FOLLA	q _{fk}	2,5	kPa
	b _{folla}	2,6	m
	Sq _{fk}	227,5	kN
	e _{fk}	6,15	m
	N _{fk}	227,5	kN
	M _{fk}	1399,1	kNm

FRENATURA	Azione orizzontale dovuta alla frenatura	275	kN
	Quota di applicazione frenatura rispetto a testa palificata	3,51	m
	Momento longitudinale dovuto alla frenatura	965,25	kNm

AZIONI DOVUTE AL VENTO		
Pressione del vento	1,0	kPa
Altezza investita dal vento	5,0	m
Lunghezza investita dal vento	35,0	m
Forza trasversale dovuta al vento	175,0	kN
Momento trasversale dovuto al vento	437,5	kNm

AZIONI SISMICHE SLV		
Accelerazione orizzontale di progetto a _g	0,212	g
Coefficiente di amplificazione stratigrafica S _s	1,4	

Coefficiente di amplificazione topografica S_T	1,0	
Accelerazione orizzontale massima di progetto a_{max}	0,297	g
Inerzia strutturali e permanenti portati	2632,0	kN
Quota inerzia strutturali e permanenti portati rispetto a testa palificata	4,8	m
Momento dovuto all'inerzia strutturali e permanenti portati	12633,6	kNm
Inerzia trave di coronamento	1420,6	kN
Quota inerzia trave di coronamento rispetto a testa palificata	1,2	m
Momento dovuto all'inerzia della trave di coronamento	1704,7	kNm

Si riportano di seguito le azioni agenti in testa palificata in corrispondenza della mezzeria dell'asse della spalla nelle combinazioni di carico significative e dimensionati.

Combinazione GEO SLU n° 59 - Traffico Dominante

Sforzo normale	17194.7	kN
Taglio longitudinale	380.0	kN
Momento longitudinale	-14749.3	kNm
Taglio trasversale	136.5	kN
Momento trasversale	8169.0	kNm

Combinazione STR SLU n° 21 - Traffico Dominante

Sforzo normale	22719.8	kN
Taglio longitudinale	416.0	kN
Momento longitudinale	-20231.7	kNm
Taglio trasversale	157.5	kN
Momento trasversale	9582.9	kNm

Combinazione SLE Rara n° 101 - Traffico Dominante

Sforzo normale	16829.5	kN
Taglio longitudinale	380.0	kN
Momento longitudinale	-14749.3	kNm
Taglio trasversale	105.0	kN
Momento trasversale	7069.3	kNm

Combinazione SLE Frequenti n° 131 - Traffico Dominante
--

Sforzo normale	16220.7	kN
Taglio longitudinale	350.0	kN
Momento longitudinale	-14848.3	kNm

Taglio trasversale	0.0	kN
Momento trasversale	5105.1	kNm

Combinazione SLE Quasi Permanente n° 141

Sforzo normale	14394.5	kN
Taglio longitudinale	350.0	kN
Momento longitudinale	-14848.3	kNm
Taglio trasversale	0.0	kN
Momento trasversale	0.0	kNm

Combinazione SISMA LONGITUDINALE n° 144 a (Verticale verso il basso)

Sforzo normale	14509.4	kN
Taglio longitudinale	3694.9	kN
Momento longitudinale	-5469.6	kNm
Taglio trasversale	1003.5	kN
Momento trasversale	2813.6	kNm

Combinazione SISMA LONGITUDINALE n° 144 b (Verticale verso l'alto)

Sforzo normale	14279.5	kN
Taglio longitudinale	3694.9	kN
Momento longitudinale	-5469.6	kNm
Taglio trasversale	1003.5	kN
Momento trasversale	2813.6	kNm

9.3 CALCOLO DELLE SOLLECITAZIONI DOVUTE A SFORZO NORMALE, MOMENTO E TAGLIO TRASVERSALE E MOMENTO LONGITUDINALE

Per calcolare le sollecitazioni dovute allo sforzo normale, al momento e al taglio trasversale e al momento longitudinale è stato realizzato un modello di calcolo tridimensionale dell'intera palificata tramite il software Group per le combinazioni di progetto.

9.3.1 Analisi della palificata

Nel modello di calcolo non è stato preso in considerazione il contributo resistente dello strato superficiale di materiale da rilevato di altezza pari a 4,50 m in quanto a tergo della fila frontale di pali esso risulta plasticizzato.

Essendo l'interasse minimo tra i pali $\phi = 1,50$ m pari a 1,80 m, pertanto inferiore ai 3 diametri, nel modello di calcolo è stata ridotta la curva carico – cedimento assiale del palo adottando un coefficiente $\varepsilon = 0,71$ in modo da tenere conto dell'effetto di trascinamento del palo singolo su quelli adiacenti.

Nel sistema di riferimento adottato la quota "0" coincide con la testa pali, l'asse x è l'asse verticale, l'asse y coincide con la direzione longitudinale e l'asse z con quella trasversale.

Il centro del sistema di riferimento 0,0 viene posto in corrispondenza della mezzeria dell'asse della spalla.

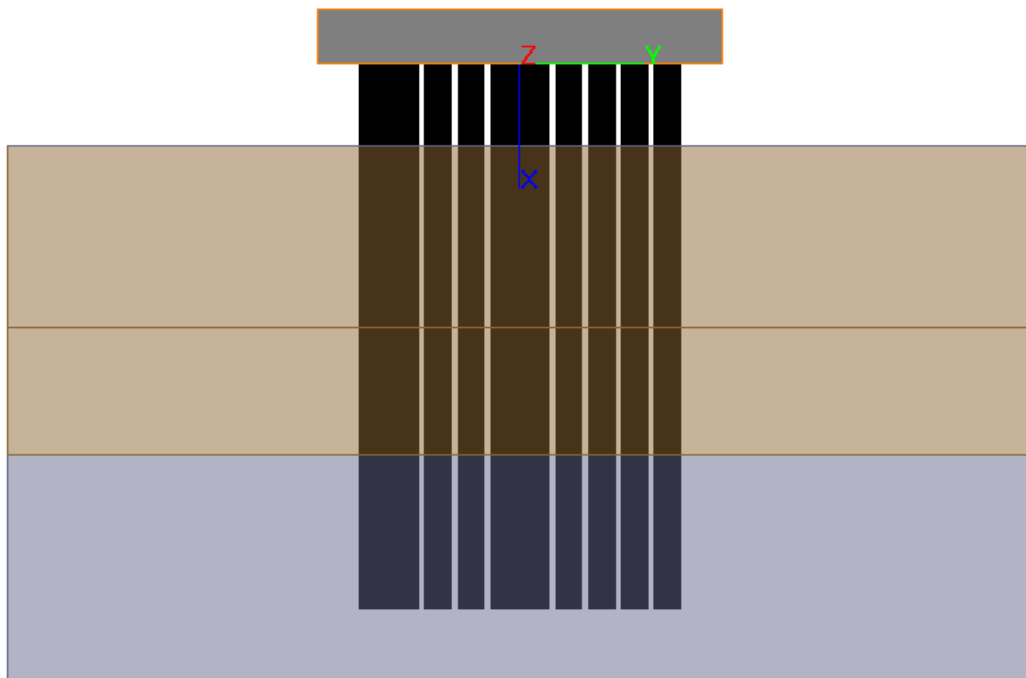


Figura 9.3.a: Sezione della palificata.

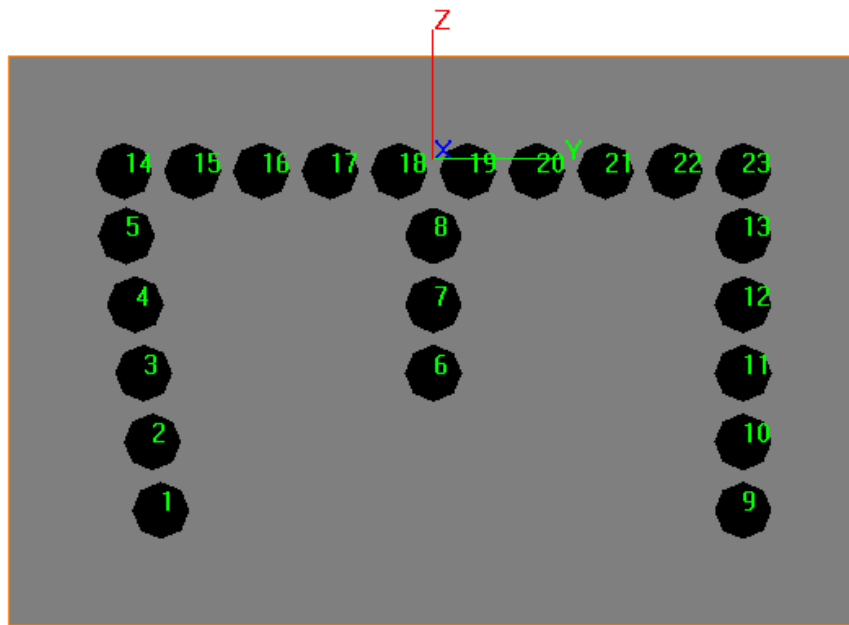


Figura 9.3.b: Pianta della palificata.

I pali della paratia frontale sono stati modellati con vincolo di incastro in testa (pali numerati da 14 a 23), mentre i pali di ancoraggio della paratia sono stati modellati con testa libera di ruotare (pali numerati da 1 a 13).

Il calcolo delle sollecitazioni è stato effettuato tramite un modello di calcolo leggermente conservativo rispetto a quella di progetto.

La modellazione tridimensionale della palificata in GROUP è stata eseguita in accordo a quanto contenuto nel capitolo di caratterizzazione geotecnica e considerando le seguenti stratigrafie ed i seguenti parametri caratteristici del terreno:

Da	a	Formazione	γ'	Cu	Φ'
(m)	(m)	(-)	(kN/m ³)	(kPa)	(°)
0,0	-6,5	A	9	60 + 1,5 z	26
-6,5	-9,0	B	9	-	35
-9,0	-19,0	A	9	60 + 1,5 z	26
-19,0	-31,0	B	9	-	35

A titolo di esempio di seguito si mostra il modello tridimensionale della palificata con le sollecitazioni relative alla combinazione GEO-SLU.

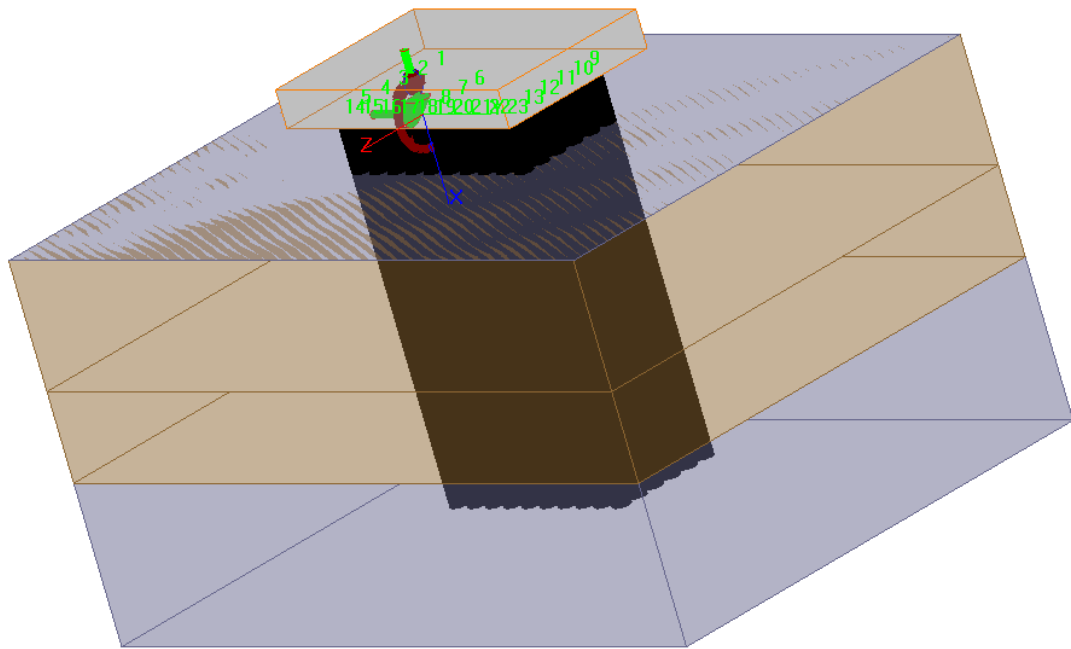


Figura 9.3.c: Modello tridimensionale palificata.

9.3.2 Risultati delle analisi

Di seguito si riassumono le sollecitazioni nelle combinazioni SLU statiche e sismiche, nelle combinazioni SLE statiche e di fessurazione, ottenute come output implementando le sollecitazioni di progetto, precedentemente riportate.

Si assume la convenzione di sforzo normale di compressione positivo e sforzo normale di trazione negativo.

Combinazione GEO – SLU

Pali della paratia frontale : $N_{\max \text{SLU}} = 1580 \text{ kN}$

$$N_{\min \text{SLU}} = 1420 \text{ kN}$$

Pali ortogonali alla paratia frontale : $N_{\max \text{SLU}} = 1210 \text{ kN}$

$$N_{\min \text{SLU}} = -520 \text{ kN}$$

Combinazione STR – SLU

I50CV57T00000RSTR1424-2

RELAZIONE DI CALCOLO SPALLE

Pali della paratia frontale : $N_{\max \text{SLU}} = 2060 \text{ kN}$

$$N_{\min \text{SLU}} = 1890 \text{ kN}$$

$$M_{\max \text{SLU}} = 420 \text{ kNm}$$

$$T_{\max \text{SLU}} = 30 \text{ kN}$$

Pali ortogonali alla paratia frontale : $N_{\max \text{SLU}} = 1600 \text{ kN}$;

$$N_{\min \text{SLU}} = -660 \text{ kN}$$

$$M_{\max \text{SLU}} = 170 \text{ kNm}$$

$$T_{\max \text{SLU}} = 46 \text{ kN}$$

Combinazione SLE - Rara

Pali della paratia frontale : $N_{\max \text{SLE}} = 1540 \text{ kN}$

$$M_{\max \text{SLE}} = 320 \text{ kNm}$$

Pali ortogonali alla paratia frontale : $N_{\min \text{SLE}} = -495 \text{ kN}$

$$M_{\max \text{SLE}} = 130 \text{ kNm}$$

Combinazione SISMA - Longitudinale

Pali della paratia frontale : $N_{\max \text{SLU}} = 1250 \text{ kN}$

$$N_{\min \text{SLU}} = 1060 \text{ kN}$$

$$M_{\max \text{SLU}} = 480 \text{ kNm}$$

$$T_{\max \text{SLU}} = 75 \text{ kN}$$

Pali ortogonali alla paratia frontale : $N_{\max \text{SLU}} = 940 \text{ kN}$;

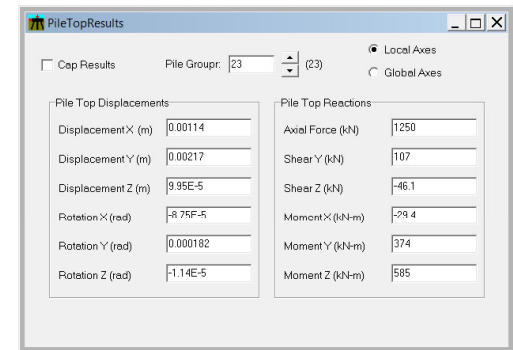
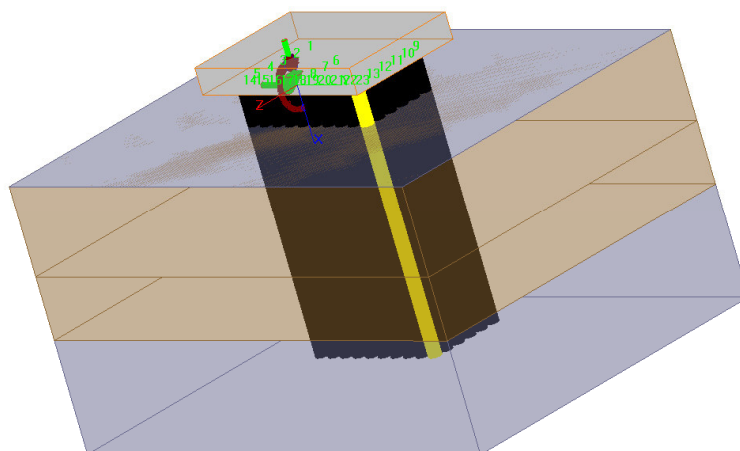
$$N_{\min \text{SLU}} = -400 \text{ kN}$$

$$M_{\max \text{SLU}} = 220 \text{ kNm}$$

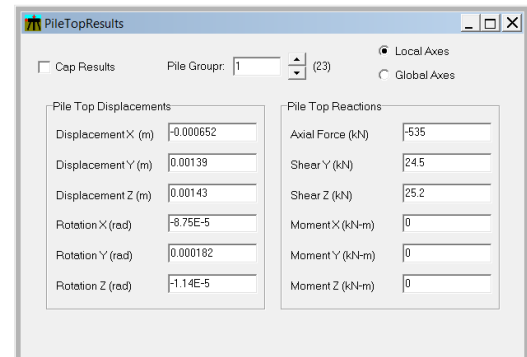
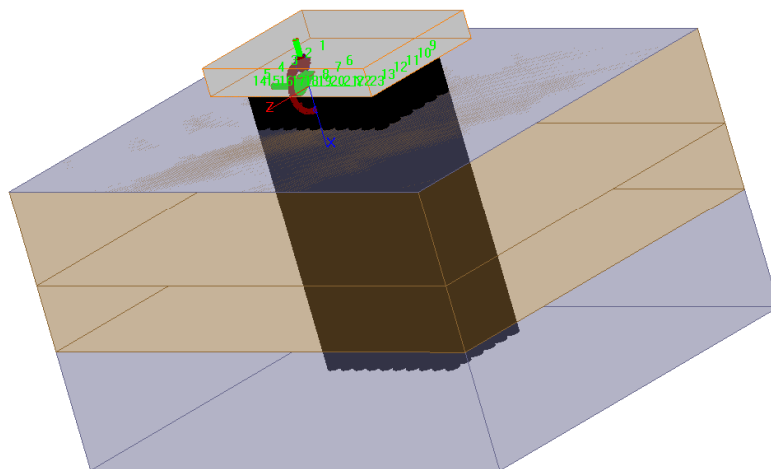
$$T_{\max \text{SLU}} = 35 \text{ kN}$$

Il massimo cedimento verticale del palo in combinazione SLE – Rara risulta pari a 1,9 mm, mentre nella combinazione GEO – SLU risulta pari a 2 mm.

Si riportano nelle figure di seguito il carico assiale massimo e minimo in testa palo nella combinazione SISMA - Longitudinale.



Combinazione SISMA – Longitudinale – Sforzo assiale massimo sul palo



Combinazione SISMA – Longitudinale – Sforzo assiale minimo sul palo

9.4 CALCOLO DELLE SOLLECITAZIONI SULLA PARATIA FRONTALE

Per effettuare il calcolo delle sollecitazioni sulla paratia frontale è stato realizzato un modello di calcolo tramite il software Paratie della paratia frontale vincolata in corrispondenza della trave di coronamento da un appoggio, per modellare il vincolamento imposto dalle file di pali di ancoraggio.

In questo modello di calcolo è stata applicata alla paratia la spinta del terreno a tergo, il sovraccarico stradale sul terrapieno a tergo e il taglio longitudinale trasmesso dagli appoggi sia nelle fasi statiche che nella fase finale sismica.

Si riporta di seguito la descrizione del modello di calcolo realizzato e le sollecitazioni sugli elementi strutturali.

9.4.1 Spinta della terra – Effetto dell'attrito terreno/struttura

Nella valutazione dei coefficienti di spinta (attiva e passiva) è necessario tenere in conto che l'angolo di attrito tra manufatto e terreno (δ) risulta inferiore all'angolo di attrito interno del terreno. Nel caso in studio si assume quanto segue:

$\delta/\phi = 0.67$ Spinta attiva - Analisi statiche e sismiche

$\delta/\phi = 0.50$ Spinta passiva - Analisi statiche e sismiche

9.4.2 Spinta della terra - Coefficienti di spinta in condizioni statiche

9.4.2.1 *Spinta a riposo*

Per piano campagna orizzontale si fa riferimento alla seguente correlazione (Jaky, 1944 e Schmidt, 1966):

$$k_o = 1 - \text{sen}(\phi') \text{OCR}^\alpha$$

con :

$$\alpha = 0.5$$

OCR = grado di sovraconsolidazione

Per pendio inclinato (β) si può considerare che la spinta a riposo sia parallela al p.c. e che il coefficiente k_o valga:

$$k_{o\beta} = k_o (1 + \text{sen}\beta)$$

9.4.2.2 *Spinta attiva*

Il coefficiente di spinta attiva (K_a) viene valutato ricorrendo alla correlazione generale di Mueller-Breslau basata sulla teoria di Coulomb e riferita a superfici di rottura piane. In questo caso l'approssimazione (rispetto a quanto si sarebbe ottenuto considerando superfici di rottura di geometria complessa) risulta molto contenuta e a favore di sicurezza.

$$K_a = \frac{\sin^2(\alpha + \rho)}{\sin^2 \alpha \cdot \sin(\alpha - \delta) \left[1 + \frac{\sqrt{\sin(\rho + \delta) \sin(\rho - \beta)}}{\sqrt{\sin(\alpha - \delta) \sin(\alpha + \beta)}} \right]^2}$$

dove:

ϕ = angolo d'attrito del terreno

α = angolo che la parete forma con l'orizzontale ($\alpha = 90^\circ$ per parete verticale)

δ = angolo d'attrito terreno-parete

β = inclinazione del terreno a monte rispetto all'orizzontale

9.4.2.3 Spinta passiva

Per il calcolo del coefficiente di spinta passiva si fa riferimento a superfici di rottura di tipo complesso (spirale logaritmica) come suggerito da Caquot & Kerisel (1948).

9.4.3 Coefficienti di spinta in condizioni sismiche

9.4.3.1 Coefficienti sismici

In accordo a quanto contenuto nel NTC 2018 si ricorre al metodo pseudostatico considerando i seguenti coefficienti sismici:

AZIONI SISMICHE SLV		
Accelerazione orizzontale di progetto a_g	0,212	g
Coefficiente di amplificazione stratigrafica S_s	1,400	
Coefficiente di amplificazione topografica S_T	1,000	
Accelerazione orizzontale massima di progetto a_{max}	0,297	g
α	0,500	
β	0,700	
$k_h = \alpha \beta a_{max} / g$	0,104	

9.4.3.2 Spinta attiva

Il coefficiente di spinta attiva (contributo statico + sismico) viene calcolato ricorrendo alla formulazione di Mononobe & Okabe:

$$K_{as} = \frac{\sin^2(\alpha + \varphi - \vartheta)}{\cos \vartheta \cdot \sin^2 \alpha \cdot \sin(\alpha - \vartheta - \delta) \left[1 - \frac{\sqrt{\sin(\varphi + \delta) \sin(\varphi - \beta - \vartheta)}}{\sqrt{\sin(\alpha - \vartheta - \delta) \sin(\alpha + \beta)}} \right]^2}$$

dove:

$$\vartheta = \arctan k_h / (1 \pm k_v)$$

Definito il coefficiente di spinta attiva (K_{as}) come sopra indicato (contributo statico + contributo del sisma) è possibile risalire all'incremento di spinta dovuto al solo sisma operando come segue:

- Si calcola la spinta attiva in condizioni statiche: $S_a = [(1/2 \cdot \sigma'_v \cdot H^*) + q \cdot H^*] \cdot K_a$
- Si calcola la spinta attiva in presenza di sisma: $S_{as} = [(1/2 \cdot \sigma'_v \cdot H^*) + q \cdot H^*] \cdot (1+k_v) \cdot K_{as}$
- Si calcola l'incremento dovuto al solo sisma: $\Delta S_{as} = S_{as} - S_a$

La forza così calcolata viene applicata all'opera di sostegno in termini di pressione omogenea su tutta l'altezza di calcolo H^* :

$$\Delta P_s = \Delta S_{as} / H^*$$

Come altezza di calcolo si considera l'altezza di scavo maggiorata di 2 m.

9.4.3.3 ***Spinta passiva***

Il coefficiente di spinta passiva in condizioni sismiche è stato valutato secondo la formulazione di Mononobe & Okabe.

9.4.4 Analisi della paratia

9.4.4.1 Stratigrafia di riferimento

Nel calcolo si assumono le seguenti condizioni stratigrafiche:

Da	a	Formazione	γ'	Cu	Φ'	Evc	Eur
(m)	(m)	(-)	(kN/m ³)	(kPa)	(°)	(MPa)	(MPa)
0,0	-6,5	A	9	60 + 1,5 z	26	5	14
-6,5	-9,0	B	9	-	35	50	75
-9,0	-19,0	A	9	60 + 1,5 z	26	5	14
-19,0	-31,0	B	9	-	35	50	75

Terreno da rilevato

$$\gamma \text{ (kN/m}^3\text{)} = 20 \text{ kN/m}^3$$

$$\varphi' \text{ (°)} = 35 \text{ °}$$

$$c' \text{ (kPa)} = 0$$

$$E_{vc} \text{ (MPa)} = 30 \text{ MPa}$$

$$E_{ur} \text{ (MPa)} = 45 \text{ MPa}$$

9.4.4.2 Geometria dello scavo

Altezza di scavo da testa paratia: 8.05 m

Inclinazione media terreno a monte della paratia: 0°

Inclinazione terreno a valle della paratia: 0°

9.4.4.3 Caratteristiche geometriche della paratia

Diametro dei pali: 1500 mm

Interasse pali: 1.80 m

9.4.4.4 Caratteristiche del sistema di ripartizione

Il vincolo offerto dai pali ortogonali alla paratia viene ripartito sulla paratia tramite la trave di coronamento in c.a. in testa palo.

La paratia viene vincolata con un appoggio in corrispondenza del baricentro della trave di coronamento, posto quindi a quota -2,51 m da testa paratia.

9.4.4.5 Quota della falda

L'analisi della paratia viene svolta considerando il livello della falda sia a monte che valle alla base del rilevato, ovvero a quota -8,05 m da testa paratia.

9.4.4.6 Sovraccarichi accidentali e permanenti

Nel modello di calcolo sono stati considerati i seguenti carichi trasmessi dall'impalcato in corrispondenza dell'appoggio:

AZIONI STATICHE ORIZZONTALI TRASMESSE DAGLI APPOGGI		
Quota azioni rispetto a testa paratia	-1,35	m
Sviluppo paratia frontale	18,10	m
Ritiro della soletta	11,05	kN/m
Variazione termica	16,57	kN/m
Azione orizzontale dovuta alla frenatura	15,19	kN/m

E' stato considerato un sovraccarico indefinito a monte della paratia si intensità pari a 20 kPa dovuto alla presenza del traffico stradale sul rilevato.

E' stato inoltre considerato un sovraccarico a monte della paratia si intensità pari a 10 kPa dovuto al passaggio dei mezzi di cantiere.

9.4.4.7 Azioni sismiche

Nel modello di calcolo sono state applicate le seguenti azioni in condizioni sismiche:

AZIONI SISMICHE SLV ORIZZONTALI		
Accelerazione orizzontale di progetto a_g	0,212	g
Coefficiente di amplificazione stratigrafica S_s	1,400	
Coefficiente di amplificazione topografica S_T	1,000	
Accelerazione orizzontale massima di progetto a_{max}	0,297	g
α	0,500	
β	0,700	
$k_h = \alpha \beta a_{max} / g$	0,104	
Sviluppo paratia frontale	18,10	m
Inerzia strutturali e permanenti portati	105,9	kN/m
Quota inerzia strutturali e permanenti portati rispetto a testa paratia	-1,35	m
Spessore paraghiaia	0,45	m
Inerzia paraghiaia	1,17	kPa
Spessore trave coronamento	2,15	m
Inerzia trave coronamento	5,58	kPa

Diametro pali	1,50	m
Interasse pali	1,80	m
Inerzia pali	2,55	kPa
Inerzia rivestimento	1,82	kPa

E' stata inoltre applicato l'incremento di spinta sismica del terreno su un'altezza totale pari a 10,05 m con un'intensità pari a 16,84 kPa.

9.4.4.8 **Parametri di spinta**

Nella tabella seguente sono riassunti i valori dei parametri di spinta impiegati nel calcolo.

FORMAZIONE	ANALISI	K ₀	K _a	K _p	K _{a-sisma}	K _{p_sisma}
Rile vat o	STATICÀ	0.4264	0.224	6.199	--	--
	SISMICA			--	0.392	3.268
Limo argilloso	STATICÀ	0.562	0.331	3.511	--	--
	SISMICA			--	--	2.173
Ghiaia e sabbia	STATICÀ	0.4264	0.224	6.199	--	--
	SISMICA			--	0.392	3.268

9.4.5 Fasi di calcolo

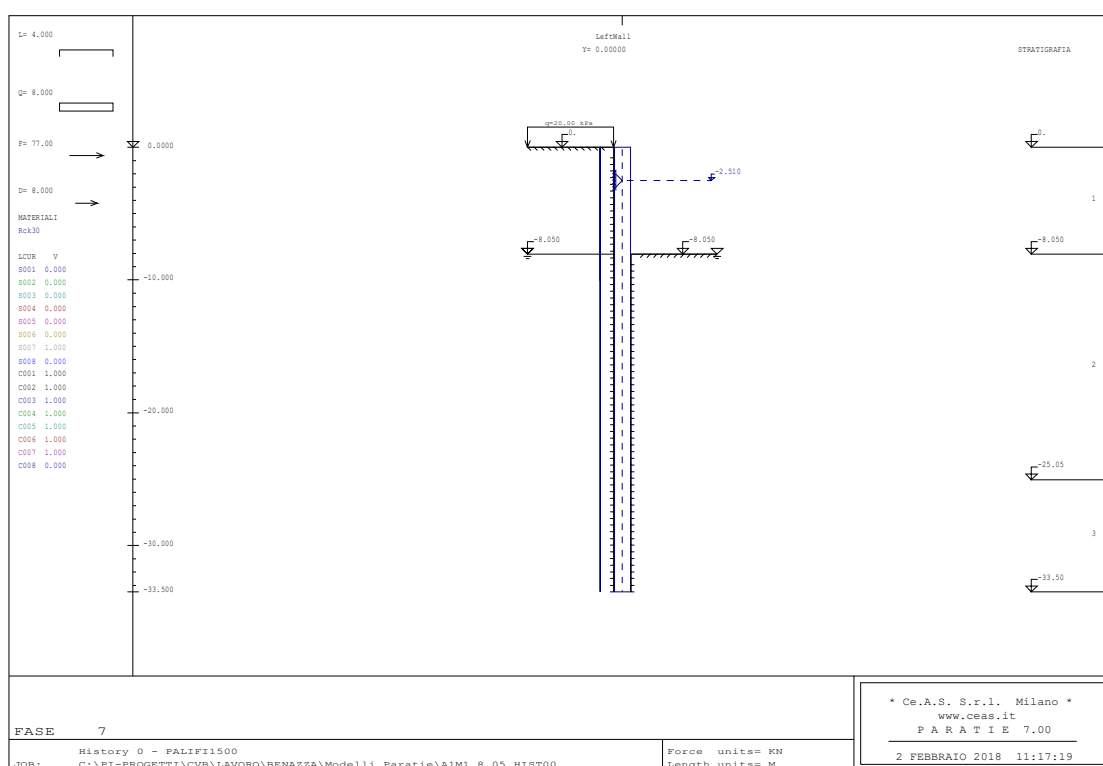
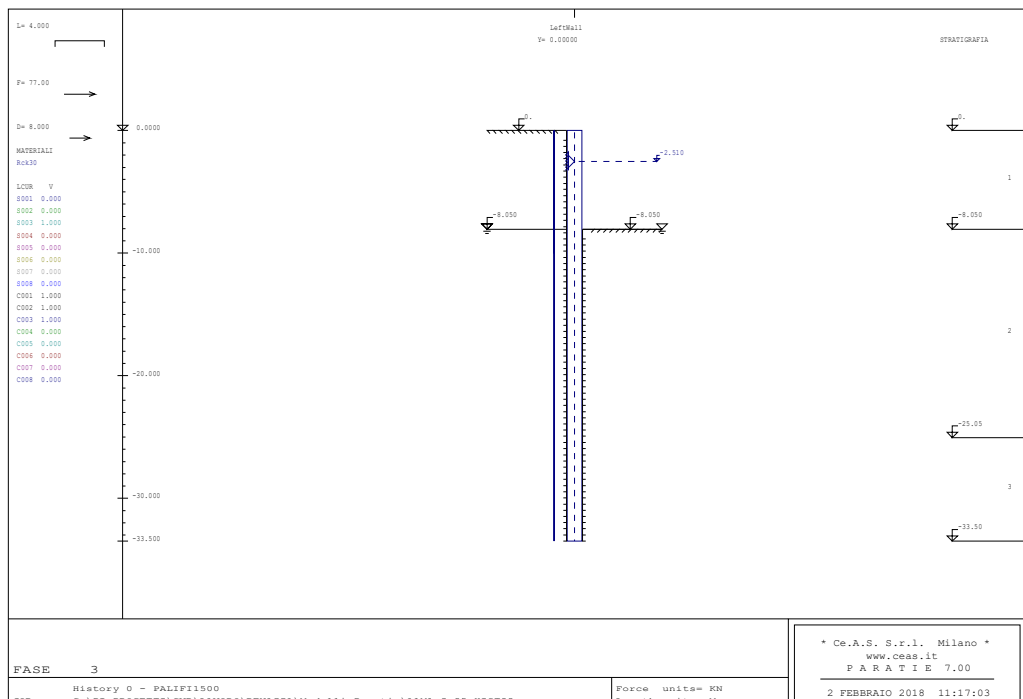
La modellazione segue le reali fasi di realizzazione dell'opera.

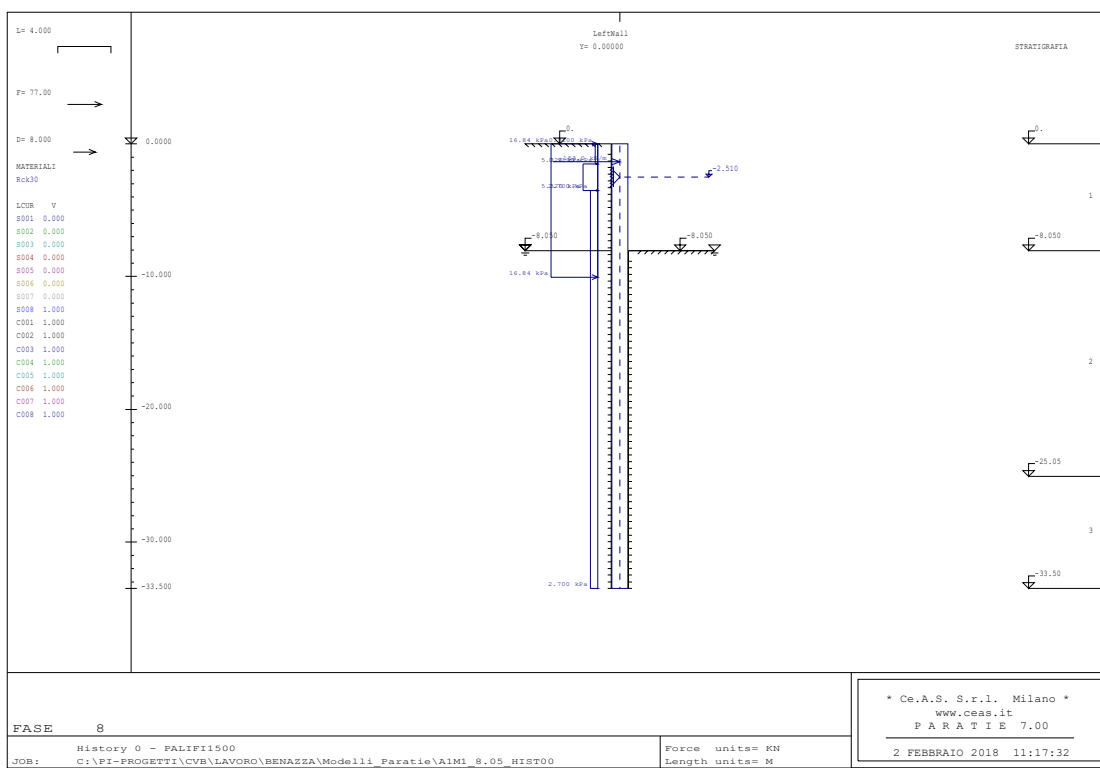
Sono state modellate le seguenti fasi di calcolo:

0. Inizializzazione dello stato di sforzo geostatico e dei sovraccarichi.
1. Realizzazione dei pali. Realizzazione della trave di coronamento.
2. Scavo fino a quota -8,05 m da testa paratia. Applicazione del sovraccarico di cantiere a tergo opera.
3. Applicazione della sola spinta del terreno a tergo con terreno a valle a quota -8,05 m da testa paratia.
Rimozione del sovraccarico di cantiere a tergo opera.
4. Carichi di fase 3 e ritiro.
5. Carichi di fase 3 e termica.
6. Carichi di fase 3 e frenatura.
7. Carichi di fase 3 e applicazione del sovraccarico di 20 kPa a tergo opera.

8. Analisi in condizioni sismiche.

Si riportano nelle figure di seguito le fasi significative 3, 7 e 8.

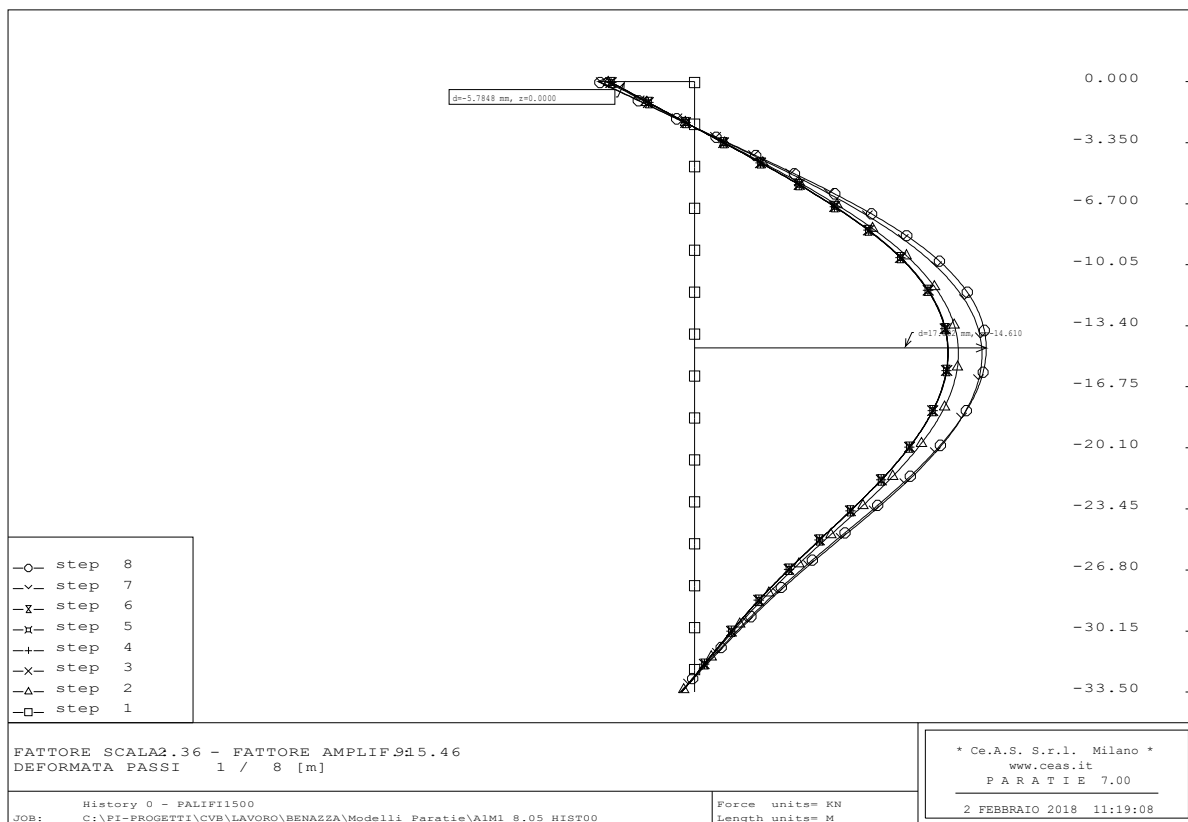




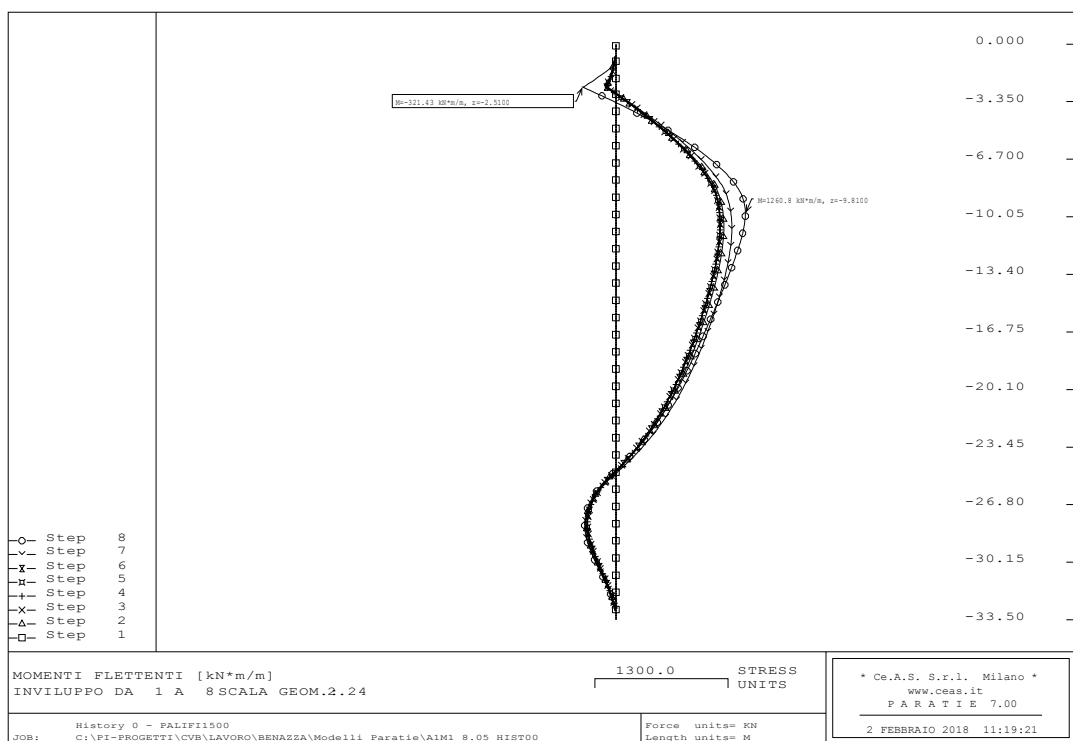
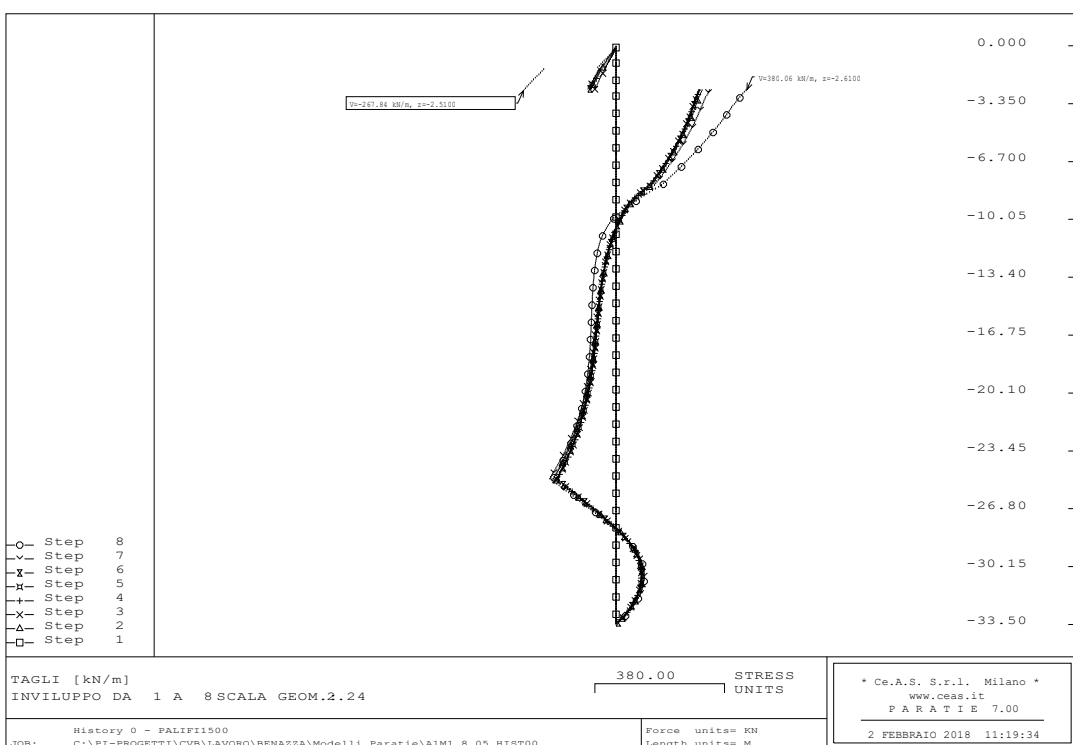
9.4.6 Risultati dell'analisi

Si riportano di seguito i principali risultati del calcolo.

Nelle figure seguenti sono illustrati rispettivamente l'andamento degli spostamenti orizzontali, il diagramma del momento flettente e del taglio (valori "caratteristici" per metro lineare di paratia).



Spostamento orizzontale

**Momento flettente****Taglio**

Si riportano di seguito i massimi valori caratteristici ottenuti in ciascuna fase di calcolo riferiti al metro di sviluppo di struttura.

Risultati dell'analisi tenso-deformativa (azioni caratteristiche – parametri geotecnici M1)

Fase 3 - Spinta terreno	Momento	1017,1	kNm/m
	Taglio	241,8	kN/m
	Reazione d'appoggio	305	kN/m

Fase 4 - Fase 3 + Ritiro	Momento	1014,5	kNm/m
	Taglio	243,7	kN/m
	Reazione d'appoggio	318,3	kN/m

Fase 5 - Fase 3 + Termica	Momento	1013,2	kNm/m
	Taglio	244,6	kN/m
	Reazione d'appoggio	324,9	kN/m

Fase 6 - Fase 3 + Frenatura	Momento	1013,5	kNm/m
	Taglio	244,4	kN/m
	Reazione d'appoggio	323,2	kN/m

Fase 7 - Fase 3 + Sovraccarico a tergo	Momento	1127,9	kNm/m
	Taglio	273,6	kN/m
	Reazione d'appoggio	358,1	kN/m

Fase 8 - SISMA	Momento	1260,8	kNm/m
	Taglio	380,1	kN/m
	Reazione d'appoggio	649,3	kN/m

Si riportano di seguito i valori caratteristici delle sollecitazioni dovute a ciascun carico elementare.

Spinta terreno	Momento	1017,1	kNm/m
	Taglio	241,8	kN/m
	Reazione d'appoggio	305	kN/m

Ritiro	Momento	-2,6	kNm/m
	Taglio	1,9	kN/m
	Reazione d'appoggio	13,3	kN/m

Termica	Momento	-3,9	kNm/m
	Taglio	2,8	kN/m
	Reazione d'appoggio	19,9	kN/m

Frenatura	Momento	-3,6	kNm/m
	Taglio	2,6	kN/m
	Reazione d'appoggio	18,2	kN/m

Sovraccarico a tergo	Momento	110,8	kNm/m
	Taglio	31,8	kN/m
	Reazione d'appoggio	53,1	kN/m

SISMA	Momento	1260,8	kNm/m
	Taglio	380,1	kN/m
	Reazione d'appoggio	649,3	kN/m

I valori caratteristici delle sollecitazioni dovute a ciascun carico elementare sono stati combinati secondo quanto richiesto da Normativa Vigente. Si riportano di seguito le combinazioni significative SLE e SLU ottenute per metro di sviluppo di struttura.

AZIONI PER METRO DI SVILUPPO DI PARATIA FRONTALE - M1

	Spinta terreno	Sovraccarico	Ritiro	Termica	Frenatura
Combinazione STR SLU n° 2 - Sovraccarico a tergo dominante	1,35	1,35	1	0,72	1,0125

Momento	1522,7	kNm/m
Taglio	375,9	kN/m
Reazione d'appoggio	529,5	kN/m

Combinazione SISMA LONGITUDINALE

Momento	1260,8	kNm/m
Taglio	380,1	kN/m
Reazione d'appoggio	649,3	kN/m

Combinazione SLE Rara n° 86 - Sovraccarico a tergo dominante	1	1	1	0,6	0,75
--	---	---	---	-----	------

Momento	1127,9	kNm/m
Taglio	279,1	kN/m
Reazione d'appoggio	397,0	kN/m

	Spinta terreno	Sovraccarico	Ritiro	Termica	Frenatura
Combinazione SLE Frequenti n° 128 - Sovraccarico a tergo dominante	1	0,75	1	0,5	0

Momento	1100,2	kNm/m
Taglio	269,0	kN/m
Reazione d'appoggio	368,1	kN/m

	Spinta terreno	Sovraccarico	Ritiro	Termica	Frenatura
Combinazione SLE Quasi permanente n° 141	1	0	1	0,5	0

Momento	1017,1	kNm/m
Taglio	245,1	kN/m
Reazione d'appoggio	328,3	kN/m

AZIONI PER METRO DI SVILUPPO DI PARATIA - M2
--

	Spinta terreno	Ritiro	Termica	Sovrac carico
Combinazione GEO SLU n° 59 - Traffico Dominante	1	1	0,6	0,75
Reazione d'appoggio	446,3	kN/m		

Le azioni tagliante e flettenti ottenute per metro di sviluppo di struttura sono state moltiplicate per l'interasse tra i pali in modo da ottenere le azioni significative SLE e SLU sul singolo palo della paratia frontale.

AZIONI SUL SINGOLO PALO FRONTALE

Interasse pali	1,8	m
----------------	-----	---

Combinazione STR SLU n° 2 - Sovraccarico a tergo dominante

Momento	2740,8	kNm
Taglio	676,6	kN

Combinazione SISMA LONGITUDINALE

Momento	2269,4	kNm
Taglio	684,2	kN

Combinazione SLE Rara n° 86 - Sovraccarico a tergo dominante

Momento	2030,2	kNm
Taglio	502,4	kN

Combinazione SLE Frequenti n° 128 - Sovraccarico a tergo dominante

Momento	1980,4	kNm
Taglio	484,1	kN

Combinazione SLE Quasi permanente n° 141

Momento	1830,8	kNm
Taglio	441,2	kN

La reazione d'appoggio ottenuta per metro di sviluppo di struttura è stata moltiplicata per lo sviluppo totale della paratia frontale in modo da ottenere le azioni significative SLE e SLU agenti sui pali di ancoraggio della paratia frontale.

TAGLIO LONGITUDINALE SULLE FILE DI PALI DI ANCORAGGIO
--

Sviluppo paratia frontale	18,1	m
---------------------------	------	---

Combinazione STR SLU n° 2 - Sovraccarico a tergo dominante		
Reazione d'appoggio	9583,8	kN

Combinazione SISMA LONGITUDINALE		
Reazione d'appoggio	11752,3	kN

Combinazione SLE Rara n° 86 - Sovraccarico a tergo dominante		
Reazione d'appoggio	7185,5	kN

Combinazione SLE Frequente n° 128 - Sovraccarico a tergo dominante		
Reazione d'appoggio	6662,2	kN

Combinazione SLE Quasi permanente n° 141		
Reazione d'appoggio	5941,3	kN

Combinazione GEO SLU n° 59 - Traffico Dominante		
Reazione d'appoggio	8078,8	kN

9.5 CALCOLO DELLE SOLLECITAZIONI SUI PALI DI ANCORAGGIO

Il calcolo delle sollecitazioni sui pali di ancoraggio della paratia frontale è stato effettuato tramite un modello con il software Group in cui è stata applicata la reazione d'appoggio ottenuta dal modello di Paratie opportunamente combinata secondo le combinazioni di progetto.

9.5.1 Analisi della palificata

E' stato realizzato un modello di calcolo dei soli pali di ancoraggio della paratia frontale vincolati tramite un incastro in testa.

Nel modello di calcolo è stata ridotta la curva carico – cedimento assiale del palo adottando un coefficiente $\varepsilon = 0,71$ in modo da tenere conto dell'effetto di trascinamento del palo singolo su quelli adiacenti in quanto l'interasse tra i pali $\phi = 1,50$ m è inferiore a 3 diametri, ovvero pari a 1,80 m.

Nel sistema di riferimento adottato la quota "0" coincide con la testa pali, l'asse x è l'asse verticale, l'asse y coincide con la direzione longitudinale e l'asse z con quella trasversale. Il centro del sistema di riferimento 0,0 viene posto in corrispondenza della mezzeria dell'asse della spalla.

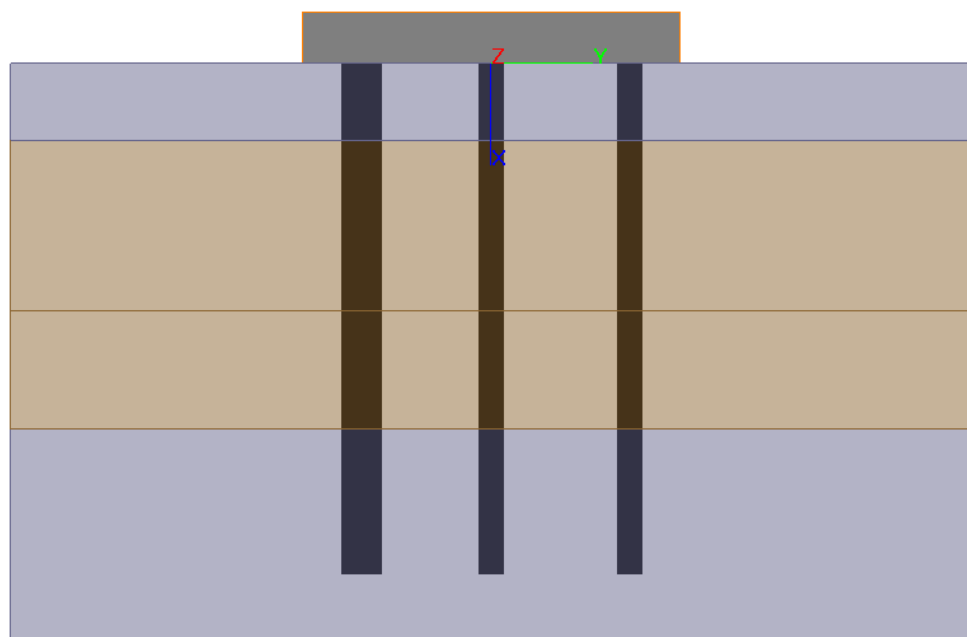


Figura 9.5.a: Sezione della palificata.

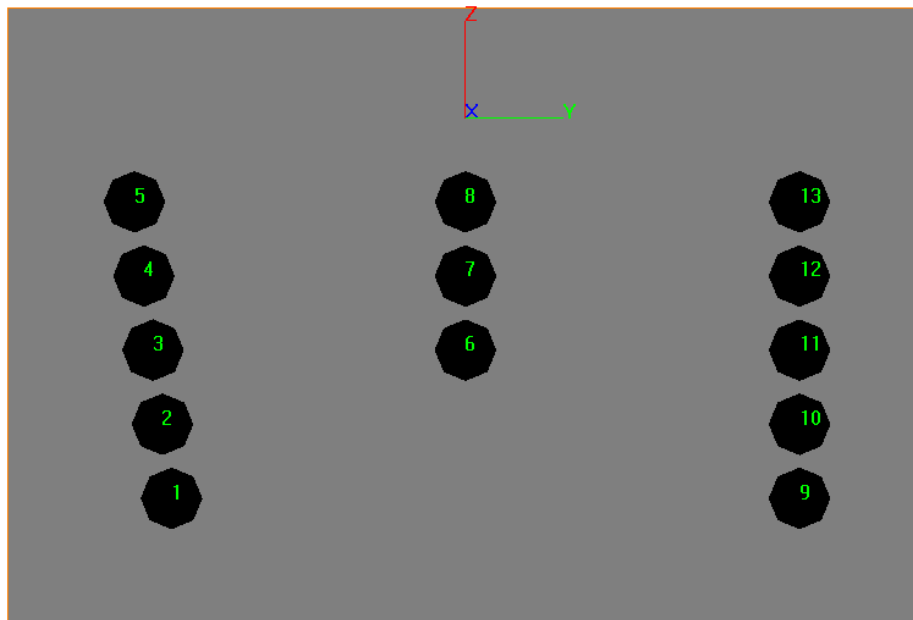


Figura 9.5.b: Pianta della palificata.

Il calcolo delle sollecitazioni è stato effettuato tramite un modello di calcolo leggermente conservativo rispetto a quella di progetto.

La modellazione tridimensionale della palificata in GROUP è stata eseguita in accordo a quanto contenuto nel capitolo di caratterizzazione geotecnica e considerando le seguenti stratigrafie ed i seguenti parametri caratteristici del terreno:

Da	a	Formazione	γ'	Cu	Φ'
(m)	(m)	(-)	(kN/m ³)	(kPa)	(°)
0,0	-6,5	A	9	60 + 1,5 z	26
-6,5	-9,0	B	9	-	35
-9,0	-19,0	A	9	60 + 1,5 z	26
-19,0	-31,0	B	9	-	35

A titolo di esempio di seguito si mostra il modello tridimensionale della palificata con le sollecitazioni relative alla combinazione SISMA - Longitudinale.

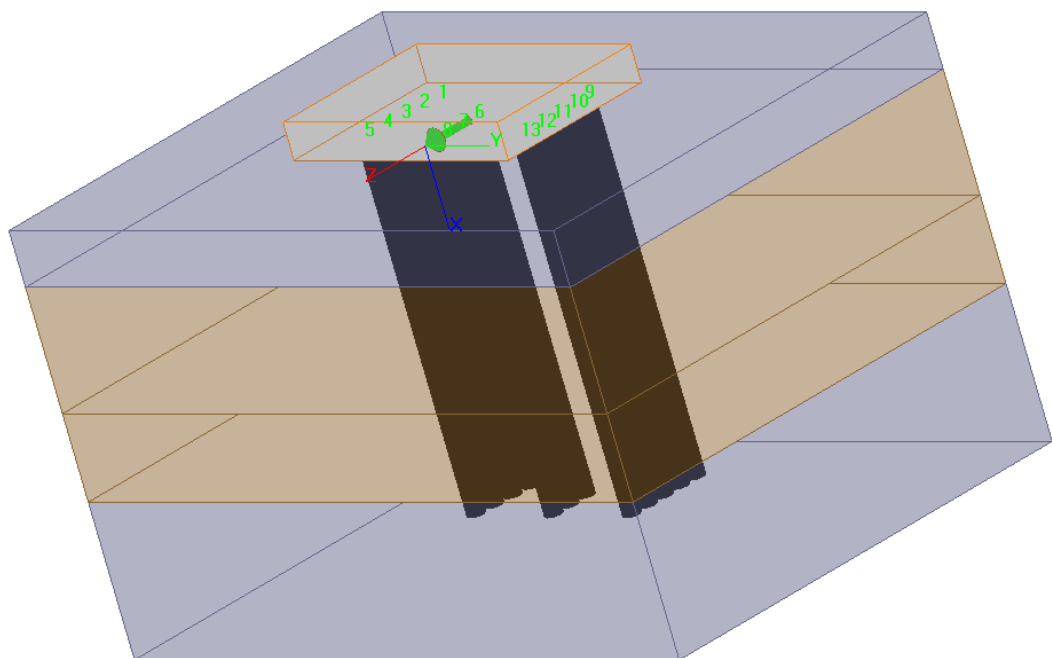


Figura 9.5.c: Modello tridimensionale palificata.

9.5.2 Risultati delle analisi

Di seguito si riassumono le sollecitazioni nelle combinazioni SLU statiche e sismiche, nelle combinazioni SLE statiche e di fessurazione, ottenute come output implementando le sollecitazioni di progetto, precedentemente riportate.

Si assume la convenzione di sforzo normale di compressione positivo e sforzo normale di trazione negativo.

Combinazione STR – SLU

Pali ortogonali alla paratia frontale : $N_{\max \text{ SLU}} = 1030 \text{ kN}$;

$$N_{\min \text{ SLU}} = -1290 \text{ kN}$$

$$M_{\max \text{ SLU}} = 3000 \text{ kNm}$$

$$T_{\max \text{ SLU}} = 1290 \text{ kN}$$

Combinazione GEO - SLU

Pali ortogonali alla paratia frontale : $N_{\min \text{ SLU}} = -1020 \text{ kN}$

$$N_{\max \text{ SLU}} = 814 \text{ kN}$$

$$T_{\max \text{ SLU}} = 1050 \text{ kN}$$

Combinazione SISMA - Longitudinale

Pali ortogonali alla paratia frontale : $N_{\max \text{ SLU}} = 1380 \text{ kN}$

$$N_{\min \text{ SLU}} = -1540 \text{ kN}$$

$$M_{\max \text{ SLU}} = 3700 \text{ kNm}$$

$$T_{\max \text{ SLU}} = 1500 \text{ kN}$$

Combinazione SLE - Rara

Pali ortogonali alla paratia frontale : $N_{\min \text{ SLE}} = -906 \text{ kN}$

$$N_{\max \text{ SLE}} = 725 \text{ kN}$$

$$M_{\max \text{ SLE}} = 2100 \text{ kNm}$$

Combinazione SLE - Frequenti

Pali ortogonali alla paratia frontale : $N_{\min \text{ SLE}} = -845 \text{ kN}$

$$N_{\max \text{ SLE}} = 670 \text{ kN}$$

$$M_{\max \text{ SLE}} = 1950 \text{ kNm}$$

Combinazione SLE – Quasi permanente

Pali ortogonali alla paratia frontale : $N_{\min \text{ SLE}} = -750 \text{ kN}$

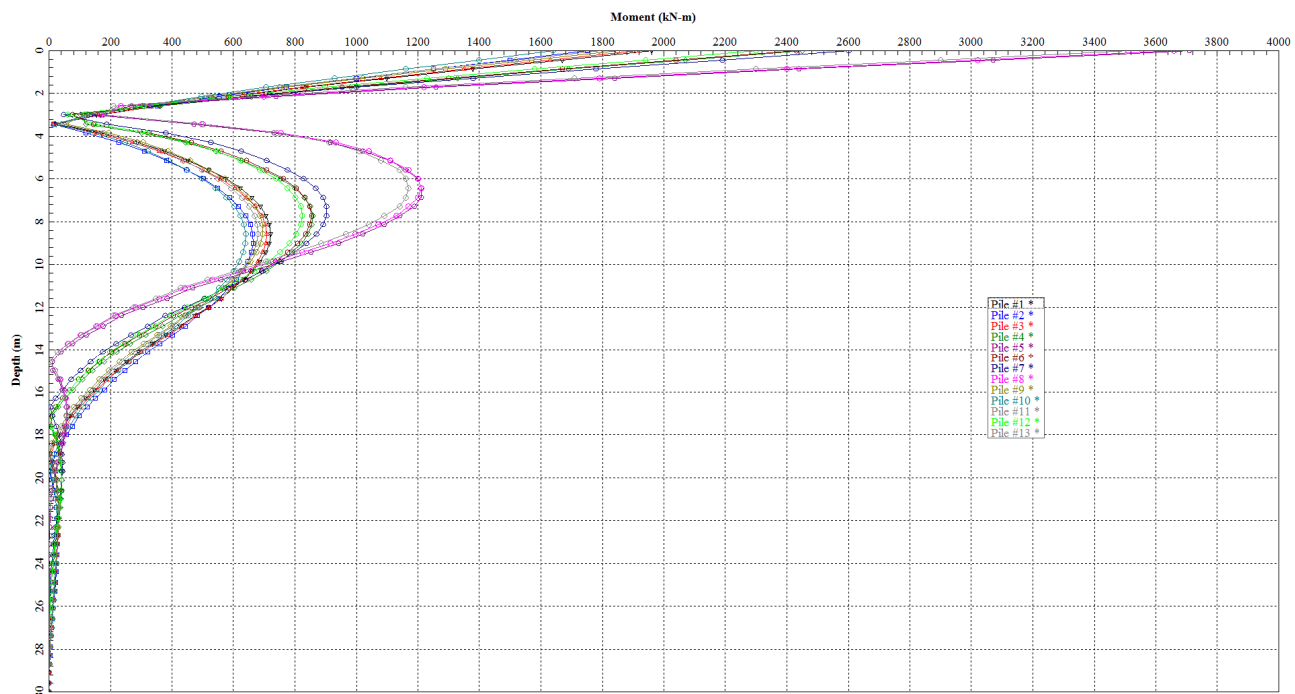
$$N_{\max \text{ SLE}} = 600 \text{ kN}$$

$$M_{\max \text{ SLE}} = 1700 \text{ kNm}$$

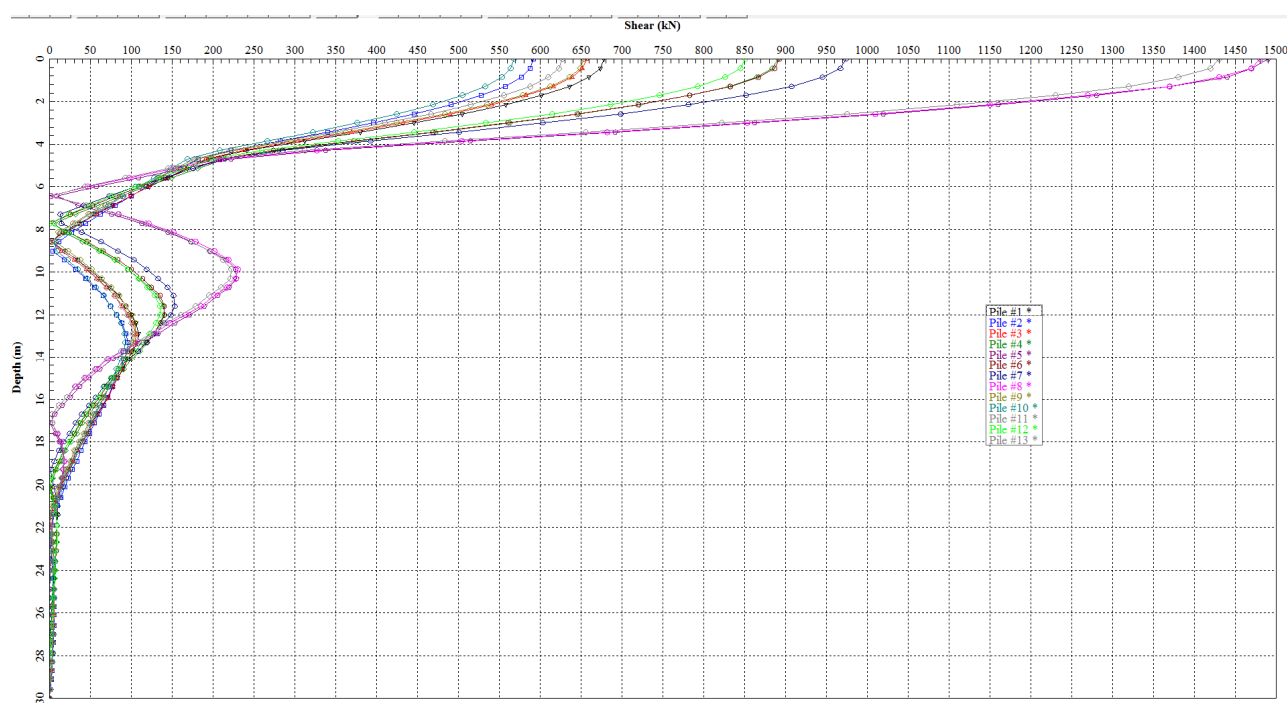
Il massimo cedimento verticale del palo in combinazione SLE – Rara risulta pari a 1,5 mm, mentre nella combinazione GEO – SLU risulta pari a 1,7 mm.

Il massimo spostamento orizzontale del palo in combinazione SLE – Rara risulta pari a 3,8 mm, mentre nella combinazione GEO – SLU risulta pari a 4,3 mm.

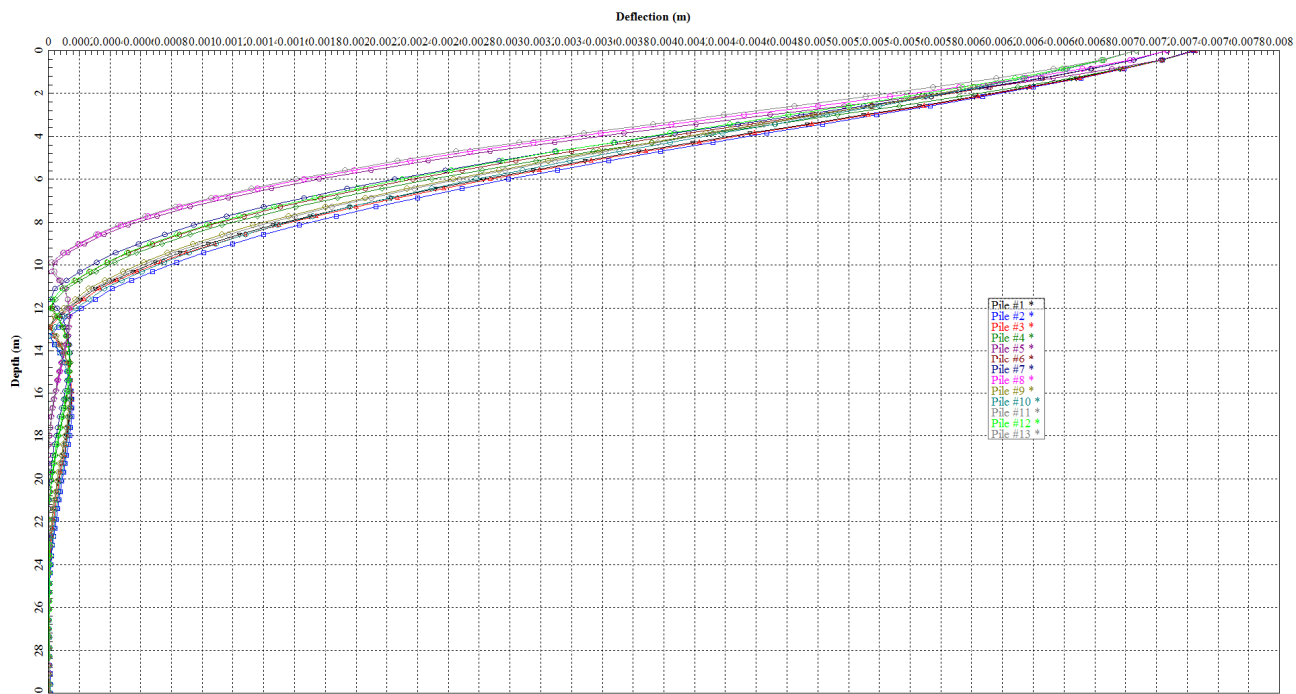
Si riporta nelle figure di seguito l'andamento di momento, taglio e deformata dei pali nella combinazioni significative.



Combinazione Sisma Longitudinale – Momento flettente – Pali ortogonali paratie frontale



Combinazione Sisma Longitudinale – Taglio – Pali ortogonali paratie frontale



Combinazione Sisma Longitudinale – Deformata– Pali ortogonali paratie frontale

10 CALCOLO DELLE SOLLECITAZIONI DI PROGETTO

Le sollecitazioni assiali, taglienti e flettenti agenti sui pali calcolate nei tre modelli di calcolo sono state sommate e fattorizzate in modo da ottenere le sollecitazioni di progetto agli SLE e agli SLU strutturali e geotecnici.

Si riportano di seguito le sollecitazioni di progetto per i pali della paratia frontale:

$$N_{SLU_GEO_max} = 1580 \text{ kN}$$

$$N_{SLU_SISMA_max} = 1530 \text{ kN}$$

Combinazione STR SLU n° 2 - Sovraccarico a tergo dominante

Sforzo normale	-660,0	kN
Momento	2740,8	kNm
Taglio	676,6	kN

Combinazione SISMA LONGITUDINALE

Sforzo normale	-800,0	kN
Momento	2269,4	kNm
Taglio	684,2	kN

Combinazione SLE Rara n° 86 - Sovraccarico a tergo dominante

Sforzo normale	-500,0	kN
Momento	2030,2	kNm
Taglio	502,4	kN

Combinazione SLE Frequente n° 128 - Sovraccarico a tergo dominante

Sforzo normale	-500,0	kN
Momento	1980,4	kNm
Taglio	484,1	kN

Combinazione SLE Quasi permanente n° 141

Sforzo normale	-500,0	kN
Momento	1830,8	kNm
Taglio	441,2	kN

Si riportano di seguito le sollecitazioni di progetto per i pali di ancoraggio della paratia frontale:

$$N_{SLU_GEO_max} = 2024 \text{ kN}$$

$$N_{SLU_GEO_min} = -1540 \text{ kN}$$

$$N_{SLU_SISMA_max} = 2390 \text{ kN}$$

$$N_{SLU_SISMA_min} = -2400 \text{ kN}$$

$$T_{SLU_GEO_max} = 1050 \text{ kN}$$

$$T_{SLU_SISMA_max} = 1500 \text{ kN}$$

$$M_{SLU_SISMA_max} = 3700 \text{ kNm}$$

$$N_{SLU_SISMA_min} = -2400 \text{ kN}$$

$$M_{SLE_RARA_max} = 2100 \text{ kNm}$$

$$N_{SLE_RARA_min} = -906 -495 = -1405 \text{ kN}$$

$$M_{SLE_FREQ_max} = 1950 \text{ kNm}$$

$$N_{SLE_FREQ_min} = -1340 \text{ kN}$$

$$M_{SLE_QPERM_max} = 1700 \text{ kNm}$$

$$N_{SLE_QPERM_min} = -1245 \text{ kN}$$

VERIFICHE STRUTTURALI

10.1 PALI PARATIA FRONTALE

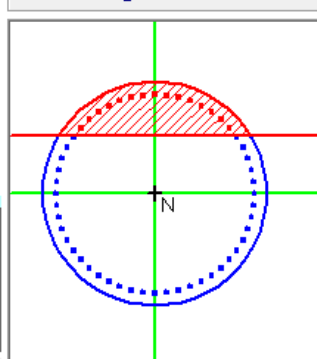
Si riportano le verifiche strutturali SLU per i pali con diametro $\phi = 1,50$ m della paratia frontale. I pali vengono armati con 52 $\phi 26$ e spirale $\phi 12$ passo 10 cm.

Verifica a tensoflessione SLU

$$N_{min_SLU} = -800 \text{ kN}$$

$$M_{max_SLU} = 2741 \text{ kNm}$$

Titolo :			
Sezione circolare cava		N° barre	Zoom
Raggio esterno	75 [cm]	Tipo Sezione	
Raggio interno	0 [cm]	<input type="radio"/> Rettan.re	<input type="radio"/> Trapezi
N° barre uguali	52	<input type="radio"/> a T	<input checked="" type="radio"/> Circolare
Diametro barre	2,6 [cm]	<input type="radio"/> Rettangoli	<input type="radio"/> Coord.
Copriferro (baric.)	8,5 [cm]		
Sollecitazioni		P.tto applicazione N	
S.L.U.	<input type="radio"/> Metodo n	<input checked="" type="radio"/> Centro	<input type="radio"/> Baricentro cls
N_{Ed}	-800	xN	0 kN
M_{xEd}	2741	yN	0
M_{yEd}	0	Tipo rottura	
Lato calcestruzzo - Acciaio snervato			
Materiali		M_{xRd}	5.607 kN m
B450C	C25/30	σ_c	-14,17 N/mm ²
ϵ_{su}	67,5 %	σ_s	391,3 N/mm ²
f_yd	391,3 N/mm ²	ϵ_c	3,5 %
E_s	200.000 N/mm ²	ϵ_s	9,976 %
E_s/E_c	15	f_{cd}	14,17
ϵ_{syd}	1,957 %	f_{cc} / f_{cd}	0,8
$\sigma_{s,adm}$	255 N/mm ²	$\sigma_{c,adm}$	9,75
		τ_{co}	0,6
		τ_{cl}	1,829
		Vertici:	52 N° rett. 100
		Calcola MRd	Dominio M-N
		L_o	0 cm
		Col. modello	
		<input type="checkbox"/> Precompresso	



Risultando $M_{res} = 5607 \text{ kNm} > M_{max_SLU} = 2741 \text{ kNm}$ la verifica risulta soddisfatta.

Verifica a taglio SLU

 $T_{max_SLU} = 690 \text{ kN}$

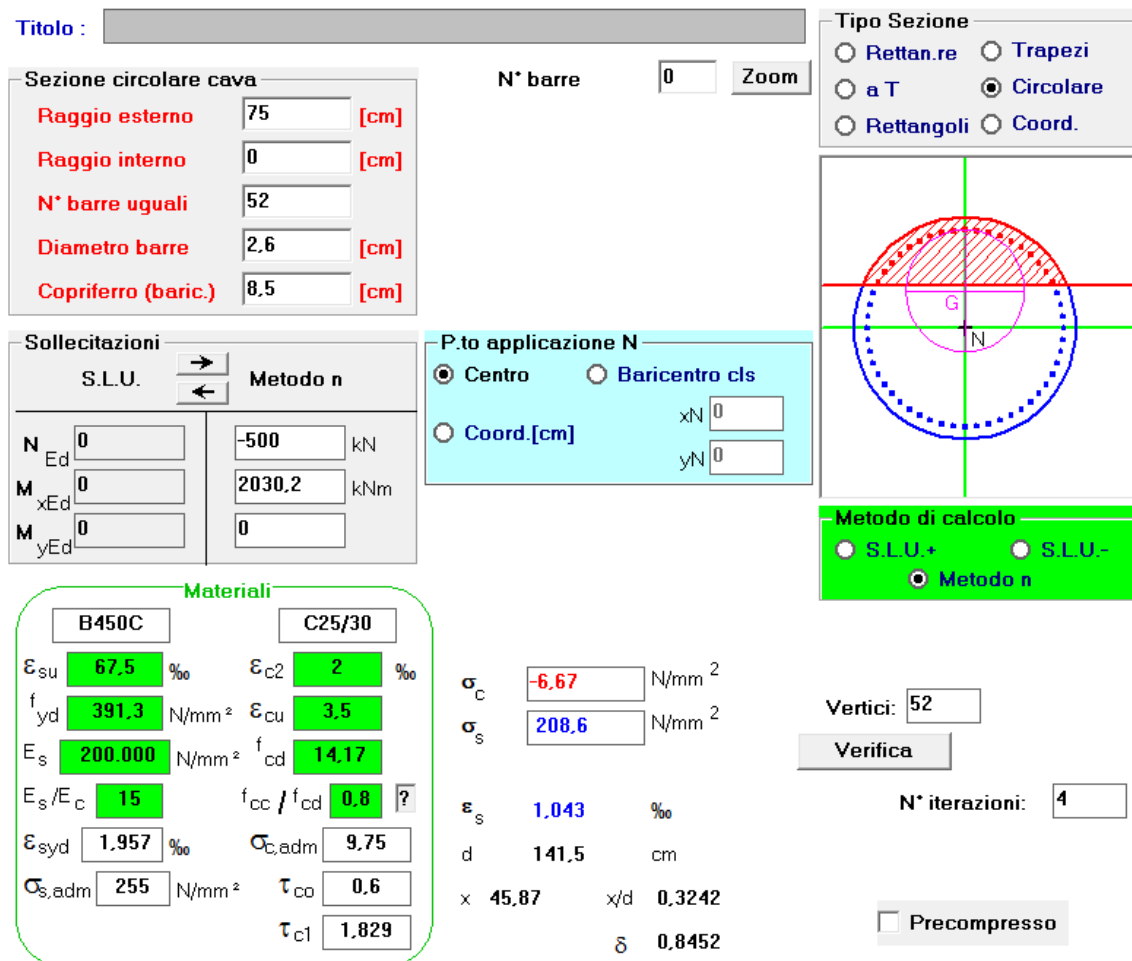
V_{sdu}	690	kN
M_{sdu}	2741	kNm
N_{sdu}	-800	kN
R_{ck}	30	N/mm ²
f_{ck}	25	N/mm ²
$\gamma_c =$	1,5	
f_yk	450	N/mm ²
Φ	150	cm
b_w	135,00	cm
h_e	94,08	cm
d	85,58	cm
A_{sl}	159,3	cm ²
c	8,50	cm
α	90	gradi
α	1,57	rad
θ	18,13	gradi
$ctg\theta$	3,05	
$\theta_{imposto}$	-	gradi
A_{sw}	2,26	cm ²
passo staffe	10	cm
f_{cd}	14,167	N/mm ²
$f_{ctd_{0,05}}$	1,119	N/mm ²
f_{yd}	391,304	N/mm ²
σ_{cp}	-0,6338	N/mm ²
verifica senza armatura resistente a taglio		
V_{Rd}	421,401	kN
$V_{Rd,min}$	255,453	kN
$\rho_{sw,min}$	0,000889	
$s_{l,max}$	60,00	cm
$A_{sw,min}$	7,200	cm ² /s _{l,max}
verifica con armatura resistente a taglio (staffe)		
V_{Rcd}	2080,515	kN
V_{Rsd}	2080,515	kN
V_{Rd}	2080,515	kN

Risultando $T_{res} = 2080 \text{ kN} > T_{max_SLU} = 690 \text{ kN}$ la verifica risulta soddisfatta.

Verifica tensionale SLE - Rara

$$N_{min_SLU} = -500 \text{ kN}$$

$$M_{max_SLU} = 2031 \text{ kNm}$$



La verifica risulta soddisfatta.

Verifiche a fessurazione

Combinazione frequente

Caratteristiche dei materiali

Coefficiente di omogeneizzazione	$n =$	15	
Classe cls	$R_{ck} =$	30	N/mm ²
Modulo elastico acciaio	$E_s =$	2,1E+05	N/mm ²

Caratteristiche geometriche della sezione

Diametro	$D =$	150	cm
Area armatura esterna	$A_{se} =$	276,12	cm ²
Coprifero baricentro acciaio esterno	$c_s =$	8,5	cm
Area armatura interna	$A_{si} =$	0	cm ²
Coprifero baricentro acciaio interno	$c's =$	0	cm
Ricoprimento barre esterne	$c =$	6,0	cm
Ricoprimento barre interne	$c+S =$	0,0	cm
Diametro massimo barre	$\Phi =$	2,6	cm

Sezione non fessurata: formazione fessure

Momento flettente in condizioni di esercizio	$M_{es} =$	2031,00	kNm
Sforzo assiale in condizioni di esercizio	$N_{es} =$	500,00	kN
Rapporto sforzo normale/momento	$r_{es} =$	0,00246	cm ⁻¹
Resistenza media a trazione semplice del cls	$f_{ctm} =$	2,61	N/mm ²
Resistenza caratt. a trazione per fless. del cls	$f_{cfk} =$	2,19	N/mm ²
Area ideale	$A_{cid} =$	21167	cm ²
Momento d'inerzia area ideale	$J_{cid} =$	32586999	cm ⁴
Modulo di resistenza non fessurato	$W_{sr} =$	434493	cm ³
Momento di formazione delle fessure	$M_{ff} =$	951,42	kNm
Trazione nel cls prodotta da Mes ed Nes	$\sigma_{ct} =$	4,91	N/mm ²

> f_{cfk} **Sezione fessurata: apertura fessure**

Momento flettente in condizioni di fessurazione	$M =$	1980,00	kNm
Sforzo assiale in condizioni di fessurazione	$N =$	500,00	kN
Rapporto sforzo normale/momento	$r =$	0,00253	
Distanza asse neutro da lembo compresso	$x_p =$	44	cm
Tensione cls	$\sigma_c =$	-7,18	N/mm ²
Tensione barra esterna tesa	$\sigma_s =$	238,40	N/mm ²
Momento di fessurazione	$M_{sr} =$	1076,8	kNm
Tensione nell'acciaio prodotta da M_{sr}	$\sigma_{sr} =$	129,65	N/mm ²

Distanza media fra due fessure attigue

Distanza media barre	$s =$	9,5	cm
Coefficiente k_2	$k_2 =$	0,4	

Tensioni nel calcestruzzo tesio	$\sigma_1 =$	4,79	N/mm ²
	$\sigma_2 =$	-4,32	N/mm ²
Coefficiente k ₃	k ₃ =	0,125	
Larghezza efficace	b _{eff} =	9,5	cm
Altezza efficace	d _{eff} =	19,5	cm ²
Area efficace	A _{eff} =	185,3	cm ²
Area armature poste in A _{eff}	A _s =	5,31	cm ²
Distanza media fra due fessure attigue	s _{rm} =	18,44	cm
Deformazione unitaria media			
Coefficiente β ₁	β ₁ =	1,0	
Coefficiente β ₂	β ₂ =	0,5	
Deformazione unitaria media	ε _{sm} =	9,67E-04	
Aampiezza fessura			
	w _k =	0,303	mm < w _{amm} = 0,4 mm

Combinazione Quasi permanente

Caratteristiche dei materiali

Coefficiente di omogeneizzazione	$n =$	15	
Classe cls	$R_{ck} =$	30	N/mm ²
Modulo elastico acciaio	$E_s =$	2,1E+05	N/mm ²

Caratteristiche geometriche della sezione

Diametro	$D =$	150	cm
Area armatura esterna	$A_{se} =$	276,12	cm ²
Coprifero baricentro acciaio esterno	$cs =$	8,5	cm
Area armatura interna	$A_{si} =$	0	cm ²
Coprifero baricentro acciaio interno	$c's =$	0	cm
Ricoprimento barre esterne	$c =$	6,0	cm
Ricoprimento barre interne	$c+S =$	0,0	cm
Diametro massimo barre	$\Phi =$	2,6	cm

Sezione non fessurata: formazione fessure

Momento flettente in condizioni di esercizio	$M_{es} =$	2031,00	kNm
Sforzo assiale in condizioni di esercizio	$N_{es} =$	500,00	kN
Rapporto sforzo normale/momento	$r_{es} =$	0,00246	cm ⁻¹
Resistenza media a trazione semplice del cls	$f_{ctm} =$	2,61	N/mm ²
Resistenza caratt. a trazione per fless. del cls	$f_{cfk} =$	2,19	N/mm ²
Area ideale	$A_{cid} =$	21167	cm ²
Momento d'inerzia area ideale	$J_{cid} =$	32586999	cm ⁴
Modulo di resistenza non fessurato	$W_{sr} =$	434493	cm ³
Momento di formazione delle fessure	$M_{ff} =$	951,42	kNm
Trazione nel cls prodotta da Mes ed Nes	$\sigma_{ct} =$	4,91	N/mm ²

> f_{cfk}

Sezione fessurata: apertura fessure

Momento flettente in condizioni di fessurazione	$M =$	1831,00	kNm
Sforzo assiale in condizioni di fessurazione	$N =$	500,00	kN
Rapporto sforzo normale/momento	$r =$	0,00273	
Distanza asse neutro da lembo compresso	$x_p =$	43,7	cm
Tensione cls	$\sigma_c =$	-6,62	N/mm ²
Tensione barra esterna tesa	$\sigma_s =$	222,20	N/mm ²
Momento di fessurazione	$M_{sr} =$	1072,5	kNm
Tensione nell'acciaio prodotta da M_{sr}	$\sigma_{sr} =$	130,16	N/mm ²

Distanza media fra due fessure attigue

Distanza media barre	$s =$	9,5	cm
Coefficiente k_2	$k_2 =$	0,4	

Tensioni nel calcestruzzo tesio	$\sigma_1 =$	4,45	N/mm ²
	$\sigma_2 =$	-3,98	N/mm ²
Coefficiente k ₃	k ₃ =	0,125	
Larghezza efficace	b _{eff} =	9,5	cm
Altezza efficace	d _{eff} =	19,5	cm ²
Area efficace	A _{eff} =	185,3	cm ²
Area armature poste in A _{eff}	A _s =	5,31	cm ²
Distanza media fra due fessure attigue	s _{rm} =	18,44	cm
Deformazione unitaria media			
Coefficiente β ₁	β ₁ =	1,0	
Coefficiente β ₂	β ₂ =	0,5	
Deformazione unitaria media	ε _{sm} =	8,77E-04	
Aampiezza fessura	w _k =	0,275	mm < w _{amm} = 0,3 mm

10.2 PALI DI ANCORAGGIO DELLA PARATIA FRONTALE

Si riportano le verifiche strutturali SLU per i pali con diametro $\phi = 1,50$ m di ancoraggio della paratia frontale. I pali vengono armati con 52 φ 26 e spirale φ 12 passo 10 cm.

Verifica a tensoflessione SLU

$$N_{min_SLU} = -2400 \text{ kN}$$

$$M_{max_SLU} = 3700 \text{ kNm}$$

Titolo : []

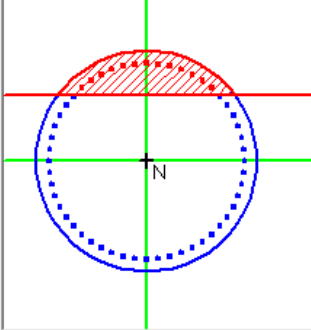
Sezione circolare cava

Raggio esterno	75	[cm]
Raggio interno	0	[cm]
N° barre uguali	52	
Diametro barre	2,6	[cm]
Copriferro (baric.)	8,5	[cm]

N° barre: 0 **Zoom**

Tipo Sezione

- Rettan.re
- Trapezi
- a T
- Circolare
- Rettagoli
- Coord.



Sollecitazioni

S.L.U.	→	Metodo n
N_{Ed}	-2400	kN
M_{xEd}	0	kNm
M_{yEd}	0	

P.tto applicazione N	
<input checked="" type="radio"/> Centro	<input type="radio"/> Baricentro cls
<input type="radio"/> Coord.[cm]	xN 0
	yN 0

Tipo rottura

Lato calcestruzzo - Acciaio snervato

Materiali

B450C	C25/30
ε_{su}	67,5 %
f_yd	391,3 N/mm ²
E_s	200.000 N/mm ²
ε_{syd}	1,957 %
$\sigma_{s,adm}$	255 N/mm ²
ε_{c2}	2 %
ε_{cu}	3,5 %
f_{cd}	14,17
E_s/E_c	15
f_{cc}/f_{cd}	0,8
$\sigma_{c,adm}$	9,75

Calcolo

M_{xRd}	4.915	kNm
σ_c	-14,17	N/mm ²
σ_s	391,3	N/mm ²
ε_c	3,5	%
ε_s	12,6	%
d	141,5	cm
x	30,76	
x/d	0,2174	
δ	0,7117	

Metodo di calcolo

- S.L.U.+
- S.L.U.-
- Metodo n

Tipo flessione

- Retta
- Deviata

Vertici: 52 N° rett. 100

Calcola MRd Dominio M-N

L_0 0 cm Col. modello

Precompresso

Risultando $M_{res} = 4910 \text{ kNm} > M_{max_SLU} = 3700 \text{ kNm}$ la verifica risulta soddisfatta.

Verifica a taglio SLU

 $T_{max_SLU} = 1500 \text{ kN}$

V_{sdu}	1500	kN
M_{sdu}	3700	kNm
N_{sdu}	-2700	kN
R_{ck}	30	N/mm ²
f_{ck}	25	N/mm ²
$\gamma_c =$	1,5	
f_yk	450	N/mm ²
Φ	150	cm
b_w	135,00	cm
h_e	94,08	cm
d	85,58	cm
A_{sl}	159,3	cm ²
c	8,50	cm
α	90	gradi
α	1,57	rad
θ	19,27	gradi
$ctg\theta$	2,86	
$\theta_{imposto}$	-	gradi
A_{sw}	2,26	cm ²
passo staffe	10	cm
f_{cd}	14,167	N/mm ²
$f_{ctd_{0,05}}$	1,119	N/mm ²
f_{yd}	391,304	N/mm ²
σ_{cp}	-2,1392	N/mm ²
<i>verifica senza armatura resistente a taglio</i>		
V_{Rd}	160,514	kN
$V_{Rd,min}$	-5,435	kN
$\rho_{sw,min}$	0,000889	
$s_{l,max}$	60,00	cm
$A_{sw,min}$	7,200	cm ² / $s_{l,max}$
<i>verifica con armatura resistente a taglio (staffe)</i>		
V_{Rcd}	1948,186	kN
V_{Rsd}	1948,186	kN
V_{Rd}	1948,186	kN

Risultando $T_{res} = 1940 \text{ kN} > T_{max_SLU} = 1500 \text{ kN}$ la verifica risulta soddisfatta.

Verifica tensionale SLE - Rara

 $N_{min_SLU} = -1405 \text{ kN}$ $M_{max_SLU} = 2100 \text{ kNm}$

Titolo : []

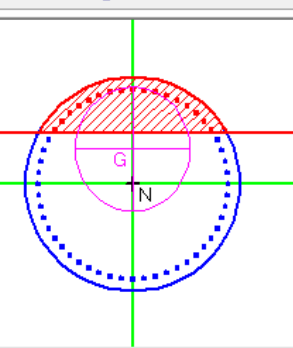
Sezione circolare cava

Raggio esterno	75	[cm]
Raggio interno	0	[cm]
N° barre uguali	52	
Diametro barre	2,6	[cm]
Copriferro (baric.)	8,5	[cm]

N° barre: 0

Tipo Sezione

- Rettang.re
- Trapezi
- a T
- Circolare
- Rettangoli
- Coord.



Sollecitazioni

S.L.U. <input type="button" value="→"/> <input type="button" value="←"/> Metodo n	
N_{Ed} 0	-1405 kN
M_{xEd} 0	2100 kNm
M_{yEd} 0	0

Punto applicazione N

- Centro
- Baricentro cls
- Coord.[cm]

xN 0
yN 0

Metodo di calcolo

- S.L.U.+
- S.L.U.-
- Metodo n

Materiali

B450C	C25/30
ϵ_{su} 67,5 %	ϵ_{c2} 2 %
f_yd 391,3 N/mm ²	ϵ_{cu} 3,5
E_s 200.000 N/mm ²	f_{cd} 14,17
E_s/E_c 15	f_{cc}/f_{cd} 0,8
ϵ_{syd} 1.957 %	$\sigma_{c,adm}$ 9,75
$\sigma_{s,adm}$ 255 N/mm ²	τ_{co} 0,6
	τ_{cl} 1.829

σ_c -6,574 N/mm²
 σ_s 252,3 N/mm²

ϵ_s 1,261 %
 d 141,5 cm
 x 39,77
 x/d 0,281
 δ 0,7913

Vertici: 52
 Precompresso
N° iterazioni: 4

La verifica risulta soddisfatta.

Verifiche a fessurazione

Combinazione Frequenti

Caratteristiche dei materiali

Coefficiente di omogeneizzazione	$n =$	15	
Classe cls	$R_{ck} =$	30	N/mm ²
Modulo elastico acciaio	$E_s =$	2,1E+05	N/mm ²

Caratteristiche geometriche della sezione

Diametro	$D =$	150	cm
Area armatura esterna	$A_{se} =$	276,12	cm ²
Coprifero baricentro acciaio esterno	$c_s =$	8,5	cm
Area armatura interna	$A_{si} =$	0	cm ²
Coprifero baricentro acciaio interno	$c's =$	0	cm
Ricoprimento barre esterne	$c =$	6,0	cm
Ricoprimento barre interne	$c+S =$	0,0	cm
Diametro massimo barre	$\Phi =$	2,6	cm

Sezione non fessurata: formazione fessure

Momento flettente in condizioni di esercizio	$M_{es} =$	2100,00	kNm
Sforzo assiale in condizioni di esercizio	$N_{es} =$	1400,00	kN
Rapporto sforzo normale/momento	$r_{es} =$	0,00667	cm ⁻¹
Resistenza media a trazione semplice del cls	$f_{ctm} =$	2,61	N/mm ²
Resistenza caratt. a trazione per fless. del cls	$f_{cfk} =$	2,19	N/mm ²
Area ideale	$A_{cid} =$	21351	cm ²
Momento d'inerzia area ideale	$J_{cid} =$	32992962	cm ⁴
Modulo di resistenza non fessurato	$W_{sr} =$	439906	cm ³
Momento di formazione delle fessure	$M_{ff} =$	963,28	kNm
Trazione nel cls prodotta da Mes ed Nes	$\sigma_{ct} =$	5,43	N/mm ²

Sezione fessurata: apertura fessure

Momento flettente in condizioni di fessurazione	$M =$	1950,00	kNm
Sforzo assiale in condizioni di fessurazione	$N =$	-1340,00	kN
Rapporto sforzo normale/momento	$r =$	-0,00687	
Distanza asse neutro da lembo compresso	$x_p =$	38,8	cm
Tensione cls	$\sigma_c =$	-6,40	N/mm ²
Tensione barra esterna tesa	$\sigma_s =$	254,40	N/mm ²
Momento di fessurazione	$M_{sr} =$	1335,9	kNm
Tensione nell'acciaio prodotta da M _{sr}	$\sigma_{sr} =$	174,28	N/mm ²

Distanza media fra due fessure attigue

Distanza media barre	$s =$	8,7	cm
Coefficiente k ₂	$k_2 =$	0,4	

Tensioni nel calcestruzzo tesio	$\sigma_1 =$	3,81	N/mm ²
	$\sigma_2 =$	-5,06	N/mm ²
Coefficiente k ₃	k ₃ =	0,125	
Larghezza efficace	b _{eff} =	8,7	cm
Altezza efficace	d _{eff} =	19,5	cm ²
Area efficace	A _{eff} =	169,7	cm ²
Area armature poste in A _{eff}	A _s =	5,31	cm ²
Distanza media fra due fessure attigue	s _{rm} =	17,89	cm
Deformazione unitaria media			
Coefficiente β ₁	β ₁ =	1,0	
Coefficiente β ₂	β ₂ =	0,5	
Deformazione unitaria media	ε _{sm} =	9,27E-04	
Aampiezza fessura	w _k =	0,282	mm < w _{amm} = 0,4 mm

Combinazione Quasi permanente

Caratteristiche dei materiali

Coefficiente di omogeneizzazione	n =	15	
Classe cls	R _{ck} =	30	N/mm ²
Modulo elastico acciaio	E _s =	2,1E+05	N/mm ²

Caratteristiche geometriche della sezione

Diametro	D =	150	cm
Area armatura esterna	A _{se} =	276,12	cm ²
Copriferro baricentro acciaio esterno	c _s =	8,5	cm
Area armatura interna	A _{si} =	0	cm ²
Copriferro baricentro acciaio interno	c's =	0	cm
Ricoprimento barre esterne	c =	6,0	cm
Ricoprimento barre interne	c+S =	0,0	cm
Diametro massimo barre	Φ =	2,6	cm

Sezione non fessurata: formazione fessure

Momento flettente in condizioni di esercizio	M _{es} =	2100,00	kNm
Sforzo assiale in condizioni di esercizio	N _{es} =	-1400,00	kN
Rapporto sforzo normale/momento	r _{es} =	-0,00667	cm ⁻¹
Resistenza media a trazione semplice del cls	f _{ctm} =	2,61	N/mm ²
Resistenza caratt. a trazione per fless. del cls	f _{cfk} =	2,19	N/mm ²
Area ideale	A _{cid} =	21351	cm ²
Momento d'inerzia area ideale	J _{cid} =	32992962	cm ⁴
Modulo di resistenza non fessurato	W _{sr} =	439906	cm ³
Momento di formazione delle fessure	M _{ff} =	963,28	kNm
Trazione nel cls prodotta da M _{es} ed N _{es}	σ _{ct} =	4,12	N/mm ²

> f_{cfk}

Sezione fessurata: apertura fessure

Momento flettente in condizioni di fessurazione	M =	1700,00	kNm
Sforzo assiale in condizioni di fessurazione	N =	1245,00	kN
Rapporto sforzo normale/momento	r =	0,00732	
Distanza asse neutro da lembo compresso	x _p =	38,17	cm
Tensione cls	σ _c =	-5,50	N/mm ²
Tensione barra esterna tesa	σ _s =	225,20	N/mm ²
Momento di fessurazione	M _{sr} =	996,4	kNm
Tensione nell'acciaio prodotta da M _{sr}	σ _{sr} =	131,99	N/mm ²

Distanza media fra due fessure attigue

Distanza media barre	s =	8,7	cm
Coefficiente k ₂	k ₂ =	0,4	
Tensioni nel calcestruzzo tesio	σ ₁ =	4,45	N/mm ²

	$\sigma_2 =$	-3,28	N/mm ²
Coefficiente k ₃	k ₃ =	0,125	
Larghezza efficace	b _{eff} =	8,7	cm
Altezza efficace	d _{eff} =	19,5	cm ²
Area efficace	A _{eff} =	169,7	cm ²
Area armature poste in A _{eff}	A _s =	5,31	cm ²
Distanza media fra due fessure attigue	s _{rm} =	17,89	cm
Deformazione unitaria media			
Coefficiente β ₁	β ₁ =	1,0	
Coefficiente β ₂	β ₂ =	0,5	
Deformazione unitaria media	ε _{sm} =	8,88E-04	
Aampiezza fessura	w _k =	0,270	mm < w _{amm} = 0,3 mm

11 VERIFICHE GEOTECNICHE

I pali $\phi 1,50$ m presentano tutti lunghezza pari a 30,0 m.

Si effettuano le verifiche geotecniche di portanza verticale non considerando il contributo dei 4,50 m di rilevato all'interno della spalla in quanto plasticizzato dallo scavo latistante.

Si effettuano le verifiche considerando le azioni relative ai pali di ancoraggio della paratia frontale in quanto le più gravose.

Le azioni in testa palo significative per le verifiche allo stato limite ultimo sono:

$$N_{SLU_SISMA_max} = 2390 \text{ kN}$$

$$N_{SLU_SISMA_min} = -2400 \text{ kN}$$

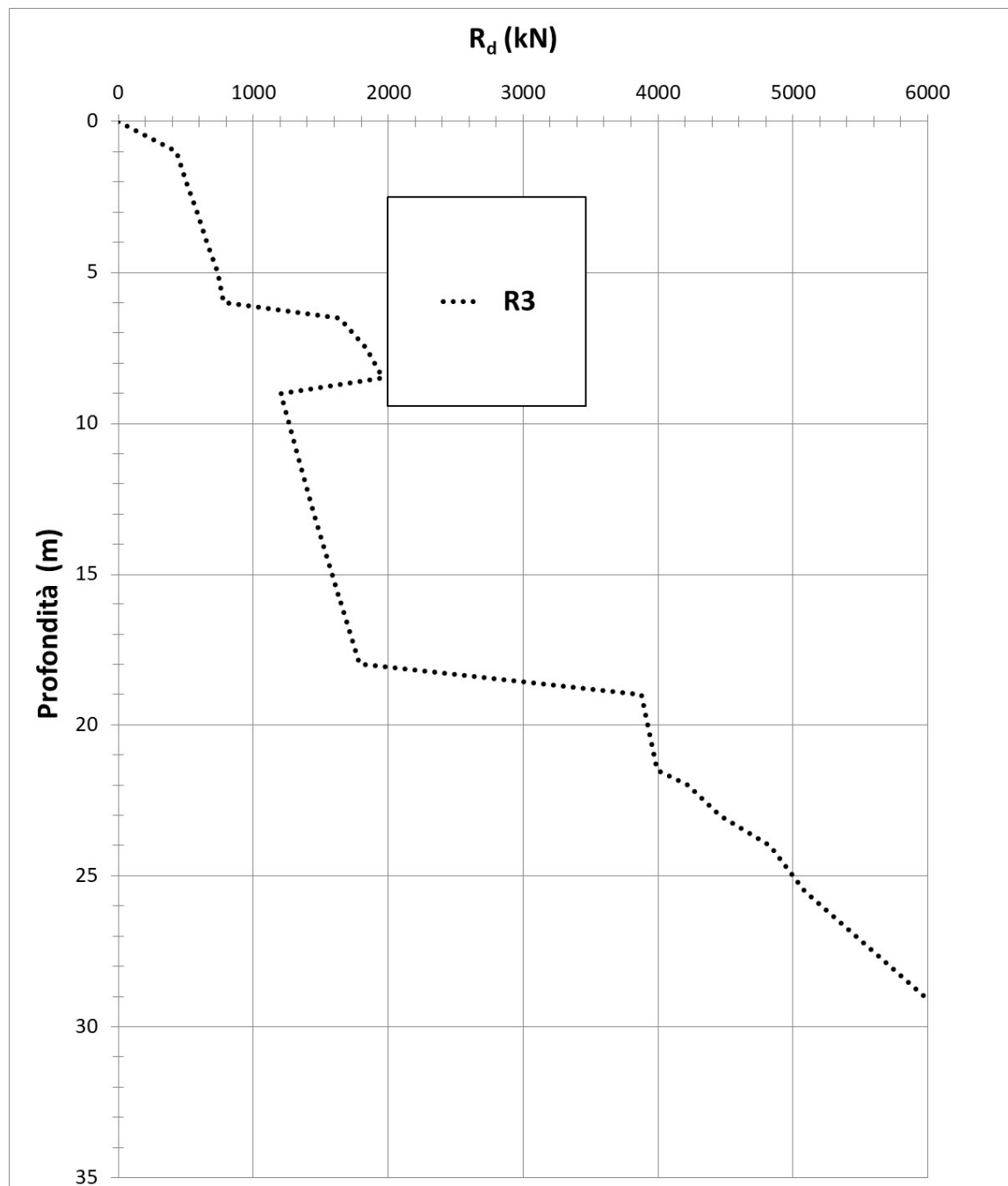
Il carico massimo di esercizio in testa palo vale:

$$N_{max_SLE_RARA} = 1905 \text{ kN}$$

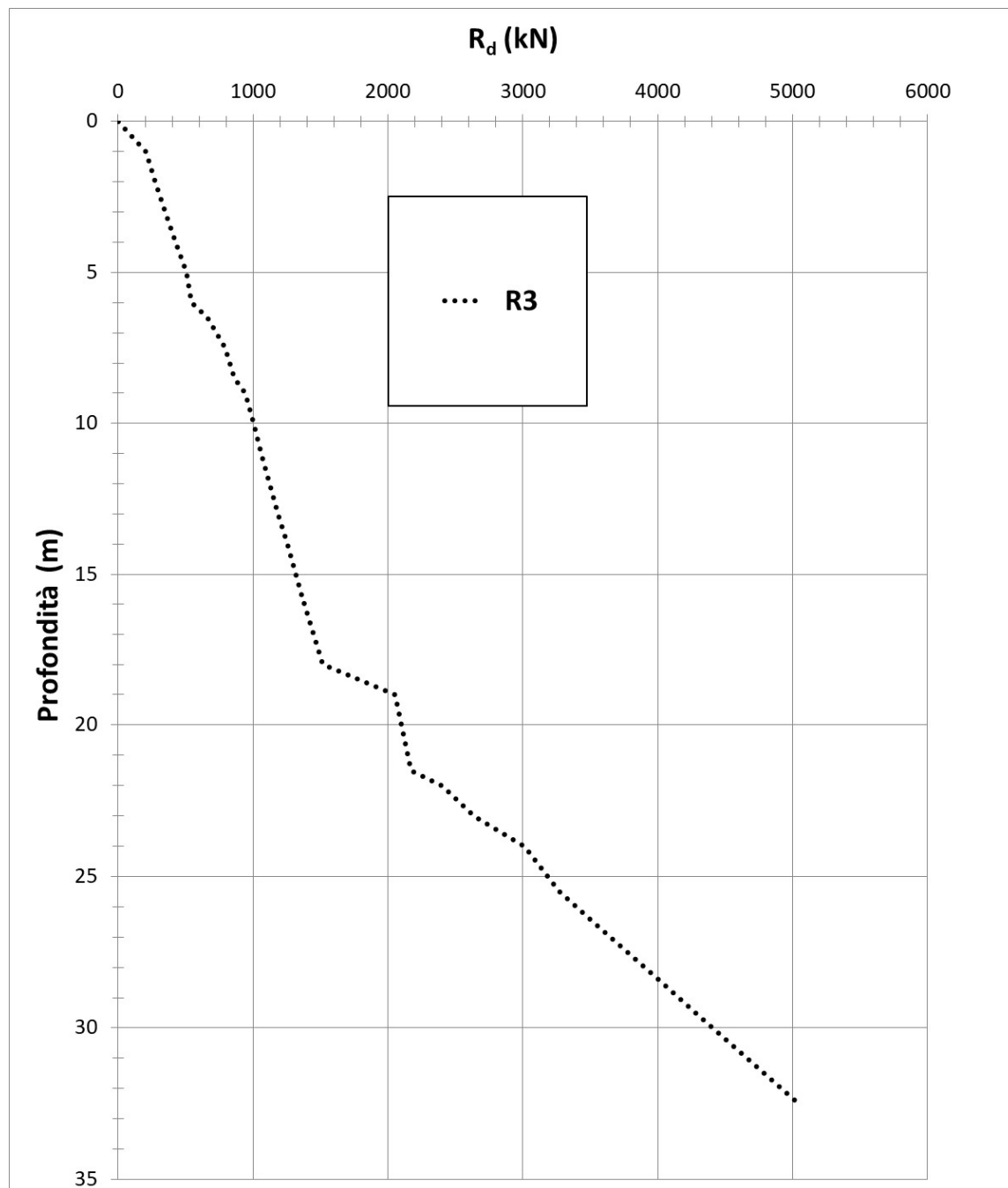
Si riportano di seguito le curve di capacità portante costruite considerando un coefficiente di efficienza $\epsilon = 0,71$ in modo da tenere conto dell' effetto di gruppo ovvero dell' effetto di "trascinamento" del palo singolo su quelli adiacenti.

Le curve di portanza riportano la resistenza assiale di progetto in funzione della profondità di piede palo nella combinazione R3.

Si riporta di seguito la curva di portanza in compressione:



Si riporta di seguito la curva di portanza in trazione:



Si riporta per completezza il tabulato dei calcoli svolti per la costruzione delle curve di portanza.

Essendo 4,50 m fuori terra, i pali di lunghezza pari a 30,0 m presentano piede a -25,50 m da piano campagna.

La resistenza a compressione per il palo di progetto vale:

$$N_{RES_compr} = 4830 \text{ kN}$$

Risultando $N_{RES_compr} = 4830 \text{ kN} > 2390 \text{ kN} = N_{SLU_SISMA_max}$ la verifica risulta soddisfatta.

La resistenza a trazione per il palo di progetto vale:

$$N_{RES_traz} = 3010 \text{ kN}$$

Risultando $N_{RES_traz} = 3010 \text{ kN} > 2400 \text{ kN} = N_{SLU_SISMA_min}$ la verifica risulta soddisfatta.

Le verifiche geotecniche risultano quindi soddisfatte.

12 TRAVE DI CORONAMENTO

La trave di coronamento è soggetta all'azione orizzontale trasmessa dalla testa dei pali e alle reazioni verticali trasmesse dalle due travi principali dell'impalcato.

L'azione orizzontale trasmessa dalla testa dei pali nelle combinazioni significative vale:

Combinazione STR – SLU

$q_L = 530 \text{ kN/m}$ - direzione longitudinale

$q_T = 484 \text{ kN/m}$ - direzione trasversale

Combinazione SISMA - LONGITUDINALE

$q_L = 650 \text{ kN/m}$ - direzione longitudinale

$q_T = 350 \text{ kN/m}$ - direzione trasversale

Combinazione SLE - Rara

$q_L = 397 \text{ kN/m}$ - direzione longitudinale

$q_T = 358 \text{ kN/m}$ - direzione trasversale

Combinazione SLE - Frequenti

$q_L = 368 \text{ kN/m}$ - direzione longitudinale

$q_T = 345 \text{ kN/m}$ - direzione trasversale

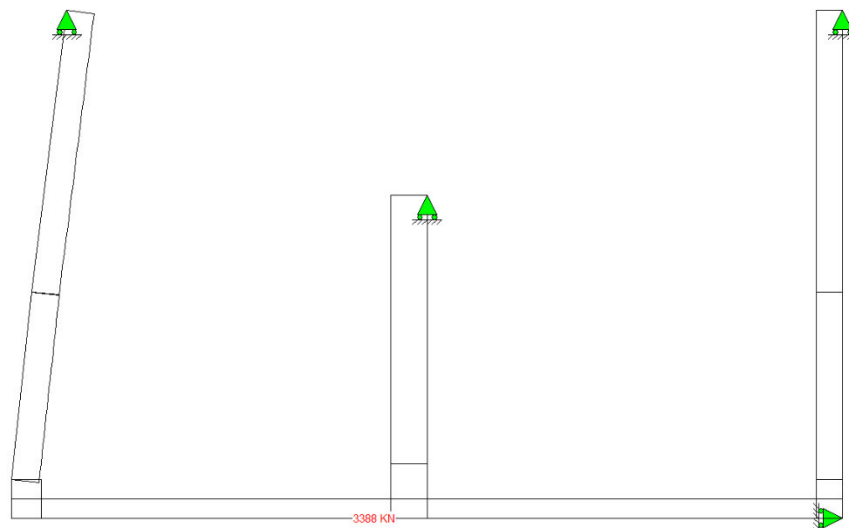
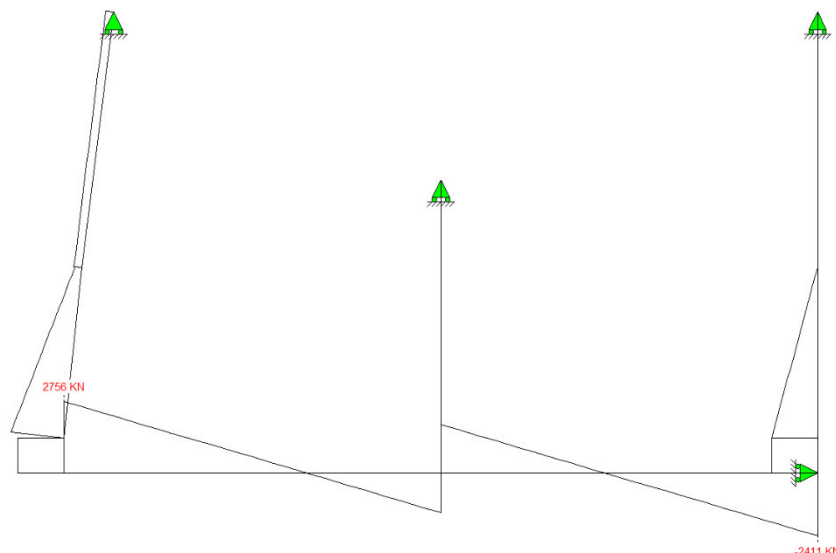
Combinazione SLE – Quasi permanente

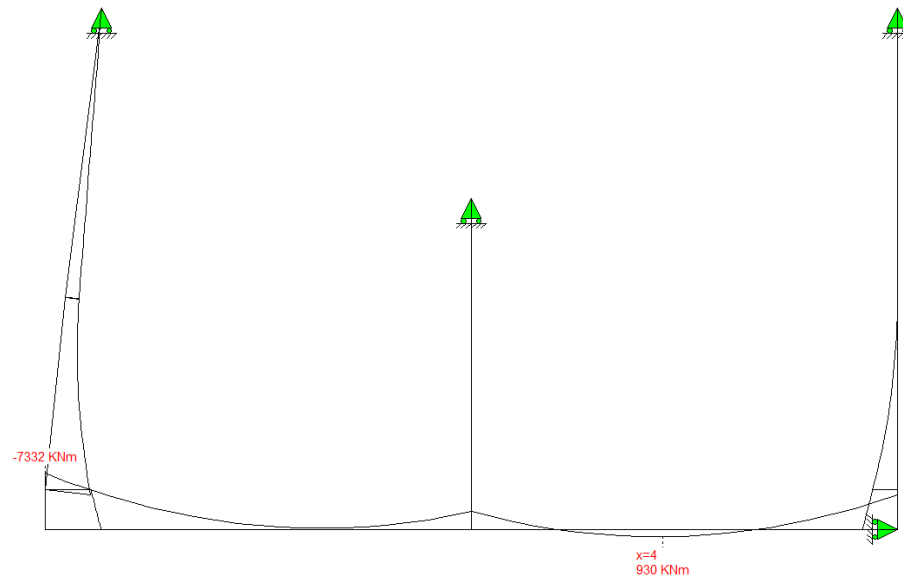
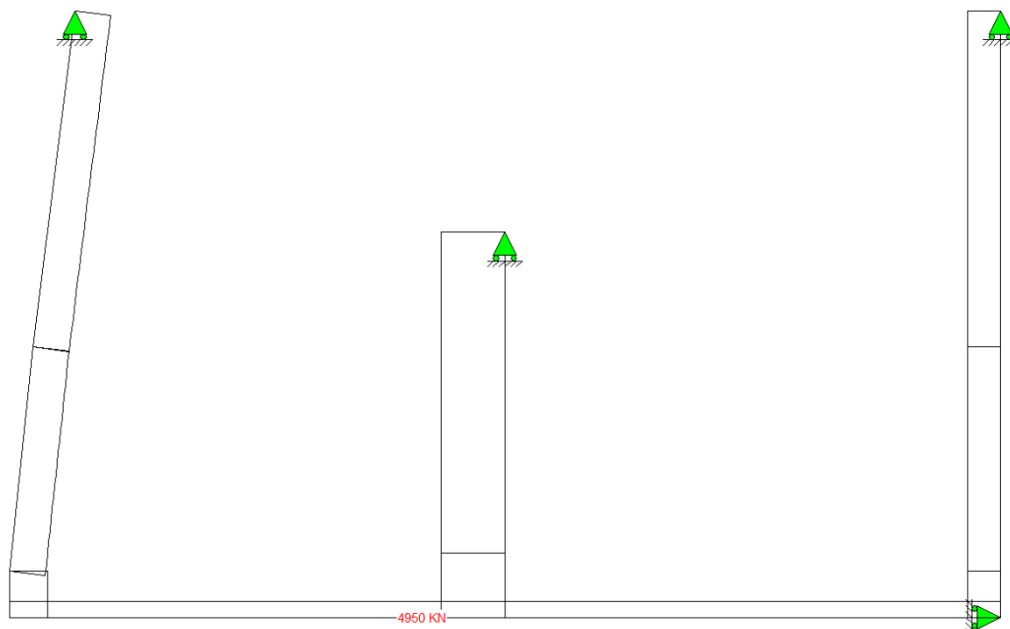
$q_L = 328 \text{ kN/m}$ - direzione longitudinale

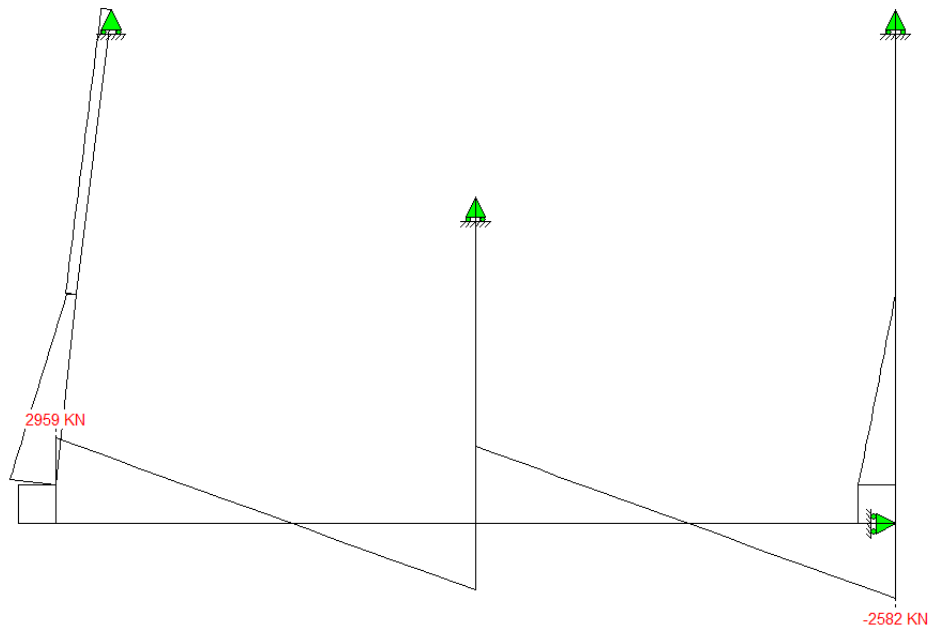
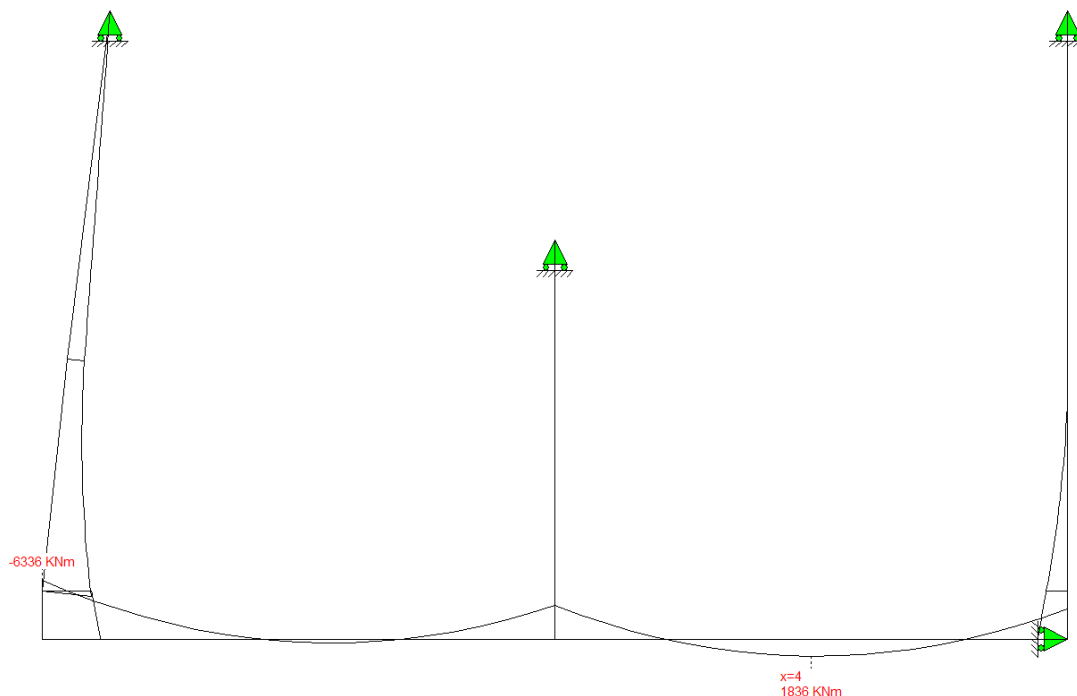
$q_T = 318 \text{ kN/m}$ - direzione trasversale

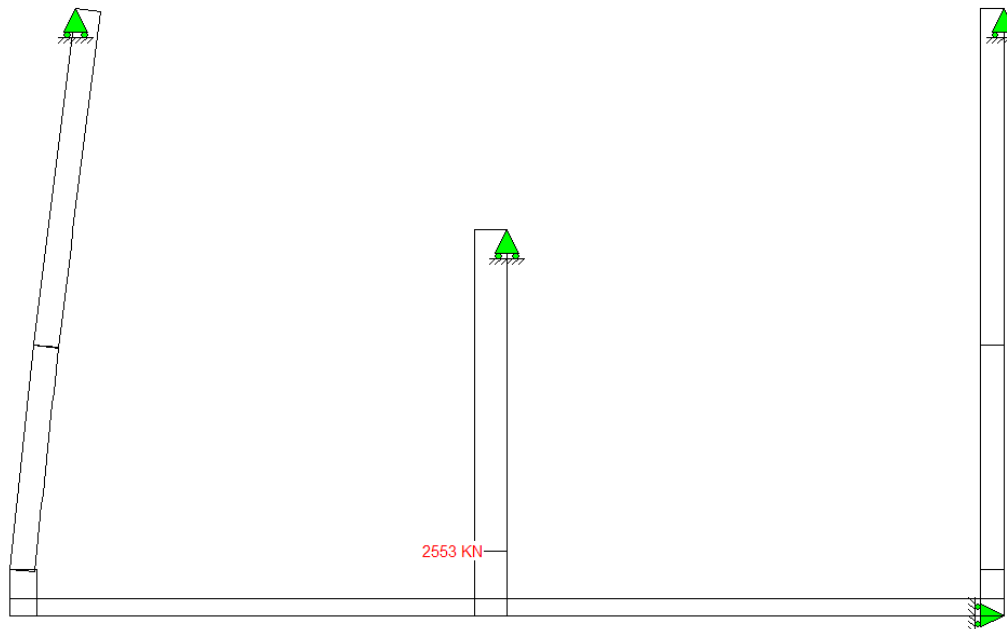
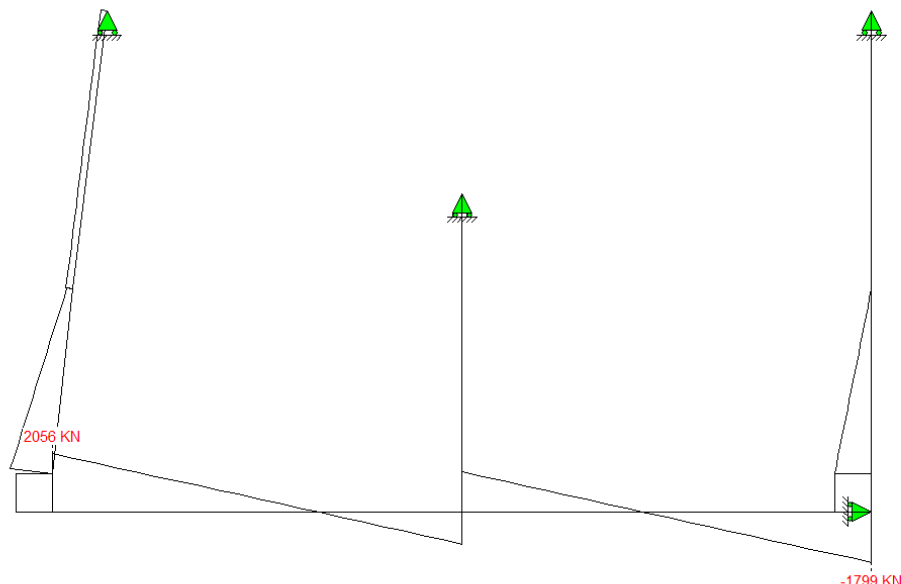
E' stato realizzato un modello di calcolo piano tramite il software di calcolo ENG della trave di coronamento soggetta ai carichi trasmessi da testa palo. Si riportano di seguito l'andamento delle sollecitazioni assiali, taglienti e flettenti della trave nelle combinazioni sopra descritte.

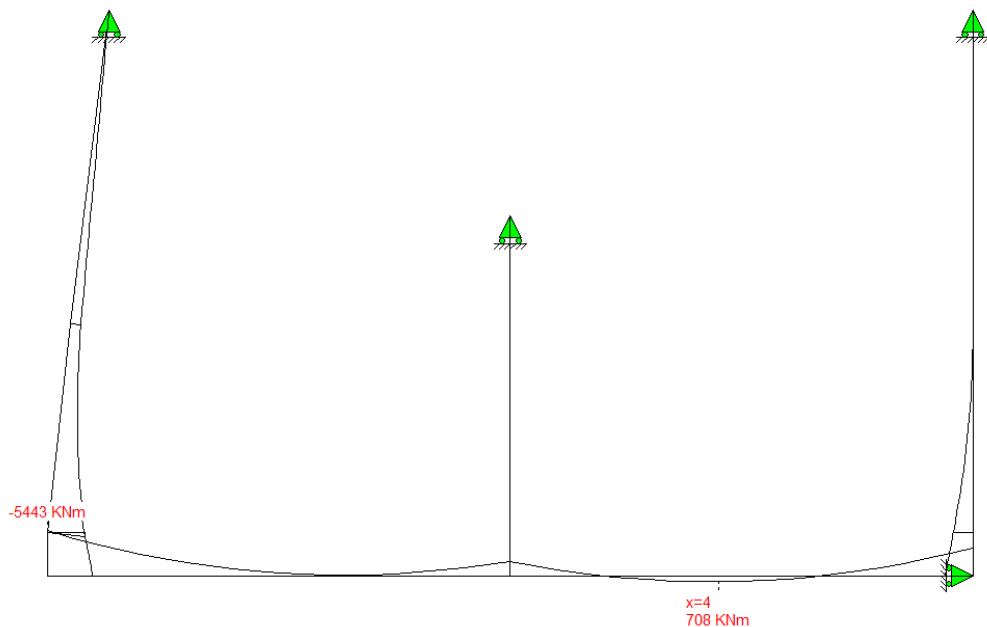
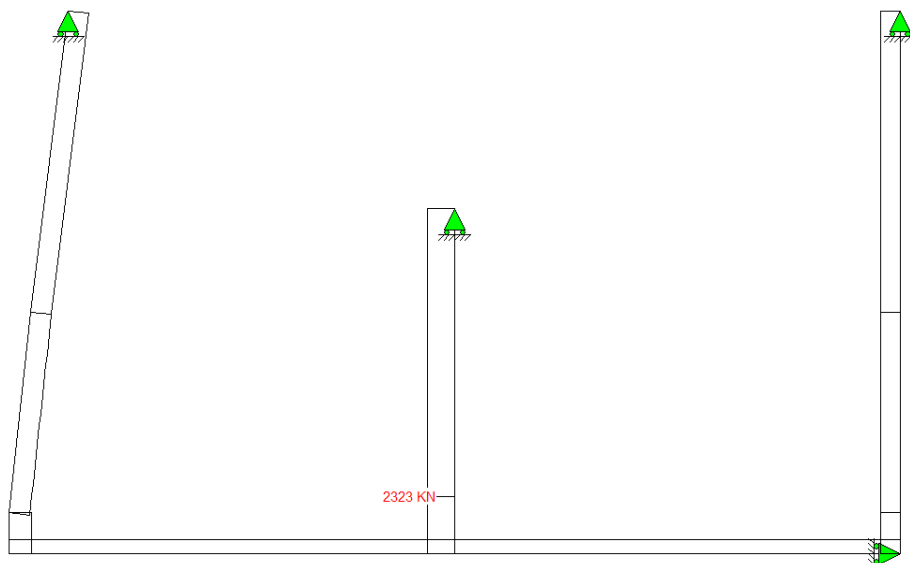
Combinazione STR – SLU

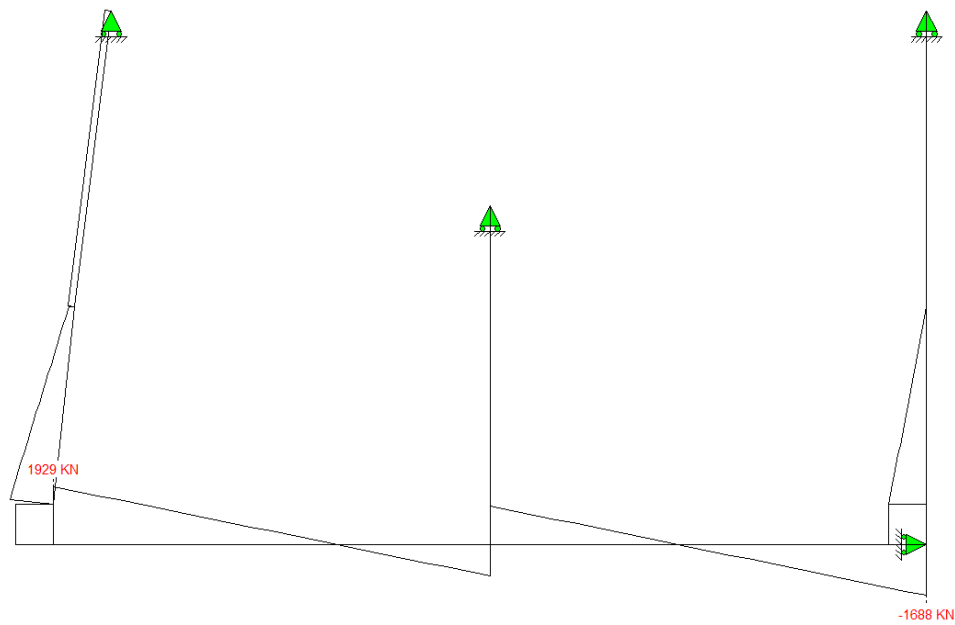
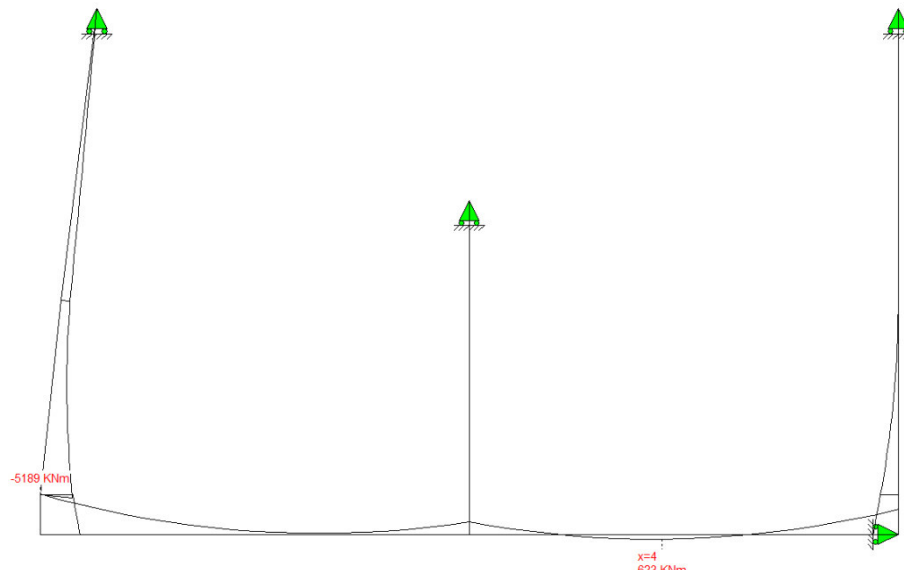
*Sforzo assiale**Sforzo tagliante*

*Momento flettente*Combinazione SISMA - LONGITUDINALE

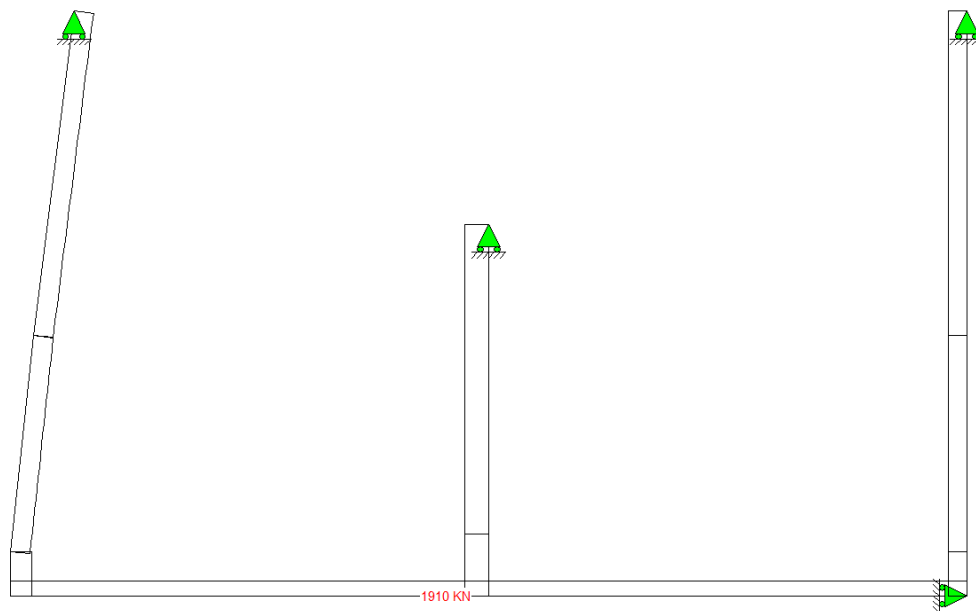
Sforzo assiale*Sforzo tagliente**Momento flettente*Combinazione SLE – Rara

*Sforzo assiale**Sforzo tagliente*

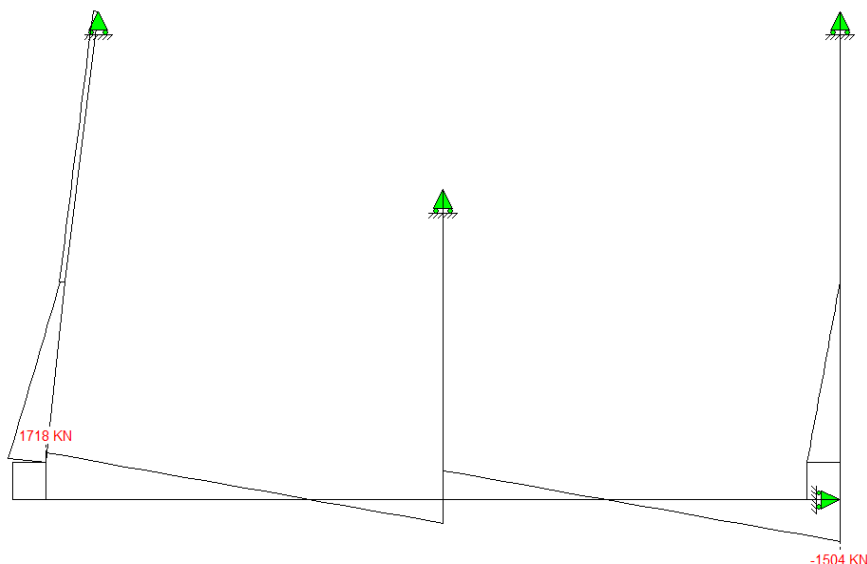
*Momento flettente*Combinazione SLE – Frequenti*Sforzo assiale*

*Sforzo tagliante**Momento flettente*

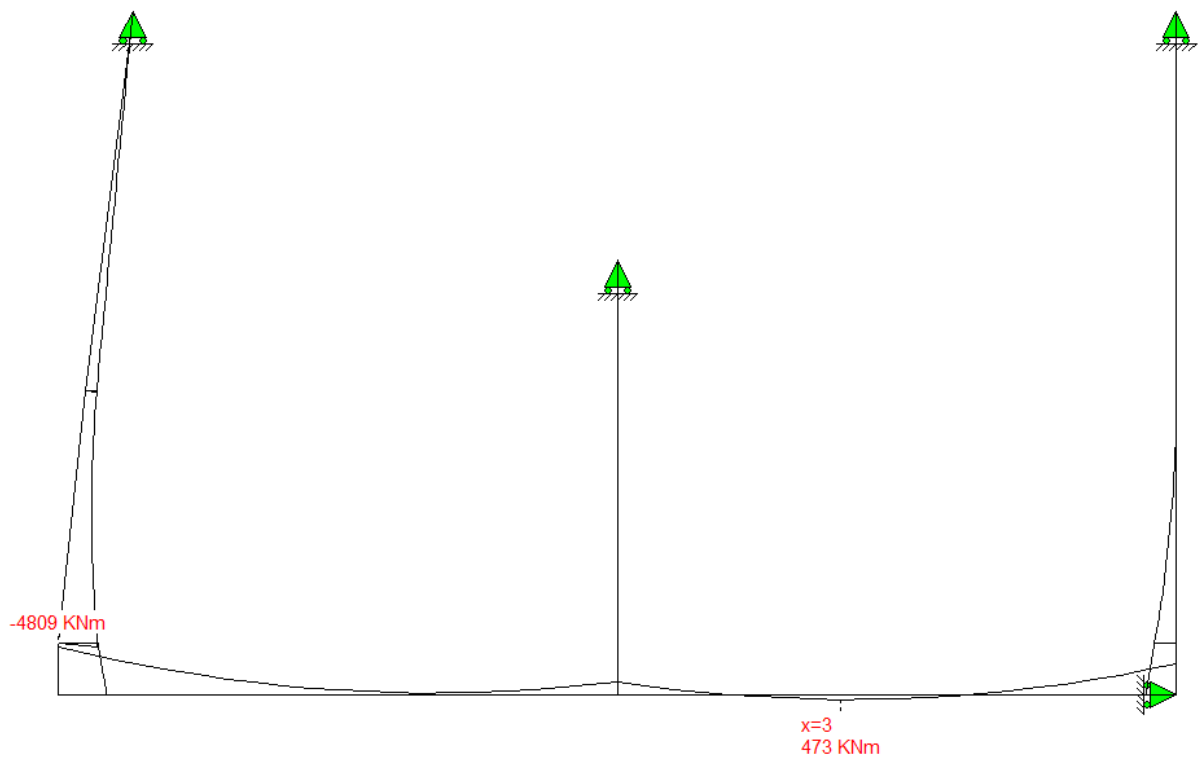
Combinazione SLE – Quasi permanente



Sforzo assiale



Sforzo tagliante

*Momento flettente*

Le due travi di bordo e la trave di collegamento vengono armate con 32 φ 26 lato teso e staffe φ 18 passo 20 cm.

Si riportano le verifiche strutturali SLU per la trave di sezione b x h = 200 x 215 cm armata con 32 φ 26 lato teso e staffe φ 18 passo 20 cm.

Si trascura conservativamente il contributo del ferro compresso.

Verifica a tensoflessione SLU

$$N_{min_SLU} = -3400 \text{ kN}$$

$$M_{max_SLU} = 7340 \text{ kNm}$$

Titolo : <input type="text"/>			Tipo Sezione		
N° figure elementari <input type="button" value="1"/> <input type="button" value="Zoom"/>			N° strati barre <input type="button" value="1"/> <input type="button" value="Zoom"/>		
N°	b [cm]	h [cm]	N°	As [cm²]	d [cm]
1	200	215	1	169,90	8,1

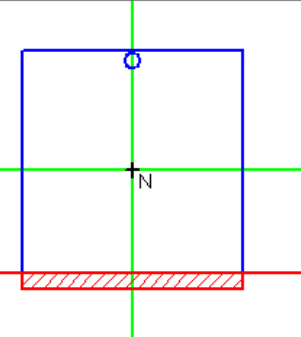
Sollecitazioni		P.tto applicazione N		Metodo di calcolo	
S.L.U. <input type="button" value="→"/> <input type="button" value="←"/> Metodo n		<input checked="" type="radio"/> Centro	<input type="radio"/> Baricentro cls	<input checked="" type="radio"/> S.L.U.+	<input type="radio"/> S.L.U.-
N_{Ed}	-3450	xN	0	Calcola MRd	Col. modello
M_{xEd}	-8080	yN	0	<input type="checkbox"/> Deviata	
M_{yEd}	0			<input type="checkbox"/> Retta	

Materiali		M_{xRd}	N° rett.
B450C	C25/30	-9.860	100
ε_{su}	67,5 %	σ_c	N[°] r
f_yd	391,3 N/mm ²	ε_{c2}	14,17 N/mm ²
E_s	200.000 N/mm ²	ε_{cu}	391,3 N/mm ²
E_s/E_c	15	f_{cd}	3,5 %
ε_{syd}	1,957 %	f_{cc}/f_{cd}	14,17
$\sigma_{s,adm}$	255 N/mm ²	$\sigma_{c,adm}$	0,8 ?
		τ_{co}	0,8
		τ_{cl}	0,6
			1,829

Tipi flessione	L₀	Precompresso
<input checked="" type="radio"/> Retta	0 cm	<input type="checkbox"/>
<input type="radio"/> Deviata		

B450C	C25/30
ε_{su}	67,5 %
f_{yd}	391,3 N/mm ²
E_s	200.000 N/mm ²
E_s/E_c	15
ε_{syd}	1,957 %
$\sigma_{s,adm}$	255 N/mm ²

Circolare	Trapezi
<input type="radio"/> a T	<input type="radio"/> Circolare
<input type="radio"/> Rettangoli	<input type="radio"/> Coord.



Risultando $M_{res} = 9860 \text{ kNm} > M_{max_SLU} = 7340 \text{ kNm}$ la verifica risulta soddisfatta.

Verifica a taglio SLU $T_{max_SLU} = 2760 \text{ kN}$

V_{sdu}	2760	kN
M_{sdu}	8080	kNm
N_{sdu}	-3450	kN
R_{ck}	30	N/mm ²
f_{ck}	25	N/mm ²
$\gamma_c =$	1,5	
f_yk	450	N/mm ²
b_w	200	cm
d	210,00	cm
A_{sl}	169,92	cm ²
c	8,10	cm
α	90	gradi
α	1,57	rad
θ	15,84	gradi
$ctg\theta$	3,53	
$\theta_{imposto}$	-	gradi
A_{sw}	5,09	cm ²
passo staffe	20	cm
f_{cd}	14,167	N/mm ²
$f_{ctd0,05}$	1,119	N/mm ²
f_{yd}	391,304	N/mm ²
σ_{cp}	-0,7940	N/mm ²
<i>verifica senza armatura resistente a taglio</i>		
V_{Rd}	926,094	kN
$V_{Rd,min}$	600,045	kN
$\rho_{sw,min}$	0,000889	
$s_{l,max}$	60,00	cm
$A_{sw,min}$	10,667	cm ² / $s_{l,max}$
<i>verifica con armatura resistente a taglio (staffe)</i>		
V_{Rcd}	6635,397	kN
V_{Rsd}	6635,397	kN
V_{Rd}	6635,397	kN

Risultando $T_{res} = 6635 \text{ kN} > T_{max_SLU} = 2760 \text{ kN}$ la verifica risulta soddisfatta.

Verifica tensionale SLE - Rara

$N_{min_SLU} = -2560 \text{ kN}$ $M_{max_SLU} = 5500 \text{ kNm}$

Titolo : <input type="text"/>																			
N° figure elementari <input type="button" value="1"/> <input type="button" value="Zoom"/>																			
N° strati barre <input type="button" value="1"/> <input type="button" value="Zoom"/>																			
<table border="1"> <tr> <th>N°</th> <th>b [cm]</th> <th>h [cm]</th> </tr> <tr> <td>1</td> <td>200</td> <td>215</td> </tr> </table>	N°	b [cm]	h [cm]	1	200	215	<table border="1"> <tr> <th>N°</th> <th>As [cm²]</th> <th>d [cm]</th> </tr> <tr> <td>1</td> <td>169,90</td> <td>8,1</td> </tr> </table>	N°	As [cm ²]	d [cm]	1	169,90	8,1	<p>Tipo Sezione</p> <input checked="" type="radio"/> Rettan.re <input type="radio"/> Trapezi <input type="radio"/> a T <input type="radio"/> Circolare <input type="radio"/> Rettangoli <input type="radio"/> Coord.					
N°	b [cm]	h [cm]																	
1	200	215																	
N°	As [cm ²]	d [cm]																	
1	169,90	8,1																	
Sollecitazioni <table border="1"> <tr> <td>S.L.U.</td> <td><input type="button" value="→"/></td> <td>Metodo n</td> </tr> <tr> <td>N_{Ed}</td> <td><input type="button" value="←"/></td> <td>-2590 kN</td> </tr> <tr> <td>M_{xEd}</td> <td><input type="button" value="←"/></td> <td>-6019 kNm</td> </tr> <tr> <td>M_{yEd}</td> <td><input type="button" value="←"/></td> <td>0</td> </tr> </table>			S.L.U.	<input type="button" value="→"/>	Metodo n	N_{Ed}	<input type="button" value="←"/>	-2590 kN	M_{xEd}	<input type="button" value="←"/>	-6019 kNm	M_{yEd}	<input type="button" value="←"/>	0	P.tto applicazione N <input checked="" type="radio"/> Centro <input type="radio"/> Baricentro cls <input type="radio"/> Coord.[cm] <input type="radio"/> <table border="1"> <tr> <td>xN <input type="text" value="0"/></td> </tr> <tr> <td>yN <input type="text" value="0"/></td> </tr> </table>	xN <input type="text" value="0"/>	yN <input type="text" value="0"/>		
S.L.U.	<input type="button" value="→"/>	Metodo n																	
N_{Ed}	<input type="button" value="←"/>	-2590 kN																	
M_{xEd}	<input type="button" value="←"/>	-6019 kNm																	
M_{yEd}	<input type="button" value="←"/>	0																	
xN <input type="text" value="0"/>																			
yN <input type="text" value="0"/>																			
			Metodo di calcolo <input type="radio"/> S.L.U.+ <input checked="" type="radio"/> S.L.U.- <input checked="" type="radio"/> Metodo n																
Materiali <table border="1"> <tr> <td>B450C</td> <td>C25/30</td> </tr> <tr> <td>ϵ_{su} 67,5 %</td> <td>ϵ_{c2} 2 %</td> </tr> <tr> <td>f_yd 391,3 N/mm²</td> <td>ϵ_{cu} 3,5</td> </tr> <tr> <td>E_s 200.000 N/mm²</td> <td>f_{cd} 14,17</td> </tr> <tr> <td>E_s/E_c 15</td> <td>f_{cc}/f_{cd} 0,8</td> </tr> <tr> <td>ϵ_{syd} 1,957 %</td> <td>$\sigma_{c,adm}$ 9,75</td> </tr> <tr> <td>$\sigma_{s,adm}$ 255 N/mm²</td> <td>τ_{co} 0,6</td> </tr> <tr> <td></td> <td>τ_{cl} 1,829</td> </tr> </table>			B450C	C25/30	ϵ_{su} 67,5 %	ϵ_{c2} 2 %	f_yd 391,3 N/mm ²	ϵ_{cu} 3,5	E_s 200.000 N/mm ²	f_{cd} 14,17	E_s/E_c 15	f_{cc}/f_{cd} 0,8	ϵ_{syd} 1,957 %	$\sigma_{c,adm}$ 9,75	$\sigma_{s,adm}$ 255 N/mm ²	τ_{co} 0,6		τ_{cl} 1,829	σ_c -4,302 N/mm ² σ_s 257,4 N/mm ² <input type="button" value="Verifica"/> ϵ_s 1,287 % d 206,9 cm x 41,47 x/d 0,2004 δ 0,7 <input type="checkbox"/> Precompresso N° iterazioni: <input type="text" value="4"/>
B450C	C25/30																		
ϵ_{su} 67,5 %	ϵ_{c2} 2 %																		
f_yd 391,3 N/mm ²	ϵ_{cu} 3,5																		
E_s 200.000 N/mm ²	f_{cd} 14,17																		
E_s/E_c 15	f_{cc}/f_{cd} 0,8																		
ϵ_{syd} 1,957 %	$\sigma_{c,adm}$ 9,75																		
$\sigma_{s,adm}$ 255 N/mm ²	τ_{co} 0,6																		
	τ_{cl} 1,829																		

La verifica risulta soddisfatta.

Verifiche a fessurazione

Combinazione frequente

Caratteristiche dei materiali

Coefficiente di omogeneizzazione t=0	n0 =	7	
Classe cls	f _{ck} =	25	N/mm ²
Modulo elastico acciaio	E _s =	2,10E+05	N/mm ²
Modulo elastico cls t=0	E _{cm0} =	3,15E+04	N/mm ²

Caratteristiche della sezione

Altezza	h =	215	cm
Larghezza	B =	200	cm
Copriferro baricentrico acciaio tes	cb =	8,10	cm
Area acciaio tes	A _s =	169,90	cm ²
Ricoprimento barre esterne tese	c =	6,8	cm
Diametro massimo barre tese	Φ =	2,6	cm
Diametro medio equivalente	Φm =	2,6	cm

Sezione fessurata: apertura fessure

Tensione media barre (l'intera area in A)	σ _{sm} =	243,00	N/mm ²
Asse neutro	x =	42,30	cm
Altezza utile	d =	206,90	cm
Deformazione lembo inferiore	ε ₁ =	1,21E-03	
Deformazione lembo superiore	ε ₂ =	0,00	

Distanza media fra due fessure attigue

Coefficiente k ₂	k ₂ =	0,50	
Coefficiente k ₃	k ₃ =	3,400	
Larghezza efficace	b _{eff} =	200,0	cm
Altezza efficace	h _{c,eff} =	20,3	cm
Area efficace	A _{ceff} =	4050,0	cm ²
Area armature poste in A _{ceff}	A _s =	169,90	cm ²
Distanza massima fra due fessure	Δsmax =	33,66	cm
Coefficiente kt	kt =	0,4	

Coefficiente k_1 $k_1 =$ 0,8

Coefficiente k_4 $k_4 =$ 0,425

Deformazione unitaria media $e_{sm} =$ 1,01E-03

Aampiezza fessura $w_k =$ 0,339 mm < 0,4 mm

Combinazione Quasi permanente**Caratteristiche dei materiali**

Coefficiente di omogeneizzazione t=0	n0 =	7	
Classe cls	f _{ck} =	25	N/mm ²
Modulo elastico acciaio	E _s =	2,10E+05	N/mm ²
Modulo elastico cls t=0	E _{cm0} =	3,15E+04	N/mm ²

Caratteristiche della sezione

Altezza	h =	215	cm
Larghezza	B =	200	cm
Coprifero baricentrico acciaio tesio	cb =	8,10	cm
Area acciaio tesio	A _s =	169,90	cm ²
Ricoprimento barre esterne tese	c =	6,8	cm
Diametro massimo barre tese	Φ =	2,6	cm
Diametro medio equivalente	Φm =	2,6	cm

Sezione fessurata: apertura fessure

Tensione media barre (l'intera area in A)	σ _{sm} =	210,00	N/mm ²
Asse neutro	x =	44,30	cm
Altezza utile	d =	206,90	cm
Deformazione lembo inferiore	ε ₁ =	1,05E-03	
Deformazione lembo superiore	ε ₂ =	0,00	

Distanza media fra due fessure attigue

Coefficiente k ₂	k ₂ =	0,50	
Coefficiente k ₃	k ₃ =	3,400	
Larghezza efficace	b _{eff} =	200,0	cm
Altezza efficace	h _{c,eff} =	20,3	cm
Area efficace	A _{eff} =	4050,0	cm ²
Area armature poste in A _{eff}	A _s =	169,90	cm ²
Distanza massima fra due fessure	Δsmax =	33,66	cm
Coefficiente k _t	k _t =	0,4	
Coefficiente k ₁	k ₁ =	0,8	

Coefficiente k_4 = 0,425

Deformazione unitaria media $e_{sm} = 8,51E-04$

Aampiezza fessura $w_k = 0,286 \text{ mm}$ **mm < 0,3 mm**

La trave centrale è soggetta a trazione pura e viene armata con 26 φ 26.

Verifica a trazione SLU

$$N_{min_SLU} = -4950 \text{ kN}$$

$$N_{RES} = 26 \times 531 \times 391 = -5398 \text{ kN}$$

Risultando $N_{RES} = -5398 \text{ kN} < N_{min_SLU} = -4950 \text{ kN}$ la verifica risulta soddisfatta.

Verifica a trazione SLE - Rara

$$N_{max_SLE_Rara} = -2590 \text{ kN}$$

$$\sigma_{FE_Rara} = 2560 / (26 \times 531) = 186 \text{ MPa} < 360 \text{ MPa}$$

La verifica risulta quindi soddisfatta.

Verifiche a fessurazione

Combinazione frequente

Caratteristiche dei materiali

Coefficiente di omogeneizzazione t=0	$n_0 =$	6	
Coefficiente di omogeneizzazione t=inf	$n_{\infty} =$	19	
Classe cls	$f_{ck} =$	32	N/mm ²
Modulo elastico acciaio	$E_s =$	2,10E+05	N/mm ²
Modulo elastico cls t=0	$E_{cm0} =$	3,33E+04	N/mm ²
Modulo elastico cls t=inf	$E_{cm-\infty} =$	1,11E+04	N/mm ²

Caratteristiche della sezione

		Fase 1	
Altezza	$h =$	200	cm
Larghezza	$B =$	190	cm
Coprifero baricentrico superiore	$c_{bs} =$	8,10	cm
Coprifero baricentrico inferiore	$c_{bi} =$	8,10	cm
Area acciaio superiore	$A_{s,sup} =$	69,02	cm ²
Area acciaio inferiore	$A_{s,inf} =$	69,02	cm ²
Ricoprimento barre esterne superiore	$c_s =$	5,0	cm
Ricoprimento barre esterne inferiore	$c_i =$	5,0	cm
Diametro massimo barre superiori	$\Phi_s =$	2,60	cm
Diametro medio equivalente barre sup.	$\Phi_{ms} =$	2,60	cm
Diametro massimo barre inferiori	$\Phi_i =$	2,60	cm
Diametro medio equivalente barre inf.	$\Phi_{mi} =$	2,60	cm

Sezione fessurata: apertura fessure

Tensione media barre superiori	$\sigma_{sup} =$	172,00	N/mm ²
Tensione media barre inferiori	$\sigma_{inf} =$	172,00	N/mm ²
Altezza utile	$d =$	191,90	cm
Deformazione lembo superiore	$\varepsilon_2 =$	8,19E-04	
Deformazione lembo inferiore	$\varepsilon_1 =$	8,19E-04	

Distanza media fra due fessure attigue

Distanza media barre	$s =$	7,3	cm
Coefficiente k_2	$k_2 =$	1,000	
Coefficiente k_3	$k_3 =$	3,400	
Larghezza efficace	$b_{eff} =$	190,0	cm

Altezza efficace superiore	$h_{c,eff\ sup} =$	20,3	cm
Altezza efficace inferiore	$h_{c,eff\ inf} =$	20,3	cm
Area efficace superiore	$A_{ceff,sup} =$	3847,5	cm ²
Area efficace inferiore	$A_{ceff,inf} =$	3847,5	cm ²
Area armature poste in A_{ceff} superiore	$A_{s,sup} =$	69,02	cm ²
Area armature poste in A_{ceff} inferiore	$A_{s,inf} =$	69,02	cm ²
Distanza massima fra due fessure superiore	$\Delta s_{max,sup} =$	66,28	cm
Distanza massima fra due fessure inferiore	$\Delta s_{max,inf} =$	66,28	cm
Coefficiente k_t	$k_t =$	0,4	
Coefficiente k_1	$k_1 =$	0,8	
Coefficiente k_4	$k_4 =$	0,425	
Deformazione unitaria media	$e_{sm,sup} =$	4,91E-04	
	$e_{sm,inf} =$	4,91E-04	
Aampiezza fessura	$w_{ksup} =$	0,328	mm < 0,4 mm
	$w_{kinf} =$	0,328	mm < 0,4 mm

Combinazione quasi permanente

Caratteristiche dei materiali

Coefficiente di omogeneizzazione t=0	$n_0 =$	6	
Coefficiente di omogeneizzazione t=inf	$n_{inf} =$	19	
Classe cls	$f_{ck} =$	32	N/mm ²
Modulo elastico acciaio	$E_s =$	2,10E+05	N/mm ²
Modulo elastico cls t=0	$E_{cm0} =$	3,33E+04	N/mm ²
Modulo elastico cls t=inf	$E_{cm-inf} =$	1,11E+04	N/mm ²

Caratteristiche della sezione

Altezza	$h =$	200	cm
Larghezza	$B =$	190	cm
Coprifero baricentrico superiore	$c_{bs} =$	8,10	cm
Coprifero baricentrico inferiore	$c_{bi} =$	8,10	cm
Area acciaio superiore	$A_{s,sup} =$	69,02	cm ²
Area acciaio inferiore	$A_{s,inf} =$	69,02	cm ²
Ricoprimento barre esterne superiore	$cs =$	5,0	cm
Ricoprimento barre esterne inferiore	$ci =$	5,0	cm
Diametro massimo barre superiori	$\Phi_{s,sup}$	2,60	cm
Diametro medio equivalente barre sup.	Φ_{ms}	2,60	cm
Diametro massimo barre inferiori	$\Phi_{i,inf}$	2,60	cm
Diametro medio equivalente barre inf.	Φ_{mi}	2,60	cm

Sezione fessurata: apertura fessure

Tensione media barre superiori	$\sigma_{sup} =$	154,00	N/mm ²
Tensione media barre inferiori	$\sigma_{inf} =$	154,00	N/mm ²
Altezza utile	$d =$	191,90	cm
Deformazione lembo superiore	$\varepsilon_2 =$	7,33E-04	
Deformazione lembo inferiore	$\varepsilon_1 =$	7,33E-04	

Distanza media fra due fessure attigue

Distanza media barre	$s =$	7,3	cm
Coefficiente k_2	$k_2 =$	1,000	
Coefficiente k_3	$k_3 =$	3,400	
Larghezza efficace	$b_{eff} =$	190,0	cm

Altezza efficace superiore	$h_{c,eff\ sup} =$	20,3	cm
Altezza efficace inferiore	$h_{c,eff\ inf} =$	20,3	cm
Area efficace superiore	$A_{ceff,sup} =$	3847,5	cm ²
Area efficace inferiore	$A_{ceff,inf} =$	3847,5	cm ²
Area armature poste in A_{ceff} superiore	$A_{s,sup} =$	69,02	cm ²
Area armature poste in A_{ceff} inferiore	$A_{s,inf} =$	69,02	cm ²
Distanza massima fra due fessure superiore	$\Delta s_{max,sup} =$	66,28	cm
Distanza massima fra due fessure inferiore	$\Delta s_{max,inf} =$	66,28	cm
Coefficiente k_t	$k_t =$	0,4	
Coefficiente k_1	$k_1 =$	0,8	
Coefficiente k_4	$k_4 =$	0,425	
Deformazione unitaria media	$e_{sm,sup} =$	4,40E-04	
	$e_{sm,inf} =$	4,40E-04	
	$w_{ksup} =$	0,294	mm < 0,3 mm

Aampiezza fessura

$w_{kinf} =$ **0,294** mm < 0,3 mm

E' stato realizzato inoltre un modello di calcolo tridimensionale tramite il software di calcolo Strauss della trave di coronamento soggetta ai carichi verticali trasmessi dalle due travi principali dell'impalcato e vincolata con carrelli verticali in corrispondenza dei pali.

I carichi permanenti caratteristici trasmessi dall'impalcato sommati al peso proprio della trave valgono:

$$N_{perm_tot} = 18000 \text{ kN}$$

Il carico verticale trasmesso da ciascuna delle due travi vale:

$$N_{perm} = 9000 \text{ kN}$$

Le reazioni caratteristiche delle due travi per il carico da traffico valgono:

$$N_1 = 1650 \text{ kN}$$

$$N_2 = 790 \text{ kN}$$

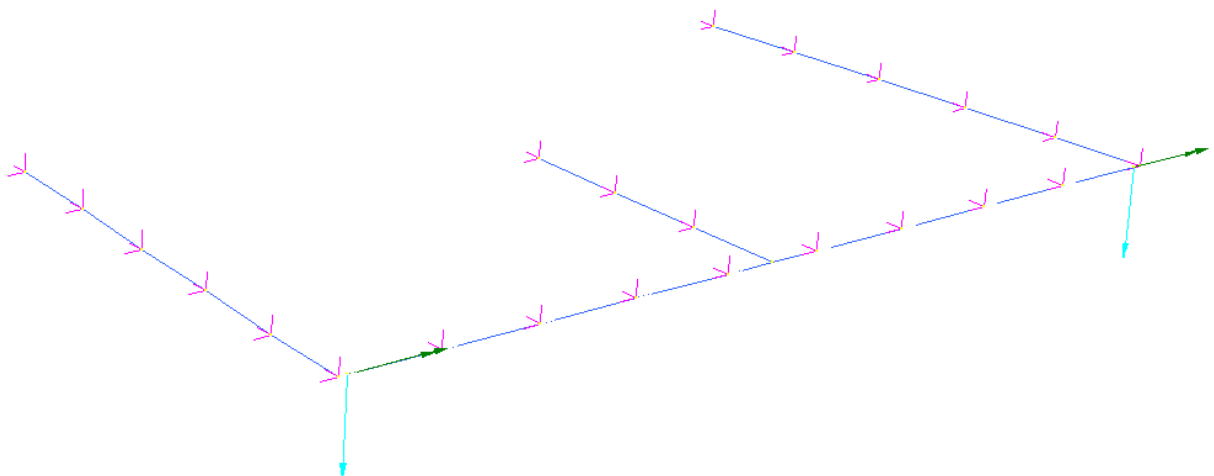
Il baricentro degli appoggi presenta un'eccentricità pari a 0,325 m rispetto all'asse della trave. Nel modello di calcolo è stato applicato il momento dovuto a tale eccentricità delle forze.

$$M_{Nperm} = 9000 \text{ kN} \times 0,325 \text{ m} = 2925 \text{ kNm}$$

$$M_{N1} = 1650 \text{ kN} \times 0,325 \text{ m} = 537 \text{ kNm}$$

$$M_{N2} = 790 \text{ kN} \times 0,325 \text{ m} = 257 \text{ kNm}$$

Si riporta di seguito l'immagine del modello di calcolo realizzato.

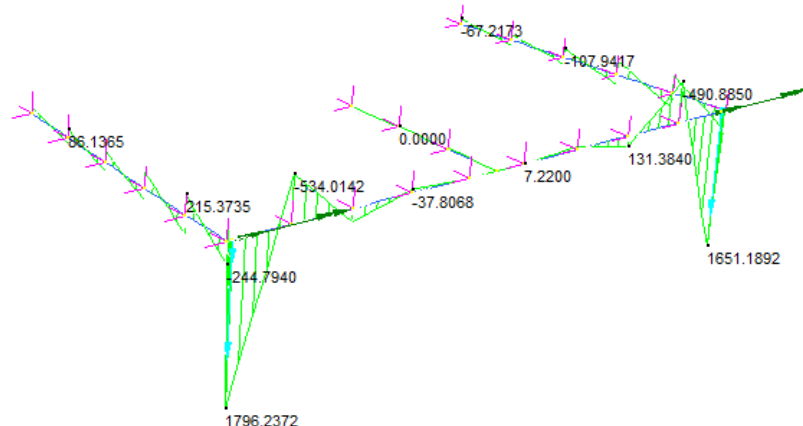


Si riportano di seguito l'andamento del momento flettente sulla trave nelle combinazioni significative STR – SLU e SLE – Rara.

Combinazione STR – SLU

	MIN	MAX
BM2(kN.m)	-534.0142	1796.2372
[Bm:9]		

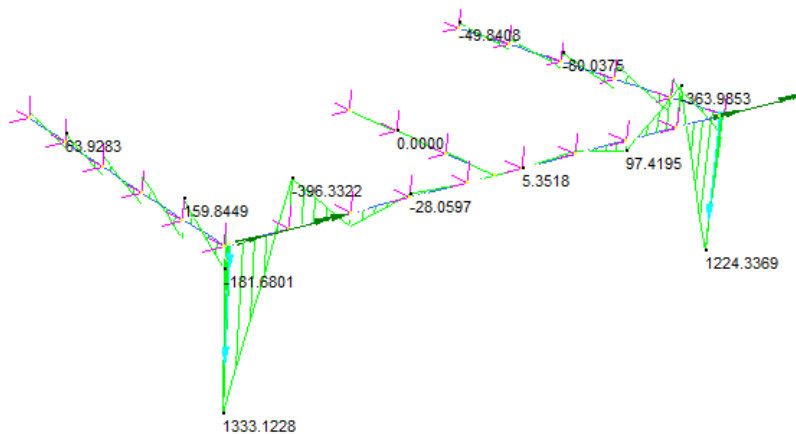
	MIN	MAX
[Bm:11]		

*Momento flettente*

Combinazione SLE – Rara

	MIN	MAX
BM2(kN.m)	-396.3322	1333.1228
[Bm:9]		

	MIN	MAX
[Bm:11]		

*Momento flettente*

Le due travi di bordo e la trave di collegamento vengono armate con 12 φ 20 lato teso e con 12 φ 20 lato compresso.

Si riportano le verifiche strutturali per la trave di sezione b x h = 215 x 200 cm armata con 12 φ 20 lato teso e con 12 φ 20 lato compresso.

Verifica a flessione SLU

$$M_{\max_SLU} = 1800 \text{ kNm}$$

Titolo : [Text Box]

N° figure elementari 1 **Zoom**

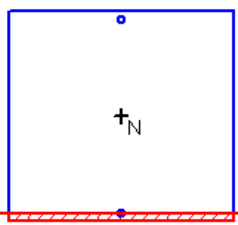
N°	b [cm]	h [cm]
1	215	200

N° strati barre 2 **Zoom**

N°	As [cm ²]	d [cm]
1	37,7	7,2
2	37,7	192,8

Tipo Sezione

- Rettan.re
- Trapezi
- a T
- Circolare
- Rettangoli
- Coord.



Sollecitazioni

S.L.U. **Metodo n**

N _{Ed} 0	0 kN
M _{xEd} -1800	0 kNm
M _{yEd} 0	0

Punto applicazione N

- Centro
- Baricentro cls
- Coord.[cm]

xN 0
yN 0

Lato acciaio - Acciaio snervato

Materiali

B450C	C25/30
ε_{su} 67,5 %	ε_{c2} 2 %
f _{yd} 391,3 N/mm ²	ε_{cu} 3,5
E _s 200.000 N/mm ²	f _{cd} 14,17
ε_s/E_c 15	f _{cc} / f _{cd} 0,8
ε_{syd} 1,957 %	$\sigma_{c,adm}$ 9,75
$\sigma_{s,adm}$ 255 N/mm ²	τ_{co} 0,6
	τ_{cl} 1,829

Metodo di calcolo

- S.L.U.+
- S.L.U.-
- Metodo n

Tipo flessione

- Retta
- Deviata

Calcola MRd **Dominio M-N**

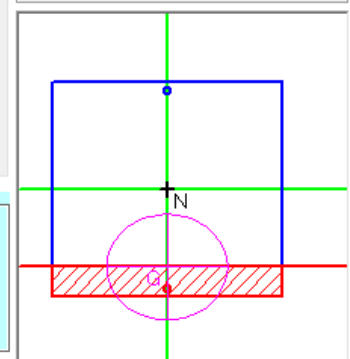
N° rett. 100 **L₀** 0 cm **Col. modello**

Precompresso

Risultando $M_{res} = 2807 \text{ kNm} > M_{max_SLU} = 1800 \text{ kNm}$ la verifica risulta soddisfatta.

Verifica tensionale SLE - Rara

 $M_{max_SLE_Rara} = 1340 \text{ kNm}$

Titolo : <input type="text"/>																							
N° figure elementari <input type="text"/> 1 <input type="button" value="Zoom"/>		N° strati barre <input type="text"/> 2 <input type="button" value="Zoom"/>																					
<table border="1"> <thead> <tr> <th>N°</th> <th>b [cm]</th> <th>h [cm]</th> </tr> </thead> <tbody> <tr> <td>1</td> <td>215</td> <td>200</td> </tr> </tbody> </table>		N°	b [cm]	h [cm]	1	215	200	<table border="1"> <thead> <tr> <th>N°</th> <th>As [cm²]</th> <th>d [cm]</th> </tr> </thead> <tbody> <tr> <td>1</td> <td>37,7</td> <td>7,2</td> </tr> <tr> <td>2</td> <td>37,7</td> <td>192,8</td> </tr> </tbody> </table>	N°	As [cm ²]	d [cm]	1	37,7	7,2	2	37,7	192,8						
N°	b [cm]	h [cm]																					
1	215	200																					
N°	As [cm ²]	d [cm]																					
1	37,7	7,2																					
2	37,7	192,8																					
<table border="1"> <tr> <td colspan="2">Sollecitazioni:</td> <td>Metodo n</td> </tr> <tr> <td>S.L.U.</td> <td><input type="button" value="→"/></td> <td><input type="button" value="←"/></td> </tr> <tr> <td>N_{Ed} <input type="text"/> 0</td> <td><input type="text"/> 0 kN</td> <td></td> </tr> <tr> <td>M_{xEd} <input type="text"/> 0</td> <td><input type="text"/> -1340 kNm</td> <td></td> </tr> <tr> <td>M_{yEd} <input type="text"/> 0</td> <td><input type="text"/> 0</td> <td></td> </tr> </table> <table border="1"> <tr> <td colspan="2">P.tto applicazione N</td> </tr> <tr> <td><input checked="" type="radio"/> Centro</td> <td><input type="radio"/> Baricentro cls</td> </tr> <tr> <td><input type="radio"/> Coord.[cm]</td> <td>xN <input type="text"/> 0 yN <input type="text"/> 0</td> </tr> </table>			Sollecitazioni:		Metodo n	S.L.U.	<input type="button" value="→"/>	<input type="button" value="←"/>	N _{Ed} <input type="text"/> 0	<input type="text"/> 0 kN		M _{xEd} <input type="text"/> 0	<input type="text"/> -1340 kNm		M _{yEd} <input type="text"/> 0	<input type="text"/> 0		P.tto applicazione N		<input checked="" type="radio"/> Centro	<input type="radio"/> Baricentro cls	<input type="radio"/> Coord.[cm]	xN <input type="text"/> 0 yN <input type="text"/> 0
Sollecitazioni:		Metodo n																					
S.L.U.	<input type="button" value="→"/>	<input type="button" value="←"/>																					
N _{Ed} <input type="text"/> 0	<input type="text"/> 0 kN																						
M _{xEd} <input type="text"/> 0	<input type="text"/> -1340 kNm																						
M _{yEd} <input type="text"/> 0	<input type="text"/> 0																						
P.tto applicazione N																							
<input checked="" type="radio"/> Centro	<input type="radio"/> Baricentro cls																						
<input type="radio"/> Coord.[cm]	xN <input type="text"/> 0 yN <input type="text"/> 0																						
<table border="1"> <tr> <td colspan="2">Materiali:</td> </tr> <tr> <td>B450C</td> <td>C25/30</td> </tr> <tr> <td>ε_{su} <input type="text"/> 67,5 %</td> <td>ε_{c2} <input type="text"/> 2 %</td> </tr> <tr> <td>f_yd <input type="text"/> 391,3 N/mm²</td> <td>ε_{cu} <input type="text"/> 3,5</td> </tr> <tr> <td>E_s <input type="text"/> 200.000 N/mm²</td> <td>f_{cd} <input type="text"/> 1</td> </tr> <tr> <td>E_s/E_c <input type="text"/> 15</td> <td>f_{cc}/f_{cd} <input type="text"/> 0,8 <input data-bbox="690 1336 706 1358" type="button" value="?"/></td> </tr> <tr> <td>ε_{syd} <input type="text"/> 1,957 %</td> <td>$\sigma_{c,adm}$ <input type="text"/> 9,75</td> </tr> <tr> <td>$\sigma_{s,adm}$ <input type="text"/> 255 N/mm²</td> <td>τ_{co} <input type="text"/> 0,6</td> </tr> <tr> <td></td> <td>τ_{cl} <input type="text"/> 1,829</td> </tr> </table>			Materiali:		B450C	C25/30	ε_{su} <input type="text"/> 67,5 %	ε_{c2} <input type="text"/> 2 %	f_yd <input type="text"/> 391,3 N/mm ²	ε_{cu} <input type="text"/> 3,5	E_s <input type="text"/> 200.000 N/mm ²	f_{cd} <input type="text"/> 1	E_s/E_c <input type="text"/> 15	f_{cc}/f_{cd} <input type="text"/> 0,8 <input data-bbox="690 1336 706 1358" type="button" value="?"/>	ε_{syd} <input type="text"/> 1,957 %	$\sigma_{c,adm}$ <input type="text"/> 9,75	$\sigma_{s,adm}$ <input type="text"/> 255 N/mm ²	τ_{co} <input type="text"/> 0,6		τ_{cl} <input type="text"/> 1,829			
Materiali:																							
B450C	C25/30																						
ε_{su} <input type="text"/> 67,5 %	ε_{c2} <input type="text"/> 2 %																						
f_yd <input type="text"/> 391,3 N/mm ²	ε_{cu} <input type="text"/> 3,5																						
E_s <input type="text"/> 200.000 N/mm ²	f_{cd} <input type="text"/> 1																						
E_s/E_c <input type="text"/> 15	f_{cc}/f_{cd} <input type="text"/> 0,8 <input data-bbox="690 1336 706 1358" type="button" value="?"/>																						
ε_{syd} <input type="text"/> 1,957 %	$\sigma_{c,adm}$ <input type="text"/> 9,75																						
$\sigma_{s,adm}$ <input type="text"/> 255 N/mm ²	τ_{co} <input type="text"/> 0,6																						
	τ_{cl} <input type="text"/> 1,829																						
 <p>Metodo di calcolo:</p> <ul style="list-style-type: none"> <input type="radio"/> S.L.U. + <input type="radio"/> S.L.U. - <input checked="" type="radio"/> Metodo n 																							
<p>Verifica</p> <p>σ_c <input type="text"/> -2,153 N/mm² σ_s <input type="text"/> 193,3 N/mm²</p> <p>ε_s <input type="text"/> 0,9667 % d <input type="text"/> 192,8 cm</p> <p>x <input type="text"/> 27,6 x/d <input type="text"/> 0,1432 δ <input type="text"/> 0,7</p> <p>N° iterazioni: <input type="text"/> 5</p> <p><input type="checkbox"/> Precompresso</p>																							

La verifica risulta soddisfatta.

Poiché i valori di σ_c e σ_s con la combinazione più gravosa (rara) rispettano anche i limiti tensionali prescritti per la combinazione meno gravosa (quasi – permanente) e quindi più restrittivi, le verifiche per entrambe le condizioni sono soddisfatte.

Il tasso di lavoro delle barre tese nella combinazione rara rispetta anche i limiti tensionali per il controllo della fessurazione contenuti nella tabella C4.1.II delle istruzioni di NTC 2018.

Di conseguenza la verifica a fessurazione risulta soddisfatta sia per la combinazione frequente che quasi permanente.

13 ALLEGATI

13.1 OUTPUT DEL SOFTWARE PARATIE

Combinazione A1M1

PARATIE 7.00 C.E.A.S. s.r.l. - Milano PAG. 1

2 FEBBRAIO 2018 17:31:50

History 0 - PALIFI1500

```
*****
**          P   A   R   A   T   I   E
**          RELEASE 7.00    VERSIONE WIN
**          Ce.A.S. s.r.l. - Viale Giustiniano, 10
**          20129 MILANO
*****
```

JOBNAME C:\PI-PROGETTI\CVB\LAVORO\BENAZZA\Modelli Paratie\A1M1 8.05 HIST00

2 FEBBRAIO 2018 17:31:50

PARATIE 7.00 Ce.A.S. s.r.l. - Milano PAG. 2
2 FEBBRAIO 2018 17:31:50

ELENCO DEI DATI DI INPUT (PARAGEN)

Per il significato dei vari comandi si faccia riferimento al manuale di input PARAGEN, versione 7.00.

N. comando

1: * Paratie for Windows version 7.0

2: * Filename=

< c:\pi-progetti\cvb\lavoro\benazza\modelli paratie\alml 8.05 hist00.

```

3: * project with "run time" parameters
4: * Force=kN Length=m
5: *
6: units m kN
7: title History 0 - PALIFI1500
8: delta 0.1
9: option param itemax 20
10: option noprint echo
11: option noprint displ
12: option noprint react
13: option noprint stresses
14:     wall LeftWall 0 -33.5 0
15: *
16: soil UHLeft LeftWall -33.5 0 1 0
17: soil DHLeft LeftWall -33.5 0 2 180
18: *
19: prescribe LeftWall -2.51 1 0 REL 1 8
20: *
21: material Rck30 3.12E+007
22: *
23: beam beam LeftWall -33.5 0 Rck30 1.20602 00 00
24: *
25: * Soil Profile
26: *
27:     ldata      1 0
28:     weight    20 10 10
29:     atrest    0.426424 0.5 1
30:     resistance 0 35 0.224 6.199
31:     young     30000 45000
32:     endlayer
33:     ldata      2 -8.05
34:     weight    19 9 10
35:     atrest    0.561629 0.5 1
36:     resistance 0 26 0.331 3.511
37:     young     5000 14000
38:     endlayer

```

2 FEBBRAIO 2018 17:31:50

History 0 - PALIFI1500

N. comando

```

39:      ldata          3 -25.05
40:      weight         20 10 10
41:      atrest         0.384339 0.5 1
42:      resistance     0 38 0.196 7.716
43:      young          50000 75000
44:      endlayer
45: *
46: step 1 : REALIZZAZIONE PALI
47:      setwall LeftWall
48:      geom 0 0
49:      water -8.05 0
50:      add beam
51: endstep
52: *
53: step 2 : FONDO SCAVO
54:      setwall LeftWall
55:      geom 0 -8.05
56:      surcharge 10 0 0 0
57: endstep
58: *
59: step 3 : SPINTA TERRENO
60:      setwall LeftWall
61:      surcharge 0 0 0 0
62: endstep
63: *
64: step 4 : FASE 3 + RITIRO
65:      load step LeftWall -1.35 1 11.7
66:      setwall LeftWall
67: endstep
68: *
69: step 5 : FASE 3 + TERMICA
70:      load step LeftWall -1.35 1 17.5
71:      setwall LeftWall
72: endstep
73: *
74: step 6 : FASE 3 + FRENATURA
75:      load step LeftWall -1.35 1 16

```

```

76:      setwall LeftWall
77:          surcharge 0 0 0 0
78: endstep
79: *
80: step 7 :  FASE 3 + 20 kPa
81:      setwall LeftWall
82:          surcharge 20 0 0 0
83: endstep
84: *

```

PARATIE 7.00

Ce.A.S. s.r.l. - Milano

PAG. 4

2 FEBBRAIO 2018 17:31:50

History 0 - PALIFI1500

N. comando

```

85: step 8 : SISMA
86:      change 1 U-KP=3.268
87:      change 1 D-KP=3.26829
88:      change 2 U-KP=2.173
89:      change 2 D-KP=2.17345
90:      change 3 U-KP=3.757
91:      change 3 D-KP=3.7569
92:      load constant LeftWall -1.35 1 153
93:      dload constant LeftWall -1.51 0.91 0 0.91
94:      dload constant LeftWall -10.05 16.8389 0 16.8389
95:      dload constant LeftWall -3.51 5.32 -1.51 5.32
96:      dload constant LeftWall -33.5 2.7 -3.51 2.7
97:      setwall LeftWall
98:          surcharge 0 0 0 0
99: endstep
100: *
101: *

```

PARATIE 7.00

Ce.A.S. s.r.l. - Milano

PAG. 5

2 FEBBRAIO 2018 17:31:50

History 0 - PALIFI1500

RIASSUNTO PARAMETRI GEOTECNICI PER LA FASE 1

LAYER 1

natura 1=granulare, 2=argilla	= 1.0000	
quota superiore	= 0.0000	m
quota inferiore	= -8.0500	m
peso fuori falda	= 20.000	kN/m³
peso efficace in falda	= 10.000	kN/m³
peso dell'acqua	= 10.000	kN/m³
angolo di attrito	= 35.000	DEG (A MONTE)
coeff. spinta attiva ka	= 0.22400	(A MONTE)
coeff. spinta passiva kp	= 6.1990	(A MONTE)
Konc normal consolidato	= 0.42642	
esponente di OCR	= 0.50000	
OCR: grado di sovraconsolidazione	= 1.0000	
modello di rigidezza	= 1.0000	
modulo el. compr. vergine	= 30000.	kPa
modulo el. scarico/ricarico	= 45000.	kPa
natura 1=granulare, 2=argilla	= 1.0000	(A VALLE)
angolo di attrito	= 35.000	DEG (A VALLE)
coeff. spinta attiva ka	= 0.22400	(A VALLE)
coeff. spinta passiva kp	= 6.1990	(A VALLE)

LAYER 2

natura 1=granulare, 2=argilla	= 1.0000	
quota superiore	= -8.0500	m
quota inferiore	= -25.050	m
peso fuori falda	= 19.000	kN/m³
peso efficace in falda	= 9.0000	kN/m³
peso dell'acqua	= 10.000	kN/m³
angolo di attrito	= 26.000	DEG (A MONTE)
coeff. spinta attiva ka	= 0.33100	(A MONTE)

coeff. spinta passiva kp	=	3.5110	(A MONTE)
Konc normal consolidato	=	0.56163	
esponente di OCR	=	0.50000	
OCR: grado di sovraconsolidazione	=	1.0000	
modello di rigidezza	=	1.0000	
modulo el. compr. vergine	=	5000.0	kPa
modulo el. scarico/ricarico	=	14000.	kPa
natura 1=granulare, 2=argilla	=	1.0000	(A VALLE)
angolo di attrito	=	26.000	DEG (A VALLE)
coeff. spinta attiva ka	=	0.33100	(A VALLE)
coeff. spinta passiva kp	=	3.5110	(A VALLE)

PARATIE 7.00

Ce.A.S. s.r.l. - Milano

PAG. 6

2 FEBBRAIO 2018 17:31:50

History 0 - PALIFI1500

RIASSUNTO PARAMETRI GEOTECNICI PER LA FASE 1

LAYER 3

natura 1=granulare, 2=argilla	= 1.0000		
quota superiore	= -25.050	m	
quota inferiore	= -0.10000E+31	m	
peso fuori falda	= 20.000	kN/m³	
peso efficace in falda	= 10.000	kN/m³	
peso dell'acqua	= 10.000	kN/m³	
angolo di attrito	= 38.000	DEG	(A MONTE)
coeff. spinta attiva ka	= 0.19600		(A MONTE)
coeff. spinta passiva kp	= 7.7160		(A MONTE)
Konc normal consolidato	= 0.38434		
esponente di OCR	= 0.50000		
OCR: grado di sovraconsolidazione	= 1.0000		
modello di rigidezza	= 1.0000		
modulo el. compr. vergine	= 50000.	kPa	
modulo el. scarico/ricarico	= 75000.	kPa	
natura 1=granulare, 2=argilla	= 1.0000		(A VALLE)
angolo di attrito	= 38.000	DEG	(A VALLE)
coeff. spinta attiva ka	= 0.19600		(A VALLE)
coeff. spinta passiva kp	= 7.7160		(A VALLE)

RIASSUNTO PARAMETRI GEOTECNICI PER LA FASE 2

(SOLO I PARAMETRI CHE POSSONO VARIARE)

NESSUN CAMBIAMENTO RISPETTO AL PASSO PRECEDENTE

RIASSUNTO PARAMETRI GEOTECNICI PER LA FASE 3

(SOLO I PARAMETRI CHE POSSONO VARIARE)

NESSUN CAMBIAMENTO RISPETTO AL PASSO PRECEDENTE

RIASSUNTO PARAMETRI GEOTECNICI PER LA FASE 4

(SOLO I PARAMETRI CHE POSSONO VARIARE)

NESSUN CAMBIAMENTO RISPETTO AL PASSO PRECEDENTE

RIASSUNTO PARAMETRI GEOTECNICI PER LA FASE 5

(SOLO I PARAMETRI CHE POSSONO VARIARE)

NESSUN CAMBIAMENTO RISPETTO AL PASSO PRECEDENTE

RIASSUNTO PARAMETRI GEOTECNICI PER LA FASE 6

PARATIE 7.00

Ce.A.S. s.r.l. - Milano

PAG. 7

2 FEBBRAIO 2018 17:31:50

History 0 - PALIFI1500

(SOLO I PARAMETRI CHE POSSONO VARIARE)

NESSUN CAMBIAMENTO RISPETTO AL PASSO PRECEDENTE

RIASSUNTO PARAMETRI GEOTECNICI PER LA FASE 7

(SOLO I PARAMETRI CHE POSSONO VARIARE)

NESSUN CAMBIAMENTO RISPETTO AL PASSO PRECEDENTE

RIASSUNTO PARAMETRI GEOTECNICI PER LA FASE 8

(SOLO I PARAMETRI CHE POSSONO VARIARE)

LAYER 1

coeff. spinta passiva kp	= 3.2680	(A MONTE)
coeff. spinta passiva kp	= 3.2683	(A VALLE)

LAYER 2

coeff. spinta passiva kp	= 2.1730	(A MONTE)
coeff. spinta passiva kp	= 2.1734	(A VALLE)

LAYER 3

coeff. spinta passiva kp	= 3.7570	(A MONTE)
coeff. spinta passiva kp	= 3.7569	(A VALLE)

PARATIE 7.00

Ce.A.S. s.r.l. - Milano

PAG. 8

2 FEBBRAIO 2018 17:31:50

History 0 - PALIFI1500

RIASSUNTO DATI RELATIVI ALLA FASE 1

WALL LeftWall

coordinata y	= 0.0000	m
quota piano campagna	= 0.0000	m
quota del fondo scavo	= 0.0000	m
quota della falda	= -8.0500	m
sovraffiorante a monte	= 0.0000	kPa
quota del sovraffiorante a monte	= 0.0000	m
depressione falda a valle	= 0.0000	m
sovraffiorante a valle	= 0.0000	kPa
quota del sovraffiorante a valle	=-0.99900E+30	m
quota di taglio	= 0.0000	m
quota di equil. pressioni dell'acqua	= -33.500	m
indicatore comportamento acqua	= 0.0000	(1=REMOVE)
opzione aggiornamento pressioni acqua	= 0.0000	(1=NO UPD)
accelerazione sismica orizz.	= 0.0000	[g]
accel. sismica vert. a monte	= 0.0000	[g]
accel. sismica vert. a valle	= 0.0000	[g]
angolo beta a monte	= 0.0000	[°]
delta/phi a monte	= 0.0000	
angolo beta a valle	= 0.0000	[°]
delta/phi a valle	= 0.0000	
opzione dyn. acqua	= 0.0000	(1=pervious)
rapporto pressioni in eccesso Ru	= 0.0000	
Wood bottom pressure	= 0.0000	kPa
Wood top pressure	= 0.0000	m
Wood bottom pressure elev.	= 0.0000	kPa
Wood top pressure elev.	= 0.0000	m

RIASSUNTO DATI RELATIVI ALLA FASE 2

WALL LeftWall

coordinata y	=	0.0000	m
quota piano campagna	=	0.0000	m
quota del fondo scavo	=	-8.0500	m
quota della falda	=	-8.0500	m
sovraffabbricato a monte	=	10.000	kPa
quota del sovraffabbricato a monte	=	0.0000	m
depressione falda a valle	=	0.0000	m
sovraffabbricato a valle	=	0.0000	kPa
quota del sovraffabbricato a valle	=	0.0000	m
quota di taglio	=	0.0000	m

PARATIE 7.00

Ce.A.S. s.r.l. - Milano

PAG. 9

2 FEBBRAIO 2018 17:31:50

History 0 - PALIFI1500

RIASSUNTO DATI RELATIVI ALLA FASE 2

quota di equil. pressioni dell'acqua	=	-33.500	m
indicatore comportamento acqua	=	0.0000	(1=REMOVE)
opzione aggiornamento pressioni acqua	=	0.0000	(1=NO UPD)
accelerazione sismica orizz.	=	0.0000	[g]
accel. sismica vert. a monte	=	0.0000	[g]
accel. sismica vert. a valle	=	0.0000	[g]
angolo beta a monte	=	0.0000	[°]
delta/phi a monte	=	0.0000	
angolo beta a valle	=	0.0000	[°]
delta/phi a valle	=	0.0000	
opzione dyn. acqua	=	0.0000	(1=pervious)
rapporto pressioni in eccesso Ru	=	0.0000	
Wood bottom pressure	=	0.0000	kPa
Wood top pressure	=	0.0000	m
Wood bottom pressure elev.	=	0.0000	kPa
Wood top pressure elev.	=	0.0000	m

RIASSUNTO DATI RELATIVI ALLA FASE 3

WALL LeftWall

coordinata y	= 0.0000	m
quota piano campagna	= 0.0000	m
quota del fondo scavo	= -8.0500	m
quota della falda	= -8.0500	m
sovraffluido a monte	= 0.0000	kPa
quota del sovraffluido a monte	= 0.0000	m
depressione falda a valle	= 0.0000	m
sovraffluido a valle	= 0.0000	kPa
quota del sovraffluido a valle	= 0.0000	m
quota di taglio	= 0.0000	m
quota di equil. pressioni dell'acqua	= -33.500	m
indicatore comportamento acqua	= 0.0000	(1=REMOVE)
opzione aggiornamento pressioni acqua	= 0.0000	(1=NO UPD)
accelerazione sismica orizz.	= 0.0000	[g]
accel. sismica vert. a monte	= 0.0000	[g]
accel. sismica vert. a valle	= 0.0000	[g]
angolo beta a monte	= 0.0000	[°]
delta/phi a monte	= 0.0000	
angolo beta a valle	= 0.0000	[°]
delta/phi a valle	= 0.0000	
opzione dyn. acqua	= 0.0000	(1=pervious)
rapporto pressioni in eccesso Ru	= 0.0000	
Wood bottom pressure	= 0.0000	kPa
Wood top pressure	= 0.0000	m
Wood bottom pressure elev.	= 0.0000	kPa

PARATIE 7.00

Ce.A.S. s.r.l. - Milano

PAG. 10

2 FEBBRAIO 2018 17:31:50

History 0 - PALIFI1500

RIASSUNTO DATI RELATIVI ALLA FASE 3

Wood top pressure elev.	= 0.0000	m
-------------------------	----------	---

WALL LeftWall

coordinata y	= 0.0000	m
quota piano campagna	= 0.0000	m
quota del fondo scavo	= -8.0500	m
quota della falda	= -8.0500	m
sovraffabbricato a monte	= 0.0000	kPa
quota del sovraffabbricato a monte	= 0.0000	m
depressione falda a valle	= 0.0000	m
sovraffabbricato a valle	= 0.0000	kPa
quota del sovraffabbricato a valle	= 0.0000	m
quota di taglio	= 0.0000	m
quota di equil. pressioni dell'acqua	= -33.500	m
indicatore comportamento acqua	= 0.0000	(1=REMOVE)
opzione aggiornamento pressioni acqua	= 0.0000	(1=NO UPD)
accelerazione sismica orizz.	= 0.0000	[g]
accel. sismica vert. a monte	= 0.0000	[g]
accel. sismica vert. a valle	= 0.0000	[g]
angolo beta a monte	= 0.0000	[°]
delta/phi a monte	= 0.0000	
angolo beta a valle	= 0.0000	[°]
delta/phi a valle	= 0.0000	
opzione dyn. acqua	= 0.0000	(1=pervious)
rapporto pressioni in eccesso Ru	= 0.0000	
Wood bottom pressure	= 0.0000	kPa
Wood top pressure	= 0.0000	m
Wood bottom pressure elev.	= 0.0000	kPa
Wood top pressure elev.	= 0.0000	m

RIASSUNTO DATI RELATIVI ALLA FASE 5

WALL LeftWall

coordinata y	=	0.0000	m
quota piano campagna	=	0.0000	m
quota del fondo scavo	=	-8.0500	m
quota della falda	=	-8.0500	m
sovraffiorante a monte	=	0.0000	kPa
quota del sovraffiorante a monte	=	0.0000	m
depressione falda a valle	=	0.0000	m
sovraffiorante a valle	=	0.0000	kPa
quota del sovraffiorante a valle	=	0.0000	m

PARATIE 7.00

Ce.A.S. s.r.l. - Milano

PAG. 11

2 FEBBRAIO 2018 17:31:50

History 0 - PALIFI1500

RIASSUNTO DATI RELATIVI ALLA FASE 5

quota di taglio	=	0.0000	m
quota di equil. pressioni dell'acqua	=	-33.500	m
indicatore comportamento acqua	=	0.0000	(1=REMOVE)
opzione aggiornamento pressioni acqua	=	0.0000	(1=NO UPD)
accelerazione sismica orizz.	=	0.0000	[g]
accel. sismica vert. a monte	=	0.0000	[g]
accel. sismica vert. a valle	=	0.0000	[g]
angolo beta a monte	=	0.0000	[°]
delta/phi a monte	=	0.0000	
angolo beta a valle	=	0.0000	[°]
delta/phi a valle	=	0.0000	
opzione dyn. acqua	=	0.0000	(1=pervious)
rapporto pressioni in eccesso Ru	=	0.0000	
Wood bottom pressure	=	0.0000	kPa
Wood top pressure	=	0.0000	m
Wood bottom pressure elev.	=	0.0000	kPa
Wood top pressure elev.	=	0.0000	m

WALL LeftWall

coordinata y	= 0.0000	m
quota piano campagna	= 0.0000	m
quota del fondo scavo	= -8.0500	m
quota della falda	= -8.0500	m
sovraffioro a monte	= 0.0000	kPa
quota del sovraffioro a monte	= 0.0000	m
depressione falda a valle	= 0.0000	m
sovraffioro a valle	= 0.0000	kPa
quota del sovraffioro a valle	= 0.0000	m
quota di taglio	= 0.0000	m
quota di equil. pressioni dell'acqua	= -33.500	m
indicatore comportamento acqua	= 0.0000	(1=REMOVE)
opzione aggiornamento pressioni acqua	= 0.0000	(1=NO UPD)
accelerazione sismica orizz.	= 0.0000	[g]
accel. sismica vert. a monte	= 0.0000	[g]
accel. sismica vert. a valle	= 0.0000	[g]
angolo beta a monte	= 0.0000	[°]
delta/phi a monte	= 0.0000	
angolo beta a valle	= 0.0000	[°]
delta/phi a valle	= 0.0000	
opzione dyn. acqua	= 0.0000	(1=pervious)
rapporto pressioni in eccesso Ru	= 0.0000	
Wood bottom pressure	= 0.0000	kPa
Wood top pressure	= 0.0000	m

PARATIE 7.00

Ce.A.S. s.r.l. - Milano

PAG. 12

2 FEBBRAIO 2018 17:31:50

History 0 - PALIFI1500

RIASSUNTO DATI RELATIVI ALLA FASE 6

Wood bottom pressure elev.	= 0.0000	kPa
Wood top pressure elev.	= 0.0000	m

RIASSUNTO DATI RELATIVI ALLA FASE 7

WALL LeftWall

coordinata y	= 0.0000	m
quota piano campagna	= 0.0000	m
quota del fondo scavo	= -8.0500	m
quota della falda	= -8.0500	m
sovraffabbricato a monte	= 20.000	kPa
quota del sovraffabbricato a monte	= 0.0000	m
depressione falda a valle	= 0.0000	m
sovraffabbricato a valle	= 0.0000	kPa
quota del sovraffabbricato a valle	= 0.0000	m
quota di taglio	= 0.0000	m
quota di equil. pressioni dell'acqua	= -33.500	m
indicatore comportamento acqua	= 0.0000	(1=REMOVE)
opzione aggiornamento pressioni acqua	= 0.0000	(1=NO UPD)
accelerazione sismica orizz.	= 0.0000	[g]
accel. sismica vert. a monte	= 0.0000	[g]
accel. sismica vert. a valle	= 0.0000	[g]
angolo beta a monte	= 0.0000	[°]
delta/phi a monte	= 0.0000	
angolo beta a valle	= 0.0000	[°]
delta/phi a valle	= 0.0000	
opzione dyn. acqua	= 0.0000	(1=pervious)
rapporto pressioni in eccesso Ru	= 0.0000	
Wood bottom pressure	= 0.0000	kPa
Wood top pressure	= 0.0000	m
Wood bottom pressure elev.	= 0.0000	kPa

Wood top pressure elev. = 0.0000 m

RIASSUNTO DATI RELATIVI ALLA FASE 8

WALL LeftWall

coordinata y	= 0.0000	m
quota piano campagna	= 0.0000	m
quota del fondo scavo	= -8.0500	m
quota della falda	= -8.0500	m
sovraffabbricato a monte	= 0.0000	kPa
quota del sovraffabbricato a monte	= 0.0000	m
depressione falda a valle	= 0.0000	m
sovraffabbricato a valle	= 0.0000	kPa

PARATIE 7.00

Ce.A.S. s.r.l. - Milano

PAG. 13

2 FEBBRAIO 2018 17:31:50

History 0 - PALIFI1500

RIASSUNTO DATI RELATIVI ALLA FASE 8

quota del sovraccarico a valle	=	0.0000	m
quota di taglio	=	0.0000	m
quota di equil. pressioni dell'acqua	=	-33.500	m
indicatore comportamento acqua	=	0.0000	(1=REMOVE)
opzione aggiornamento pressioni acqua	=	0.0000	(1=NO UPD)
accelerazione sismica orizz.	=	0.0000	[g]
accel. sismica vert. a monte	=	0.0000	[g]
accel. sismica vert. a valle	=	0.0000	[g]
angolo beta a monte	=	0.0000	[°]
delta/phi a monte	=	0.0000	
angolo beta a valle	=	0.0000	[°]
delta/phi a valle	=	0.0000	
opzione dyn. acqua	=	0.0000	(1=pervious)
rapporto pressioni in eccesso Ru	=	0.0000	
Wood bottom pressure	=	0.0000	kPa
Wood top pressure	=	0.0000	m
Wood bottom pressure elev.	=	0.0000	kPa
Wood top pressure elev.	=	0.0000	m

PARATIE 7.00

Ce.A.S. s.r.l. - Milano

PAG. 14

2 FEBBRAIO 2018 17:31:50

History 0 - PALIFI1500

RIASSUNTO ELEMENTI

=====

RIASSUNTO ELEMENTI SOIL					
Name	Wall	Z1	Z2	Flag	Angle
UHLeft LeftWall 0. -33.50 UPHILL 0.					
DHLeft LeftWall 0. -33.50 DOWNHILL 180.0					

RIASSUNTO ELEMENTI BEAM					
Name	Wall	Z1	Z2	Mat	thick
beam LeftWall 0. -33.50 _ 1.206					

PARATIE 7.00

Ce.A.S. s.r.l. - Milano

PAG. 15

2 FEBBRAIO 2018 17:31:50

History 0 - PALIFI1500

RIASSUNTO DATI VARI

=====

MATERIALI	
<hr/>	
Name	YOUNG MODULUS
+-----+	+-----+
	kPa
+-----+	+-----+
Rck3	3.12E+007
+-----+	+-----+

SPOSTAMENTI IMPRESSI								
Wall	Zeta	Dir.	type	value		from	to	
					units	step	step	
Left	-2.51	ydispl	REL	0	m	1	8	

PARATIE 7.00

Ce.A.S. s.r.l. - Milano

PAG. 16

2 FEBBRAIO 2018 17:31:50

History 0 - PALIFI1500

DISTRIBUTED LOAD SUMMARY

Wall	From	To	Z1	P1	Z2	P2
	step	step				
Left	8	8	-1.5100	0.91000	0.0000	0.91000
Left	8	8	-10.050	16.839	0.0000	16.839
Left	8	8	-3.5100	5.3200	-1.5100	5.3200
Left	8	8	-33.500	2.7000	-3.5100	2.7000

UNITS FOR Z1 , Z2 =m

UNITS FOR P1 , P2 =kPa

PARATIE 7.00

Ce.A.S. s.r.l. - Milano

PAG. 17

2 FEBBRAIO 2018 17:31:50

History 0 - PALIFI1500

CONCENTRATED LOAD SUMMARY

Wall	From step	To step	ZETA	FORCE	MOMENT
Left	4	4	-1.3500	11.700	0.0000
Left	5	5	-1.3500	17.500	0.0000
Left	6	6	-1.3500	16.000	0.0000
Left	8	8	-1.3500	153.00	0.0000

UNITS FOR ZETA =m

FORCE UNITS =kN/m

MOMENT UNITS =kN*m/m

PARATIE 7.00

Ce.A.S. s.r.l. - Milano

PAG. 18

2 FEBBRAIO 2018 17:31:50

History 0 - PALIFI1500

RIASSUNTO ANALISI INCREMENTALE

FASE	N. DI ITERAZIONI	CONVERGENZA
1	2	SI
2	4	SI
3	2	SI
4	2	SI
5	2	SI
6	2	SI
7	3	SI
8	3	SI

PARATIE 7.00

Ce.A.S. s.r.l. - Milano

PAG. 19

2 FEBBRAIO 2018 17:31:50

History 0 - PALIFI1500

MASSIMI SPOSTAMENTI LATERALI

TUTTI I PASSI

* PARETE LeftWall *

* I PASSI NON EQUILIBRATI SONO ESCLUSI *

* NOTA: LE QUOTE ESPRESSE IN m

E GLI SPOSTAMENTI IN m

NODO	QUOTA ZETA	SPOSTAMENTO MASSIMO	FASE	PARETE LeftWall
1	0.0000	-0.57848E-02	8	
2	-0.10000	-0.55553E-02	8	
3	-0.20000	-0.53258E-02	8	
4	-0.30000	-0.50963E-02	8	
5	-0.40000	-0.48668E-02	8	
6	-0.50000	-0.46373E-02	8	
7	-0.60000	-0.44077E-02	8	
8	-0.70000	-0.41782E-02	8	
9	-0.80000	-0.39486E-02	8	
10	-0.90000	-0.37191E-02	8	
11	-1.0000	-0.34894E-02	8	
12	-1.1000	-0.32598E-02	8	
13	-1.2000	-0.30301E-02	8	
14	-1.3000	-0.28003E-02	8	
15	-1.4000	-0.25705E-02	8	
16	-1.5000	-0.23405E-02	8	
17	-1.6000	-0.21104E-02	8	
18	-1.7000	-0.18800E-02	8	
19	-1.8000	-0.16494E-02	8	
20	-1.9000	-0.14185E-02	8	
21	-2.0000	-0.11872E-02	8	
22	-2.1000	-0.95553E-03	8	
23	-2.2000	-0.72335E-03	8	
24	-2.3000	-0.49065E-03	8	
25	-2.4000	-0.25736E-03	8	
26	-2.5000	-0.23430E-04	8	

27	-2.5100	-0.21507E-22	3
28	-2.6100	0.23468E-03	8
29	-2.7100	0.46998E-03	8
30	-2.8100	0.70582E-03	8
31	-2.9100	0.94211E-03	8
32	-3.0100	0.11788E-02	8
33	-3.1100	0.14158E-02	8
34	-3.2100	0.16530E-02	8
35	-3.3100	0.18903E-02	8
36	-3.4100	0.21277E-02	8
37	-3.5100	0.23651E-02	8
38	-3.6100	0.26024E-02	8

PARATIE 7.00

Ce.A.S. s.r.l. - Milano

PAG. 20

2 FEBBRAIO 2018 17:31:50

History 0 - PALIFI1500

NODO	QUOTA ZETA	SPOSTAMENTO MASSIMO	FASE	PARETE LeftWall
39	-3.7100	0.28395E-02	8	
40	-3.8100	0.30764E-02	8	
41	-3.9100	0.33131E-02	8	
42	-4.0100	0.35493E-02	8	
43	-4.1100	0.37851E-02	8	
44	-4.2100	0.40203E-02	8	
45	-4.3100	0.42550E-02	8	
46	-4.4100	0.44890E-02	8	
47	-4.5100	0.47223E-02	8	
48	-4.6100	0.49548E-02	8	
49	-4.7100	0.51865E-02	8	
50	-4.8100	0.54172E-02	8	
51	-4.9100	0.56470E-02	8	
52	-5.0100	0.58757E-02	8	
53	-5.1100	0.61032E-02	8	
54	-5.2100	0.63297E-02	8	
55	-5.3100	0.65548E-02	8	
56	-5.4100	0.67787E-02	8	
57	-5.5100	0.70013E-02	8	
58	-5.6100	0.72224E-02	8	
59	-5.7100	0.74421E-02	8	
60	-5.8100	0.76602E-02	8	
61	-5.9100	0.78768E-02	8	
62	-6.0100	0.80917E-02	8	
63	-6.1100	0.83050E-02	8	
64	-6.2100	0.85165E-02	8	
65	-6.3100	0.87262E-02	8	
66	-6.4100	0.89342E-02	8	
67	-6.5100	0.91402E-02	8	
68	-6.6100	0.93443E-02	8	
69	-6.7100	0.95464E-02	8	
70	-6.8100	0.97465E-02	8	

71	-6.9100	0.99445E-02	8
72	-7.0100	0.10140E-01	8
73	-7.1100	0.10334E-01	8
74	-7.2100	0.10526E-01	8
75	-7.3100	0.10715E-01	8
76	-7.4100	0.10902E-01	8
77	-7.5100	0.11087E-01	8
78	-7.6100	0.11270E-01	8
79	-7.7100	0.11450E-01	8
80	-7.8100	0.11627E-01	8
81	-7.9100	0.11802E-01	8
82	-8.0100	0.11975E-01	8
83	-8.1100	0.12145E-01	8
84	-8.2100	0.12313E-01	8

PARATIE 7.00

Ce.A.S. s.r.l. - Milano

PAG. 21

2 FEBBRAIO 2018 17:31:50

History 0 - PALIFI1500

NODO	QUOTA ZETA	SPOSTAMENTO MASSIMO	FASE	PARETE	LeftWall
85	-8.3100	0.12478E-01	8		
86	-8.4100	0.12641E-01	8		
87	-8.5100	0.12801E-01	8		
88	-8.6100	0.12958E-01	8		
89	-8.7100	0.13113E-01	8		
90	-8.8100	0.13265E-01	8		
91	-8.9100	0.13414E-01	8		
92	-9.0100	0.13560E-01	8		
93	-9.1100	0.13704E-01	8		
94	-9.2100	0.13845E-01	8		
95	-9.3100	0.13984E-01	8		
96	-9.4100	0.14119E-01	8		
97	-9.5100	0.14252E-01	8		
98	-9.6100	0.14382E-01	8		
99	-9.7100	0.14510E-01	8		
100	-9.8100	0.14634E-01	8		
101	-9.9100	0.14756E-01	8		
102	-10.010	0.14875E-01	8		
103	-10.110	0.14992E-01	8		
104	-10.210	0.15105E-01	8		
105	-10.310	0.15216E-01	8		
106	-10.410	0.15324E-01	8		
107	-10.510	0.15429E-01	8		
108	-10.610	0.15532E-01	8		
109	-10.710	0.15632E-01	8		
110	-10.810	0.15729E-01	8		
111	-10.910	0.15823E-01	8		
112	-11.010	0.15915E-01	8		
113	-11.110	0.16004E-01	8		
114	-11.210	0.16090E-01	8		
115	-11.310	0.16174E-01	8		
116	-11.410	0.16255E-01	8		

117	-11.510	0.16333E-01	8
118	-11.610	0.16408E-01	8
119	-11.710	0.16481E-01	8
120	-11.810	0.16552E-01	8
121	-11.910	0.16619E-01	8
122	-12.010	0.16684E-01	8
123	-12.110	0.16747E-01	8
124	-12.210	0.16807E-01	8
125	-12.310	0.16864E-01	8
126	-12.410	0.16919E-01	8
127	-12.510	0.16971E-01	8
128	-12.610	0.17021E-01	8
129	-12.710	0.17068E-01	8
130	-12.810	0.17112E-01	8

PARATIE 7.00

Ce.A.S. s.r.l. - Milano

PAG. 22

2 FEBBRAIO 2018 17:31:50

History 0 - PALIFI1500

NODO	QUOTA ZETA	SPOSTAMENTO MASSIMO	FASE	PARETE LeftWall
131	-12.910	0.17155E-01	8	
132	-13.010	0.17194E-01	8	
133	-13.110	0.17231E-01	8	
134	-13.210	0.17266E-01	8	
135	-13.310	0.17298E-01	8	
136	-13.410	0.17328E-01	8	
137	-13.510	0.17356E-01	8	
138	-13.610	0.17381E-01	8	
139	-13.710	0.17403E-01	8	
140	-13.810	0.17424E-01	8	
141	-13.910	0.17442E-01	8	
142	-14.010	0.17457E-01	8	
143	-14.110	0.17470E-01	8	
144	-14.210	0.17481E-01	8	
145	-14.310	0.17490E-01	8	
146	-14.410	0.17496E-01	8	
147	-14.510	0.17501E-01	8	
148	-14.610	0.17502E-01	8	
149	-14.710	0.17502E-01	8	
150	-14.810	0.17499E-01	8	
151	-14.910	0.17495E-01	8	
152	-15.010	0.17488E-01	8	
153	-15.110	0.17478E-01	8	
154	-15.210	0.17467E-01	8	
155	-15.310	0.17454E-01	8	
156	-15.410	0.17438E-01	8	
157	-15.510	0.17420E-01	8	
158	-15.610	0.17401E-01	8	
159	-15.710	0.17379E-01	8	
160	-15.810	0.17355E-01	8	
161	-15.910	0.17329E-01	8	
162	-16.010	0.17301E-01	8	

163	-16.110	0.17270E-01	8
164	-16.210	0.17238E-01	8
165	-16.310	0.17204E-01	8
166	-16.410	0.17168E-01	8
167	-16.510	0.17130E-01	8
168	-16.610	0.17090E-01	8
169	-16.710	0.17049E-01	8
170	-16.810	0.17005E-01	8
171	-16.910	0.16959E-01	8
172	-17.010	0.16912E-01	8
173	-17.110	0.16862E-01	8
174	-17.210	0.16811E-01	8
175	-17.310	0.16758E-01	8
176	-17.410	0.16703E-01	8

PARATIE 7.00

Ce.A.S. s.r.l. - Milano

PAG. 23

2 FEBBRAIO 2018 17:31:50

History 0 - PALIFI1500

NODO	QUOTA ZETA	SPOSTAMENTO MASSIMO	FASE	PARETE LeftWall
177	-17.510	0.16646E-01	8	
178	-17.610	0.16588E-01	8	
179	-17.710	0.16528E-01	8	
180	-17.810	0.16466E-01	8	
181	-17.910	0.16402E-01	8	
182	-18.010	0.16337E-01	8	
183	-18.110	0.16270E-01	8	
184	-18.210	0.16201E-01	8	
185	-18.310	0.16131E-01	8	
186	-18.410	0.16059E-01	8	
187	-18.510	0.15990E-01	7	
188	-18.610	0.15921E-01	7	
189	-18.710	0.15850E-01	7	
190	-18.810	0.15777E-01	7	
191	-18.910	0.15702E-01	7	
192	-19.010	0.15626E-01	7	
193	-19.110	0.15549E-01	7	
194	-19.210	0.15469E-01	7	
195	-19.310	0.15389E-01	7	
196	-19.410	0.15306E-01	7	
197	-19.510	0.15222E-01	7	
198	-19.610	0.15137E-01	7	
199	-19.710	0.15050E-01	7	
200	-19.810	0.14961E-01	7	
201	-19.910	0.14871E-01	7	
202	-20.010	0.14780E-01	7	
203	-20.110	0.14687E-01	7	
204	-20.210	0.14592E-01	7	
205	-20.310	0.14497E-01	7	
206	-20.410	0.14400E-01	7	
207	-20.510	0.14301E-01	7	
208	-20.610	0.14202E-01	7	

209	-20.710	0.14100E-01	7
210	-20.810	0.13998E-01	7
211	-20.910	0.13894E-01	7
212	-21.010	0.13790E-01	7
213	-21.110	0.13684E-01	7
214	-21.210	0.13576E-01	7
215	-21.310	0.13468E-01	7
216	-21.410	0.13358E-01	7
217	-21.510	0.13247E-01	7
218	-21.610	0.13135E-01	7
219	-21.710	0.13022E-01	7
220	-21.810	0.12908E-01	7
221	-21.910	0.12793E-01	7
222	-22.010	0.12677E-01	7

PARATIE 7.00

Ce.A.S. s.r.l. - Milano

PAG. 24

2 FEBBRAIO 2018 17:31:50

History 0 - PALIFI1500

NODO	QUOTA ZETA	SPOSTAMENTO MASSIMO	FASE	PARETE	LeftWall
223	-22.110	0.12560E-01	7		
224	-22.210	0.12442E-01	7		
225	-22.310	0.12323E-01	7		
226	-22.410	0.12203E-01	7		
227	-22.510	0.12083E-01	7		
228	-22.610	0.11961E-01	7		
229	-22.710	0.11838E-01	7		
230	-22.810	0.11715E-01	7		
231	-22.910	0.11591E-01	7		
232	-23.010	0.11467E-01	7		
233	-23.110	0.11341E-01	7		
234	-23.210	0.11215E-01	7		
235	-23.310	0.11088E-01	7		
236	-23.410	0.10961E-01	7		
237	-23.510	0.10833E-01	7		
238	-23.610	0.10704E-01	7		
239	-23.710	0.10575E-01	7		
240	-23.810	0.10446E-01	7		
241	-23.910	0.10316E-01	7		
242	-24.010	0.10186E-01	7		
243	-24.110	0.10055E-01	7		
244	-24.210	0.99239E-02	7		
245	-24.310	0.97925E-02	7		
246	-24.410	0.96609E-02	7		
247	-24.510	0.95291E-02	7		
248	-24.610	0.93970E-02	7		
249	-24.710	0.92648E-02	7		
250	-24.810	0.91325E-02	7		
251	-24.910	0.90002E-02	7		
252	-25.010	0.88678E-02	7		
253	-25.110	0.87354E-02	7		
254	-25.210	0.86031E-02	7		

255	-25.310	0.84708E-02	7
256	-25.410	0.83388E-02	7
257	-25.510	0.82068E-02	7
258	-25.610	0.80751E-02	7
259	-25.710	0.79437E-02	7
260	-25.810	0.78125E-02	7
261	-25.910	0.76816E-02	7
262	-26.010	0.75511E-02	7
263	-26.110	0.74210E-02	7
264	-26.210	0.72912E-02	7
265	-26.310	0.71619E-02	7
266	-26.410	0.70330E-02	7
267	-26.510	0.69046E-02	7
268	-26.610	0.67767E-02	7

PARATIE 7.00

Ce.A.S. s.r.l. - Milano

PAG. 25

2 FEBBRAIO 2018 17:31:50

History 0 - PALIFI1500

NODO	QUOTA ZETA	SPOSTAMENTO MASSIMO	FASE	PARETE LeftWall
269	-26.710	0.66493E-02	7	
270	-26.810	0.65224E-02	7	
271	-26.910	0.63961E-02	7	
272	-27.010	0.62704E-02	7	
273	-27.110	0.61452E-02	7	
274	-27.210	0.60207E-02	7	
275	-27.310	0.58967E-02	7	
276	-27.410	0.57733E-02	7	
277	-27.510	0.56506E-02	7	
278	-27.610	0.55285E-02	7	
279	-27.710	0.54071E-02	7	
280	-27.810	0.52863E-02	7	
281	-27.910	0.51661E-02	7	
282	-28.010	0.50466E-02	7	
283	-28.110	0.49278E-02	7	
284	-28.210	0.48096E-02	7	
285	-28.310	0.46920E-02	7	
286	-28.410	0.45751E-02	7	
287	-28.510	0.44588E-02	7	
288	-28.610	0.43432E-02	7	
289	-28.710	0.42282E-02	7	
290	-28.810	0.41139E-02	7	
291	-28.910	0.40001E-02	7	
292	-29.010	0.38870E-02	7	
293	-29.110	0.37744E-02	7	
294	-29.210	0.36624E-02	7	
295	-29.310	0.35510E-02	7	
296	-29.410	0.34402E-02	7	
297	-29.510	0.33299E-02	7	
298	-29.610	0.32202E-02	7	
299	-29.710	0.31109E-02	7	
300	-29.810	0.30022E-02	7	

301	-29.910	0.28940E-02	7
302	-30.010	0.27862E-02	7
303	-30.110	0.26789E-02	7
304	-30.210	0.25720E-02	7
305	-30.310	0.24655E-02	7
306	-30.410	0.23594E-02	7
307	-30.510	0.22538E-02	7
308	-30.610	0.21485E-02	7
309	-30.710	0.20435E-02	7
310	-30.810	0.19389E-02	7
311	-30.910	0.18346E-02	7
312	-31.010	0.17305E-02	7
313	-31.110	0.16268E-02	7
314	-31.210	0.15233E-02	7

PARATIE 7.00

Ce.A.S. s.r.l. - Milano

PAG. 26

2 FEBBRAIO 2018 17:31:50

History 0 - PALIFI1500

NODO	QUOTA ZETA	SPOSTAMENTO MASSIMO	FASE	PARETE LeftWall
315	-31.310	0.14201E-02	7	
316	-31.410	0.13171E-02	7	
317	-31.510	0.12143E-02	7	
318	-31.610	0.11117E-02	7	
319	-31.710	0.10092E-02	7	
320	-31.810	0.90694E-03	7	
321	-31.910	0.80481E-03	7	
322	-32.010	0.70281E-03	7	
323	-32.110	0.60092E-03	7	
324	-32.210	0.49914E-03	7	
325	-32.310	0.39744E-03	7	
326	-32.410	0.29582E-03	7	
327	-32.510	0.19427E-03	7	
328	-32.610	0.92769E-04	7	
329	-32.710	-0.71994E-04	3	
330	-32.810	-0.16787E-03	8	
331	-32.910	-0.26761E-03	8	
332	-33.010	-0.36733E-03	8	
333	-33.110	-0.46703E-03	8	
334	-33.210	-0.56673E-03	8	
335	-33.310	-0.66642E-03	8	
336	-33.410	-0.76611E-03	8	
337	-33.500	-0.85583E-03	8	

PARATIE 7.00

Ce.A.S. s.r.l. - Milano

PAG. 27

2 FEBBRAIO 2018 17:31:50

History 0 - PALIFI1500

STEP DI CARICO NO. 1

NOD	Y-REACT [kN/m]	X-MOM-R [kN*m/m]
27	0.0000000E+00	0.0000000E+00

PARATIE 7.00

Ce.A.S. s.r.l. - Milano

PAG. 28

2 FEBBRAIO 2018 17:31:50

History 0 - PALIFI1500

STEP DI CARICO NO. 2

NOD	Y-REACT [kN/m]	X-MOM-R [kN*m/m]
27	-0.32663702E+03	0.0000000E+00

PARATIE 7.00

Ce.A.S. s.r.l. - Milano

PAG. 29

2 FEBBRAIO 2018 17:31:50

History 0 - PALIFI1500

STEP DI CARICO NO. 3

NOD	Y-REACT [kN/m]	X-MOM-R [kN*m/m]
27	-0.30500790E+03	0.0000000E+00

PARATIE 7.00

Ce.A.S. s.r.l. - Milano

PAG. 30

2 FEBBRAIO 2018 17:31:50

History 0 - PALIFI1500

STEP DI CARICO NO. 4

NOD	Y-REACT [kN/m]	X-MOM-R [kN*m/m]
27	-0.31831467E+03	0.0000000E+00

PARATIE 7.00

Ce.A.S. s.r.l. - Milano

PAG. 31

2 FEBBRAIO 2018 17:31:50

History 0 - PALIFI1500

STEP DI CARICO NO. 5

NOD	Y-REACT [kN/m]	X-MOM-R [kN*m/m]
27	-0.32491119E+03	0.0000000E+00

PARATIE 7.00

Ce.A.S. s.r.l. - Milano

PAG. 32

2 FEBBRAIO 2018 17:31:50

History 0 - PALIFI1500

STEP DI CARICO NO. 6

NOD	Y-REACT [kN/m]	X-MOM-R [kN*m/m]
27	-0.32320520E+03	0.0000000E+00

PARATIE 7.00

Ce.A.S. s.r.l. - Milano

PAG. 33

2 FEBBRAIO 2018 17:31:50

History 0 - PALIFI1500

STEP DI CARICO NO. 7

NOD	Y-REACT [kN/m]	X-MOM-R [kN*m/m]
27	-0.35810825E+03	0.0000000E+00

PARATIE 7.00

Ce.A.S. s.r.l. - Milano

PAG. 34

2 FEBBRAIO 2018 17:31:50

History 0 - PALIFI1500

STEP DI CARICO NO. 8

NOD	Y-REACT [kN/m]	X-MOM-R [kN*m/m]
27	-0.64929523E+03	0.0000000E+00

PARATIE 7.00

Ce.A.S. s.r.l. - Milano

PAG. 35

2 FEBBRAIO 2018 17:31:50

History 0 - PALIFI1500

INVILUPPO AZIONI INTERNE NEGLI ELEMENTI DI PARETE

(PER UNITA' DI PROFONDITA')

* PARETE LeftWall GRUPPO beam*

STEP 1 - 8

* I PASSI NON EQUILIBRATI SONO ESCLUSI *

Nella tabella si stampano i seguenti risultati:

MOMENTO SX = Momento che tende le fibre sulla faccia sinistra [kN*m/m]

MOMENTO DX = Momento che tende le fibre sulla faccia destra [kN*m/m]

TAGLIO = forza tagliante (valore assoluto, priva di segno) [kN/m]

BEAM EL.	ESTREMO	QUOTA	MOMENTO SX	MOMENTO DX	TAGLIO
1	A	0.	0.2445E-08	0.4307E-08	1.631
	B	-0.1000	0.1631	0.7567E-09	1.631
2	A	-0.1000	0.1631	0.2794E-08	4.865
	B	-0.2000	0.6495	0.	4.865
3	A	-0.2000	0.6495	0.	8.071
	B	-0.3000	1.457	0.	8.071
4	A	-0.3000	1.457	0.	11.25
	B	-0.4000	2.582	0.	11.25
5	A	-0.4000	2.582	0.	14.54
	B	-0.5000	4.022	0.	14.54
6	A	-0.5000	4.022	0.	19.52
	B	-0.6000	5.775	0.	19.52
7	A	-0.6000	5.775	0.	24.48
	B	-0.7000	7.930	0.	24.48
8	A	-0.7000	7.930	0.	29.41
	B	-0.8000	10.87	0.	29.41
9	A	-0.8000	10.87	0.	34.31
	B	-0.9000	14.30	0.	34.31
10	A	-0.9000	14.30	0.	39.18
	B	-1.000	18.22	0.	39.18
11	A	-1.000	18.22	0.	44.01
	B	-1.100	22.62	0.	44.01

12	A	-1.100	22.62	0.	48.82
	B	-1.200	27.50	0.	48.82
13	A	-1.200	27.50	0.	53.60
	B	-1.300	32.86	0.	53.60
14	A	-1.300	32.86	0.	211.3
	B	-1.400	54.00	0.	211.3
15	A	-1.400	54.00	0.	216.0
	B	-1.500	75.60	0.	216.0
16	A	-1.500	75.60	0.	220.7
	B	-1.600	97.67	0.	220.7
17	A	-1.600	97.67	0.	225.7
	B	-1.700	120.2	0.	225.7

PARATIE 7.00

Ce.A.S. s.r.l. - Milano

PAG. 36

2 FEBBRAIO 2018 17:31:50

History 0 - PALIFI1500

BEAM EL.	ESTREMO	QUOTA	MOMENTO SX	MOMENTO DX	TAGLIO
18	A	-1.700	120.2	0.	230.8
	B	-1.800	143.3	0.	230.8
19	A	-1.800	143.3	0.	235.8
	B	-1.900	166.9	0.	235.8
20	A	-1.900	166.9	0.	240.8
	B	-2.000	191.0	0.	240.8
21	A	-2.000	191.0	0.	245.8
	B	-2.100	215.6	0.	245.8
22	A	-2.100	215.6	0.	250.7
	B	-2.200	240.6	0.	250.7
23	A	-2.200	240.6	0.	255.6
	B	-2.300	266.2	0.	255.6
24	A	-2.300	266.2	0.	260.4
	B	-2.400	292.2	0.	260.4
25	A	-2.400	292.2	0.	265.2
	B	-2.500	318.7	0.	265.2
26	A	-2.500	318.7	0.	267.8
	B	-2.510	321.4	0.	267.8
27	A	-2.510	321.4	0.	380.1
	B	-2.610	283.4	0.	380.1
28	A	-2.610	283.4	0.	375.4
	B	-2.710	245.9	0.	375.4
29	A	-2.710	245.9	0.	370.8
	B	-2.810	208.8	0.	370.8
30	A	-2.810	208.8	0.	366.4
	B	-2.910	172.2	18.90	366.4
31	A	-2.910	172.2	18.90	362.0
	B	-3.010	136.0	42.22	362.0
32	A	-3.010	136.0	42.22	357.8
	B	-3.110	100.2	65.34	357.8
33	A	-3.110	100.2	65.34	353.7
	B	-3.210	64.81	88.27	353.7

34	A	-3.210	64.81	88.27	349.6
	B	-3.310	29.84	111.0	349.6
35	A	-3.310	29.84	111.0	345.7
	B	-3.410	0.	133.6	345.7
36	A	-3.410	0.	133.6	341.9
	B	-3.510	0.	156.7	341.9
37	A	-3.510	0.	156.7	338.2
	B	-3.610	0.	181.6	338.2
38	A	-3.610	0.	181.6	334.6
	B	-3.710	0.	206.3	334.6
39	A	-3.710	0.	206.3	331.0
	B	-3.810	0.	230.8	331.0
40	A	-3.810	0.	230.8	327.3
	B	-3.910	0.	255.0	327.3

PARATIE 7.00

Ce.A.S. s.r.l. - Milano

PAG. 37

2 FEBBRAIO 2018 17:31:50

History 0 - PALIFI1500

BEAM	EL.	ESTREMO	QUOTA	MOMENTO SX	MOMENTO DX	TAGLIO
41	A	-3.910	0.	255.0	323.6	
	B	-4.010	0.	279.1	323.6	
42	A	-4.010	0.	279.1	319.9	
	B	-4.110	0.	302.9	319.9	
43	A	-4.110	0.	302.9	316.1	
	B	-4.210	0.	326.5	316.1	
44	A	-4.210	0.	326.5	312.2	
	B	-4.310	0.	349.9	312.2	
45	A	-4.310	0.	349.9	308.4	
	B	-4.410	0.	373.0	308.4	
46	A	-4.410	0.	373.0	304.4	
	B	-4.510	0.	395.9	304.4	
47	A	-4.510	0.	395.9	300.4	
	B	-4.610	0.	418.5	300.4	
48	A	-4.610	0.	418.5	296.4	
	B	-4.710	0.	440.9	296.4	
49	A	-4.710	0.	440.9	292.4	
	B	-4.810	0.	463.0	292.4	
50	A	-4.810	0.	463.0	288.2	
	B	-4.910	0.	484.9	288.2	
51	A	-4.910	0.	484.9	284.1	
	B	-5.010	0.	506.6	284.1	
52	A	-5.010	0.	506.6	279.9	
	B	-5.110	0.	534.6	279.9	
53	A	-5.110	0.	534.6	275.6	
	B	-5.210	0.	562.2	275.6	
54	A	-5.210	0.	562.2	271.3	
	B	-5.310	0.	589.3	271.3	
55	A	-5.310	0.	589.3	267.0	
	B	-5.410	0.	616.0	267.0	
56	A	-5.410	0.	616.0	262.6	
	B	-5.510	0.	642.3	262.6	

57	A	-5.510	0.	642.3	258.2
	B	-5.610	0.	668.1	258.2
58	A	-5.610	0.	668.1	253.7
	B	-5.710	0.	693.5	253.7
59	A	-5.710	0.	693.5	249.2
	B	-5.810	0.	718.4	249.2
60	A	-5.810	0.	718.4	244.7
	B	-5.910	0.	742.9	244.7
61	A	-5.910	0.	742.9	240.0
	B	-6.010	0.	766.9	240.0
62	A	-6.010	0.	766.9	235.4
	B	-6.110	0.	790.4	235.4
63	A	-6.110	0.	790.4	230.7
	B	-6.210	0.	813.5	230.7

PARATIE 7.00

Ce.A.S. s.r.l. - Milano

PAG. 38

2 FEBBRAIO 2018 17:31:50

History 0 - PALIFI1500

BEAM	EL.	ESTREMO	QUOTA	MOMENTO SX	MOMENTO DX	TAGLIO
64	A	-6.210	0.	813.5	226.0	
	B	-6.310	0.	836.1	226.0	
65	A	-6.310	0.	836.1	221.2	
	B	-6.410	0.	858.2	221.2	
66	A	-6.410	0.	858.2	216.4	
	B	-6.510	0.	879.8	216.4	
67	A	-6.510	0.	879.8	211.5	
	B	-6.610	0.	901.0	211.5	
68	A	-6.610	0.	901.0	206.6	
	B	-6.710	0.	921.6	206.6	
69	A	-6.710	0.	921.6	201.6	
	B	-6.810	0.	941.8	201.6	
70	A	-6.810	0.	941.8	196.6	
	B	-6.910	0.	961.5	196.6	
71	A	-6.910	0.	961.5	191.5	
	B	-7.010	0.	980.6	191.5	
72	A	-7.010	0.	980.6	186.4	
	B	-7.110	0.	999.3	186.4	
73	A	-7.110	0.	999.3	181.3	
	B	-7.210	0.	1017.	181.3	
74	A	-7.210	0.	1017.	176.1	
	B	-7.310	0.	1035.	176.1	
75	A	-7.310	0.	1035.	170.9	
	B	-7.410	0.	1052.	170.9	
76	A	-7.410	0.	1052.	165.6	
	B	-7.510	0.	1069.	165.6	
77	A	-7.510	0.	1069.	160.3	
	B	-7.610	0.	1085.	160.3	
78	A	-7.610	0.	1085.	154.9	
	B	-7.710	0.	1100.	154.9	
79	A	-7.710	0.	1100.	149.5	
	B	-7.810	0.	1115.	149.5	

80	A	-7.810	0.	1115.	144.0
	B	-7.910	0.	1130.	144.0
81	A	-7.910	0.	1130.	138.5
	B	-8.010	0.	1143.	138.5
82	A	-8.010	0.	1143.	133.0
	B	-8.110	0.	1157.	133.0
83	A	-8.110	0.	1157.	124.1
	B	-8.210	0.	1169.	124.1
84	A	-8.210	0.	1169.	115.3
	B	-8.310	0.	1181.	115.3
85	A	-8.310	0.	1181.	106.8
	B	-8.410	0.	1191.	106.8
86	A	-8.410	0.	1191.	98.38
	B	-8.510	0.	1201.	98.38

PARATIE 7.00

Ce.A.S. s.r.l. - Milano

PAG. 39

2 FEBBRAIO 2018 17:31:50

History 0 - PALIFI1500

BEAM EL.	ESTREMO	QUOTA	MOMENTO SX	MOMENTO DX	TAGLIO
87	A	-8.510	0.	1201.	90.18
	B	-8.610	0.	1210.	90.18
88	A	-8.610	0.	1210.	82.15
	B	-8.710	0.	1218.	82.15
89	A	-8.710	0.	1218.	74.30
	B	-8.810	0.	1226.	74.30
90	A	-8.810	0.	1226.	66.62
	B	-8.910	0.	1232.	66.62
91	A	-8.910	0.	1232.	59.13
	B	-9.010	0.	1238.	59.13
92	A	-9.010	0.	1238.	51.80
	B	-9.110	0.	1244.	51.80
93	A	-9.110	0.	1244.	44.82
	B	-9.210	0.	1248.	44.82
94	A	-9.210	0.	1248.	40.51
	B	-9.310	0.	1252.	40.51
95	A	-9.310	0.	1252.	36.50
	B	-9.410	0.	1255.	36.50
96	A	-9.410	0.	1255.	32.78
	B	-9.510	0.	1257.	32.78
97	A	-9.510	0.	1257.	29.36
	B	-9.610	0.	1259.	29.36
98	A	-9.610	0.	1259.	26.23
	B	-9.710	0.	1260.	26.23
99	A	-9.710	0.	1260.	23.30
	B	-9.810	0.	1261.	23.30
100	A	-9.810	0.	1261.	20.46
	B	-9.910	0.	1261.	20.46
101	A	-9.910	0.	1261.	17.71
	B	-10.01	0.	1260.	17.71
102	A	-10.01	0.	1260.	15.04
	B	-10.11	0.	1259.	15.04

103	A	-10.11	0.	1259.	15.12
	B	-10.21	0.	1257.	15.12
104	A	-10.21	0.	1257.	18.70
	B	-10.31	0.	1256.	18.70
105	A	-10.31	0.	1256.	22.10
	B	-10.41	0.	1253.	22.10
106	A	-10.41	0.	1253.	25.34
	B	-10.51	0.	1251.	25.34
107	A	-10.51	0.	1251.	28.41
	B	-10.61	0.	1248.	28.41
108	A	-10.61	0.	1248.	31.31
	B	-10.71	0.	1245.	31.31
109	A	-10.71	0.	1245.	34.05
	B	-10.81	0.	1241.	34.05

PARATIE 7.00

Ce.A.S. s.r.l. - Milano

PAG. 40

2 FEBBRAIO 2018 17:31:50

History 0 - PALIFI1500

BEAM	EL.	ESTREMO	QUOTA	MOMENTO SX	MOMENTO DX	TAGLIO
110	A	-10.81	0.	1241.	36.62	
		B	-10.91	0.	1238.	36.62
111	A	-10.91	0.	1238.	39.03	
		B	-11.01	0.	1234.	39.03
112	A	-11.01	0.	1234.	41.28	
		B	-11.11	0.	1230.	41.28
113	A	-11.11	0.	1230.	43.36	
		B	-11.21	0.	1225.	43.36
114	A	-11.21	0.	1225.	45.27	
		B	-11.31	0.	1221.	45.27
115	A	-11.31	0.	1221.	47.03	
		B	-11.41	0.	1216.	47.03
116	A	-11.41	0.	1216.	48.62	
		B	-11.51	0.	1211.	48.62
117	A	-11.51	0.	1211.	50.05	
		B	-11.61	0.	1206.	50.05
118	A	-11.61	0.	1206.	51.32	
		B	-11.71	0.	1201.	51.32
119	A	-11.71	0.	1201.	52.43	
		B	-11.81	0.	1196.	52.43
120	A	-11.81	0.	1196.	53.48	
		B	-11.91	0.	1191.	53.48
121	A	-11.91	0.	1191.	54.48	
		B	-12.01	0.	1185.	54.48
122	A	-12.01	0.	1185.	55.44	
		B	-12.11	0.	1180.	55.44
123	A	-12.11	0.	1180.	56.36	
		B	-12.21	0.	1174.	56.36
124	A	-12.21	0.	1174.	57.23	
		B	-12.31	0.	1168.	57.23
125	A	-12.31	0.	1168.	58.06	
		B	-12.41	0.	1162.	58.06

126	A	-12.41	0.	1162.	58.86
	B	-12.51	0.	1157.	58.86
127	A	-12.51	0.	1157.	59.62
	B	-12.61	0.	1151.	59.62
128	A	-12.61	0.	1151.	60.34
	B	-12.71	0.	1145.	60.34
129	A	-12.71	0.	1145.	61.03
	B	-12.81	0.	1138.	61.03
130	A	-12.81	0.	1138.	61.69
	B	-12.91	0.	1132.	61.69
131	A	-12.91	0.	1132.	62.32
	B	-13.01	0.	1126.	62.32
132	A	-13.01	0.	1126.	62.91
	B	-13.11	0.	1120.	62.91

PARATIE 7.00

Ce.A.S. s.r.l. - Milano

PAG. 41

2 FEBBRAIO 2018 17:31:50

History 0 - PALIFI1500

BEAM EL.	ESTREMO	QUOTA	MOMENTO SX	MOMENTO DX	TAGLIO
133	A	-13.11	0.	1120.	63.48
	B	-13.21	0.	1113.	63.48
134	A	-13.21	0.	1113.	64.02
	B	-13.31	0.	1107.	64.02
135	A	-13.31	0.	1107.	64.53
	B	-13.41	0.	1101.	64.53
136	A	-13.41	0.	1101.	65.01
	B	-13.51	0.	1094.	65.01
137	A	-13.51	0.	1094.	65.47
	B	-13.61	0.	1088.	65.47
138	A	-13.61	0.	1088.	65.91
	B	-13.71	0.	1081.	65.91
139	A	-13.71	0.	1081.	66.33
	B	-13.81	0.	1074.	66.33
140	A	-13.81	0.	1074.	66.73
	B	-13.91	0.	1068.	66.73
141	A	-13.91	0.	1068.	67.10
	B	-14.01	0.	1061.	67.10
142	A	-14.01	0.	1061.	67.46
	B	-14.11	0.	1054.	67.46
143	A	-14.11	0.	1054.	67.80
	B	-14.21	0.	1047.	67.80
144	A	-14.21	0.	1047.	68.13
	B	-14.31	0.	1041.	68.13
145	A	-14.31	0.	1041.	68.43
	B	-14.41	0.	1034.	68.43
146	A	-14.41	0.	1034.	68.73
	B	-14.51	0.	1027.	68.73
147	A	-14.51	0.	1027.	69.01
	B	-14.61	0.	1020.	69.01
148	A	-14.61	0.	1020.	69.28
	B	-14.71	0.	1013.	69.28

149	A	-14.71	0.	1013.	69.54
	B	-14.81	0.	1006.	69.54
150	A	-14.81	0.	1006.	69.79
	B	-14.91	0.	999.1	69.79
151	A	-14.91	0.	999.1	70.03
	B	-15.01	0.	992.6	70.03
152	A	-15.01	0.	992.6	70.26
	B	-15.11	0.	987.4	70.26
153	A	-15.11	0.	987.4	70.48
	B	-15.21	0.	982.1	70.48
154	A	-15.21	0.	982.1	70.70
	B	-15.31	0.	976.8	70.70
155	A	-15.31	0.	976.8	70.92
	B	-15.41	0.	971.4	70.92

PARATIE 7.00

Ce.A.S. s.r.l. - Milano

PAG. 42

2 FEBBRAIO 2018 17:31:50

History 0 - PALIFI1500

BEAM	EL.	ESTREMO	QUOTA	MOMENTO SX	MOMENTO DX	TAGLIO
156	A	-15.41	0.	971.4	71.12	
	B	-15.51	0.	966.0	71.12	
157	A	-15.51	0.	966.0	71.33	
	B	-15.61	0.	960.5	71.33	
158	A	-15.61	0.	960.5	71.53	
	B	-15.71	0.	954.9	71.53	
159	A	-15.71	0.	954.9	71.74	
	B	-15.81	0.	949.3	71.74	
160	A	-15.81	0.	949.3	71.94	
	B	-15.91	0.	943.6	71.94	
161	A	-15.91	0.	943.6	72.14	
	B	-16.01	0.	937.9	72.14	
162	A	-16.01	0.	937.9	72.34	
	B	-16.11	0.	932.1	72.34	
163	A	-16.11	0.	932.1	72.55	
	B	-16.21	0.	926.2	72.55	
164	A	-16.21	0.	926.2	72.76	
	B	-16.31	0.	920.3	72.76	
165	A	-16.31	0.	920.3	72.97	
	B	-16.41	0.	914.4	72.97	
166	A	-16.41	0.	914.4	73.19	
	B	-16.51	0.	908.4	73.19	
167	A	-16.51	0.	908.4	73.42	
	B	-16.61	0.	902.3	73.42	
168	A	-16.61	0.	902.3	73.65	
	B	-16.71	0.	896.2	73.65	
169	A	-16.71	0.	896.2	73.88	
	B	-16.81	0.	890.0	73.88	
170	A	-16.81	0.	890.0	74.13	
	B	-16.91	0.	883.7	74.13	
171	A	-16.91	0.	883.7	74.38	
	B	-17.01	0.	877.4	74.38	

172	A	-17.01	0.	877.4	74.65
	B	-17.11	0.	871.0	74.65
173	A	-17.11	0.	871.0	74.93
	B	-17.21	0.	864.6	74.93
174	A	-17.21	0.	864.6	75.21
	B	-17.31	0.	858.1	75.21
175	A	-17.31	0.	858.1	75.51
	B	-17.41	0.	851.6	75.51
176	A	-17.41	0.	851.6	75.82
	B	-17.51	0.	844.9	75.82
177	A	-17.51	0.	844.9	76.15
	B	-17.61	0.	838.3	76.15
178	A	-17.61	0.	838.3	76.49
	B	-17.71	0.	831.5	76.49

PARATIE 7.00

Ce.A.S. s.r.l. - Milano

PAG. 43

2 FEBBRAIO 2018 17:31:50

History 0 - PALIFI1500

BEAM EL.	ESTREMO	QUOTA	MOMENTO SX	MOMENTO DX	TAGLIO
179	A	-17.71	0.	831.5	76.85
	B	-17.81	0.	824.7	76.85
180	A	-17.81	0.	824.7	77.22
	B	-17.91	0.	817.8	77.22
181	A	-17.91	0.	817.8	77.61
	B	-18.01	0.	810.8	77.61
182	A	-18.01	0.	810.8	78.01
	B	-18.11	0.	803.8	78.01
183	A	-18.11	0.	803.8	78.44
	B	-18.21	0.	796.7	78.44
184	A	-18.21	0.	796.7	78.88
	B	-18.31	0.	789.5	78.88
185	A	-18.31	0.	789.5	79.34
	B	-18.41	0.	782.3	79.34
186	A	-18.41	0.	782.3	79.83
	B	-18.51	0.	774.9	79.83
187	A	-18.51	0.	774.9	80.33
	B	-18.61	0.	767.5	80.33
188	A	-18.61	0.	767.5	80.85
	B	-18.71	0.	760.0	80.85
189	A	-18.71	0.	760.0	81.40
	B	-18.81	0.	752.5	81.40
190	A	-18.81	0.	752.5	81.97
	B	-18.91	0.	744.8	81.97
191	A	-18.91	0.	744.8	82.57
	B	-19.01	0.	737.0	82.57
192	A	-19.01	0.	737.0	83.19
	B	-19.11	0.	729.2	83.19
193	A	-19.11	0.	729.2	83.83
	B	-19.21	0.	721.3	83.83
194	A	-19.21	0.	721.3	84.50
	B	-19.31	0.	713.2	84.50

195	A	-19.31	0.	713.2	85.19
	B	-19.41	0.	705.1	85.19
196	A	-19.41	0.	705.1	85.92
	B	-19.51	0.	696.9	85.92
197	A	-19.51	0.	696.9	86.67
	B	-19.61	0.	688.5	86.67
198	A	-19.61	0.	688.5	87.44
	B	-19.71	0.	680.1	87.44
199	A	-19.71	0.	680.1	88.25
	B	-19.81	0.	671.5	88.25
200	A	-19.81	0.	671.5	89.08
	B	-19.91	0.	662.9	89.08
201	A	-19.91	0.	662.9	89.95
	B	-20.01	0.	654.1	89.95

PARATIE 7.00

Ce.A.S. s.r.l. - Milano

PAG. 44

2 FEBBRAIO 2018 17:31:50

History 0 - PALIFI1500

BEAM EL.	ESTREMO	QUOTA	MOMENTO SX	MOMENTO DX	TAGLIO
202	A	-20.01	0.	654.1	90.84
	B	-20.11	0.	645.2	90.84
203	A	-20.11	0.	645.2	91.77
	B	-20.21	0.	636.2	91.77
204	A	-20.21	0.	636.2	92.73
	B	-20.31	0.	627.1	92.73
205	A	-20.31	0.	627.1	93.72
	B	-20.41	0.	617.8	93.72
206	A	-20.41	0.	617.8	94.74
	B	-20.51	0.	608.4	94.74
207	A	-20.51	0.	608.4	95.79
	B	-20.61	0.	598.9	95.79
208	A	-20.61	0.	598.9	96.88
	B	-20.71	0.	589.2	96.88
209	A	-20.71	0.	589.2	98.00
	B	-20.81	0.	579.5	98.00
210	A	-20.81	0.	579.5	99.33
	B	-20.91	0.	569.5	99.33
211	A	-20.91	0.	569.5	100.8
	B	-21.01	0.	559.4	100.8
212	A	-21.01	0.	559.4	102.3
	B	-21.11	0.	549.2	102.3
213	A	-21.11	0.	549.2	103.8
	B	-21.21	0.	538.8	103.8
214	A	-21.21	0.	538.8	105.3
	B	-21.31	0.	528.3	105.3
215	A	-21.31	0.	528.3	106.9
	B	-21.41	0.	517.6	106.9
216	A	-21.41	0.	517.6	108.5
	B	-21.51	0.	506.8	108.5
217	A	-21.51	0.	506.8	110.2
	B	-21.61	0.	495.7	110.2

218	A	-21.61	0.	495.7	111.9
	B	-21.71	0.	484.5	111.9
219	A	-21.71	0.	484.5	113.6
	B	-21.81	0.	473.2	113.6
220	A	-21.81	0.	473.2	115.4
	B	-21.91	0.	461.6	115.4
221	A	-21.91	0.	461.6	117.2
	B	-22.01	0.	449.9	117.2
222	A	-22.01	0.	449.9	119.1
	B	-22.11	0.	438.0	119.1
223	A	-22.11	0.	438.0	121.0
	B	-22.21	0.	425.9	121.0
224	A	-22.21	0.	425.9	122.9
	B	-22.31	0.	413.6	122.9

PARATIE 7.00

Ce.A.S. s.r.l. - Milano

PAG. 45

2 FEBBRAIO 2018 17:31:50

History 0 - PALIFI1500

BEAM	EL.	ESTREMO	QUOTA	MOMENTO SX	MOMENTO DX	TAGLIO
225	A	-22.31	0.	413.6	124.9	
	B	-22.41	0.	401.1	124.9	
226	A	-22.41	0.	401.1	126.9	
	B	-22.51	0.	388.5	126.9	
227	A	-22.51	0.	388.5	128.9	
	B	-22.61	0.	375.6	128.9	
228	A	-22.61	0.	375.6	131.0	
	B	-22.71	0.	362.5	131.0	
229	A	-22.71	0.	362.5	133.2	
	B	-22.81	0.	349.1	133.2	
230	A	-22.81	0.	349.1	135.3	
	B	-22.91	0.	335.6	135.3	
231	A	-22.91	0.	335.6	137.5	
	B	-23.01	0.	321.9	137.5	
232	A	-23.01	0.	321.9	139.8	
	B	-23.11	0.	307.9	139.8	
233	A	-23.11	0.	307.9	142.1	
	B	-23.21	0.	293.7	142.1	
234	A	-23.21	0.	293.7	144.5	
	B	-23.31	0.	279.2	144.5	
235	A	-23.31	0.	279.2	146.8	
	B	-23.41	0.	264.5	146.8	
236	A	-23.41	0.	264.5	149.3	
	B	-23.51	0.	249.6	149.3	
237	A	-23.51	0.	249.6	151.8	
	B	-23.61	0.	234.4	151.8	
238	A	-23.61	0.	234.4	154.3	
	B	-23.71	0.	219.0	154.3	
239	A	-23.71	0.	219.0	156.8	
	B	-23.81	0.	203.3	156.8	
240	A	-23.81	0.	203.3	159.4	
	B	-23.91	0.	187.4	159.4	

241	A	-23.91	0.	187.4	162.1
	B	-24.01	0.	171.2	162.1
242	A	-24.01	0.	171.2	164.8
	B	-24.11	0.	154.7	164.8
243	A	-24.11	0.	154.7	167.5
	B	-24.21	0.	137.9	167.5
244	A	-24.21	0.	137.9	170.3
	B	-24.31	0.	120.9	170.3
245	A	-24.31	0.	120.9	173.2
	B	-24.41	0.	103.6	173.2
246	A	-24.41	0.	103.6	176.0
	B	-24.51	0.	85.98	176.0
247	A	-24.51	0.	85.98	179.0
	B	-24.61	0.	68.08	179.0

PARATIE 7.00

Ce.A.S. s.r.l. - Milano

PAG. 46

2 FEBBRAIO 2018 17:31:50

History 0 - PALIFI1500

BEAM EL.	ESTREMO	QUOTA	MOMENTO SX	MOMENTO DX	TAGLIO
248	A	-24.61	0.	68.08	181.9
	B	-24.71	0.	49.89	181.9
249	A	-24.71	0.	49.89	184.9
	B	-24.81	0.	31.40	184.9
250	A	-24.81	0.	31.40	188.0
	B	-24.91	16.43	12.60	188.0
251	A	-24.91	16.43	12.60	191.1
	B	-25.01	34.52	0.	191.1
252	A	-25.01	34.52	0.	194.3
	B	-25.11	52.91	0.	194.3
253	A	-25.11	52.91	0.	187.2
	B	-25.21	70.62	0.	187.2
254	A	-25.21	70.62	0.	180.2
	B	-25.31	87.64	0.	180.2
255	A	-25.31	87.64	0.	173.2
	B	-25.41	104.0	0.	173.2
256	A	-25.41	104.0	0.	166.2
	B	-25.51	119.7	0.	166.2
257	A	-25.51	119.7	0.	159.3
	B	-25.61	134.7	0.	159.3
258	A	-25.61	134.7	0.	152.4
	B	-25.71	149.0	0.	152.4
259	A	-25.71	149.0	0.	145.6
	B	-25.81	162.7	0.	145.6
260	A	-25.81	162.7	0.	138.8
	B	-25.91	175.7	0.	138.8
261	A	-25.91	175.7	0.	132.0
	B	-26.01	188.1	0.	132.0
262	A	-26.01	188.1	0.	125.3
	B	-26.11	199.8	0.	125.3
263	A	-26.11	199.8	0.	118.6
	B	-26.21	210.9	0.	118.6

264	A	-26.21	210.9	0.	112.0
	B	-26.31	221.3	0.	112.0
265	A	-26.31	221.3	0.	105.4
	B	-26.41	231.1	0.	105.4
266	A	-26.41	231.1	0.	98.81
	B	-26.51	240.3	0.	98.81
267	A	-26.51	240.3	0.	92.28
	B	-26.61	248.8	0.	92.28
268	A	-26.61	248.8	0.	85.79
	B	-26.71	256.7	0.	85.79
269	A	-26.71	256.7	0.	79.34
	B	-26.81	264.0	0.	79.34
270	A	-26.81	264.0	0.	72.92
	B	-26.91	270.6	0.	72.92

PARATIE 7.00

Ce.A.S. s.r.l. - Milano

PAG. 47

2 FEBBRAIO 2018 17:31:50

History 0 - PALIFI1500

BEAM EL.	ESTREMO	QUOTA	MOMENTO SX	MOMENTO DX	TAGLIO
271	A	-26.91	270.6	0.	66.54
	B	-27.01	276.6	0.	66.54
272	A	-27.01	276.6	0.	60.20
	B	-27.11	282.1	0.	60.20
273	A	-27.11	282.1	0.	53.90
	B	-27.21	286.9	0.	53.90
274	A	-27.21	286.9	0.	47.63
	B	-27.31	291.1	0.	47.63
275	A	-27.31	291.1	0.	41.40
	B	-27.41	294.7	0.	41.40
276	A	-27.41	294.7	0.	35.20
	B	-27.51	297.7	0.	35.20
277	A	-27.51	297.7	0.	29.04
	B	-27.61	300.1	0.	29.04
278	A	-27.61	300.1	0.	22.92
	B	-27.71	301.9	0.	22.92
279	A	-27.71	301.9	0.	16.79
	B	-27.81	303.1	0.	16.79
280	A	-27.81	303.1	0.	10.73
	B	-27.91	303.7	0.	10.73
281	A	-27.91	303.7	0.	4.731
	B	-28.01	303.7	0.	4.731
282	A	-28.01	303.7	0.	8.771
	B	-28.11	303.2	0.	8.771
283	A	-28.11	303.2	0.	14.11
	B	-28.21	302.1	0.	14.11
284	A	-28.21	302.1	0.	19.23
	B	-28.31	300.4	0.	19.23
285	A	-28.31	300.4	0.	24.12
	B	-28.41	298.2	0.	24.12
286	A	-28.41	298.2	0.	28.79
	B	-28.51	295.5	0.	28.79

287	A	-28.51	295.5	0.	33.24
	B	-28.61	292.2	0.	33.24
288	A	-28.61	292.2	0.	37.46
	B	-28.71	288.5	0.	37.46
289	A	-28.71	288.5	0.	41.47
	B	-28.81	284.4	0.	41.47
290	A	-28.81	284.4	0.	45.68
	B	-28.91	279.8	0.	45.68
291	A	-28.91	279.8	0.	49.66
	B	-29.01	274.8	0.	49.66
292	A	-29.01	274.8	0.	53.42
	B	-29.11	269.5	0.	53.42
293	A	-29.11	269.5	0.	56.94
	B	-29.21	263.8	0.	56.94

PARATIE 7.00

Ce.A.S. s.r.l. - Milano

PAG. 48

2 FEBBRAIO 2018 17:31:50

History 0 - PALIFI1500

BEAM EL.	ESTREMO	QUOTA	MOMENTO SX	MOMENTO DX	TAGLIO
294	A	-29.21	263.8	0.	60.23
	B	-29.31	257.8	0.	60.23
295	A	-29.31	257.8	0.	63.29
	B	-29.41	251.5	0.	63.29
296	A	-29.41	251.5	0.	66.12
	B	-29.51	244.8	0.	66.12
297	A	-29.51	244.8	0.	68.72
	B	-29.61	238.0	0.	68.72
298	A	-29.61	238.0	0.	71.10
	B	-29.71	230.9	0.	71.10
299	A	-29.71	230.9	0.	73.25
	B	-29.81	223.5	0.	73.25
300	A	-29.81	223.5	0.	75.18
	B	-29.91	216.0	0.	75.18
301	A	-29.91	216.0	0.	76.88
	B	-30.01	208.3	0.	76.88
302	A	-30.01	208.3	0.	78.36
	B	-30.11	200.5	0.	78.36
303	A	-30.11	200.5	0.	79.61
	B	-30.21	192.5	0.	79.61
304	A	-30.21	192.5	0.	80.65
	B	-30.31	184.5	0.	80.65
305	A	-30.31	184.5	0.	81.46
	B	-30.41	176.3	0.	81.46
306	A	-30.41	176.3	0.	82.06
	B	-30.51	168.1	0.	82.06
307	A	-30.51	168.1	0.	82.44
	B	-30.61	159.9	0.	82.44
308	A	-30.61	159.9	0.	82.60
	B	-30.71	151.6	0.	82.60
309	A	-30.71	151.6	0.	82.54
	B	-30.81	143.4	0.	82.54

310	A	-30.81	143.4	0.	82.27
	B	-30.91	135.1	0.	82.27
311	A	-30.91	135.1	0.	81.78
	B	-31.01	127.0	0.	81.78
312	A	-31.01	127.0	0.	81.08
	B	-31.11	118.8	0.	81.08
313	A	-31.11	118.8	0.	80.16
	B	-31.21	110.8	0.	80.16
314	A	-31.21	110.8	0.	79.03
	B	-31.31	102.9	0.	79.03
315	A	-31.31	102.9	0.	77.69
	B	-31.41	95.16	0.	77.69
316	A	-31.41	95.16	0.	76.13
	B	-31.51	87.55	0.	76.13

PARATIE 7.00

Ce.A.S. s.r.l. - Milano

PAG. 49

2 FEBBRAIO 2018 17:31:50

History 0 - PALIFI1500

BEAM EL.	ESTREMO	QUOTA	MOMENTO SX	MOMENTO DX	TAGLIO
317	A	-31.51	87.55	0.	74.36
	B	-31.61	80.12	0.	74.36
318	A	-31.61	80.12	0.	72.38
	B	-31.71	72.90	0.	72.38
319	A	-31.71	72.90	0.	70.19
	B	-31.81	65.90	0.	70.19
320	A	-31.81	65.90	0.	67.79
	B	-31.91	59.13	0.	67.79
321	A	-31.91	59.13	0.	65.17
	B	-32.01	52.62	0.	65.17
322	A	-32.01	52.62	0.	62.34
	B	-32.11	46.39	0.	62.34
323	A	-32.11	46.39	0.	59.31
	B	-32.21	40.46	0.	59.31
324	A	-32.21	40.46	0.	56.07
	B	-32.31	34.85	0.	56.07
325	A	-32.31	34.85	0.	52.63
	B	-32.41	29.59	0.	52.63
326	A	-32.41	29.59	0.	48.98
	B	-32.51	24.69	0.	48.98
327	A	-32.51	24.69	0.	45.12
	B	-32.61	20.18	0.	45.12
328	A	-32.61	20.18	0.	41.04
	B	-32.71	16.07	0.	41.04
329	A	-32.71	16.07	0.	36.78
	B	-32.81	12.40	0.	36.78
330	A	-32.81	12.40	0.	32.34
	B	-32.91	9.162	0.	32.34
331	A	-32.91	9.162	0.	27.74
	B	-33.01	6.387	0.	27.74
332	A	-33.01	6.387	0.	22.98
	B	-33.11	4.090	0.	22.98

333	A	-33.11	4.090	0.	18.04
	B	-33.21	2.286	0.	18.04
334	A	-33.21	2.286	0.	12.93
	B	-33.31	0.9925	0.	12.93
335	A	-33.31	0.9925	0.	7.667
	B	-33.41	0.2258	0.	7.667
336	A	-33.41	0.2258	0.	2.509
	B	-33.50	0.2910E-09	0.4657E-09	2.509

PARATIE 7.00

Ce.A.S. s.r.l. - Milano

PAG. 50

2 FEBBRAIO 2018 17:31:50

History 0 - PALIFI1500

INVILUPPO RISULTATI NEGLI ELEMENTI TERRENO

* PARETE LeftWall GRUPPO UHLeft*

STEP 1 - 8

* I PASSI NON EQUILIBRATI SONO ESCLUSI *

Nella tabella si stampano i seguenti risultati:

SIGMA-H = massimo sforzo orizzontale efficace [kPa]

TAGLIO = massimo sforzo di taglio [kPa]

PR. ACQUA =massima pressione interstiziale [kPa]

GRAD. MAX =massimo gradiente idraulico

SOIL EL.	QUOTA	SIGMA-H	TAGLIO	PR. ACQUA	GRAD. MAX
1	0.	32.61	11.31	0.	0.
2	-0.1000	32.34	10.17	0.	0.
3	-0.2000	34.08	9.852	0.	0.
4	-0.3000	37.67	11.05	0.	0.
5	-0.4000	37.33	9.980	0.	0.
6	-0.5000	36.98	11.01	0.	0.
7	-0.6000	36.63	9.886	0.	0.
8	-0.7000	36.28	8.751	0.	0.
9	-0.8000	35.94	7.607	0.	0.
10	-0.9000	35.59	6.457	0.	0.
11	-1.000	35.24	5.736	0.	0.
12	-1.100	34.89	6.309	0.	0.
13	-1.200	34.54	6.883	0.	0.
14	-1.300	34.19	7.457	0.	0.
15	-1.400	33.85	8.030	0.	0.
16	-1.500	33.50	8.604	0.	0.
17	-1.600	33.15	9.427	0.	0.
18	-1.700	32.80	10.60	0.	0.
19	-1.800	32.45	11.78	0.	0.
20	-1.900	32.10	12.95	0.	0.
21	-2.000	31.74	14.13	0.	0.
22	-2.100	31.39	15.30	0.	0.
23	-2.200	31.04	16.48	0.	0.

24	-2.300	30.68	17.66	0.	0.
25	-2.400	30.33	18.84	0.	0.
26	-2.500	29.97	20.01	0.	0.
27	-2.510	29.93	20.13	0.	0.
28	-2.610	28.94	21.63	0.	0.
29	-2.710	27.94	23.13	0.	0.
30	-2.810	26.95	24.63	0.	0.
31	-2.910	25.95	26.12	0.	0.
32	-3.010	25.67	27.62	0.	0.
33	-3.110	26.52	29.12	0.	0.
34	-3.210	27.38	30.62	0.	0.
35	-3.310	28.23	32.12	0.	0.

PARATIE 7.00

Ce.A.S. s.r.l. - Milano

PAG. 51

2 FEBBRAIO 2018 17:31:50

History 0 - PALIFI1500

SOIL EL.	QUOTA	SIGMA-H	TAGLIO	PR. ACQUA	GRAD. MAX
36	-3.410	29.08	33.61	0.	0.
37	-3.510	29.93	34.69	0.	0.
38	-3.610	30.79	35.54	0.	0.
39	-3.710	31.64	36.39	0.	0.
40	-3.810	32.49	37.23	0.	0.
41	-3.910	33.35	38.08	0.	0.
42	-4.010	34.20	38.88	0.	0.
43	-4.110	35.05	39.65	0.	0.
44	-4.210	35.90	40.43	0.	0.
45	-4.310	36.76	41.21	0.	0.
46	-4.410	37.61	41.98	0.	0.
47	-4.510	38.46	42.76	0.	0.
48	-4.610	39.32	43.53	0.	0.
49	-4.710	40.17	44.31	0.	0.
50	-4.810	41.02	45.09	0.	0.
51	-4.910	41.87	45.86	0.	0.
52	-5.010	42.73	46.64	0.	0.
53	-5.110	43.58	47.41	0.	0.
54	-5.210	44.43	48.19	0.	0.
55	-5.310	45.29	48.97	0.	0.
56	-5.410	46.14	49.74	0.	0.
57	-5.510	46.99	50.52	0.	0.
58	-5.610	47.84	51.29	0.	0.
59	-5.710	48.70	52.07	0.	0.
60	-5.810	49.55	52.85	0.	0.
61	-5.910	50.40	53.62	0.	0.
62	-6.010	51.26	54.40	0.	0.
63	-6.110	52.11	55.17	0.	0.
64	-6.210	52.96	55.95	0.	0.
65	-6.310	53.81	56.73	0.	0.
66	-6.410	54.67	57.50	0.	0.
67	-6.510	55.52	58.28	0.	0.

68	-6.610	56.37	59.05	0.	0.
69	-6.710	57.23	59.83	0.	0.
70	-6.810	58.08	60.61	0.	0.
71	-6.910	58.93	61.38	0.	0.
72	-7.010	59.78	62.16	0.	0.
73	-7.110	60.64	62.93	0.	0.
74	-7.210	61.49	63.71	0.	0.
75	-7.310	62.34	64.49	0.	0.
76	-7.410	63.20	65.26	0.	0.
77	-7.510	64.05	66.04	0.	0.
78	-7.610	64.90	66.81	0.	0.
79	-7.710	65.75	67.59	0.	0.
80	-7.810	66.61	68.37	0.	0.
81	-7.910	67.46	69.14	0.	0.

PARATIE 7.00

Ce.A.S. s.r.l. - Milano

PAG. 52

2 FEBBRAIO 2018 17:31:50

History 0 - PALIFI1500

SOIL EL.	QUOTA	SIGMA-H	TAGLIO	PR. ACQUA	GRAD. MAX
82	-8.010	68.31	69.92	0.	0.
83	-8.110	90.73	51.96	0.6000	0.
84	-8.210	91.23	52.33	1.600	0.
85	-8.310	91.74	52.69	2.600	0.
86	-8.410	92.24	53.05	3.600	0.
87	-8.510	92.75	53.41	4.600	0.
88	-8.610	93.25	53.77	5.600	0.
89	-8.710	93.76	54.13	6.600	0.
90	-8.810	94.26	54.48	7.600	0.
91	-8.910	94.77	54.83	8.600	0.
92	-9.010	95.27	55.18	9.600	0.
93	-9.110	95.78	55.52	10.60	0.
94	-9.210	96.29	55.86	11.60	0.
95	-9.310	96.79	56.21	12.60	0.
96	-9.410	97.30	56.54	13.60	0.
97	-9.510	97.80	56.88	14.60	0.
98	-9.610	98.31	57.21	15.60	0.
99	-9.710	98.81	57.54	16.60	0.
100	-9.810	99.32	57.87	17.60	0.
101	-9.910	99.82	58.19	18.60	0.
102	-10.01	100.3	58.52	19.60	0.
103	-10.11	100.8	58.84	20.60	0.
104	-10.21	101.3	59.15	21.60	0.
105	-10.31	101.8	59.47	22.60	0.
106	-10.41	102.4	59.78	23.60	0.
107	-10.51	102.9	60.09	24.60	0.
108	-10.61	103.4	60.40	25.60	0.
109	-10.71	103.9	60.70	26.60	0.
110	-10.81	104.4	61.00	27.60	0.
111	-10.91	104.9	61.30	28.60	0.
112	-11.01	105.4	61.60	29.60	0.
113	-11.11	105.9	61.89	30.60	0.

114	-11.21	106.4	62.18	31.60	0.
115	-11.31	106.9	62.47	32.60	0.
116	-11.41	107.4	62.76	33.60	0.
117	-11.51	107.9	63.04	34.60	0.
118	-11.61	108.4	63.32	35.60	0.
119	-11.71	108.9	63.60	36.60	0.
120	-11.81	109.4	63.88	37.60	0.
121	-11.91	109.9	64.15	38.60	0.
122	-12.01	110.4	64.42	39.60	0.
123	-12.11	110.9	64.69	40.60	0.
124	-12.21	111.4	64.96	41.60	0.
125	-12.31	112.0	65.22	42.60	0.
126	-12.41	112.5	65.48	43.60	0.
127	-12.51	113.0	65.74	44.60	0.

PARATIE 7.00

Ce.A.S. s.r.l. - Milano

PAG. 53

2 FEBBRAIO 2018 17:31:50

History 0 - PALIFI1500

SOIL EL.	QUOTA	SIGMA-H	TAGLIO	PR. ACQUA	GRAD. MAX
128	-12.61	113.5	65.99	45.60	0.
129	-12.71	114.0	66.25	46.60	0.
130	-12.81	114.5	66.50	47.60	0.
131	-12.91	115.0	66.75	48.60	0.
132	-13.01	115.5	66.99	49.60	0.
133	-13.11	116.0	67.24	50.60	0.
134	-13.21	116.5	67.48	51.60	0.
135	-13.31	117.0	67.71	52.60	0.
136	-13.41	117.5	67.95	53.60	0.
137	-13.51	118.0	68.18	54.60	0.
138	-13.61	118.5	68.42	55.60	0.
139	-13.71	119.0	68.64	56.60	0.
140	-13.81	119.5	68.87	57.60	0.
141	-13.91	120.0	69.09	58.60	0.
142	-14.01	120.5	69.32	59.60	0.
143	-14.11	121.1	69.53	60.60	0.
144	-14.21	121.6	69.75	61.60	0.
145	-14.31	122.1	69.97	62.60	0.
146	-14.41	122.6	70.18	63.60	0.
147	-14.51	123.1	70.39	64.60	0.
148	-14.61	123.6	70.59	65.60	0.
149	-14.71	124.1	70.80	66.60	0.
150	-14.81	124.6	71.00	67.60	0.
151	-14.91	125.1	71.20	68.60	0.
152	-15.01	125.6	71.40	69.60	0.
153	-15.11	126.1	71.60	70.60	0.
154	-15.21	126.6	71.79	71.60	0.
155	-15.31	127.1	71.98	72.60	0.
156	-15.41	127.6	72.17	73.60	0.
157	-15.51	128.1	72.36	74.60	0.
158	-15.61	128.6	72.54	75.60	0.
159	-15.71	129.1	72.72	76.60	0.

160	-15.81	129.6	72.90	77.60	0.
161	-15.91	130.2	73.08	78.60	0.
162	-16.01	130.7	73.26	79.60	0.
163	-16.11	131.2	73.43	80.60	0.
164	-16.21	131.7	73.60	81.60	0.
165	-16.31	132.2	73.77	82.60	0.
166	-16.41	132.7	73.94	83.60	0.
167	-16.51	133.2	74.11	84.60	0.
168	-16.61	133.7	74.27	85.60	0.
169	-16.71	134.2	74.43	86.60	0.
170	-16.81	134.7	74.59	87.60	0.
171	-16.91	135.2	74.75	88.60	0.
172	-17.01	135.7	74.90	89.60	0.
173	-17.11	136.2	75.06	90.60	0.

PARATIE 7.00

Ce.A.S. s.r.l. - Milano

PAG. 54

2 FEBBRAIO 2018 17:31:50

History 0 - PALIFI1500

SOIL EL.	QUOTA	SIGMA-H	TAGLIO	PR. ACQUA	GRAD. MAX
174	-17.21	136.7	75.21	91.60	0.
175	-17.31	137.2	75.36	92.60	0.
176	-17.41	137.7	75.50	93.60	0.
177	-17.51	138.2	75.65	94.60	0.
178	-17.61	138.7	75.79	95.60	0.
179	-17.71	139.3	75.93	96.60	0.
180	-17.81	139.8	76.07	97.60	0.
181	-17.91	140.3	76.21	98.60	0.
182	-18.01	140.8	76.34	99.60	0.
183	-18.11	141.3	76.48	100.6	0.
184	-18.21	141.8	76.61	101.6	0.
185	-18.31	142.3	76.74	102.6	0.
186	-18.41	142.8	76.87	103.6	0.
187	-18.51	143.3	77.00	104.6	0.
188	-18.61	143.8	77.12	105.6	0.
189	-18.71	144.3	77.24	106.6	0.
190	-18.81	144.8	77.36	107.6	0.
191	-18.91	145.3	77.48	108.6	0.
192	-19.01	145.8	77.60	109.6	0.
193	-19.11	146.3	77.72	110.6	0.
194	-19.21	146.8	77.83	111.6	0.
195	-19.31	147.3	77.95	112.6	0.
196	-19.41	147.8	78.06	113.6	0.
197	-19.51	148.3	78.17	114.6	0.
198	-19.61	148.9	78.27	115.6	0.
199	-19.71	149.4	78.38	116.6	0.
200	-19.81	149.9	78.49	117.6	0.
201	-19.91	150.4	78.59	118.6	0.
202	-20.01	150.9	78.69	119.6	0.
203	-20.11	151.4	78.79	120.6	0.
204	-20.21	151.9	78.89	121.6	0.
205	-20.31	152.4	78.99	122.6	0.

206	-20.41	152.9	79.08	123.6	0.
207	-20.51	153.4	79.18	124.6	0.
208	-20.61	153.9	79.27	125.6	0.
209	-20.71	154.4	79.36	126.6	0.
210	-20.81	154.9	79.45	127.6	0.
211	-20.91	155.4	79.54	128.6	0.
212	-21.01	155.9	79.63	129.6	0.
213	-21.11	156.4	79.72	130.6	0.
214	-21.21	156.9	79.80	131.6	0.
215	-21.31	157.4	79.89	132.6	0.
216	-21.41	158.0	79.97	133.6	0.
217	-21.51	158.5	80.05	134.6	0.
218	-21.61	159.0	80.13	135.6	0.
219	-21.71	159.5	80.21	136.6	0.

PARATIE 7.00

Ce.A.S. s.r.l. - Milano

PAG. 55

2 FEBBRAIO 2018 17:31:50

History 0 - PALIFI1500

SOIL EL.	QUOTA	SIGMA-H	TAGLIO	PR. ACQUA	GRAD. MAX
220	-21.81	160.0	80.29	137.6	0.
221	-21.91	160.5	80.37	138.6	0.
222	-22.01	161.0	80.44	139.6	0.
223	-22.11	161.5	80.52	140.6	0.
224	-22.21	162.0	80.59	141.6	0.
225	-22.31	162.5	80.66	142.6	0.
226	-22.41	163.0	80.74	143.6	0.
227	-22.51	163.5	80.81	144.6	0.
228	-22.61	164.0	80.88	145.6	0.
229	-22.71	164.5	80.95	146.6	0.
230	-22.81	165.0	81.02	147.6	0.
231	-22.91	165.5	81.08	148.6	0.
232	-23.01	166.0	81.15	149.6	0.
233	-23.11	166.5	81.22	150.6	0.
234	-23.21	167.1	81.28	151.6	0.
235	-23.31	167.6	81.35	152.6	0.
236	-23.41	168.1	81.41	153.6	0.
237	-23.51	168.6	81.48	154.6	0.
238	-23.61	169.1	81.54	155.6	0.
239	-23.71	169.6	81.60	156.6	0.
240	-23.81	170.1	81.66	157.6	0.
241	-23.91	170.6	81.73	158.6	0.
242	-24.01	171.1	81.79	159.6	0.
243	-24.11	171.6	81.85	160.6	0.
244	-24.21	172.1	81.91	161.6	0.
245	-24.31	172.6	81.97	162.6	0.
246	-24.41	173.1	82.03	163.6	0.
247	-24.51	173.6	82.09	164.6	0.
248	-24.61	174.1	82.15	165.6	0.
249	-24.71	174.6	82.21	166.6	0.
250	-24.81	175.1	82.27	167.6	0.
251	-24.91	175.6	82.33	168.6	0.

252	-25.01	176.1	82.38	169.6	0.
253	-25.11	120.9	134.5	170.6	0.
254	-25.21	121.3	134.9	171.6	0.
255	-25.31	121.7	135.3	172.6	0.
256	-25.41	122.1	135.7	173.6	0.
257	-25.51	122.5	136.1	174.6	0.
258	-25.61	122.8	136.5	175.6	0.
259	-25.71	123.2	136.9	176.6	0.
260	-25.81	123.6	137.3	177.6	0.
261	-25.91	124.0	137.7	178.6	0.
262	-26.01	124.4	138.1	179.6	0.
263	-26.11	124.8	138.5	180.6	0.
264	-26.21	125.1	138.9	181.6	0.
265	-26.31	125.5	139.3	182.6	0.

PARATIE 7.00

Ce.A.S. s.r.l. - Milano

PAG. 56

2 FEBBRAIO 2018 17:31:50

History 0 - PALIFI1500

SOIL EL.	QUOTA	SIGMA-H	TAGLIO	PR. ACQUA	GRAD. MAX
266	-26.41	125.9	139.7	183.6	0.
267	-26.51	126.3	140.1	184.6	0.
268	-26.61	126.7	140.5	185.6	0.
269	-26.71	127.1	140.9	186.6	0.
270	-26.81	127.4	141.3	187.6	0.
271	-26.91	127.8	141.7	188.6	0.
272	-27.01	128.2	142.1	189.6	0.
273	-27.11	128.6	142.5	190.6	0.
274	-27.21	129.0	143.0	191.6	0.
275	-27.31	129.4	143.4	192.6	0.
276	-27.41	129.8	143.8	193.6	0.
277	-27.51	130.1	144.2	194.6	0.
278	-27.61	130.5	144.6	195.6	0.
279	-27.71	130.9	145.0	196.6	0.
280	-27.81	131.3	145.4	197.6	0.
281	-27.91	131.7	145.8	198.6	0.
282	-28.01	132.1	146.2	199.6	0.
283	-28.11	132.4	146.6	200.6	0.
284	-28.21	132.8	147.0	201.6	0.
285	-28.31	133.2	146.5	202.6	0.
286	-28.41	133.6	145.9	203.6	0.
287	-28.51	134.0	145.4	204.6	0.
288	-28.61	134.4	144.9	205.6	0.
289	-28.71	134.7	144.4	206.6	0.
290	-28.81	135.1	143.9	207.6	0.
291	-28.91	135.5	143.4	208.6	0.
292	-29.01	135.9	142.8	209.6	0.
293	-29.11	136.3	142.4	210.6	0.
294	-29.21	136.7	141.9	211.6	0.
295	-29.31	137.1	141.4	212.6	0.
296	-29.41	137.4	140.9	213.6	0.
297	-29.51	137.8	140.4	214.6	0.

298	-29.61	138.2	139.9	215.6	0.
299	-29.71	138.6	139.4	216.6	0.
300	-29.81	139.0	139.0	217.6	0.
301	-29.91	139.4	138.5	218.6	0.
302	-30.01	139.7	138.0	219.6	0.
303	-30.11	140.1	137.6	220.6	0.
304	-30.21	140.5	137.1	221.6	0.
305	-30.31	140.9	136.7	222.6	0.
306	-30.41	141.3	136.2	223.6	0.
307	-30.51	141.7	135.8	224.6	0.
308	-30.61	142.1	135.3	225.6	0.
309	-30.71	142.4	134.9	226.6	0.
310	-30.81	142.8	134.4	227.6	0.
311	-30.91	143.2	134.0	228.6	0.

PARATIE 7.00

Ce.A.S. s.r.l. - Milano

PAG. 57

2 FEBBRAIO 2018 17:31:50

History 0 - PALIFI1500

SOIL EL.	QUOTA	SIGMA-H	TAGLIO	PR. ACQUA	GRAD. MAX
312	-31.01	143.6	133.6	229.6	0.
313	-31.11	144.0	133.1	230.6	0.
314	-31.21	144.4	132.7	231.6	0.
315	-31.31	144.7	132.3	232.6	0.
316	-31.41	145.1	131.8	233.6	0.
317	-31.51	145.5	131.4	234.6	0.
318	-31.61	145.9	131.0	235.6	0.
319	-31.71	146.3	130.5	236.6	0.
320	-31.81	146.7	130.1	237.6	0.
321	-31.91	147.0	129.7	238.6	0.
322	-32.01	147.4	129.3	239.6	0.
323	-32.11	147.8	128.9	240.6	0.
324	-32.21	148.7	128.4	241.6	0.
325	-32.31	150.6	128.0	242.6	0.
326	-32.41	152.4	127.6	243.6	0.
327	-32.51	154.3	127.2	244.6	0.
328	-32.61	156.1	126.8	245.6	0.
329	-32.71	157.7	126.4	246.6	0.
330	-32.81	159.1	126.3	247.6	0.
331	-32.91	160.4	126.1	248.6	0.
332	-33.01	161.8	125.9	249.6	0.
333	-33.11	163.2	125.7	250.6	0.
334	-33.21	164.6	125.5	251.6	0.
335	-33.31	165.9	125.3	252.6	0.
336	-33.41	167.3	125.2	253.6	0.
337	-33.50	168.5	125.0	254.5	0.

PARATIE 7.00

Ce.A.S. s.r.l. - Milano

PAG. 58

2 FEBBRAIO 2018 17:31:50

History 0 - PALIFI1500

INVILUPPO RISULTATI NEGLI ELEMENTI TERRENO

* PARETE LeftWall GRUPPO DHLeft*

STEP 1 - 8

* I PASSI NON EQUILIBRATI SONO ESCLUSI *

Nella tabella si stampano i seguenti risultati:

SIGMA-H = massimo sforzo orizzontale efficace [kPa]

TAGLIO = massimo sforzo di taglio [kPa]

PR. ACQUA =massima pressione interstiziale [kPa]

GRAD. MAX =massimo gradiente idraulico

SOIL EL.	QUOTA	SIGMA-H	TAGLIO	PR. ACQUA	GRAD. MAX
1	0.	0.	0.	0.	0.
2	-0.1000	0.8528	0.5736	0.	0.
3	-0.2000	1.706	1.147	0.	0.
4	-0.3000	2.559	1.721	0.	0.
5	-0.4000	3.411	2.294	0.	0.
6	-0.5000	4.264	2.868	0.	0.
7	-0.6000	5.117	3.441	0.	0.
8	-0.7000	5.970	4.015	0.	0.
9	-0.8000	6.823	4.589	0.	0.
10	-0.9000	7.676	5.162	0.	0.
11	-1.000	8.528	5.736	0.	0.
12	-1.100	9.381	6.309	0.	0.
13	-1.200	10.23	6.883	0.	0.
14	-1.300	11.09	7.457	0.	0.
15	-1.400	11.94	8.030	0.	0.
16	-1.500	12.79	8.604	0.	0.
17	-1.600	13.65	9.177	0.	0.
18	-1.700	14.50	9.751	0.	0.
19	-1.800	15.35	10.32	0.	0.
20	-1.900	16.20	10.90	0.	0.
21	-2.000	17.06	11.47	0.	0.
22	-2.100	17.91	12.05	0.	0.
23	-2.200	18.76	12.62	0.	0.

24	-2.300	19.62	13.19	0.	0.
25	-2.400	20.47	13.77	0.	0.
26	-2.500	21.32	14.34	0.	0.
27	-2.510	21.41	14.40	0.	0.
28	-2.610	22.26	14.97	0.	0.
29	-2.710	23.11	15.54	0.	0.
30	-2.810	23.96	16.12	0.	0.
31	-2.910	24.82	16.69	0.	0.
32	-3.010	25.67	17.26	0.	0.
33	-3.110	26.52	17.84	0.	0.
34	-3.210	27.38	18.41	0.	0.
35	-3.310	28.23	18.99	0.	0.

PARATIE 7.00

Ce.A.S. s.r.l. - Milano

PAG. 59

2 FEBBRAIO 2018 17:31:50

History 0 - PALIFI1500

SOIL EL.	QUOTA	SIGMA-H	TAGLIO	PR. ACQUA	GRAD. MAX
36	-3.410	29.08	19.56	0.	0.
37	-3.510	29.93	20.13	0.	0.
38	-3.610	30.79	20.71	0.	0.
39	-3.710	31.64	21.28	0.	0.
40	-3.810	32.49	21.85	0.	0.
41	-3.910	33.35	22.43	0.	0.
42	-4.010	34.20	23.00	0.	0.
43	-4.110	35.05	23.57	0.	0.
44	-4.210	35.90	24.15	0.	0.
45	-4.310	36.76	24.72	0.	0.
46	-4.410	37.61	25.29	0.	0.
47	-4.510	38.46	25.87	0.	0.
48	-4.610	39.32	26.44	0.	0.
49	-4.710	40.17	27.02	0.	0.
50	-4.810	41.02	27.59	0.	0.
51	-4.910	41.87	28.16	0.	0.
52	-5.010	42.73	28.74	0.	0.
53	-5.110	43.58	29.31	0.	0.
54	-5.210	44.43	29.88	0.	0.
55	-5.310	45.29	30.46	0.	0.
56	-5.410	46.14	31.03	0.	0.
57	-5.510	46.99	31.60	0.	0.
58	-5.610	47.84	32.18	0.	0.
59	-5.710	48.70	32.75	0.	0.
60	-5.810	49.55	33.32	0.	0.
61	-5.910	50.40	33.90	0.	0.
62	-6.010	51.26	34.47	0.	0.
63	-6.110	52.11	35.05	0.	0.
64	-6.210	52.96	35.62	0.	0.
65	-6.310	53.81	36.19	0.	0.
66	-6.410	54.67	36.77	0.	0.
67	-6.510	55.52	37.34	0.	0.

68	-6.610	56.37	37.91	0.	0.
69	-6.710	57.23	38.49	0.	0.
70	-6.810	58.08	39.06	0.	0.
71	-6.910	58.93	39.63	0.	0.
72	-7.010	59.78	40.21	0.	0.
73	-7.110	60.64	40.78	0.	0.
74	-7.210	61.49	41.36	0.	0.
75	-7.310	62.34	41.93	0.	0.
76	-7.410	63.20	42.50	0.	0.
77	-7.510	64.05	43.08	0.	0.
78	-7.610	64.90	43.65	0.	0.
79	-7.710	65.75	44.22	0.	0.
80	-7.810	66.61	44.80	0.	0.
81	-7.910	67.46	45.37	0.	0.

PARATIE 7.00

Ce.A.S. s.r.l. - Milano

PAG. 60

2 FEBBRAIO 2018 17:31:50

History 0 - PALIFI1500

SOIL EL.	QUOTA	SIGMA-H	TAGLIO	PR. ACQUA	GRAD. MAX
82	-8.010	68.31	45.94	0.	0.
83	-8.110	90.73	35.41	0.6000	0.
84	-8.210	91.23	35.60	1.600	0.
85	-8.310	91.74	35.80	2.600	0.
86	-8.410	92.24	36.00	3.600	0.
87	-8.510	92.75	36.20	4.600	0.
88	-8.610	93.25	36.39	5.600	0.
89	-8.710	93.76	36.59	6.600	0.
90	-8.810	94.26	36.79	7.600	0.
91	-8.910	94.77	36.99	8.600	0.
92	-9.010	95.27	37.18	9.600	0.
93	-9.110	95.78	37.38	10.60	0.
94	-9.210	96.29	37.58	11.60	0.
95	-9.310	96.79	37.77	12.60	0.
96	-9.410	97.30	37.97	13.60	0.
97	-9.510	97.80	38.17	14.60	0.
98	-9.610	98.31	38.37	15.60	0.
99	-9.710	98.81	38.56	16.60	0.
100	-9.810	99.32	38.76	17.60	0.
101	-9.910	99.82	38.96	18.60	0.
102	-10.01	100.3	39.16	19.60	0.
103	-10.11	100.8	39.35	20.60	0.
104	-10.21	101.3	39.55	21.60	0.
105	-10.31	101.8	39.75	22.60	0.
106	-10.41	102.4	39.94	23.60	0.
107	-10.51	102.9	40.14	24.60	0.
108	-10.61	103.4	40.34	25.60	0.
109	-10.71	103.9	40.54	26.60	0.
110	-10.81	104.4	40.73	27.60	0.
111	-10.91	104.9	40.93	28.60	0.
112	-11.01	105.4	41.13	29.60	0.
113	-11.11	105.9	41.33	30.60	0.

114	-11.21	106.4	41.52	31.60	0.
115	-11.31	106.9	41.72	32.60	0.
116	-11.41	107.4	41.92	33.60	0.
117	-11.51	107.9	42.11	34.60	0.
118	-11.61	108.4	42.31	35.60	0.
119	-11.71	108.9	42.51	36.60	0.
120	-11.81	109.4	42.71	37.60	0.
121	-11.91	109.9	42.90	38.60	0.
122	-12.01	110.4	43.10	39.60	0.
123	-12.11	110.9	43.30	40.60	0.
124	-12.21	111.4	43.50	41.60	0.
125	-12.31	112.0	43.69	42.60	0.
126	-12.41	112.5	43.89	43.60	0.
127	-12.51	113.0	44.09	44.60	0.

PARATIE 7.00

Ce.A.S. s.r.l. - Milano

PAG. 61

2 FEBBRAIO 2018 17:31:50

History 0 - PALIFI1500

SOIL EL.	QUOTA	SIGMA-H	TAGLIO	PR. ACQUA	GRAD. MAX
128	-12.61	113.5	44.28	45.60	0.
129	-12.71	114.0	44.48	46.60	0.
130	-12.81	114.5	44.68	47.60	0.
131	-12.91	115.0	44.88	48.60	0.
132	-13.01	115.5	45.07	49.60	0.
133	-13.11	116.0	45.27	50.60	0.
134	-13.21	116.5	45.47	51.60	0.
135	-13.31	117.0	45.67	52.60	0.
136	-13.41	117.5	45.86	53.60	0.
137	-13.51	118.0	46.06	54.60	0.
138	-13.61	118.5	46.26	55.60	0.
139	-13.71	119.0	46.45	56.60	0.
140	-13.81	119.5	46.65	57.60	0.
141	-13.91	120.0	46.85	58.60	0.
142	-14.01	120.5	47.05	59.60	0.
143	-14.11	121.1	47.24	60.60	0.
144	-14.21	121.6	47.44	61.60	0.
145	-14.31	122.1	47.64	62.60	0.
146	-14.41	122.6	47.83	63.60	0.
147	-14.51	123.1	48.03	64.60	0.
148	-14.61	123.6	48.23	65.60	0.
149	-14.71	124.1	48.43	66.60	0.
150	-14.81	124.6	48.62	67.60	0.
151	-14.91	125.1	48.82	68.60	0.
152	-15.01	125.6	49.02	69.60	0.
153	-15.11	126.1	49.22	70.60	0.
154	-15.21	126.6	49.41	71.60	0.
155	-15.31	127.1	49.61	72.60	0.
156	-15.41	127.6	49.81	73.60	0.
157	-15.51	128.1	50.00	74.60	0.
158	-15.61	128.6	50.20	75.60	0.
159	-15.71	129.1	50.40	76.60	0.

160	-15.81	129.6	50.60	77.60	0.
161	-15.91	130.2	50.79	78.60	0.
162	-16.01	130.7	50.99	79.60	0.
163	-16.11	131.2	51.19	80.60	0.
164	-16.21	131.7	51.39	81.60	0.
165	-16.31	132.2	51.58	82.60	0.
166	-16.41	132.7	51.78	83.60	0.
167	-16.51	133.2	51.98	84.60	0.
168	-16.61	133.7	52.17	85.60	0.
169	-16.71	134.2	52.37	86.60	0.
170	-16.81	134.7	52.57	87.60	0.
171	-16.91	135.2	52.77	88.60	0.
172	-17.01	135.7	52.96	89.60	0.
173	-17.11	136.2	53.16	90.60	0.

PARATIE 7.00

Ce.A.S. s.r.l. - Milano

PAG. 62

2 FEBBRAIO 2018 17:31:50

History 0 - PALIFI1500

SOIL EL.	QUOTA	SIGMA-H	TAGLIO	PR. ACQUA	GRAD. MAX
174	-17.21	136.7	53.36	91.60	0.
175	-17.31	137.2	53.56	92.60	0.
176	-17.41	137.7	53.75	93.60	0.
177	-17.51	138.2	53.95	94.60	0.
178	-17.61	138.7	54.15	95.60	0.
179	-17.71	139.3	54.34	96.60	0.
180	-17.81	139.8	54.54	97.60	0.
181	-17.91	140.3	54.74	98.60	0.
182	-18.01	140.8	54.94	99.60	0.
183	-18.11	141.3	55.13	100.6	0.
184	-18.21	141.8	55.33	101.6	0.
185	-18.31	142.3	55.53	102.6	0.
186	-18.41	142.8	55.73	103.6	0.
187	-18.51	143.3	55.92	104.6	0.
188	-18.61	143.8	56.12	105.6	0.
189	-18.71	144.3	56.32	106.6	0.
190	-18.81	144.8	56.51	107.6	0.
191	-18.91	145.3	56.71	108.6	0.
192	-19.01	145.8	56.91	109.6	0.
193	-19.11	146.3	57.11	110.6	0.
194	-19.21	146.8	57.30	111.6	0.
195	-19.31	147.3	57.50	112.6	0.
196	-19.41	147.8	57.70	113.6	0.
197	-19.51	148.3	57.90	114.6	0.
198	-19.61	148.9	58.09	115.6	0.
199	-19.71	149.4	58.29	116.6	0.
200	-19.81	149.9	58.49	117.6	0.
201	-19.91	150.4	58.68	118.6	0.
202	-20.01	150.9	58.88	119.6	0.
203	-20.11	151.4	59.08	120.6	0.
204	-20.21	151.9	59.28	121.6	0.
205	-20.31	152.4	59.47	122.6	0.

206	-20.41	152.9	59.67	123.6	0.
207	-20.51	153.4	59.87	124.6	0.
208	-20.61	153.9	60.07	125.6	0.
209	-20.71	154.4	60.26	126.6	0.
210	-20.81	154.9	60.46	127.6	0.
211	-20.91	155.4	60.66	128.6	0.
212	-21.01	155.9	60.85	129.6	0.
213	-21.11	156.4	61.05	130.6	0.
214	-21.21	156.9	61.25	131.6	0.
215	-21.31	157.4	61.45	132.6	0.
216	-21.41	158.0	61.64	133.6	0.
217	-21.51	158.5	61.84	134.6	0.
218	-21.61	159.0	62.04	135.6	0.
219	-21.71	159.5	62.24	136.6	0.

PARATIE 7.00

Ce.A.S. s.r.l. - Milano

PAG. 63

2 FEBBRAIO 2018 17:31:50

History 0 - PALIFI1500

SOIL EL.	QUOTA	SIGMA-H	TAGLIO	PR. ACQUA	GRAD. MAX
220	-21.81	160.0	62.43	137.6	0.
221	-21.91	160.5	62.63	138.6	0.
222	-22.01	161.0	62.83	139.6	0.
223	-22.11	161.5	63.02	140.6	0.
224	-22.21	162.0	63.22	141.6	0.
225	-22.31	162.5	63.42	142.6	0.
226	-22.41	163.0	63.62	143.6	0.
227	-22.51	163.5	63.81	144.6	0.
228	-22.61	164.0	64.01	145.6	0.
229	-22.71	164.5	64.21	146.6	0.
230	-22.81	165.0	64.41	147.6	0.
231	-22.91	165.5	64.60	148.6	0.
232	-23.01	166.0	64.80	149.6	0.
233	-23.11	166.5	65.00	150.6	0.
234	-23.21	167.1	65.19	151.6	0.
235	-23.31	167.6	65.39	152.6	0.
236	-23.41	168.1	65.59	153.6	0.
237	-23.51	168.6	65.79	154.6	0.
238	-23.61	169.1	65.98	155.6	0.
239	-23.71	169.6	66.18	156.6	0.
240	-23.81	170.1	66.38	157.6	0.
241	-23.91	170.6	66.58	158.6	0.
242	-24.01	171.1	66.77	159.6	0.
243	-24.11	171.6	66.97	160.6	0.
244	-24.21	172.1	67.17	161.6	0.
245	-24.31	172.6	67.36	162.6	0.
246	-24.41	173.1	67.56	163.6	0.
247	-24.51	173.6	67.76	164.6	0.
248	-24.61	174.1	67.96	165.6	0.
249	-24.71	174.6	68.15	166.6	0.
250	-24.81	175.1	68.35	167.6	0.
251	-24.91	175.6	68.55	168.6	0.

252	-25.01	176.1	68.75	169.6	0.
253	-25.11	136.3	96.84	170.6	0.
254	-25.21	136.1	97.15	171.6	0.
255	-25.31	135.9	97.46	172.6	0.
256	-25.41	135.7	97.77	173.6	0.
257	-25.51	135.5	98.07	174.6	0.
258	-25.61	135.3	98.38	175.6	0.
259	-25.71	135.1	98.69	176.6	0.
260	-25.81	134.9	99.00	177.6	0.
261	-25.91	134.7	99.31	178.6	0.
262	-26.01	134.5	99.61	179.6	0.
263	-26.11	134.4	99.92	180.6	0.
264	-26.21	134.2	100.2	181.6	0.
265	-26.31	134.0	100.5	182.6	0.

PARATIE 7.00

Ce.A.S. s.r.l. - Milano

PAG. 64

2 FEBBRAIO 2018 17:31:50

History 0 - PALIFI1500

SOIL EL.	QUOTA	SIGMA-H	TAGLIO	PR. ACQUA	GRAD. MAX
266	-26.41	133.8	100.8	183.6	0.
267	-26.51	133.6	101.2	184.6	0.
268	-26.61	133.4	101.5	185.6	0.
269	-26.71	133.2	101.8	186.6	0.
270	-26.81	133.1	102.1	187.6	0.
271	-26.91	132.9	102.4	188.6	0.
272	-27.01	132.7	102.7	189.6	0.
273	-27.11	132.5	103.0	190.6	0.
274	-27.21	132.4	103.3	191.6	0.
275	-27.31	132.2	103.6	192.6	0.
276	-27.41	132.0	103.9	193.6	0.
277	-27.51	131.9	104.2	194.6	0.
278	-27.61	131.7	104.5	195.6	0.
279	-27.71	131.6	104.8	196.6	0.
280	-27.81	131.4	105.2	197.6	0.
281	-27.91	131.7	105.5	198.6	0.
282	-28.01	132.1	105.8	199.6	0.
283	-28.11	132.4	106.1	200.6	0.
284	-28.21	132.8	106.4	201.6	0.
285	-28.31	133.2	106.7	202.6	0.
286	-28.41	133.6	107.0	203.6	0.
287	-28.51	134.0	107.3	204.6	0.
288	-28.61	134.4	107.6	205.6	0.
289	-28.71	134.7	107.9	206.6	0.
290	-28.81	135.1	108.2	207.6	0.
291	-28.91	135.5	108.5	208.6	0.
292	-29.01	135.9	108.8	209.6	0.
293	-29.11	136.3	109.2	210.6	0.
294	-29.21	136.7	109.5	211.6	0.
295	-29.31	137.1	109.8	212.6	0.
296	-29.41	137.4	110.1	213.6	0.
297	-29.51	137.8	110.4	214.6	0.

298	-29.61	138.2	110.7	215.6	0.
299	-29.71	138.6	111.0	216.6	0.
300	-29.81	139.0	111.3	217.6	0.
301	-29.91	139.4	111.6	218.6	0.
302	-30.01	139.7	111.9	219.6	0.
303	-30.11	140.1	112.2	220.6	0.
304	-30.21	140.5	112.5	221.6	0.
305	-30.31	140.9	112.9	222.6	0.
306	-30.41	141.3	113.2	223.6	0.
307	-30.51	141.7	113.5	224.6	0.
308	-30.61	142.1	113.8	225.6	0.
309	-30.71	142.4	114.1	226.6	0.
310	-30.81	142.8	114.4	227.6	0.
311	-30.91	143.2	114.7	228.6	0.

PARATIE 7.00

Ce.A.S. s.r.l. - Milano

PAG. 65

2 FEBBRAIO 2018 17:31:50

History 0 - PALIFI1500

SOIL EL.	QUOTA	SIGMA-H	TAGLIO	PR. ACQUA	GRAD. MAX
312	-31.01	143.6	115.0	229.6	0.
313	-31.11	144.0	115.3	230.6	0.
314	-31.21	144.4	115.6	231.6	0.
315	-31.31	144.7	115.9	232.6	0.
316	-31.41	145.1	116.2	233.6	0.
317	-31.51	145.5	116.5	234.6	0.
318	-31.61	145.9	116.9	235.6	0.
319	-31.71	146.3	117.2	236.6	0.
320	-31.81	146.7	117.5	237.6	0.
321	-31.91	147.0	117.8	238.6	0.
322	-32.01	147.4	118.1	239.6	0.
323	-32.11	147.8	118.4	240.6	0.
324	-32.21	148.2	118.7	241.6	0.
325	-32.31	148.6	119.0	242.6	0.
326	-32.41	149.0	119.3	243.6	0.
327	-32.51	149.4	119.6	244.6	0.
328	-32.61	149.7	119.9	245.6	0.
329	-32.71	150.1	120.2	246.6	0.
330	-32.81	150.5	120.5	247.6	0.
331	-32.91	150.9	120.9	248.6	0.
332	-33.01	151.3	121.2	249.6	0.
333	-33.11	151.7	121.5	250.6	0.
334	-33.21	152.0	121.8	251.6	0.
335	-33.31	152.4	122.1	252.6	0.
336	-33.41	152.8	122.4	253.6	0.
337	-33.50	153.2	122.7	254.5	0.

PARATIE 7.00

Ce.A.S. s.r.l. - Milano

PAG. 66

2 FEBBRAIO 2018 17:31:50

History 0 - PALIFI1500

RIASSUNTO SPINTE NEGLI ELEMENTI TERRENO

(LE SPINTE SONO CALCOLATE INTEGRANDO GLI SFORZI NEI SINGOLI ELEMENTI MOLLA)

SPINTA EFFICACE VERA = Integrale delle pressioni orizzontali efficaci in tutti gli elementi nel gruppo: unita' di misura kN/m

SPINTA ACQUA = Integrale delle pressioni interstiziali in tutti gli elementi nel gruppo: unita' di misura kN/m

SPINTA TOTALE VERA = Somma della SPINTA EFFICACE e della SPINTA DELL'ACQUA: e' l' azione totale sulla parete: unita' di misura kN/m

SPINTA ATTIVA POSSIBILE = La minima spinta che puo' essere esercitata da questo gruppo di elementi terreno, in questa fase: unita' di misura kN/m

SPINTA PASSIVA POSSIBILE = La massima spinta che puo' essere esercitata da questo gruppo di elementi terreno, in questa fase: unita' di misura kN/m

RAPPORTO PASSIVA/VERA = e' il rapporto tra la massima spinta possibile e la spinta efficace vera: fornisce un'indicazione su quanta spinta passiva venga mobilitata;

SPINTA PASSIVA MOBILITATA = e' l'inverso del rapporto precedente, espresso in unita' percentuale: indica quanta parte della massima spinta possibile e' stata mobilitata;

RAPPORTO VERA/ATTIVA = e' il rapporto tra la spinta efficace vera e la minima spinta possibile: fornisce un'indicazione di quanto questa porzione di terreno sia prossima alla condizione di massimo rilascio.

FASE	1	GRUPPO -->	UHLe	DHLe
SPINTA EFFICACE VERA		3701.2	3701.2	
SPINTA ACQUA		3238.5	3238.5	
SPINTA TOTALE VERA		6939.8	6939.8	
SPINTA ATTIVA (POSSIBILE)		2071.8	2071.8	

SPINTA EFFICACE VERA	3701.2	3701.2
SPINTA ACQUA	3238.5	3238.5
SPINTA TOTALE VERA	6939.8	6939.8
SPINTA ATTIVA (POSSIBILE)	2071.8	2071.8

SPINTA PASSIVA (POSSIBILE)	41411.	41411.
RAPPORTO PASSIVA/VERA	11.189	11.189
SPINTA PASSIVA MOBILITATA	9.%	9.%
RAPPORTO VERA/ATTIVA	1.7864	1.7864

PARATIE 7.00

Ce.A.S. s.r.l. - Milano

PAG. 67

2 FEBBRAIO 2018 17:31:50

History 0 - PALIFI1500

FASE	2	GRUPPO -->	UHLe	DHLe
SPINTA EFFICACE VERA		2968.0	2641.4	
SPINTA ACQUA		3238.5	3238.5	
SPINTA TOTALE VERA		6206.5	5879.9	
SPINTA ATTIVA (POSSIBILE)		2162.7	754.05	
SPINTA PASSIVA (POSSIBILE)		43159.	17290.	
RAPPORTO PASSIVA/VERA		14.541	6.5458	
SPINTA PASSIVA MOBILITATA		7.%	15.%	
RAPPORTO VERA/ATTIVA		1.3724	3.5030	

FASE	3	GRUPPO -->	UHLe	DHLe
SPINTA EFFICACE VERA		2923.9	2618.9	
SPINTA ACQUA		3238.5	3238.5	
SPINTA TOTALE VERA		6162.4	5857.4	
SPINTA ATTIVA (POSSIBILE)		2071.8	754.05	
SPINTA PASSIVA (POSSIBILE)		41411.	17290.	
RAPPORTO PASSIVA/VERA		14.163	6.6021	
SPINTA PASSIVA MOBILITATA		7.%	15.%	
RAPPORTO VERA/ATTIVA		1.4113	3.4731	

FASE	4	GRUPPO -->	UHLe	DHLe
SPINTA EFFICACE VERA		2925.0	2618.4	
SPINTA ACQUA		3238.5	3238.5	
SPINTA TOTALE VERA		6163.6	5857.0	
SPINTA ATTIVA (POSSIBILE)		2071.8	754.05	
SPINTA PASSIVA (POSSIBILE)		41411.	17290.	
RAPPORTO PASSIVA/VERA		14.158	6.6032	
SPINTA PASSIVA MOBILITATA		7.%	15.%	
RAPPORTO VERA/ATTIVA		1.4118	3.4725	

FASE	5	GRUPPO -->	UHL ϵ	DHL ϵ
SPINTA EFFICACE VERA		2925.6	2618.2	
SPINTA ACQUA		3238.5	3238.5	
SPINTA TOTALE VERA		6164.1	5856.7	
SPINTA ATTIVA (POSSIBILE)		2071.8	754.05	
SPINTA PASSIVA (POSSIBILE)		41411.	17290.	
RAPPORTO PASSIVA/VERA		14.155	6.6038	
SPINTA PASSIVA MOBILITATA		7.%	15.%	
RAPPORTO VERA/ATTIVA		1.4121	3.4722	

PARATIE 7.00

Ce.A.S. s.r.l. - Milano

PAG. 68

2 FEBBRAIO 2018 17:31:50

History 0 - PALIFI1500

FASE	6	GRUPPO -->	UHLe	DHLe
SPINTA EFFICACE VERA		2925.5	2618.3	
SPINTA ACQUA		3238.5	3238.5	
SPINTA TOTALE VERA		6164.0	5856.8	
SPINTA ATTIVA (POSSIBILE)		2071.8	754.05	
SPINTA PASSIVA (POSSIBILE)		41411.	17290.	
RAPPORTO PASSIVA/VERA		14.156	6.6036	
SPINTA PASSIVA MOBILITATA		7.%	15.%	
RAPPORTO VERA/ATTIVA		1.4120	3.4723	

FASE	7	GRUPPO -->	UHLe	DHLe
SPINTA EFFICACE VERA		3050.8	2692.4	
SPINTA ACQUA		3238.5	3238.5	
SPINTA TOTALE VERA		6289.3	5930.9	
SPINTA ATTIVA (POSSIBILE)		2253.6	754.05	
SPINTA PASSIVA (POSSIBILE)		44907.	17290.	
RAPPORTO PASSIVA/VERA		14.720	6.4218	
SPINTA PASSIVA MOBILITATA		7.%	16.%	
RAPPORTO VERA/ATTIVA		1.3538	3.5706	

FASE	8	GRUPPO -->	UHLe	DHLe
SPINTA EFFICACE VERA		2886.4	2651.1	
SPINTA ACQUA		3238.5	3238.5	
SPINTA TOTALE VERA		6124.9	5889.6	
SPINTA ATTIVA (POSSIBILE)		2071.8	754.05	
SPINTA PASSIVA (POSSIBILE)		22198.	9022.5	
RAPPORTO PASSIVA/VERA		7.6904	3.4033	
SPINTA PASSIVA MOBILITATA		13.%	29.%	
RAPPORTO VERA/ATTIVA		1.3932	3.5158	

Combinazione A2M2

PARATIE 7.00

Ce.A.S. s.r.l. - Milano

PAG. 1

2 FEBBRAIO 2018 17:32:07

History 0 - PALIFI1500

```
*****
**          P   A   R   A   T   I   E          **
**          RELEASE 7.00      VERSIONE WIN      **
**          Ce.A.S. s.r.l. - Viale Giustiniano, 10  **
**          20129 MILANO                         **
*****
```

JOBNAME C:\PI-PROGETTI\CVB\LAVORO\BENAZZA\Modelli_Paratie\A2M2_8.05_HIST00

2 FEBBRAIO 2018 17:32:07

PARATIE 7.00

Ce.A.S. s.r.l. - Milano

PAG. 2

2 FEBBRAIO 2018 17:32:07

History 0 - PALIFI1500

ELENCO DEI DATI DI INPUT (PARAGEN)

Per il significato dei vari comandi
si faccia riferimento al manuale di
input PARAGEN, versione 7.00.

N. comando

```

1: * Paratie for Windows version 7.0
2: * Filename=
  <c:\pi-progetti\cvb\lavoro\benazza\modelli_paratie\a2m2_8.05_hist00.
3: * project with "run time" parameters
4: * Force=kN Length=m
5: *
6: units m kN
7: title History 0 - PALIFI1500
8: delta 0.1
9: option param itemax 20
10: option noprint echo
11: option noprint displ
12: option noprint react
13: option noprint stresses
14:   wall LeftWall 0 -33.5 0
15: *
16: soil UHLeft LeftWall -33.5 0 1 0
17: soil DHLeft LeftWall -33.5 0 2 180
18: *
19: prescribe LeftWall -2.51 1 0 REL 1 8
20: *
21: material Rck30 3.12E+007
22: *
23: beam beam LeftWall -33.5 0 Rck30 1.20602 00 00
24: *
25: * Soil Profile
26: *
```

```
27:     ldata          1 0
28:     weight        20 10 10
29:     atrest       0.510618 0.5 1
30:     resistance   0 29.3 0.288 4.253
31:     young        30000 45000
32:     endlayer
33:     ldata          2 -8.05
34:     weight        19 9 10
35:     atrest       0.636749 0.5 1
36:     resistance   0 21.3 0.403 2.689
37:     young        5000 14000
38:     endlayer
```

PARATIE 7.00

Ce.A.S. s.r.l. - Milano

PAG. 3

2 FEBBRAIO 2018 17:32:07

History 0 - PALIFI1500

N. comando

```

39:     ldata          3 -25.05
40:     weight         20 10 10
41:     atrest         0.470081 0.5 1
42:     resistance    0 32 0.256 5.052
43:     young          50000 75000
44:     endlayer
45: *
46: step 1 : REALIZZAZIONE PALI
47:     setwall LeftWall
48:     geom 0 0
49:     water -8.05 0
50:     add beam
51: endstep
52: *
53: step 2 : FONDO SCAVO
54:     setwall LeftWall
55:     geom 0 -8.05
56:     surcharge 10 0 0 0
57: endstep
58: *
59: step 3 : SPINTA TERRENO
60:     setwall LeftWall
61:     surcharge 0 0 0 0
62: endstep
63: *
64: step 4 : FASE 3 + RITIRO
65:     load step LeftWall -1.35 1 11.7
66:     setwall LeftWall
67: endstep
68: *
69: step 5 : FASE 3 + TERMICA
70:     load step LeftWall -1.35 1 17.5

```

```
71:      setwall LeftWall
72: endstep
73: *
74: step 6 :  FASE 3 + FRENATURA
75:      load step LeftWall -1.35 1 16
76:      setwall LeftWall
77:      surcharge 0 0 0 0
78: endstep
79: *
80: step 7 :  FASE 3 + 20 kPa
81:      setwall LeftWall
82:      surcharge 20 0 0 0
83: endstep
84: *
```

PARATIE 7.00

Ce.A.S. s.r.l. - Milano

PAG. 4

2 FEBBRAIO 2018 17:32:07

History 0 - PALIFI1500

N. comando

```

85: step 8 : SISMA
86:     change 1 U-KP=3.268
87:     change 1 D-KP=3.26829
88:     change 2 U-KP=2.173
89:     change 2 D-KP=2.17345
90:     change 3 U-KP=3.757
91:     change 3 D-KP=3.7569
92:     load constant LeftWall -1.35 1 153
93:     dload constant LeftWall -1.51 0.91 0 0.91
94:     dload constant LeftWall -10.05 16.8389 0 16.8389
95:     dload constant LeftWall -3.51 5.32 -1.51 5.32
96:     dload constant LeftWall -33.5 2.7 -3.51 2.7
97:     setwall LeftWall
98:     surcharge 0 0 0 0
99: endstep
100: *
101: *
```

PARATIE 7.00

Ce.A.S. s.r.l. - Milano

PAG. 5

2 FEBBRAIO 2018 17:32:07

History 0 - PALIFI1500

RIASSUNTO PARAMETRI GEOTECNICI PER LA FASE 1

LAYER 1

natura 1=granulare, 2=argilla	= 1.0000	
quota superiore	= 0.0000	m
quota inferiore	= -8.0500	m
peso fuori falda	= 20.000	kN/m³
peso efficace in falda	= 10.000	kN/m³
peso dell'acqua	= 10.000	kN/m³
angolo di attrito	= 29.300	DEG (A MONTE)
coeff. spinta attiva ka	= 0.28800	(A MONTE)
coeff. spinta passiva kp	= 4.2530	(A MONTE)
Konc normal consolidato	= 0.51062	
esponente di OCR	= 0.50000	
OCR: grado di sovraconsolidazione	= 1.0000	
modello di rigidezza	= 1.0000	
modulo el. compr. vergine	= 30000.	kPa
modulo el. scarico/ricarico	= 45000.	kPa
natura 1=granulare, 2=argilla	= 1.0000	(A VALLE)
angolo di attrito	= 29.300	DEG (A VALLE)
coeff. spinta attiva ka	= 0.28800	(A VALLE)
coeff. spinta passiva kp	= 4.2530	(A VALLE)

LAYER 2

natura 1=granulare, 2=argilla	= 1.0000	
quota superiore	= -8.0500	m
quota inferiore	= -25.050	m
peso fuori falda	= 19.000	kN/m³
peso efficace in falda	= 9.0000	kN/m³
peso dell'acqua	= 10.000	kN/m³
angolo di attrito	= 21.300	DEG (A MONTE)
coeff. spinta attiva ka	= 0.40300	(A MONTE)

coeff. spinta passiva kp	=	2.6890	(A MONTE)
Konc normal consolidato	=	0.63675	
esponente di OCR	=	0.50000	
OCR: grado di sovraconsolidazione	=	1.0000	
modello di rigidezza	=	1.0000	
modulo el. compr. vergine	=	5000.0	kPa
modulo el. scarico/ricarico	=	14000.	kPa
natura 1=granulare, 2=argilla	=	1.0000	(A VALLE)
angolo di attrito	=	21.300	DEG (A VALLE)
coeff. spinta attiva ka	=	0.40300	(A VALLE)
coeff. spinta passiva kp	=	2.6890	(A VALLE)

PARATIE 7.00

Ce.A.S. s.r.l. - Milano

PAG. 6

2 FEBBRAIO 2018 17:32:07

History 0 - PALIFI1500

RIASSUNTO PARAMETRI GEOTECNICI PER LA FASE 1

LAYER 3

natura 1=granulare, 2=argilla	= 1.0000		
quota superiore	= -25.050	m	
quota inferiore	= -0.10000E+31	m	
peso fuori falda	= 20.000	kN/m³	
peso efficace in falda	= 10.000	kN/m³	
peso dell'acqua	= 10.000	kN/m³	
angolo di attrito	= 32.000	DEG	(A MONTE)
coeff. spinta attiva ka	= 0.25600		(A MONTE)
coeff. spinta passiva kp	= 5.0520		(A MONTE)
Konc normal consolidato	= 0.47008		
esponente di OCR	= 0.50000		
OCR: grado di sovraconsolidazione	= 1.0000		
modello di rigidezza	= 1.0000		
modulo el. compr. vergine	= 50000.	kPa	
modulo el. scarico/ricarico	= 75000.	kPa	
natura 1=granulare, 2=argilla	= 1.0000		(A VALLE)
angolo di attrito	= 32.000	DEG	(A VALLE)
coeff. spinta attiva ka	= 0.25600		(A VALLE)
coeff. spinta passiva kp	= 5.0520		(A VALLE)

RIASSUNTO PARAMETRI GEOTECNICI PER LA FASE 2

(SOLO I PARAMETRI CHE POSSONO VARIARE)

NESSUN CAMBIAMENTO RISPETTO AL PASSO PRECEDENTE

RIASSUNTO PARAMETRI GEOTECNICI PER LA FASE 3

(SOLO I PARAMETRI CHE POSSONO VARIARE)

NESSUN CAMBIAMENTO RISPETTO AL PASSO PRECEDENTE

RIASSUNTO PARAMETRI GEOTECNICI PER LA FASE 4

(SOLO I PARAMETRI CHE POSSONO VARIARE)

NESSUN CAMBIAMENTO RISPETTO AL PASSO PRECEDENTE

RIASSUNTO PARAMETRI GEOTECNICI PER LA FASE 5

(SOLO I PARAMETRI CHE POSSONO VARIARE)

NESSUN CAMBIAMENTO RISPETTO AL PASSO PRECEDENTE

RIASSUNTO PARAMETRI GEOTECNICI PER LA FASE 6

PARATIE 7.00

Ce.A.S. s.r.l. - Milano

PAG. 7

2 FEBBRAIO 2018 17:32:07

History 0 - PALIFI1500

(SOLO I PARAMETRI CHE POSSONO VARIARE)

NESSUN CAMBIAMENTO RISPETTO AL PASSO PRECEDENTE

RIASSUNTO PARAMETRI GEOTECNICI PER LA FASE 7

(SOLO I PARAMETRI CHE POSSONO VARIARE)

NESSUN CAMBIAMENTO RISPETTO AL PASSO PRECEDENTE

RIASSUNTO PARAMETRI GEOTECNICI PER LA FASE 8

(SOLO I PARAMETRI CHE POSSONO VARIARE)

LAYER 1

coeff. spinta passiva kp	= 3.2680	(A MONTE)
coeff. spinta passiva kp	= 3.2683	(A VALLE)

LAYER 2

coeff. spinta passiva kp	= 2.1730	(A MONTE)
coeff. spinta passiva kp	= 2.1734	(A VALLE)

LAYER 3

coeff. spinta passiva kp	= 3.7570	(A MONTE)
coeff. spinta passiva kp	= 3.7569	(A VALLE)

PARATIE 7.00

Ce.A.S. s.r.l. - Milano

PAG. 8

2 FEBBRAIO 2018 17:32:07

History 0 - PALIFI1500

RIASSUNTO DATI RELATIVI ALLA FASE 1

WALL LeftWall

coordinata y	= 0.0000	m
quota piano campagna	= 0.0000	m
quota del fondo scavo	= 0.0000	m
quota della falda	= -8.0500	m
sovraffabbricato a monte	= 0.0000	kPa
quota del sovraffabbricato a monte	= 0.0000	m
depressione falda a valle	= 0.0000	m
sovraffabbricato a valle	= 0.0000	kPa
quota del sovraffabbricato a valle	=-0.99900E+30	m
quota di taglio	= 0.0000	m
quota di equil. pressioni dell'acqua	= -33.500	m
indicatore comportamento acqua	= 0.0000	(1=REMOVE)
opzione aggiornamento pressioni acqua	= 0.0000	(1=NO UPD)
accelerazione sismica orizz.	= 0.0000	[g]
accel. sismica vert. a monte	= 0.0000	[g]
accel. sismica vert. a valle	= 0.0000	[g]
angolo beta a monte	= 0.0000	[°]
delta/phi a monte	= 0.0000	
angolo beta a valle	= 0.0000	[°]
delta/phi a valle	= 0.0000	
opzione dyn. acqua	= 0.0000	(1=pervious)
rapporto pressioni in eccesso Ru	= 0.0000	
Wood bottom pressure	= 0.0000	kPa
Wood top pressure	= 0.0000	m
Wood bottom pressure elev.	= 0.0000	kPa
Wood top pressure elev.	= 0.0000	m

RIASSUNTO DATI RELATIVI ALLA FASE 2

WALL LeftWall

coordinata y	=	0.0000	m
quota piano campagna	=	0.0000	m
quota del fondo scavo	=	-8.0500	m
quota della falda	=	-8.0500	m
sovraffabbricato a monte	=	10.000	kPa
quota del sovraffabbricato a monte	=	0.0000	m
depressione falda a valle	=	0.0000	m
sovraffabbricato a valle	=	0.0000	kPa
quota del sovraffabbricato a valle	=	0.0000	m
quota di taglio	=	0.0000	m

PARATIE 7.00

Ce.A.S. s.r.l. - Milano

PAG. 9

2 FEBBRAIO 2018 17:32:07

History 0 - PALIFI1500

RIASSUNTO DATI RELATIVI ALLA FASE 2

quota di equil. pressioni dell'acqua	= -33.500	m
indicatore comportamento acqua	= 0.0000	(1=REMOVE)
opzione aggiornamento pressioni acqua	= 0.0000	(1=NO UPD)
accelerazione sismica orizz.	= 0.0000	[g]
accel. sismica vert. a monte	= 0.0000	[g]
accel. sismica vert. a valle	= 0.0000	[g]
angolo beta a monte	= 0.0000	[°]
delta/phi a monte	= 0.0000	
angolo beta a valle	= 0.0000	[°]
delta/phi a valle	= 0.0000	
opzione dyn. acqua	= 0.0000	(1=pervious)
rapporto pressioni in eccesso Ru	= 0.0000	
Wood bottom pressure	= 0.0000	kPa
Wood top pressure	= 0.0000	m
Wood bottom pressure elev.	= 0.0000	kPa
Wood top pressure elev.	= 0.0000	m

RIASSUNTO DATI RELATIVI ALLA FASE 3

WALL LeftWall

coordinata y	= 0.0000	m
quota piano campagna	= 0.0000	m
quota del fondo scavo	= -8.0500	m
quota della falda	= -8.0500	m
sovraffabbricato a monte	= 0.0000	kPa
quota del sovraffabbricato a monte	= 0.0000	m
depressione falda a valle	= 0.0000	m
sovraffabbricato a valle	= 0.0000	kPa
quota del sovraffabbricato a valle	= 0.0000	m
quota di taglio	= 0.0000	m
quota di equil. pressioni dell'acqua	= -33.500	m

indicatore comportamento acqua	=	0.0000	(1=REMOVE)
opzione aggiornamento pressioni acqua	=	0.0000	(1=NO UPD)
accelerazione sismica orizz.	=	0.0000	[g]
accel. sismica vert. a monte	=	0.0000	[g]
accel. sismica vert. a valle	=	0.0000	[g]
angolo beta a monte	=	0.0000	[°]
delta/phi a monte	=	0.0000	
angolo beta a valle	=	0.0000	[°]
delta/phi a valle	=	0.0000	
opzione dyn. acqua	=	0.0000	(1=pervious)
rapporto pressioni in eccesso Ru	=	0.0000	
Wood bottom pressure	=	0.0000	kPa
Wood top pressure	=	0.0000	m
Wood bottom pressure elev.	=	0.0000	kPa

PARATIE 7.00

Ce.A.S. s.r.l. - Milano

PAG. 10

2 FEBBRAIO 2018 17:32:07

History 0 - PALIFI1500

RIASSUNTO DATI RELATIVI ALLA FASE 3

Wood top pressure elev. = 0.0000 m

RIASSUNTO DATI RELATIVI ALLA FASE 4

WALL LeftWall

coordinata y	= 0.0000	m
quota piano campagna	= 0.0000	m
quota del fondo scavo	= -8.0500	m
quota della falda	= -8.0500	m
sovrafflato a monte	= 0.0000	kPa
quota del sovrafflato a monte	= 0.0000	m
depressione falda a valle	= 0.0000	m
sovrafflato a valle	= 0.0000	kPa
quota del sovrafflato a valle	= 0.0000	m
quota di taglio	= 0.0000	m
quota di equil. pressioni dell'acqua	= -33.500	m
indicatore comportamento acqua	= 0.0000	(1=REMOVE)
opzione aggiornamento pressioni acqua	= 0.0000	(1=NO UPD)
accelerazione sismica orizz.	= 0.0000	[g]
accel. sismica vert. a monte	= 0.0000	[g]
accel. sismica vert. a valle	= 0.0000	[g]
angolo beta a monte	= 0.0000	[°]
delta/phi a monte	= 0.0000	
angolo beta a valle	= 0.0000	[°]
delta/phi a valle	= 0.0000	
opzione dyn. acqua	= 0.0000	(1=pervious)
rapporto pressioni in eccesso Ru	= 0.0000	
Wood bottom pressure	= 0.0000	kPa
Wood top pressure	= 0.0000	m
Wood bottom pressure elev.	= 0.0000	kPa
Wood top pressure elev.	= 0.0000	m

RIASSUNTO DATI RELATIVI ALLA FASE 5

WALL LeftWall

coordinata y	= 0.0000	m
quota piano campagna	= 0.0000	m
quota del fondo scavo	= -8.0500	m
quota della falda	= -8.0500	m
sovraffabbricato a monte	= 0.0000	kPa
quota del sovraffabbricato a monte	= 0.0000	m
depressione falda a valle	= 0.0000	m
sovraffabbricato a valle	= 0.0000	kPa
quota del sovraffabbricato a valle	= 0.0000	m

PARATIE 7.00

Ce.A.S. s.r.l. - Milano

PAG. 11

2 FEBBRAIO 2018 17:32:07

History 0 - PALIFI1500

RIASSUNTO DATI RELATIVI ALLA FASE 5

quota di taglio	= 0.0000	m
quota di equil. pressioni dell'acqua	= -33.500	m
indicatore comportamento acqua	= 0.0000	(1=REMOVE)
opzione aggiornamento pressioni acqua	= 0.0000	(1=NO UPD)
accelerazione sismica orizz.	= 0.0000	[g]
accel. sismica vert. a monte	= 0.0000	[g]
accel. sismica vert. a valle	= 0.0000	[g]
angolo beta a monte	= 0.0000	[°]
delta/phi a monte	= 0.0000	
angolo beta a valle	= 0.0000	[°]
delta/phi a valle	= 0.0000	
opzione dyn. acqua	= 0.0000	(1=pervious)
rapporto pressioni in eccesso Ru	= 0.0000	
Wood bottom pressure	= 0.0000	kPa
Wood top pressure	= 0.0000	m
Wood bottom pressure elev.	= 0.0000	kPa
Wood top pressure elev.	= 0.0000	m

RIASSUNTO DATI RELATIVI ALLA FASE 6

WALL LeftWall

coordinata y	= 0.0000	m
quota piano campagna	= 0.0000	m
quota del fondo scavo	= -8.0500	m
quota della falda	= -8.0500	m
sovraffabbricato a monte	= 0.0000	kPa
quota del sovraffabbricato a monte	= 0.0000	m
depressione falda a valle	= 0.0000	m
sovraffabbricato a valle	= 0.0000	kPa
quota del sovraffabbricato a valle	= 0.0000	m
quota di taglio	= 0.0000	m

quota di equil. pressioni dell'acqua	=	-33.500	m
indicatore comportamento acqua	=	0.0000	(1=REMOVE)
opzione aggiornamento pressioni acqua	=	0.0000	(1=NO UPD)
accelerazione sismica orizz.	=	0.0000	[g]
accel. sismica vert. a monte	=	0.0000	[g]
accel. sismica vert. a valle	=	0.0000	[g]
angolo beta a monte	=	0.0000	[°]
delta/phi a monte	=	0.0000	
angolo beta a valle	=	0.0000	[°]
delta/phi a valle	=	0.0000	
opzione dyn. acqua	=	0.0000	(1=pervious)
rapporto pressioni in eccesso Ru	=	0.0000	
Wood bottom pressure	=	0.0000	kPa
Wood top pressure	=	0.0000	m

PARATIE 7.00

Ce.A.S. s.r.l. - Milano

PAG. 12

2 FEBBRAIO 2018 17:32:07

History 0 - PALIFI1500

RIASSUNTO DATI RELATIVI ALLA FASE 6

Wood bottom pressure elev.	= 0.0000	kPa
Wood top pressure elev.	= 0.0000	m

RIASSUNTO DATI RELATIVI ALLA FASE 7

WALL LeftWall

coordinata y	= 0.0000	m
quota piano campagna	= 0.0000	m
quota del fondo scavo	= -8.0500	m
quota della falda	= -8.0500	m
sovraffabbricato a monte	= 20.000	kPa
quota del sovraffabbricato a monte	= 0.0000	m
depressione falda a valle	= 0.0000	m
sovraffabbricato a valle	= 0.0000	kPa
quota del sovraffabbricato a valle	= 0.0000	m
quota di taglio	= 0.0000	m
quota di equil. pressioni dell'acqua	= -33.500	m
indicatore comportamento acqua	= 0.0000	(1=REMOVE)
opzione aggiornamento pressioni acqua	= 0.0000	(1=NO UPD)
accelerazione sismica orizz.	= 0.0000	[g]
accel. sismica vert. a monte	= 0.0000	[g]
accel. sismica vert. a valle	= 0.0000	[g]
angolo beta a monte	= 0.0000	[°]
delta/phi a monte	= 0.0000	
angolo beta a valle	= 0.0000	[°]
delta/phi a valle	= 0.0000	
opzione dyn. acqua	= 0.0000	(1=pervious)
rapporto pressioni in eccesso Ru	= 0.0000	
Wood bottom pressure	= 0.0000	kPa
Wood top pressure	= 0.0000	m
Wood bottom pressure elev.	= 0.0000	kPa

Wood top pressure elev. = 0.0000 m

RIASSUNTO DATI RELATIVI ALLA FASE 8

WALL LeftWall

coordinata y	= 0.0000	m
quota piano campagna	= 0.0000	m
quota del fondo scavo	= -8.0500	m
quota della falda	= -8.0500	m
sovraffabbricato a monte	= 0.0000	kPa
quota del sovraffabbricato a monte	= 0.0000	m
depressione falda a valle	= 0.0000	m
sovraffabbricato a valle	= 0.0000	kPa

PARATIE 7.00

Ce.A.S. s.r.l. - Milano

PAG. 13

2 FEBBRAIO 2018 17:32:07

History 0 - PALIFI1500

RIASSUNTO DATI RELATIVI ALLA FASE 8

quota del sovraccarico a valle	=	0.0000	m
quota di taglio	=	0.0000	m
quota di equil. pressioni dell'acqua	=	-33.500	m
indicatore comportamento acqua	=	0.0000	(1=REMOVE)
opzione aggiornamento pressioni acqua	=	0.0000	(1=NO UPD)
accelerazione sismica orizz.	=	0.0000	[g]
accel. sismica vert. a monte	=	0.0000	[g]
accel. sismica vert. a valle	=	0.0000	[g]
angolo beta a monte	=	0.0000	[°]
delta/phi a monte	=	0.0000	
angolo beta a valle	=	0.0000	[°]
delta/phi a valle	=	0.0000	
opzione dyn. acqua	=	0.0000	(1=pervious)
rapporto pressioni in eccesso Ru	=	0.0000	
Wood bottom pressure	=	0.0000	kPa
Wood top pressure	=	0.0000	m
Wood bottom pressure elev.	=	0.0000	kPa
Wood top pressure elev.	=	0.0000	m

PARATIE 7.00

Ce.A.S. s.r.l. - Milano

PAG. 14

2 FEBBRAIO 2018 17:32:07

History 0 - PALIFI1500

RIASSUNTO ELEMENTI

=====

RIASSUNTO ELEMENTI SOIL					
Name	Wall	Z1	Z2	Flag	Angle
UHLeft LeftWall 0. -33.50 UPHILL 0.					
DHLeft LeftWall 0. -33.50 DOWNHILL 180.0					

RIASSUNTO ELEMENTI BEAM					
Name	Wall	Z1	Z2	Mat	thick
beam LeftWall 0. -33.50 _ 1.206					

PARATIE 7.00

Ce.A.S. s.r.l. - Milano

PAG. 15

2 FEBBRAIO 2018 17:32:07

History 0 - PALIFI1500

RIASSUNTO DATI VARI

=====

MATERIALI	
<hr/>	
Name	YOUNG MODULUS
+-----+	+-----+
	kPa
+-----+	+-----+
Rck3	3.12E+007
+-----+	+-----+

SPOSTAMENTI IMPRESSI								
Wall	Zeta	Dir.	type	value		from	to	
					units	step	step	
Left	-2.51	ydispl	REL	0	m	1	8	

PARATIE 7.00

Ce.A.S. s.r.l. - Milano

PAG. 16

2 FEBBRAIO 2018 17:32:07

History 0 - PALIFI1500

DISTRIBUTED LOAD SUMMARY

Wall	From	To	Z1	P1	Z2	P2
	step	step				
Left	8	8	-1.5100	0.91000	0.0000	0.91000
Left	8	8	-10.050	16.839	0.0000	16.839
Left	8	8	-3.5100	5.3200	-1.5100	5.3200
Left	8	8	-33.500	2.7000	-3.5100	2.7000

UNITS FOR Z1 , Z2 =m

UNITS FOR P1 , P2 =kPa

PARATIE 7.00

Ce.A.S. s.r.l. - Milano

PAG. 17

2 FEBBRAIO 2018 17:32:07

History 0 - PALIFI1500

CONCENTRATED LOAD SUMMARY

Wall	From step	To step	ZETA	FORCE	MOMENT
Left	4	4	-1.3500	11.700	0.0000
Left	5	5	-1.3500	17.500	0.0000
Left	6	6	-1.3500	16.000	0.0000
Left	8	8	-1.3500	153.00	0.0000

UNITS FOR ZETA =m

FORCE UNITS =kN/m

MOMENT UNITS =kN*m/m

PARATIE 7.00

Ce.A.S. s.r.l. - Milano

PAG. 18

2 FEBBRAIO 2018 17:32:07

History 0 - PALIFI1500

RIASSUNTO ANALISI INCREMENTALE

FASE	N. DI ITERAZIONI	CONVERGENZA
1	2	SI
2	4	SI
3	2	SI
4	2	SI
5	2	SI
6	2	SI
7	3	SI
8	3	SI

PARATIE 7.00

Ce.A.S. s.r.l. - Milano

PAG. 19

2 FEBBRAIO 2018 17:32:07

History 0 - PALIFI1500

MASSIMI SPOSTAMENTI LATERALI

TUTTI I PASSI

* PARETE LeftWall *

* I PASSI NON EQUILIBRATI SONO ESCLUSI *

* NOTA: LE QUOTE ESPRESSE IN m

E GLI SPOSTAMENTI IN m

NODO	QUOTA ZETA	SPOSTAMENTO MASSIMO	FASE	PARETE LeftWall
1	0.0000	-0.69350E-02	8	
2	-0.10000	-0.66597E-02	8	
3	-0.20000	-0.63844E-02	8	
4	-0.30000	-0.61091E-02	8	
5	-0.40000	-0.58337E-02	8	
6	-0.50000	-0.55584E-02	8	
7	-0.60000	-0.52831E-02	8	
8	-0.70000	-0.50077E-02	8	
9	-0.80000	-0.47324E-02	8	
10	-0.90000	-0.44570E-02	8	
11	-1.0000	-0.41816E-02	8	
12	-1.1000	-0.39061E-02	8	
13	-1.2000	-0.36306E-02	8	
14	-1.3000	-0.33550E-02	8	
15	-1.4000	-0.30794E-02	8	
16	-1.5000	-0.28036E-02	8	
17	-1.6000	-0.25276E-02	8	
18	-1.7000	-0.22515E-02	8	
19	-1.8000	-0.19751E-02	8	
20	-1.9000	-0.16983E-02	8	
21	-2.0000	-0.14212E-02	8	
22	-2.1000	-0.11436E-02	8	
23	-2.2000	-0.86559E-03	8	
24	-2.3000	-0.58702E-03	8	
25	-2.4000	-0.30785E-03	8	
26	-2.5000	-0.28021E-04	8	

27	-2.5100	-0.28115E-22	3
28	-2.6100	0.28059E-03	8
29	-2.7100	0.56180E-03	8
30	-2.8100	0.84354E-03	8
31	-2.9100	0.11257E-02	8
32	-3.0100	0.14082E-02	8
33	-3.1100	0.16910E-02	8
34	-3.2100	0.19739E-02	8
35	-3.3100	0.22569E-02	8
36	-3.4100	0.25399E-02	8
37	-3.5100	0.28227E-02	8
38	-3.6100	0.31054E-02	8

PARATIE 7.00

Ce.A.S. s.r.l. - Milano

PAG. 20

2 FEBBRAIO 2018 17:32:07

History 0 - PALIFI1500

NODO	QUOTA ZETA	SPOSTAMENTO MASSIMO	FASE	PARETE	LeftWall
39	-3.7100	0.33878E-02	8		
40	-3.8100	0.36698E-02	8		
41	-3.9100	0.39513E-02	8		
42	-4.0100	0.42323E-02	8		
43	-4.1100	0.45127E-02	8		
44	-4.2100	0.47924E-02	8		
45	-4.3100	0.50713E-02	8		
46	-4.4100	0.53493E-02	8		
47	-4.5100	0.56264E-02	8		
48	-4.6100	0.59025E-02	8		
49	-4.7100	0.61775E-02	8		
50	-4.8100	0.64513E-02	8		
51	-4.9100	0.67238E-02	8		
52	-5.0100	0.69951E-02	8		
53	-5.1100	0.72649E-02	8		
54	-5.2100	0.75333E-02	8		
55	-5.3100	0.78001E-02	8		
56	-5.4100	0.80653E-02	8		
57	-5.5100	0.83289E-02	8		
58	-5.6100	0.85907E-02	8		
59	-5.7100	0.88507E-02	8		
60	-5.8100	0.91088E-02	8		
61	-5.9100	0.93650E-02	8		
62	-6.0100	0.96191E-02	8		
63	-6.1100	0.98712E-02	8		
64	-6.2100	0.10121E-01	8		
65	-6.3100	0.10369E-01	8		
66	-6.4100	0.10615E-01	8		
67	-6.5100	0.10858E-01	8		
68	-6.6100	0.11099E-01	8		
69	-6.7100	0.11337E-01	8		
70	-6.8100	0.11573E-01	8		

71	-6.9100	0.11807E-01	8
72	-7.0100	0.12038E-01	8
73	-7.1100	0.12266E-01	8
74	-7.2100	0.12492E-01	8
75	-7.3100	0.12715E-01	8
76	-7.4100	0.12935E-01	8
77	-7.5100	0.13152E-01	8
78	-7.6100	0.13367E-01	8
79	-7.7100	0.13579E-01	8
80	-7.8100	0.13788E-01	8
81	-7.9100	0.13993E-01	8
82	-8.0100	0.14196E-01	8
83	-8.1100	0.14396E-01	8
84	-8.2100	0.14593E-01	8

PARATIE 7.00

Ce.A.S. s.r.l. - Milano

PAG. 21

2 FEBBRAIO 2018 17:32:07

History 0 - PALIFI1500

NODO	QUOTA ZETA	SPOSTAMENTO MASSIMO	FASE	PARETE LeftWall
85	-8.3100	0.14786E-01	8	
86	-8.4100	0.14977E-01	8	
87	-8.5100	0.15164E-01	8	
88	-8.6100	0.15349E-01	8	
89	-8.7100	0.15530E-01	8	
90	-8.8100	0.15707E-01	8	
91	-8.9100	0.15882E-01	8	
92	-9.0100	0.16053E-01	8	
93	-9.1100	0.16221E-01	8	
94	-9.2100	0.16386E-01	8	
95	-9.3100	0.16547E-01	8	
96	-9.4100	0.16705E-01	8	
97	-9.5100	0.16860E-01	8	
98	-9.6100	0.17011E-01	8	
99	-9.7100	0.17159E-01	8	
100	-9.8100	0.17304E-01	8	
101	-9.9100	0.17446E-01	8	
102	-10.010	0.17584E-01	8	
103	-10.110	0.17718E-01	8	
104	-10.210	0.17850E-01	8	
105	-10.310	0.17978E-01	8	
106	-10.410	0.18103E-01	8	
107	-10.510	0.18224E-01	8	
108	-10.610	0.18342E-01	8	
109	-10.710	0.18457E-01	8	
110	-10.810	0.18568E-01	8	
111	-10.910	0.18677E-01	8	
112	-11.010	0.18781E-01	8	
113	-11.110	0.18883E-01	8	
114	-11.210	0.18982E-01	8	
115	-11.310	0.19077E-01	8	
116	-11.410	0.19169E-01	8	

117	-11.510	0.19257E-01	8
118	-11.610	0.19343E-01	8
119	-11.710	0.19425E-01	8
120	-11.810	0.19504E-01	8
121	-11.910	0.19580E-01	8
122	-12.010	0.19653E-01	8
123	-12.110	0.19723E-01	8
124	-12.210	0.19789E-01	8
125	-12.310	0.19853E-01	8
126	-12.410	0.19913E-01	8
127	-12.510	0.19971E-01	8
128	-12.610	0.20025E-01	8
129	-12.710	0.20076E-01	8
130	-12.810	0.20124E-01	8

PARATIE 7.00

Ce.A.S. s.r.l. - Milano

PAG. 22

2 FEBBRAIO 2018 17:32:07

History 0 - PALIFI1500

NODO	QUOTA ZETA	SPOSTAMENTO MASSIMO	FASE	PARETE	LeftWall
131	-12.910	0.20170E-01	8		
132	-13.010	0.20212E-01	8		
133	-13.110	0.20252E-01	8		
134	-13.210	0.20288E-01	8		
135	-13.310	0.20322E-01	8		
136	-13.410	0.20353E-01	8		
137	-13.510	0.20381E-01	8		
138	-13.610	0.20406E-01	8		
139	-13.710	0.20428E-01	8		
140	-13.810	0.20447E-01	8		
141	-13.910	0.20464E-01	8		
142	-14.010	0.20478E-01	8		
143	-14.110	0.20489E-01	8		
144	-14.210	0.20498E-01	8		
145	-14.310	0.20503E-01	8		
146	-14.410	0.20506E-01	8		
147	-14.510	0.20507E-01	8		
148	-14.610	0.20505E-01	8		
149	-14.710	0.20500E-01	8		
150	-14.810	0.20492E-01	8		
151	-14.910	0.20482E-01	8		
152	-15.010	0.20470E-01	8		
153	-15.110	0.20455E-01	8		
154	-15.210	0.20437E-01	8		
155	-15.310	0.20417E-01	8		
156	-15.410	0.20395E-01	8		
157	-15.510	0.20370E-01	8		
158	-15.610	0.20342E-01	8		
159	-15.710	0.20312E-01	8		
160	-15.810	0.20280E-01	8		
161	-15.910	0.20246E-01	8		
162	-16.010	0.20209E-01	8		

163	-16.110	0.20169E-01	8
164	-16.210	0.20128E-01	8
165	-16.310	0.20084E-01	8
166	-16.410	0.20038E-01	8
167	-16.510	0.19990E-01	8
168	-16.610	0.19939E-01	8
169	-16.710	0.19886E-01	8
170	-16.810	0.19835E-01	7
171	-16.910	0.19785E-01	7
172	-17.010	0.19733E-01	7
173	-17.110	0.19679E-01	7
174	-17.210	0.19623E-01	7
175	-17.310	0.19564E-01	7
176	-17.410	0.19503E-01	7

PARATIE 7.00

Ce.A.S. s.r.l. - Milano

PAG. 23

2 FEBBRAIO 2018 17:32:07

History 0 - PALIFI1500

NODO	QUOTA ZETA	SPOSTAMENTO MASSIMO	FASE	PARETE LeftWall
177	-17.510	0.19440E-01	7	
178	-17.610	0.19375E-01	7	
179	-17.710	0.19308E-01	7	
180	-17.810	0.19239E-01	7	
181	-17.910	0.19168E-01	7	
182	-18.010	0.19095E-01	7	
183	-18.110	0.19020E-01	7	
184	-18.210	0.18943E-01	7	
185	-18.310	0.18864E-01	7	
186	-18.410	0.18782E-01	7	
187	-18.510	0.18699E-01	7	
188	-18.610	0.18615E-01	7	
189	-18.710	0.18528E-01	7	
190	-18.810	0.18439E-01	7	
191	-18.910	0.18349E-01	7	
192	-19.010	0.18256E-01	7	
193	-19.110	0.18162E-01	7	
194	-19.210	0.18066E-01	7	
195	-19.310	0.17969E-01	7	
196	-19.410	0.17869E-01	7	
197	-19.510	0.17768E-01	7	
198	-19.610	0.17665E-01	7	
199	-19.710	0.17561E-01	7	
200	-19.810	0.17455E-01	7	
201	-19.910	0.17347E-01	7	
202	-20.010	0.17238E-01	7	
203	-20.110	0.17127E-01	7	
204	-20.210	0.17014E-01	7	
205	-20.310	0.16900E-01	7	
206	-20.410	0.16784E-01	7	
207	-20.510	0.16667E-01	7	
208	-20.610	0.16549E-01	7	

209	-20.710	0.16429E-01	7
210	-20.810	0.16307E-01	7
211	-20.910	0.16185E-01	7
212	-21.010	0.16060E-01	7
213	-21.110	0.15935E-01	7
214	-21.210	0.15808E-01	7
215	-21.310	0.15680E-01	7
216	-21.410	0.15551E-01	7
217	-21.510	0.15420E-01	7
218	-21.610	0.15288E-01	7
219	-21.710	0.15155E-01	7
220	-21.810	0.15021E-01	7
221	-21.910	0.14886E-01	7
222	-22.010	0.14750E-01	7

PARATIE 7.00

Ce.A.S. s.r.l. - Milano

PAG. 24

2 FEBBRAIO 2018 17:32:07

History 0 - PALIFI1500

NODO	QUOTA ZETA	SPOSTAMENTO MASSIMO	FASE	PARETE	LeftWall
223	-22.110	0.14612E-01	7		
224	-22.210	0.14474E-01	7		
225	-22.310	0.14335E-01	7		
226	-22.410	0.14194E-01	7		
227	-22.510	0.14053E-01	7		
228	-22.610	0.13911E-01	7		
229	-22.710	0.13768E-01	7		
230	-22.810	0.13624E-01	7		
231	-22.910	0.13479E-01	7		
232	-23.010	0.13334E-01	7		
233	-23.110	0.13187E-01	7		
234	-23.210	0.13040E-01	7		
235	-23.310	0.12893E-01	7		
236	-23.410	0.12745E-01	7		
237	-23.510	0.12596E-01	7		
238	-23.610	0.12446E-01	7		
239	-23.710	0.12297E-01	7		
240	-23.810	0.12146E-01	7		
241	-23.910	0.11995E-01	7		
242	-24.010	0.11844E-01	7		
243	-24.110	0.11693E-01	7		
244	-24.210	0.11541E-01	7		
245	-24.310	0.11389E-01	7		
246	-24.410	0.11236E-01	7		
247	-24.510	0.11084E-01	7		
248	-24.610	0.10931E-01	7		
249	-24.710	0.10778E-01	7		
250	-24.810	0.10626E-01	7		
251	-24.910	0.10473E-01	7		
252	-25.010	0.10320E-01	7		
253	-25.110	0.10167E-01	7		
254	-25.210	0.10015E-01	7		

255	-25.310	0.98623E-02	7
256	-25.410	0.97101E-02	7
257	-25.510	0.95582E-02	7
258	-25.610	0.94066E-02	7
259	-25.710	0.92553E-02	7
260	-25.810	0.91045E-02	7
261	-25.910	0.89540E-02	7
262	-26.010	0.88041E-02	7
263	-26.110	0.86546E-02	7
264	-26.210	0.85056E-02	7
265	-26.310	0.83572E-02	7
266	-26.410	0.82093E-02	7
267	-26.510	0.80621E-02	7
268	-26.610	0.79154E-02	7

PARATIE 7.00

Ce.A.S. s.r.l. - Milano

PAG. 25

2 FEBBRAIO 2018 17:32:07

History 0 - PALIFI1500

NODO	QUOTA ZETA	SPOSTAMENTO MASSIMO	FASE	PARETE LeftWall
269	-26.710	0.77694E-02	7	
270	-26.810	0.76241E-02	7	
271	-26.910	0.74795E-02	7	
272	-27.010	0.73355E-02	7	
273	-27.110	0.71923E-02	7	
274	-27.210	0.70498E-02	7	
275	-27.310	0.69080E-02	7	
276	-27.410	0.67670E-02	7	
277	-27.510	0.66267E-02	7	
278	-27.610	0.64872E-02	7	
279	-27.710	0.63485E-02	7	
280	-27.810	0.62106E-02	7	
281	-27.910	0.60734E-02	7	
282	-28.010	0.59370E-02	7	
283	-28.110	0.58014E-02	7	
284	-28.210	0.56665E-02	7	
285	-28.310	0.55324E-02	7	
286	-28.410	0.53991E-02	7	
287	-28.510	0.52666E-02	7	
288	-28.610	0.51348E-02	7	
289	-28.710	0.50037E-02	7	
290	-28.810	0.48734E-02	7	
291	-28.910	0.47438E-02	7	
292	-29.010	0.46148E-02	7	
293	-29.110	0.44866E-02	7	
294	-29.210	0.43591E-02	7	
295	-29.310	0.42322E-02	7	
296	-29.410	0.41060E-02	7	
297	-29.510	0.39804E-02	7	
298	-29.610	0.38555E-02	7	
299	-29.710	0.37311E-02	7	
300	-29.810	0.36073E-02	7	

301	-29.910	0.34841E-02	7
302	-30.010	0.33614E-02	7
303	-30.110	0.32393E-02	7
304	-30.210	0.31176E-02	7
305	-30.310	0.29965E-02	7
306	-30.410	0.28758E-02	7
307	-30.510	0.27555E-02	7
308	-30.610	0.26357E-02	7
309	-30.710	0.25163E-02	7
310	-30.810	0.23972E-02	7
311	-30.910	0.22785E-02	7
312	-31.010	0.21602E-02	7
313	-31.110	0.20421E-02	7
314	-31.210	0.19244E-02	7

PARATIE 7.00

Ce.A.S. s.r.l. - Milano

PAG. 26

2 FEBBRAIO 2018 17:32:07

History 0 - PALIFI1500

NODO	QUOTA ZETA	SPOSTAMENTO MASSIMO	FASE	PARETE LeftWall
315	-31.310	0.18069E-02	7	
316	-31.410	0.16897E-02	7	
317	-31.510	0.15728E-02	7	
318	-31.610	0.14560E-02	7	
319	-31.710	0.13395E-02	7	
320	-31.810	0.12232E-02	7	
321	-31.910	0.11070E-02	7	
322	-32.010	0.99093E-03	7	
323	-32.110	0.87503E-03	7	
324	-32.210	0.75924E-03	7	
325	-32.310	0.64355E-03	7	
326	-32.410	0.52795E-03	7	
327	-32.510	0.41242E-03	7	
328	-32.610	0.29696E-03	7	
329	-32.710	0.18155E-03	7	
330	-32.810	0.66174E-04	7	
331	-32.910	-0.14039E-03	8	
332	-33.010	-0.25346E-03	8	
333	-33.110	-0.36652E-03	8	
334	-33.210	-0.47956E-03	8	
335	-33.310	-0.59260E-03	8	
336	-33.410	-0.70563E-03	8	
337	-33.500	-0.80736E-03	8	

PARATIE 7.00

Ce.A.S. s.r.l. - Milano

PAG. 27

2 FEBBRAIO 2018 17:32:07

History 0 - PALIFI1500

STEP DI CARICO NO. 1

NOD	Y-REACT [kN/m]	X-MOM-R [kN*m/m]
27	0.0000000E+00	0.0000000E+00

PARATIE 7.00

Ce.A.S. s.r.l. - Milano

PAG. 28

2 FEBBRAIO 2018 17:32:07

History 0 - PALIFI1500

STEP DI CARICO NO. 2

NOD	Y-REACT [kN/m]	X-MOM-R [kN*m/m]
27	-0.40020319E+03	0.0000000E+00

PARATIE 7.00

Ce.A.S. s.r.l. - Milano

PAG. 29

2 FEBBRAIO 2018 17:32:07

History 0 - PALIFI1500

STEP DI CARICO NO. 3

NOD	Y-REACT [kN/m]	X-MOM-R [kN*m/m]
27	-0.37194156E+03	0.0000000E+00

PARATIE 7.00

Ce.A.S. s.r.l. - Milano

PAG. 30

2 FEBBRAIO 2018 17:32:07

History 0 - PALIFI1500

STEP DI CARICO NO. 4

NOD	Y-REACT [kN/m]	X-MOM-R [kN*m/m]
27	-0.38522897E+03	0.0000000E+00

PARATIE 7.00

Ce.A.S. s.r.l. - Milano

PAG. 31

2 FEBBRAIO 2018 17:32:07

History 0 - PALIFI1500

STEP DI CARICO NO. 5

NOD	Y-REACT [kN/m]	X-MOM-R [kN*m/m]
27	-0.39181589E+03	0.0000000E+00

PARATIE 7.00

Ce.A.S. s.r.l. - Milano

PAG. 32

2 FEBBRAIO 2018 17:32:07

History 0 - PALIFI1500

STEP DI CARICO NO. 6

NOD	Y-REACT [kN/m]	X-MOM-R [kN*m/m]
27	-0.39011237E+03	0.0000000E+00

PARATIE 7.00

Ce.A.S. s.r.l. - Milano

PAG. 33

2 FEBBRAIO 2018 17:32:07

History 0 - PALIFI1500

STEP DI CARICO NO. 7

NOD	Y-REACT [kN/m]	X-MOM-R [kN*m/m]
27	-0.43753732E+03	0.0000000E+00

PARATIE 7.00

Ce.A.S. s.r.l. - Milano

PAG. 34

2 FEBBRAIO 2018 17:32:07

History 0 - PALIFI1500

STEP DI CARICO NO. 8

NOD	Y-REACT [kN/m]	X-MOM-R [kN*m/m]
27	-0.71870966E+03	0.0000000E+00

PARATIE 7.00

Ce.A.S. s.r.l. - Milano

PAG. 35

2 FEBBRAIO 2018 17:32:07

History 0 - PALIFI1500

INVILUPPO AZIONI INTERNE NEGLI ELEMENTI DI PARETE

(PER UNITA' DI PROFONDITA')

* PARETE LeftWall GRUPPO beam*

STEP 1 - 8

* I PASSI NON EQUILIBRATI SONO ESCLUSI *

Nella tabella si stampano i seguenti risultati:

MOMENTO SX = Momento che tende le fibre sulla faccia sinistra [kN*m/m]

MOMENTO DX = Momento che tende le fibre sulla faccia destra [kN*m/m]

TAGLIO = forza tagliante (valore assoluto, priva di segno) [kN/m]

BEAM EL.	ESTREMO	QUOTA	MOMENTO SX	MOMENTO DX	TAGLIO
1	A	0.	0.4045E-08	0.2270E-08	1.778
	B	-0.1000	0.1778	0.5239E-08	1.778
2	A	-0.1000	0.1778	0.8731E-08	5.316
	B	-0.2000	0.7094	0.	5.316
3	A	-0.2000	0.7094	0.	8.834
	B	-0.3000	1.593	0.	8.834
4	A	-0.3000	1.593	0.	12.33
	B	-0.4000	2.826	0.	12.33
5	A	-0.4000	2.826	0.	15.81
	B	-0.5000	4.408	0.	15.81
6	A	-0.5000	4.408	0.	19.61
	B	-0.6000	6.335	0.	19.61
7	A	-0.6000	6.335	0.	24.87
	B	-0.7000	8.607	0.	24.87
8	A	-0.7000	8.607	0.	30.12
	B	-0.8000	11.22	0.	30.12
9	A	-0.8000	11.22	0.	35.35
	B	-0.9000	14.53	0.	35.35
10	A	-0.9000	14.53	0.	40.56
	B	-1.000	18.58	0.	40.56
11	A	-1.000	18.58	0.	45.75
	B	-1.100	23.16	0.	45.75

12	A	-1.100	23.16	0.	50.92
	B	-1.200	28.25	0.	50.92
13	A	-1.200	28.25	0.	56.07
	B	-1.300	33.86	0.	56.07
14	A	-1.300	33.86	0.	214.2
	B	-1.400	55.28	0.	214.2
15	A	-1.400	55.28	0.	219.3
	B	-1.500	77.21	0.	219.3
16	A	-1.500	77.21	0.	224.3
	B	-1.600	99.64	0.	224.3
17	A	-1.600	99.64	0.	229.8
	B	-1.700	122.6	0.	229.8

PARATIE 7.00

Ce.A.S. s.r.l. - Milano

PAG. 36

2 FEBBRAIO 2018 17:32:07

History 0 - PALIFI1500

BEAM	EL.	ESTREMO	QUOTA	MOMENTO SX	MOMENTO DX	TAGLIO
18	A	-1.700	122.6	0.	235.3	
	B	-1.800	146.1	0.	235.3	
19	A	-1.800	146.1	0.	240.7	
	B	-1.900	170.2	0.	240.7	
20	A	-1.900	170.2	0.	246.2	
	B	-2.000	194.8	0.	246.2	
21	A	-2.000	194.8	0.	251.6	
	B	-2.100	220.0	0.	251.6	
22	A	-2.100	220.0	0.	256.9	
	B	-2.200	245.7	0.	256.9	
23	A	-2.200	245.7	0.	262.3	
	B	-2.300	271.9	0.	262.3	
24	A	-2.300	271.9	0.	267.6	
	B	-2.400	298.7	0.	267.6	
25	A	-2.400	298.7	0.	272.9	
	B	-2.500	326.0	0.	272.9	
26	A	-2.500	326.0	0.	275.8	
	B	-2.510	328.7	0.	275.8	
27	A	-2.510	328.7	0.	441.2	
	B	-2.610	284.6	0.	441.2	
28	A	-2.610	284.6	0.	436.1	
	B	-2.710	241.0	0.	436.1	
29	A	-2.710	241.0	0.	431.0	
	B	-2.810	197.9	8.934	431.0	
30	A	-2.810	197.9	8.934	426.0	
	B	-2.910	155.3	38.33	426.0	
31	A	-2.910	155.3	38.33	421.2	
	B	-3.010	113.2	67.48	421.2	
32	A	-3.010	113.2	67.48	416.4	
	B	-3.110	71.53	96.38	416.4	
33	A	-3.110	71.53	96.38	411.7	
	B	-3.210	30.36	125.1	411.7	

34	A	-3.210	30.36	125.1	407.1
	B	-3.310	0.	153.5	407.1
35	A	-3.310	0.	153.5	402.7
	B	-3.410	0.	181.7	402.7
36	A	-3.410	0.	181.7	398.3
	B	-3.510	0.	213.1	398.3
37	A	-3.510	0.	213.1	394.1
	B	-3.610	0.	244.3	394.1
38	A	-3.610	0.	244.3	390.0
	B	-3.710	0.	275.2	390.0
39	A	-3.710	0.	275.2	385.9
	B	-3.810	0.	305.8	385.9
40	A	-3.810	0.	305.8	381.8
	B	-3.910	0.	336.2	381.8

PARATIE 7.00

Ce.A.S. s.r.l. - Milano

PAG. 37

2 FEBBRAIO 2018 17:32:07

History 0 - PALIFI1500

BEAM	EL.	ESTREMO	QUOTA	MOMENTO SX	MOMENTO DX	TAGLIO
41	A	-3.910	0.	336.2	377.5	
	B	-4.010	0.	366.3	377.5	
42	A	-4.010	0.	366.3	373.3	
	B	-4.110	0.	396.1	373.3	
43	A	-4.110	0.	396.1	369.0	
	B	-4.210	0.	425.6	369.0	
44	A	-4.210	0.	425.6	364.6	
	B	-4.310	0.	454.8	364.6	
45	A	-4.310	0.	454.8	360.1	
	B	-4.410	0.	483.7	360.1	
46	A	-4.410	0.	483.7	355.6	
	B	-4.510	0.	512.2	355.6	
47	A	-4.510	0.	512.2	351.1	
	B	-4.610	0.	540.5	351.1	
48	A	-4.610	0.	540.5	346.5	
	B	-4.710	0.	568.4	346.5	
49	A	-4.710	0.	568.4	341.8	
	B	-4.810	0.	596.1	341.8	
50	A	-4.810	0.	596.1	337.1	
	B	-4.910	0.	623.3	337.1	
51	A	-4.910	0.	623.3	332.3	
	B	-5.010	0.	650.3	332.3	
52	A	-5.010	0.	650.3	327.4	
	B	-5.110	0.	676.9	327.4	
53	A	-5.110	0.	676.9	322.5	
	B	-5.210	0.	703.1	322.5	
54	A	-5.210	0.	703.1	317.6	
	B	-5.310	0.	733.3	317.6	
55	A	-5.310	0.	733.3	312.6	
	B	-5.410	0.	764.5	312.6	
56	A	-5.410	0.	764.5	307.5	
	B	-5.510	0.	795.3	307.5	

57	A	-5.510	0.	795.3	302.4
	B	-5.610	0.	825.5	302.4
58	A	-5.610	0.	825.5	297.2
	B	-5.710	0.	855.2	297.2
59	A	-5.710	0.	855.2	291.9
	B	-5.810	0.	884.4	291.9
60	A	-5.810	0.	884.4	286.6
	B	-5.910	0.	913.1	286.6
61	A	-5.910	0.	913.1	281.3
	B	-6.010	0.	941.2	281.3
62	A	-6.010	0.	941.2	275.8
	B	-6.110	0.	968.8	275.8
63	A	-6.110	0.	968.8	270.4
	B	-6.210	0.	995.8	270.4

PARATIE 7.00

Ce.A.S. s.r.l. - Milano

PAG. 38

2 FEBBRAIO 2018 17:32:07

History 0 - PALIFI1500

BEAM	EL.	ESTREMO	QUOTA	MOMENTO SX	MOMENTO DX	TAGLIO
64	A	-6.210	0.	995.8	264.8	
	B	-6.310	0.	1022.	264.8	
65	A	-6.310	0.	1022.	259.2	
	B	-6.410	0.	1048.	259.2	
66	A	-6.410	0.	1048.	253.6	
	B	-6.510	0.	1074.	253.6	
67	A	-6.510	0.	1074.	247.9	
	B	-6.610	0.	1098.	247.9	
68	A	-6.610	0.	1098.	242.1	
	B	-6.710	0.	1123.	242.1	
69	A	-6.710	0.	1123.	236.3	
	B	-6.810	0.	1146.	236.3	
70	A	-6.810	0.	1146.	230.4	
	B	-6.910	0.	1169.	230.4	
71	A	-6.910	0.	1169.	224.5	
	B	-7.010	0.	1192.	224.5	
72	A	-7.010	0.	1192.	218.5	
	B	-7.110	0.	1214.	218.5	
73	A	-7.110	0.	1214.	212.4	
	B	-7.210	0.	1235.	212.4	
74	A	-7.210	0.	1235.	206.3	
	B	-7.310	0.	1255.	206.3	
75	A	-7.310	0.	1255.	200.2	
	B	-7.410	0.	1275.	200.2	
76	A	-7.410	0.	1275.	193.9	
	B	-7.510	0.	1295.	193.9	
77	A	-7.510	0.	1295.	187.6	
	B	-7.610	0.	1314.	187.6	
78	A	-7.610	0.	1314.	181.3	
	B	-7.710	0.	1332.	181.3	
79	A	-7.710	0.	1332.	174.9	
	B	-7.810	0.	1349.	174.9	

80	A	-7.810	0.	1349.	168.5
	B	-7.910	0.	1366.	168.5
81	A	-7.910	0.	1366.	161.9
	B	-8.010	0.	1382.	161.9
82	A	-8.010	0.	1382.	155.4
	B	-8.110	0.	1398.	155.4
83	A	-8.110	0.	1398.	145.4
	B	-8.210	0.	1412.	145.4
84	A	-8.210	0.	1412.	135.5
	B	-8.310	0.	1426.	135.5
85	A	-8.310	0.	1426.	125.9
	B	-8.410	0.	1439.	125.9
86	A	-8.410	0.	1439.	116.4
	B	-8.510	0.	1450.	116.4

PARATIE 7.00

Ce.A.S. s.r.l. - Milano

PAG. 39

2 FEBBRAIO 2018 17:32:07

History 0 - PALIFI1500

BEAM EL.	ESTREMO	QUOTA	MOMENTO SX	MOMENTO DX	TAGLIO
87	A	-8.510	0.	1450.	107.1
	B	-8.610	0.	1461.	107.1
88	A	-8.610	0.	1461.	98.01
	B	-8.710	0.	1471.	98.01
89	A	-8.710	0.	1471.	89.06
	B	-8.810	0.	1480.	89.06
90	A	-8.810	0.	1480.	80.28
	B	-8.910	0.	1488.	80.28
91	A	-8.910	0.	1488.	71.67
	B	-9.010	0.	1495.	71.67
92	A	-9.010	0.	1495.	63.24
	B	-9.110	0.	1501.	63.24
93	A	-9.110	0.	1501.	54.97
	B	-9.210	0.	1507.	54.97
94	A	-9.210	0.	1507.	46.87
	B	-9.310	0.	1511.	46.87
95	A	-9.310	0.	1511.	38.95
	B	-9.410	0.	1515.	38.95
96	A	-9.410	0.	1515.	32.88
	B	-9.510	0.	1518.	32.88
97	A	-9.510	0.	1518.	27.19
	B	-9.610	0.	1521.	27.19
98	A	-9.610	0.	1521.	21.72
	B	-9.710	0.	1522.	21.72
99	A	-9.710	0.	1522.	16.45
	B	-9.810	0.	1523.	16.45
100	A	-9.810	0.	1523.	11.40
	B	-9.910	0.	1523.	11.40
101	A	-9.910	0.	1523.	6.564
	B	-10.01	0.	1523.	6.564
102	A	-10.01	0.	1523.	11.36
	B	-10.11	0.	1522.	11.36

103	A	-10.11	0.	1522.	16.27
	B	-10.21	0.	1520.	16.27
104	A	-10.21	0.	1520.	21.02
	B	-10.31	0.	1518.	21.02
105	A	-10.31	0.	1518.	25.61
	B	-10.41	0.	1515.	25.61
106	A	-10.41	0.	1515.	30.03
	B	-10.51	0.	1512.	30.03
107	A	-10.51	0.	1512.	34.29
	B	-10.61	0.	1509.	34.29
108	A	-10.61	0.	1509.	38.39
	B	-10.71	0.	1505.	38.39
109	A	-10.71	0.	1505.	42.33
	B	-10.81	0.	1501.	42.33

PARATIE 7.00

Ce.A.S. s.r.l. - Milano

PAG. 40

2 FEBBRAIO 2018 17:32:07

History 0 - PALIFI1500

BEAM	EL.	ESTREMO	QUOTA	MOMENTO SX	MOMENTO DX	TAGLIO
110	A	-10.81	0.	1501.	46.11	
		B	-10.91	0.	1496.	46.11
111	A	-10.91	0.	1496.	49.74	
		B	-11.01	0.	1491.	49.74
112	A	-11.01	0.	1491.	53.20	
		B	-11.11	0.	1486.	53.20
113	A	-11.11	0.	1486.	56.51	
		B	-11.21	0.	1480.	56.51
114	A	-11.21	0.	1480.	59.66	
		B	-11.31	0.	1474.	59.66
115	A	-11.31	0.	1474.	62.65	
		B	-11.41	0.	1468.	62.65
116	A	-11.41	0.	1468.	65.49	
		B	-11.51	0.	1462.	65.49
117	A	-11.51	0.	1462.	68.17	
		B	-11.61	0.	1455.	68.17
118	A	-11.61	0.	1455.	70.70	
		B	-11.71	0.	1448.	70.70
119	A	-11.71	0.	1448.	73.07	
		B	-11.81	0.	1440.	73.07
120	A	-11.81	0.	1440.	75.29	
		B	-11.91	0.	1433.	75.29
121	A	-11.91	0.	1433.	77.36	
		B	-12.01	0.	1425.	77.36
122	A	-12.01	0.	1425.	79.27	
		B	-12.11	0.	1417.	79.27
123	A	-12.11	0.	1417.	81.04	
		B	-12.21	0.	1409.	81.04
124	A	-12.21	0.	1409.	82.65	
		B	-12.31	0.	1401.	82.65
125	A	-12.31	0.	1401.	84.11	
		B	-12.41	0.	1392.	84.11

126	A	-12.41	0.	1392.	85.43
	B	-12.51	0.	1384.	85.43
127	A	-12.51	0.	1384.	86.59
	B	-12.61	0.	1375.	86.59
128	A	-12.61	0.	1375.	87.61
	B	-12.71	0.	1366.	87.61
129	A	-12.71	0.	1366.	88.47
	B	-12.81	0.	1358.	88.47
130	A	-12.81	0.	1358.	89.19
	B	-12.91	0.	1349.	89.19
131	A	-12.91	0.	1349.	89.77
	B	-13.01	0.	1340.	89.77
132	A	-13.01	0.	1340.	90.19
	B	-13.11	0.	1331.	90.19

PARATIE 7.00

Ce.A.S. s.r.l. - Milano

PAG. 41

2 FEBBRAIO 2018 17:32:07

History 0 - PALIFI1500

BEAM	EL.	ESTREMO	QUOTA	MOMENTO SX	MOMENTO DX	TAGLIO
133	A	-13.11	0.	1331.	90.58	
		B	-13.21	0.	1322.	90.58
134	A	-13.21	0.	1322.	90.94	
		B	-13.31	0.	1313.	90.94
135	A	-13.31	0.	1313.	91.28	
		B	-13.41	0.	1303.	91.28
136	A	-13.41	0.	1303.	91.58	
		B	-13.51	0.	1294.	91.58
137	A	-13.51	0.	1294.	91.86	
		B	-13.61	0.	1285.	91.86
138	A	-13.61	0.	1285.	92.12	
		B	-13.71	0.	1276.	92.12
139	A	-13.71	0.	1276.	92.35	
		B	-13.81	0.	1267.	92.35
140	A	-13.81	0.	1267.	92.56	
		B	-13.91	0.	1257.	92.56
141	A	-13.91	0.	1257.	92.74	
		B	-14.01	0.	1248.	92.74
142	A	-14.01	0.	1248.	92.91	
		B	-14.11	0.	1239.	92.91
143	A	-14.11	0.	1239.	93.06	
		B	-14.21	0.	1229.	93.06
144	A	-14.21	0.	1229.	93.20	
		B	-14.31	0.	1220.	93.20
145	A	-14.31	0.	1220.	93.31	
		B	-14.41	0.	1211.	93.31
146	A	-14.41	0.	1211.	93.42	
		B	-14.51	0.	1201.	93.42
147	A	-14.51	0.	1201.	93.50	
		B	-14.61	0.	1192.	93.50
148	A	-14.61	0.	1192.	93.58	
		B	-14.71	0.	1183.	93.58

149	A	-14.71	0.	1183.	93.65
	B	-14.81	0.	1173.	93.65
150	A	-14.81	0.	1173.	93.70
	B	-14.91	0.	1164.	93.70
151	A	-14.91	0.	1164.	93.75
	B	-15.01	0.	1155.	93.75
152	A	-15.01	0.	1155.	93.79
	B	-15.11	0.	1147.	93.79
153	A	-15.11	0.	1147.	93.83
	B	-15.21	0.	1139.	93.83
154	A	-15.21	0.	1139.	93.86
	B	-15.31	0.	1132.	93.86
155	A	-15.31	0.	1132.	93.88
	B	-15.41	0.	1124.	93.88

PARATIE 7.00

Ce.A.S. s.r.l. - Milano

PAG. 42

2 FEBBRAIO 2018 17:32:07

History 0 - PALIFI1500

BEAM EL.	ESTREMO	QUOTA	MOMENTO SX	MOMENTO DX	TAGLIO
156	A	-15.41	0.	1124.	93.90
	B	-15.51	0.	1117.	93.90
157	A	-15.51	0.	1117.	93.92
	B	-15.61	0.	1109.	93.92
158	A	-15.61	0.	1109.	93.94
	B	-15.71	0.	1102.	93.94
159	A	-15.71	0.	1102.	93.96
	B	-15.81	0.	1094.	93.96
160	A	-15.81	0.	1094.	93.99
	B	-15.91	0.	1086.	93.99
161	A	-15.91	0.	1086.	94.01
	B	-16.01	0.	1079.	94.01
162	A	-16.01	0.	1079.	94.04
	B	-16.11	0.	1071.	94.04
163	A	-16.11	0.	1071.	94.07
	B	-16.21	0.	1063.	94.07
164	A	-16.21	0.	1063.	94.10
	B	-16.31	0.	1055.	94.10
165	A	-16.31	0.	1055.	94.15
	B	-16.41	0.	1047.	94.15
166	A	-16.41	0.	1047.	94.20
	B	-16.51	0.	1039.	94.20
167	A	-16.51	0.	1039.	94.26
	B	-16.61	0.	1031.	94.26
168	A	-16.61	0.	1031.	94.32
	B	-16.71	0.	1023.	94.32
169	A	-16.71	0.	1023.	94.40
	B	-16.81	0.	1015.	94.40
170	A	-16.81	0.	1015.	94.49
	B	-16.91	0.	1007.	94.49
171	A	-16.91	0.	1007.	94.59
	B	-17.01	0.	998.8	94.59

172	A	-17.01	0.	998.8	94.71
	B	-17.11	0.	990.6	94.71
173	A	-17.11	0.	990.6	94.83
	B	-17.21	0.	982.3	94.83
174	A	-17.21	0.	982.3	94.98
	B	-17.31	0.	973.9	94.98
175	A	-17.31	0.	973.9	95.14
	B	-17.41	0.	965.5	95.14
176	A	-17.41	0.	965.5	95.31
	B	-17.51	0.	957.1	95.31
177	A	-17.51	0.	957.1	95.51
	B	-17.61	0.	948.6	95.51
178	A	-17.61	0.	948.6	95.72
	B	-17.71	0.	940.0	95.72

PARATIE 7.00

Ce.A.S. s.r.l. - Milano

PAG. 43

2 FEBBRAIO 2018 17:32:07

History 0 - PALIFI1500

BEAM EL.	ESTREMO	QUOTA	MOMENTO SX	MOMENTO DX	TAGLIO
179	A	-17.71	0.	940.0	95.95
	B	-17.81	0.	931.4	95.95
180	A	-17.81	0.	931.4	96.20
	B	-17.91	0.	922.7	96.20
181	A	-17.91	0.	922.7	96.47
	B	-18.01	0.	914.0	96.47
182	A	-18.01	0.	914.0	96.76
	B	-18.11	0.	905.2	96.76
183	A	-18.11	0.	905.2	97.08
	B	-18.21	0.	896.3	97.08
184	A	-18.21	0.	896.3	97.41
	B	-18.31	0.	887.4	97.41
185	A	-18.31	0.	887.4	97.78
	B	-18.41	0.	878.4	97.78
186	A	-18.41	0.	878.4	98.16
	B	-18.51	0.	869.3	98.16
187	A	-18.51	0.	869.3	98.58
	B	-18.61	0.	860.1	98.58
188	A	-18.61	0.	860.1	99.01
	B	-18.71	0.	850.9	99.01
189	A	-18.71	0.	850.9	99.48
	B	-18.81	0.	841.6	99.48
190	A	-18.81	0.	841.6	99.97
	B	-18.91	0.	832.2	99.97
191	A	-18.91	0.	832.2	100.5
	B	-19.01	0.	822.7	100.5
192	A	-19.01	0.	822.7	101.0
	B	-19.11	0.	813.2	101.0
193	A	-19.11	0.	813.2	101.6
	B	-19.21	0.	803.5	101.6
194	A	-19.21	0.	803.5	102.2
	B	-19.31	0.	793.8	102.2

195	A	-19.31	0.	793.8	102.9
	B	-19.41	0.	783.9	102.9
196	A	-19.41	0.	783.9	103.6
	B	-19.51	0.	774.0	103.6
197	A	-19.51	0.	774.0	104.3
	B	-19.61	0.	763.9	104.3
198	A	-19.61	0.	763.9	105.0
	B	-19.71	0.	753.8	105.0
199	A	-19.71	0.	753.8	105.8
	B	-19.81	0.	743.5	105.8
200	A	-19.81	0.	743.5	106.6
	B	-19.91	0.	733.1	106.6
201	A	-19.91	0.	733.1	107.4
	B	-20.01	0.	722.6	107.4

PARATIE 7.00

Ce.A.S. s.r.l. - Milano

PAG. 44

2 FEBBRAIO 2018 17:32:07

History 0 - PALIFI1500

BEAM	EL.	ESTREMO	QUOTA	MOMENTO SX	MOMENTO DX	TAGLIO
202	A	-20.01	0.	722.6	108.3	
	B	-20.11	0.	712.0	108.3	
203	A	-20.11	0.	712.0	109.2	
	B	-20.21	0.	701.3	109.2	
204	A	-20.21	0.	701.3	110.2	
	B	-20.31	0.	690.4	110.2	
205	A	-20.31	0.	690.4	111.2	
	B	-20.41	0.	679.5	111.2	
206	A	-20.41	0.	679.5	112.2	
	B	-20.51	0.	668.3	112.2	
207	A	-20.51	0.	668.3	113.3	
	B	-20.61	0.	657.1	113.3	
208	A	-20.61	0.	657.1	114.4	
	B	-20.71	0.	645.7	114.4	
209	A	-20.71	0.	645.7	115.5	
	B	-20.81	0.	634.1	115.5	
210	A	-20.81	0.	634.1	116.9	
	B	-20.91	0.	622.4	116.9	
211	A	-20.91	0.	622.4	118.4	
	B	-21.01	0.	610.6	118.4	
212	A	-21.01	0.	610.6	120.0	
	B	-21.11	0.	598.6	120.0	
213	A	-21.11	0.	598.6	121.6	
	B	-21.21	0.	586.4	121.6	
214	A	-21.21	0.	586.4	123.2	
	B	-21.31	0.	574.1	123.2	
215	A	-21.31	0.	574.1	124.9	
	B	-21.41	0.	561.6	124.9	
216	A	-21.41	0.	561.6	126.7	
	B	-21.51	0.	549.0	126.7	
217	A	-21.51	0.	549.0	128.4	
	B	-21.61	0.	536.1	128.4	

218	A	-21.61	0.	536.1	130.3
	B	-21.71	0.	523.1	130.3
219	A	-21.71	0.	523.1	132.1
	B	-21.81	0.	509.9	132.1
220	A	-21.81	0.	509.9	134.0
	B	-21.91	0.	496.5	134.0
221	A	-21.91	0.	496.5	136.0
	B	-22.01	0.	482.9	136.0
222	A	-22.01	0.	482.9	138.0
	B	-22.11	0.	469.1	138.0
223	A	-22.11	0.	469.1	140.0
	B	-22.21	0.	455.1	140.0
224	A	-22.21	0.	455.1	142.1
	B	-22.31	0.	440.9	142.1

PARATIE 7.00

Ce.A.S. s.r.l. - Milano

PAG. 45

2 FEBBRAIO 2018 17:32:07

History 0 - PALIFI1500

BEAM	EL.	ESTREMO	QUOTA	MOMENTO SX	MOMENTO DX	TAGLIO
225	A	-22.31	0.	440.9	144.2	
	B	-22.41	0.	426.4	144.2	
226	A	-22.41	0.	426.4	146.4	
	B	-22.51	0.	411.8	146.4	
227	A	-22.51	0.	411.8	148.7	
	B	-22.61	0.	396.9	148.7	
228	A	-22.61	0.	396.9	150.9	
	B	-22.71	0.	381.8	150.9	
229	A	-22.71	0.	381.8	153.3	
	B	-22.81	0.	366.5	153.3	
230	A	-22.81	0.	366.5	155.6	
	B	-22.91	0.	350.9	155.6	
231	A	-22.91	0.	350.9	158.1	
	B	-23.01	0.	335.1	158.1	
232	A	-23.01	0.	335.1	160.5	
	B	-23.11	0.	319.1	160.5	
233	A	-23.11	0.	319.1	163.1	
	B	-23.21	0.	302.8	163.1	
234	A	-23.21	0.	302.8	165.6	
	B	-23.31	0.	286.2	165.6	
235	A	-23.31	0.	286.2	168.2	
	B	-23.41	0.	269.4	168.2	
236	A	-23.41	0.	269.4	170.9	
	B	-23.51	0.	252.3	170.9	
237	A	-23.51	0.	252.3	173.6	
	B	-23.61	0.	234.9	173.6	
238	A	-23.61	0.	234.9	176.4	
	B	-23.71	0.	217.3	176.4	
239	A	-23.71	0.	217.3	179.2	
	B	-23.81	0.	199.4	179.2	
240	A	-23.81	0.	199.4	182.1	
	B	-23.91	0.	181.2	182.1	

241	A	-23.91	0.	181.2	185.0
	B	-24.01	0.	162.7	185.0
242	A	-24.01	0.	162.7	188.0
	B	-24.11	0.	143.9	188.0
243	A	-24.11	0.	143.9	191.1
	B	-24.21	0.	124.8	191.1
244	A	-24.21	0.	124.8	194.1
	B	-24.31	0.	105.3	194.1
245	A	-24.31	0.	105.3	197.3
	B	-24.41	0.	85.61	197.3
246	A	-24.41	0.	85.61	200.5
	B	-24.51	0.	65.56	200.5
247	A	-24.51	0.	65.56	203.7
	B	-24.61	0.	45.19	203.7

PARATIE 7.00

Ce.A.S. s.r.l. - Milano

PAG. 46

2 FEBBRAIO 2018 17:32:07

History 0 - PALIFI1500

BEAM EL.	ESTREMO	QUOTA	MOMENTO SX	MOMENTO DX	TAGLIO
248	A	-24.61	0.	45.19	207.0
	B	-24.71	8.646	24.49	207.0
249	A	-24.71	8.646	24.49	210.3
	B	-24.81	28.55	3.460	210.3
250	A	-24.81	28.55	3.460	213.7
	B	-24.91	48.77	0.	213.7
251	A	-24.91	48.77	0.	217.2
	B	-25.01	69.31	0.	217.2
252	A	-25.01	69.31	0.	220.7
	B	-25.11	90.17	0.	220.7
253	A	-25.11	90.17	0.	212.2
	B	-25.21	110.2	0.	212.2
254	A	-25.21	110.2	0.	203.7
	B	-25.31	129.4	0.	203.7
255	A	-25.31	129.4	0.	195.3
	B	-25.41	147.8	0.	195.3
256	A	-25.41	147.8	0.	187.0
	B	-25.51	165.5	0.	187.0
257	A	-25.51	165.5	0.	178.7
	B	-25.61	182.3	0.	178.7
258	A	-25.61	182.3	0.	170.5
	B	-25.71	198.3	0.	170.5
259	A	-25.71	198.3	0.	162.3
	B	-25.81	213.5	0.	162.3
260	A	-25.81	213.5	0.	154.2
	B	-25.91	228.0	0.	154.2
261	A	-25.91	228.0	0.	146.1
	B	-26.01	241.6	0.	146.1
262	A	-26.01	241.6	0.	138.1
	B	-26.11	254.5	0.	138.1
263	A	-26.11	254.5	0.	130.2
	B	-26.21	266.7	0.	130.2

264	A	-26.21	266.7	0.	122.3
	B	-26.31	278.0	0.	122.3
265	A	-26.31	278.0	0.	114.4
	B	-26.41	288.6	0.	114.4
266	A	-26.41	288.6	0.	106.6
	B	-26.51	298.5	0.	106.6
267	A	-26.51	298.5	0.	98.89
	B	-26.61	307.6	0.	98.89
268	A	-26.61	307.6	0.	91.20
	B	-26.71	316.0	0.	91.20
269	A	-26.71	316.0	0.	83.56
	B	-26.81	323.6	0.	83.56
270	A	-26.81	323.6	0.	75.97
	B	-26.91	330.5	0.	75.97

PARATIE 7.00

Ce.A.S. s.r.l. - Milano

PAG. 47

2 FEBBRAIO 2018 17:32:07

History 0 - PALIFI1500

BEAM EL.	ESTREMO	QUOTA	MOMENTO SX	MOMENTO DX	TAGLIO
271	A	-26.91	330.5	0.	68.44
	B	-27.01	336.7	0.	68.44
272	A	-27.01	336.7	0.	60.96
	B	-27.11	342.1	0.	60.96
273	A	-27.11	342.1	0.	53.52
	B	-27.21	346.8	0.	53.52
274	A	-27.21	346.8	0.	46.14
	B	-27.31	350.8	0.	46.14
275	A	-27.31	350.8	0.	38.81
	B	-27.41	354.1	0.	38.81
276	A	-27.41	354.1	0.	31.53
	B	-27.51	356.7	0.	31.53
277	A	-27.51	356.7	0.	24.29
	B	-27.61	358.6	0.	24.29
278	A	-27.61	358.6	0.	17.11
	B	-27.71	359.8	0.	17.11
279	A	-27.71	359.8	0.	9.975
	B	-27.81	360.3	0.	9.975
280	A	-27.81	360.3	0.	5.394
	B	-27.91	360.1	0.	5.394
281	A	-27.91	360.1	0.	11.61
	B	-28.01	359.3	0.	11.61
282	A	-28.01	359.3	0.	17.58
	B	-28.11	357.8	0.	17.58
283	A	-28.11	357.8	0.	23.29
	B	-28.21	355.6	0.	23.29
284	A	-28.21	355.6	0.	28.76
	B	-28.31	352.9	0.	28.76
285	A	-28.31	352.9	0.	33.99
	B	-28.41	349.6	0.	33.99
286	A	-28.41	349.6	0.	38.97
	B	-28.51	345.7	0.	38.97

287	A	-28.51	345.7	0.	43.82
	B	-28.61	341.4	0.	43.82
288	A	-28.61	341.4	0.	48.79
	B	-28.71	336.5	0.	48.79
289	A	-28.71	336.5	0.	53.50
	B	-28.81	331.1	0.	53.50
290	A	-28.81	331.1	0.	57.96
	B	-28.91	325.3	0.	57.96
291	A	-28.91	325.3	0.	62.15
	B	-29.01	319.1	0.	62.15
292	A	-29.01	319.1	0.	66.09
	B	-29.11	312.5	0.	66.09
293	A	-29.11	312.5	0.	69.78
	B	-29.21	305.5	0.	69.78

PARATIE 7.00

Ce.A.S. s.r.l. - Milano

PAG. 48

2 FEBBRAIO 2018 17:32:07

History 0 - PALIFI1500

BEAM EL.	ESTREMO	QUOTA	MOMENTO SX	MOMENTO DX	TAGLIO
294	A	-29.21	305.5	0.	73.21
	B	-29.31	298.2	0.	73.21
295	A	-29.31	298.2	0.	76.39
	B	-29.41	290.6	0.	76.39
296	A	-29.41	290.6	0.	79.32
	B	-29.51	282.6	0.	79.32
297	A	-29.51	282.6	0.	82.00
	B	-29.61	274.4	0.	82.00
298	A	-29.61	274.4	0.	84.44
	B	-29.71	266.0	0.	84.44
299	A	-29.71	266.0	0.	86.63
	B	-29.81	257.3	0.	86.63
300	A	-29.81	257.3	0.	88.57
	B	-29.91	248.5	0.	88.57
301	A	-29.91	248.5	0.	90.27
	B	-30.01	239.4	0.	90.27
302	A	-30.01	239.4	0.	91.72
	B	-30.11	230.3	0.	91.72
303	A	-30.11	230.3	0.	92.94
	B	-30.21	221.0	0.	92.94
304	A	-30.21	221.0	0.	93.91
	B	-30.31	211.6	0.	93.91
305	A	-30.31	211.6	0.	94.64
	B	-30.41	202.1	0.	94.64
306	A	-30.41	202.1	0.	95.13
	B	-30.51	192.7	0.	95.13
307	A	-30.51	192.7	0.	95.39
	B	-30.61	183.2	0.	95.39
308	A	-30.61	183.2	0.	95.41
	B	-30.71	173.7	0.	95.41
309	A	-30.71	173.7	0.	95.19
	B	-30.81	164.2	0.	95.19

310	A	-30.81	164.2	0.	94.73
	B	-30.91	154.8	0.	94.73
311	A	-30.91	154.8	0.	94.04
	B	-31.01	145.4	0.	94.04
312	A	-31.01	145.4	0.	93.12
	B	-31.11	136.1	0.	93.12
313	A	-31.11	136.1	0.	91.96
	B	-31.21	127.0	0.	91.96
314	A	-31.21	127.0	0.	90.57
	B	-31.31	117.9	0.	90.57
315	A	-31.31	117.9	0.	88.95
	B	-31.41	109.0	0.	88.95
316	A	-31.41	109.0	0.	87.10
	B	-31.51	100.3	0.	87.10

PARATIE 7.00

Ce.A.S. s.r.l. - Milano

PAG. 49

2 FEBBRAIO 2018 17:32:07

History 0 - PALIFI1500

BEAM EL.	ESTREMO	QUOTA	MOMENTO SX	MOMENTO DX	TAGLIO
317	A	-31.51	100.3	0.	85.06
	B	-31.61	91.80	0.	85.06
318	A	-31.61	91.80	0.	82.78
	B	-31.71	83.52	0.	82.78
319	A	-31.71	83.52	0.	80.26
	B	-31.81	75.49	0.	80.26
320	A	-31.81	75.49	0.	77.51
	B	-31.91	67.74	0.	77.51
321	A	-31.91	67.74	0.	74.53
	B	-32.01	60.29	0.	74.53
322	A	-32.01	60.29	0.	71.31
	B	-32.11	53.16	0.	71.31
323	A	-32.11	53.16	0.	67.86
	B	-32.21	46.37	0.	67.86
324	A	-32.21	46.37	0.	64.17
	B	-32.31	39.95	0.	64.17
325	A	-32.31	39.95	0.	60.25
	B	-32.41	33.93	0.	60.25
326	A	-32.41	33.93	0.	56.09
	B	-32.51	28.32	0.	56.09
327	A	-32.51	28.32	0.	51.71
	B	-32.61	23.15	0.	51.71
328	A	-32.61	23.15	0.	47.08
	B	-32.71	18.44	0.	47.08
329	A	-32.71	18.44	0.	42.23
	B	-32.81	14.22	0.	42.23
330	A	-32.81	14.22	0.	37.13
	B	-32.91	10.50	0.	37.13
331	A	-32.91	10.50	0.	31.83
	B	-33.01	7.321	0.	31.83
332	A	-33.01	7.321	0.	26.34
	B	-33.11	4.687	0.	26.34

333	A	-33.11	4.687	0.	20.67
	B	-33.21	2.619	0.	20.67
334	A	-33.21	2.619	0.	14.82
	B	-33.31	1.137	0.	14.82
335	A	-33.31	1.137	0.	8.784
	B	-33.41	0.2586	0.	8.784
336	A	-33.41	0.2586	0.	2.874
	B	-33.50	0.3783E-09	0.2619E-09	2.874

PARATIE 7.00

Ce.A.S. s.r.l. - Milano

PAG. 50

2 FEBBRAIO 2018 17:32:07

History 0 - PALIFI1500

INVILUPPO RISULTATI NEGLI ELEMENTI TERRENO

* PARETE LeftWall GRUPPO UHLeft*

STEP 1 - 8

* I PASSI NON EQUILIBRATI SONO ESCLUSI *

Nella tabella si stampano i seguenti risultati:

SIGMA-H = massimo sforzo orizzontale efficace [kPa]

TAGLIO = massimo sforzo di taglio [kPa]

PR. ACQUA =massima pressione interstiziale [kPa]

GRAD. MAX =massimo gradiente idraulico

SOIL EL.	QUOTA	SIGMA-H	TAGLIO	PR. ACQUA	GRAD. MAX
1	0.	35.57	12.78	0.	0.
2	-0.1000	35.38	11.69	0.	0.
3	-0.2000	35.19	10.59	0.	0.
4	-0.3000	36.50	9.498	0.	0.
5	-0.4000	41.70	11.38	0.	0.
6	-0.5000	41.42	11.34	0.	0.
7	-0.6000	41.15	11.43	0.	0.
8	-0.7000	40.87	10.35	0.	0.
9	-0.8000	40.60	9.259	0.	0.
10	-0.9000	40.32	8.162	0.	0.
11	-1.000	40.05	7.059	0.	0.
12	-1.100	39.77	5.951	0.	0.
13	-1.200	39.50	5.873	0.	0.
14	-1.300	39.22	6.362	0.	0.
15	-1.400	38.94	6.851	0.	0.
16	-1.500	38.67	7.341	0.	0.
17	-1.600	38.39	7.830	0.	0.
18	-1.700	38.11	8.319	0.	0.
19	-1.800	37.84	9.081	0.	0.
20	-1.900	37.56	10.22	0.	0.
21	-2.000	37.28	11.36	0.	0.
22	-2.100	37.00	12.50	0.	0.
23	-2.200	36.72	13.64	0.	0.

24	-2.300	36.44	14.78	0.	0.
25	-2.400	36.16	15.92	0.	0.
26	-2.500	35.87	17.06	0.	0.
27	-2.510	35.85	17.18	0.	0.
28	-2.610	34.88	18.66	0.	0.
29	-2.710	33.91	20.15	0.	0.
30	-2.810	32.94	21.63	0.	0.
31	-2.910	31.97	23.12	0.	0.
32	-3.010	31.00	24.60	0.	0.
33	-3.110	31.76	26.08	0.	0.
34	-3.210	32.78	27.57	0.	0.
35	-3.310	33.80	29.05	0.	0.

PARATIE 7.00

Ce.A.S. s.r.l. - Milano

PAG. 51

2 FEBBRAIO 2018 17:32:07

History 0 - PALIFI1500

SOIL EL.	QUOTA	SIGMA-H	TAGLIO	PR. ACQUA	GRAD. MAX
36	-3.410	34.82	30.53	0.	0.
37	-3.510	35.85	31.78	0.	0.
38	-3.610	36.87	32.57	0.	0.
39	-3.710	37.89	33.36	0.	0.
40	-3.810	38.91	34.15	0.	0.
41	-3.910	39.93	34.94	0.	0.
42	-4.010	40.95	35.67	0.	0.
43	-4.110	41.97	36.38	0.	0.
44	-4.210	42.99	37.10	0.	0.
45	-4.310	44.02	37.81	0.	0.
46	-4.410	45.04	38.52	0.	0.
47	-4.510	46.06	39.23	0.	0.
48	-4.610	47.08	39.94	0.	0.
49	-4.710	48.10	40.66	0.	0.
50	-4.810	49.12	41.37	0.	0.
51	-4.910	50.14	42.08	0.	0.
52	-5.010	51.16	42.79	0.	0.
53	-5.110	52.19	43.50	0.	0.
54	-5.210	53.21	44.22	0.	0.
55	-5.310	54.23	44.93	0.	0.
56	-5.410	55.25	45.64	0.	0.
57	-5.510	56.27	46.35	0.	0.
58	-5.610	57.29	47.06	0.	0.
59	-5.710	58.31	47.78	0.	0.
60	-5.810	59.33	48.49	0.	0.
61	-5.910	60.36	49.20	0.	0.
62	-6.010	61.38	49.91	0.	0.
63	-6.110	62.40	50.62	0.	0.
64	-6.210	63.42	51.34	0.	0.
65	-6.310	64.44	52.05	0.	0.
66	-6.410	65.46	52.76	0.	0.
67	-6.510	66.48	53.47	0.	0.

68	-6.610	67.50	54.18	0.	0.
69	-6.710	68.53	54.90	0.	0.
70	-6.810	69.55	55.61	0.	0.
71	-6.910	70.57	56.32	0.	0.
72	-7.010	71.59	57.03	0.	0.
73	-7.110	72.61	57.74	0.	0.
74	-7.210	73.63	58.46	0.	0.
75	-7.310	74.65	59.17	0.	0.
76	-7.410	75.67	59.88	0.	0.
77	-7.510	76.70	60.59	0.	0.
78	-7.610	77.72	61.30	0.	0.
79	-7.710	78.74	62.02	0.	0.
80	-7.810	79.76	62.73	0.	0.
81	-7.910	80.78	63.44	0.	0.

PARATIE 7.00

Ce.A.S. s.r.l. - Milano

PAG. 52

2 FEBBRAIO 2018 17:32:07

History 0 - PALIFI1500

SOIL EL.	QUOTA	SIGMA-H	TAGLIO	PR. ACQUA	GRAD. MAX
82	-8.010	81.80	64.15	0.	0.
83	-8.110	102.9	46.35	0.6000	0.
84	-8.210	103.4	46.70	1.600	0.
85	-8.310	104.0	47.04	2.600	0.
86	-8.410	104.6	47.38	3.600	0.
87	-8.510	105.2	47.72	4.600	0.
88	-8.610	105.7	48.06	5.600	0.
89	-8.710	106.3	48.39	6.600	0.
90	-8.810	106.9	48.72	7.600	0.
91	-8.910	107.4	49.05	8.600	0.
92	-9.010	108.0	49.37	9.600	0.
93	-9.110	108.6	49.70	10.60	0.
94	-9.210	109.2	50.02	11.60	0.
95	-9.310	109.7	50.33	12.60	0.
96	-9.410	110.3	50.65	13.60	0.
97	-9.510	110.9	50.96	14.60	0.
98	-9.610	111.5	51.26	15.60	0.
99	-9.710	112.0	51.57	16.60	0.
100	-9.810	112.6	51.87	17.60	0.
101	-9.910	113.2	52.17	18.60	0.
102	-10.01	113.7	52.46	19.60	0.
103	-10.11	114.3	52.76	20.60	0.
104	-10.21	114.9	53.05	21.60	0.
105	-10.31	115.5	53.33	22.60	0.
106	-10.41	116.0	53.62	23.60	0.
107	-10.51	116.6	53.90	24.60	0.
108	-10.61	117.2	54.18	25.60	0.
109	-10.71	117.8	54.45	26.60	0.
110	-10.81	118.3	54.73	27.60	0.
111	-10.91	118.9	55.00	28.60	0.
112	-11.01	119.5	55.26	29.60	0.
113	-11.11	120.1	55.53	30.60	0.

114	-11.21	120.6	55.79	31.60	0.
115	-11.31	121.2	56.04	32.60	0.
116	-11.41	121.8	56.30	33.60	0.
117	-11.51	122.3	56.55	34.60	0.
118	-11.61	122.9	56.80	35.60	0.
119	-11.71	123.5	57.05	36.60	0.
120	-11.81	124.1	57.29	37.60	0.
121	-11.91	124.6	57.53	38.60	0.
122	-12.01	125.2	57.77	39.60	0.
123	-12.11	125.8	58.01	40.60	0.
124	-12.21	126.4	58.24	41.60	0.
125	-12.31	126.9	58.47	42.60	0.
126	-12.41	127.5	58.69	43.60	0.
127	-12.51	128.1	58.92	44.60	0.

PARATIE 7.00

Ce.A.S. s.r.l. - Milano

PAG. 53

2 FEBBRAIO 2018 17:32:07

History 0 - PALIFI1500

SOIL EL.	QUOTA	SIGMA-H	TAGLIO	PR. ACQUA	GRAD. MAX
128	-12.61	128.6	59.14	45.60	0.
129	-12.71	129.2	59.36	46.60	0.
130	-12.81	129.8	59.57	47.60	0.
131	-12.91	130.4	59.79	48.60	0.
132	-13.01	130.9	60.00	49.60	0.
133	-13.11	131.5	60.21	50.60	0.
134	-13.21	132.1	60.41	51.60	0.
135	-13.31	132.7	60.61	52.60	0.
136	-13.41	133.2	60.81	53.60	0.
137	-13.51	133.8	61.01	54.60	0.
138	-13.61	134.4	61.20	55.60	0.
139	-13.71	135.0	61.40	56.60	0.
140	-13.81	135.5	61.58	57.60	0.
141	-13.91	136.1	61.77	58.60	0.
142	-14.01	136.7	61.96	59.60	0.
143	-14.11	137.2	62.14	60.60	0.
144	-14.21	137.8	62.32	61.60	0.
145	-14.31	138.4	62.49	62.60	0.
146	-14.41	139.0	62.67	63.60	0.
147	-14.51	139.5	62.84	64.60	0.
148	-14.61	140.1	63.01	65.60	0.
149	-14.71	140.7	63.17	66.60	0.
150	-14.81	141.3	63.34	67.60	0.
151	-14.91	141.8	63.50	68.60	0.
152	-15.01	142.4	63.66	69.60	0.
153	-15.11	143.0	63.81	70.60	0.
154	-15.21	143.5	63.97	71.60	0.
155	-15.31	144.1	64.12	72.60	0.
156	-15.41	144.7	64.27	73.60	0.
157	-15.51	145.3	64.42	74.60	0.
158	-15.61	145.8	64.56	75.60	0.
159	-15.71	146.4	64.70	76.60	0.

160	-15.81	147.0	64.84	77.60	0.
161	-15.91	147.6	64.98	78.60	0.
162	-16.01	148.1	65.12	79.60	0.
163	-16.11	148.7	65.25	80.60	0.
164	-16.21	149.3	65.38	81.60	0.
165	-16.31	149.9	65.51	82.60	0.
166	-16.41	150.4	65.64	83.60	0.
167	-16.51	151.0	65.76	84.60	0.
168	-16.61	151.6	65.88	85.60	0.
169	-16.71	152.1	66.00	86.60	0.
170	-16.81	152.7	66.12	87.60	0.
171	-16.91	153.3	66.24	88.60	0.
172	-17.01	153.9	66.35	89.60	0.
173	-17.11	154.4	66.46	90.60	0.

PARATIE 7.00

Ce.A.S. s.r.l. - Milano

PAG. 54

2 FEBBRAIO 2018 17:32:07

History 0 - PALIFI1500

SOIL EL.	QUOTA	SIGMA-H	TAGLIO	PR. ACQUA	GRAD. MAX
174	-17.21	155.0	66.57	91.60	0.
175	-17.31	155.6	66.68	92.60	0.
176	-17.41	156.2	66.79	93.60	0.
177	-17.51	156.7	66.89	94.60	0.
178	-17.61	157.3	66.99	95.60	0.
179	-17.71	157.9	67.09	96.60	0.
180	-17.81	158.4	67.19	97.60	0.
181	-17.91	159.0	67.28	98.60	0.
182	-18.01	159.6	67.38	99.60	0.
183	-18.11	160.2	67.47	100.6	0.
184	-18.21	160.7	67.56	101.6	0.
185	-18.31	161.3	67.65	102.6	0.
186	-18.41	161.9	67.73	103.6	0.
187	-18.51	162.5	67.82	104.6	0.
188	-18.61	163.0	67.90	105.6	0.
189	-18.71	163.6	67.98	106.6	0.
190	-18.81	164.2	68.06	107.6	0.
191	-18.91	164.8	68.14	108.6	0.
192	-19.01	165.3	68.21	109.6	0.
193	-19.11	165.9	68.28	110.6	0.
194	-19.21	166.5	68.36	111.6	0.
195	-19.31	167.0	68.43	112.6	0.
196	-19.41	167.6	68.50	113.6	0.
197	-19.51	168.2	68.56	114.6	0.
198	-19.61	168.8	68.63	115.6	0.
199	-19.71	169.3	68.69	116.6	0.
200	-19.81	169.9	68.75	117.6	0.
201	-19.91	170.5	68.81	118.6	0.
202	-20.01	171.1	68.87	119.6	0.
203	-20.11	171.6	68.93	120.6	0.
204	-20.21	172.2	68.99	121.6	0.
205	-20.31	172.8	69.04	122.6	0.

206	-20.41	173.3	69.09	123.6	0.
207	-20.51	173.9	69.15	124.6	0.
208	-20.61	174.5	69.20	125.6	0.
209	-20.71	175.1	69.25	126.6	0.
210	-20.81	175.6	69.29	127.6	0.
211	-20.91	176.2	69.34	128.6	0.
212	-21.01	176.8	69.38	129.6	0.
213	-21.11	177.4	69.43	130.6	0.
214	-21.21	177.9	69.47	131.6	0.
215	-21.31	178.5	69.51	132.6	0.
216	-21.41	179.1	69.55	133.6	0.
217	-21.51	179.7	69.59	134.6	0.
218	-21.61	180.2	69.63	135.6	0.
219	-21.71	180.8	69.67	136.6	0.

PARATIE 7.00

Ce.A.S. s.r.l. - Milano

PAG. 55

2 FEBBRAIO 2018 17:32:07

History 0 - PALIFI1500

SOIL EL.	QUOTA	SIGMA-H	TAGLIO	PR. ACQUA	GRAD. MAX
220	-21.81	181.4	69.70	137.6	0.
221	-21.91	181.9	69.74	138.6	0.
222	-22.01	182.5	69.77	139.6	0.
223	-22.11	183.1	69.80	140.6	0.
224	-22.21	183.7	69.83	141.6	0.
225	-22.31	184.2	69.86	142.6	0.
226	-22.41	184.8	69.89	143.6	0.
227	-22.51	185.4	69.92	144.6	0.
228	-22.61	186.0	69.95	145.6	0.
229	-22.71	186.5	69.98	146.6	0.
230	-22.81	187.1	70.00	147.6	0.
231	-22.91	187.7	70.03	148.6	0.
232	-23.01	188.2	70.05	149.6	0.
233	-23.11	188.8	70.08	150.6	0.
234	-23.21	189.4	70.10	151.6	0.
235	-23.31	190.0	70.12	152.6	0.
236	-23.41	190.5	70.14	153.6	0.
237	-23.51	191.1	70.17	154.6	0.
238	-23.61	191.7	70.19	155.6	0.
239	-23.71	192.3	70.21	156.6	0.
240	-23.81	192.8	70.23	157.6	0.
241	-23.91	193.4	70.25	158.6	0.
242	-24.01	194.0	70.27	159.6	0.
243	-24.11	194.6	70.28	160.6	0.
244	-24.21	195.1	70.30	161.6	0.
245	-24.31	195.7	70.32	162.6	0.
246	-24.41	196.3	70.34	163.6	0.
247	-24.51	196.8	70.36	164.6	0.
248	-24.61	197.4	70.37	165.6	0.
249	-24.71	198.0	70.39	166.6	0.
250	-24.81	198.6	70.41	167.6	0.
251	-24.91	199.1	70.43	168.6	0.

252	-25.01	199.7	70.45	169.6	0.
253	-25.11	147.9	124.5	170.6	0.
254	-25.21	148.4	124.8	171.6	0.
255	-25.31	148.8	125.2	172.6	0.
256	-25.41	149.3	125.6	173.6	0.
257	-25.51	149.8	126.0	174.6	0.
258	-25.61	150.2	126.3	175.6	0.
259	-25.71	150.7	126.7	176.6	0.
260	-25.81	151.2	127.1	177.6	0.
261	-25.91	151.6	127.4	178.6	0.
262	-26.01	152.1	127.8	179.6	0.
263	-26.11	152.6	128.2	180.6	0.
264	-26.21	153.1	128.6	181.6	0.
265	-26.31	153.5	128.9	182.6	0.

PARATIE 7.00

Ce.A.S. s.r.l. - Milano

PAG. 56

2 FEBBRAIO 2018 17:32:07

History 0 - PALIFI1500

SOIL EL.	QUOTA	SIGMA-H	TAGLIO	PR. ACQUA	GRAD. MAX
266	-26.41	154.0	129.3	183.6	0.
267	-26.51	154.5	129.7	184.6	0.
268	-26.61	154.9	130.1	185.6	0.
269	-26.71	155.4	130.4	186.6	0.
270	-26.81	155.9	130.8	187.6	0.
271	-26.91	156.3	131.2	188.6	0.
272	-27.01	156.8	131.5	189.6	0.
273	-27.11	157.3	131.9	190.6	0.
274	-27.21	157.8	132.3	191.6	0.
275	-27.31	158.2	132.7	192.6	0.
276	-27.41	158.7	133.0	193.6	0.
277	-27.51	159.2	133.4	194.6	0.
278	-27.61	159.6	133.8	195.6	0.
279	-27.71	160.1	134.1	196.6	0.
280	-27.81	160.6	134.5	197.6	0.
281	-27.91	161.0	134.4	198.6	0.
282	-28.01	161.5	133.8	199.6	0.
283	-28.11	162.0	133.2	200.6	0.
284	-28.21	162.5	132.6	201.6	0.
285	-28.31	162.9	132.0	202.6	0.
286	-28.41	163.4	131.4	203.6	0.
287	-28.51	163.9	130.9	204.6	0.
288	-28.61	164.3	130.3	205.6	0.
289	-28.71	164.8	129.7	206.6	0.
290	-28.81	165.3	129.2	207.6	0.
291	-28.91	165.8	128.6	208.6	0.
292	-29.01	166.2	128.1	209.6	0.
293	-29.11	166.7	127.5	210.6	0.
294	-29.21	167.2	127.0	211.6	0.
295	-29.31	167.6	126.5	212.6	0.
296	-29.41	168.1	125.9	213.6	0.
297	-29.51	168.6	125.4	214.6	0.

298	-29.61	169.0	124.9	215.6	0.
299	-29.71	169.5	124.4	216.6	0.
300	-29.81	170.0	123.8	217.6	0.
301	-29.91	170.5	123.3	218.6	0.
302	-30.01	170.9	122.8	219.6	0.
303	-30.11	171.4	122.3	220.6	0.
304	-30.21	171.9	121.8	221.6	0.
305	-30.31	172.3	121.3	222.6	0.
306	-30.41	172.8	120.8	223.6	0.
307	-30.51	173.3	120.3	224.6	0.
308	-30.61	173.7	119.8	225.6	0.
309	-30.71	174.2	119.4	226.6	0.
310	-30.81	174.7	118.9	227.6	0.
311	-30.91	175.2	118.4	228.6	0.

PARATIE 7.00

Ce.A.S. s.r.l. - Milano

PAG. 57

2 FEBBRAIO 2018 17:32:07

History 0 - PALIFI1500

SOIL EL.	QUOTA	SIGMA-H	TAGLIO	PR. ACQUA	GRAD. MAX
312	-31.01	175.6	117.9	229.6	0.
313	-31.11	176.1	117.4	230.6	0.
314	-31.21	176.6	116.9	231.6	0.
315	-31.31	177.0	116.5	232.6	0.
316	-31.41	177.5	116.0	233.6	0.
317	-31.51	178.0	115.5	234.6	0.
318	-31.61	178.4	115.1	235.6	0.
319	-31.71	178.9	114.6	236.6	0.
320	-31.81	179.4	114.1	237.6	0.
321	-31.91	179.9	113.7	238.6	0.
322	-32.01	180.3	113.2	239.6	0.
323	-32.11	180.8	112.7	240.6	0.
324	-32.21	181.3	112.3	241.6	0.
325	-32.31	183.0	111.8	242.6	0.
326	-32.41	184.9	111.3	243.6	0.
327	-32.51	186.9	110.9	244.6	0.
328	-32.61	188.8	110.4	245.6	0.
329	-32.71	190.7	109.9	246.6	0.
330	-32.81	192.8	109.4	247.6	0.
331	-32.91	194.4	109.1	248.6	0.
332	-33.01	195.8	108.9	249.6	0.
333	-33.11	197.2	108.7	250.6	0.
334	-33.21	198.7	108.5	251.6	0.
335	-33.31	200.1	108.2	252.6	0.
336	-33.41	201.5	108.0	253.6	0.
337	-33.50	202.8	107.8	254.5	0.

PARATIE 7.00

Ce.A.S. s.r.l. - Milano

PAG. 58

2 FEBBRAIO 2018 17:32:07

History 0 - PALIFI1500

INVILUPPO RISULTATI NEGLI ELEMENTI TERRENO

* PARETE LeftWall GRUPPO DHLeft*

STEP 1 - 8

* I PASSI NON EQUILIBRATI SONO ESCLUSI *

Nella tabella si stampano i seguenti risultati:

SIGMA-H = massimo sforzo orizzontale efficace [kPa]

TAGLIO = massimo sforzo di taglio [kPa]

PR. ACQUA =massima pressione interstiziale [kPa]

GRAD. MAX =massimo gradiente idraulico

SOIL EL.	QUOTA	SIGMA-H	TAGLIO	PR. ACQUA	GRAD. MAX
1	0.	0.	0.	0.	0.
2	-0.1000	1.021	0.4894	0.	0.
3	-0.2000	2.042	0.9788	0.	0.
4	-0.3000	3.064	1.468	0.	0.
5	-0.4000	4.085	1.958	0.	0.
6	-0.5000	5.106	2.447	0.	0.
7	-0.6000	6.127	2.936	0.	0.
8	-0.7000	7.149	3.426	0.	0.
9	-0.8000	8.170	3.915	0.	0.
10	-0.9000	9.191	4.404	0.	0.
11	-1.000	10.21	4.894	0.	0.
12	-1.100	11.23	5.383	0.	0.
13	-1.200	12.25	5.873	0.	0.
14	-1.300	13.28	6.362	0.	0.
15	-1.400	14.30	6.851	0.	0.
16	-1.500	15.32	7.341	0.	0.
17	-1.600	16.34	7.830	0.	0.
18	-1.700	17.36	8.319	0.	0.
19	-1.800	18.38	8.809	0.	0.
20	-1.900	19.40	9.298	0.	0.
21	-2.000	20.42	9.788	0.	0.
22	-2.100	21.45	10.28	0.	0.
23	-2.200	22.47	10.77	0.	0.

24	-2.300	23.49	11.26	0.	0.
25	-2.400	24.51	11.75	0.	0.
26	-2.500	25.53	12.23	0.	0.
27	-2.510	25.63	12.28	0.	0.
28	-2.610	26.65	12.77	0.	0.
29	-2.710	27.68	13.26	0.	0.
30	-2.810	28.70	13.75	0.	0.
31	-2.910	29.72	14.24	0.	0.
32	-3.010	30.74	14.73	0.	0.
33	-3.110	31.76	15.22	0.	0.
34	-3.210	32.78	15.71	0.	0.
35	-3.310	33.80	16.20	0.	0.

PARATIE 7.00

Ce.A.S. s.r.l. - Milano

PAG. 59

2 FEBBRAIO 2018 17:32:07

History 0 - PALIFI1500

SOIL EL.	QUOTA	SIGMA-H	TAGLIO	PR. ACQUA	GRAD. MAX
36	-3.410	34.82	16.69	0.	0.
37	-3.510	35.85	17.18	0.	0.
38	-3.610	36.87	17.67	0.	0.
39	-3.710	37.89	18.16	0.	0.
40	-3.810	38.91	18.65	0.	0.
41	-3.910	39.93	19.13	0.	0.
42	-4.010	40.95	19.62	0.	0.
43	-4.110	41.97	20.11	0.	0.
44	-4.210	42.99	20.60	0.	0.
45	-4.310	44.02	21.09	0.	0.
46	-4.410	45.04	21.58	0.	0.
47	-4.510	46.06	22.07	0.	0.
48	-4.610	47.08	22.56	0.	0.
49	-4.710	48.10	23.05	0.	0.
50	-4.810	49.12	23.54	0.	0.
51	-4.910	50.14	24.03	0.	0.
52	-5.010	51.16	24.52	0.	0.
53	-5.110	52.19	25.01	0.	0.
54	-5.210	53.21	25.50	0.	0.
55	-5.310	54.23	25.99	0.	0.
56	-5.410	55.25	26.48	0.	0.
57	-5.510	56.27	26.96	0.	0.
58	-5.610	57.29	27.45	0.	0.
59	-5.710	58.31	27.94	0.	0.
60	-5.810	59.33	28.43	0.	0.
61	-5.910	60.36	28.92	0.	0.
62	-6.010	61.38	29.41	0.	0.
63	-6.110	62.40	29.90	0.	0.
64	-6.210	63.42	30.39	0.	0.
65	-6.310	64.44	30.88	0.	0.
66	-6.410	65.46	31.37	0.	0.
67	-6.510	66.48	31.86	0.	0.

68	-6.610	67.50	32.35	0.	0.
69	-6.710	68.53	32.84	0.	0.
70	-6.810	69.55	33.33	0.	0.
71	-6.910	70.57	33.82	0.	0.
72	-7.010	71.59	34.31	0.	0.
73	-7.110	72.61	34.79	0.	0.
74	-7.210	73.63	35.28	0.	0.
75	-7.310	74.65	35.77	0.	0.
76	-7.410	75.67	36.26	0.	0.
77	-7.510	76.70	36.75	0.	0.
78	-7.610	77.72	37.24	0.	0.
79	-7.710	78.74	37.73	0.	0.
80	-7.810	79.76	38.22	0.	0.
81	-7.910	80.78	38.71	0.	0.

PARATIE 7.00

Ce.A.S. s.r.l. - Milano

PAG. 60

2 FEBBRAIO 2018 17:32:07

History 0 - PALIFI1500

SOIL EL.	QUOTA	SIGMA-H	TAGLIO	PR. ACQUA	GRAD. MAX
82	-8.010	81.80	39.20	0.	0.
83	-8.110	102.9	29.34	0.6000	0.
84	-8.210	103.4	29.50	1.600	0.
85	-8.310	104.0	29.67	2.600	0.
86	-8.410	104.6	29.83	3.600	0.
87	-8.510	105.2	29.99	4.600	0.
88	-8.610	105.7	30.16	5.600	0.
89	-8.710	106.3	30.32	6.600	0.
90	-8.810	106.9	30.48	7.600	0.
91	-8.910	107.4	30.65	8.600	0.
92	-9.010	108.0	30.81	9.600	0.
93	-9.110	108.6	30.97	10.60	0.
94	-9.210	109.2	31.14	11.60	0.
95	-9.310	109.7	31.30	12.60	0.
96	-9.410	110.3	31.46	13.60	0.
97	-9.510	110.9	31.63	14.60	0.
98	-9.610	111.5	31.79	15.60	0.
99	-9.710	112.0	31.96	16.60	0.
100	-9.810	112.6	32.12	17.60	0.
101	-9.910	113.2	32.28	18.60	0.
102	-10.01	113.7	32.45	19.60	0.
103	-10.11	114.3	32.61	20.60	0.
104	-10.21	114.9	32.77	21.60	0.
105	-10.31	115.5	32.94	22.60	0.
106	-10.41	116.0	33.10	23.60	0.
107	-10.51	116.6	33.26	24.60	0.
108	-10.61	117.2	33.43	25.60	0.
109	-10.71	117.8	33.59	26.60	0.
110	-10.81	118.3	33.75	27.60	0.
111	-10.91	118.9	33.92	28.60	0.
112	-11.01	119.5	34.08	29.60	0.
113	-11.11	120.1	34.24	30.60	0.

114	-11.21	120.6	34.41	31.60	0.
115	-11.31	121.2	34.57	32.60	0.
116	-11.41	121.8	34.73	33.60	0.
117	-11.51	122.3	34.90	34.60	0.
118	-11.61	122.9	35.06	35.60	0.
119	-11.71	123.5	35.22	36.60	0.
120	-11.81	124.1	35.39	37.60	0.
121	-11.91	124.6	35.55	38.60	0.
122	-12.01	125.2	35.71	39.60	0.
123	-12.11	125.8	35.88	40.60	0.
124	-12.21	126.4	36.04	41.60	0.
125	-12.31	126.9	36.21	42.60	0.
126	-12.41	127.5	36.37	43.60	0.
127	-12.51	128.1	36.53	44.60	0.

PARATIE 7.00

Ce.A.S. s.r.l. - Milano

PAG. 61

2 FEBBRAIO 2018 17:32:07

History 0 - PALIFI1500

SOIL EL.	QUOTA	SIGMA-H	TAGLIO	PR. ACQUA	GRAD. MAX
128	-12.61	128.6	36.70	45.60	0.
129	-12.71	129.2	36.86	46.60	0.
130	-12.81	129.8	37.02	47.60	0.
131	-12.91	130.4	37.19	48.60	0.
132	-13.01	130.9	37.35	49.60	0.
133	-13.11	131.5	37.51	50.60	0.
134	-13.21	132.1	37.68	51.60	0.
135	-13.31	132.7	37.84	52.60	0.
136	-13.41	133.2	38.00	53.60	0.
137	-13.51	133.8	38.17	54.60	0.
138	-13.61	134.4	38.33	55.60	0.
139	-13.71	135.0	38.49	56.60	0.
140	-13.81	135.5	38.66	57.60	0.
141	-13.91	136.1	38.82	58.60	0.
142	-14.01	136.7	38.98	59.60	0.
143	-14.11	137.2	39.15	60.60	0.
144	-14.21	137.8	39.31	61.60	0.
145	-14.31	138.4	39.47	62.60	0.
146	-14.41	139.0	39.64	63.60	0.
147	-14.51	139.5	39.80	64.60	0.
148	-14.61	140.1	39.96	65.60	0.
149	-14.71	140.7	40.13	66.60	0.
150	-14.81	141.3	40.29	67.60	0.
151	-14.91	141.8	40.46	68.60	0.
152	-15.01	142.4	40.62	69.60	0.
153	-15.11	143.0	40.78	70.60	0.
154	-15.21	143.5	40.95	71.60	0.
155	-15.31	144.1	41.11	72.60	0.
156	-15.41	144.7	41.27	73.60	0.
157	-15.51	145.3	41.44	74.60	0.
158	-15.61	145.8	41.60	75.60	0.
159	-15.71	146.4	41.76	76.60	0.

160	-15.81	147.0	41.93	77.60	0.
161	-15.91	147.6	42.09	78.60	0.
162	-16.01	148.1	42.25	79.60	0.
163	-16.11	148.7	42.42	80.60	0.
164	-16.21	149.3	42.58	81.60	0.
165	-16.31	149.9	42.74	82.60	0.
166	-16.41	150.4	42.91	83.60	0.
167	-16.51	151.0	43.07	84.60	0.
168	-16.61	151.6	43.23	85.60	0.
169	-16.71	152.1	43.40	86.60	0.
170	-16.81	152.7	43.56	87.60	0.
171	-16.91	153.3	43.72	88.60	0.
172	-17.01	153.9	43.89	89.60	0.
173	-17.11	154.4	44.05	90.60	0.

PARATIE 7.00

Ce.A.S. s.r.l. - Milano

PAG. 62

2 FEBBRAIO 2018 17:32:07

History 0 - PALIFI1500

SOIL EL.	QUOTA	SIGMA-H	TAGLIO	PR. ACQUA	GRAD. MAX
174	-17.21	155.0	44.21	91.60	0.
175	-17.31	155.6	44.38	92.60	0.
176	-17.41	156.2	44.54	93.60	0.
177	-17.51	156.7	44.71	94.60	0.
178	-17.61	157.3	44.87	95.60	0.
179	-17.71	157.9	45.03	96.60	0.
180	-17.81	158.4	45.20	97.60	0.
181	-17.91	159.0	45.36	98.60	0.
182	-18.01	159.6	45.52	99.60	0.
183	-18.11	160.2	45.69	100.6	0.
184	-18.21	160.7	45.85	101.6	0.
185	-18.31	161.3	46.01	102.6	0.
186	-18.41	161.9	46.18	103.6	0.
187	-18.51	162.5	46.34	104.6	0.
188	-18.61	163.0	46.50	105.6	0.
189	-18.71	163.6	46.67	106.6	0.
190	-18.81	164.2	46.83	107.6	0.
191	-18.91	164.8	46.99	108.6	0.
192	-19.01	165.3	47.16	109.6	0.
193	-19.11	165.9	47.32	110.6	0.
194	-19.21	166.5	47.48	111.6	0.
195	-19.31	167.0	47.65	112.6	0.
196	-19.41	167.6	47.81	113.6	0.
197	-19.51	168.2	47.97	114.6	0.
198	-19.61	168.8	48.14	115.6	0.
199	-19.71	169.3	48.30	116.6	0.
200	-19.81	169.9	48.46	117.6	0.
201	-19.91	170.5	48.63	118.6	0.
202	-20.01	171.1	48.79	119.6	0.
203	-20.11	171.6	48.96	120.6	0.
204	-20.21	172.2	49.12	121.6	0.
205	-20.31	172.8	49.28	122.6	0.

206	-20.41	173.3	49.45	123.6	0.
207	-20.51	173.9	49.61	124.6	0.
208	-20.61	174.5	49.77	125.6	0.
209	-20.71	175.1	49.94	126.6	0.
210	-20.81	175.6	50.10	127.6	0.
211	-20.91	176.2	50.26	128.6	0.
212	-21.01	176.8	50.43	129.6	0.
213	-21.11	177.4	50.59	130.6	0.
214	-21.21	177.9	50.75	131.6	0.
215	-21.31	178.5	50.92	132.6	0.
216	-21.41	179.1	51.08	133.6	0.
217	-21.51	179.7	51.24	134.6	0.
218	-21.61	180.2	51.41	135.6	0.
219	-21.71	180.8	51.57	136.6	0.

PARATIE 7.00

Ce.A.S. s.r.l. - Milano

PAG. 63

2 FEBBRAIO 2018 17:32:07

History 0 - PALIFI1500

SOIL EL.	QUOTA	SIGMA-H	TAGLIO	PR. ACQUA	GRAD. MAX
220	-21.81	181.4	51.73	137.6	0.
221	-21.91	181.9	51.90	138.6	0.
222	-22.01	182.5	52.06	139.6	0.
223	-22.11	183.1	52.22	140.6	0.
224	-22.21	183.7	52.39	141.6	0.
225	-22.31	184.2	52.55	142.6	0.
226	-22.41	184.8	52.71	143.6	0.
227	-22.51	185.4	52.88	144.6	0.
228	-22.61	186.0	53.04	145.6	0.
229	-22.71	186.5	53.21	146.6	0.
230	-22.81	187.1	53.37	147.6	0.
231	-22.91	187.7	53.53	148.6	0.
232	-23.01	188.2	53.70	149.6	0.
233	-23.11	188.8	53.86	150.6	0.
234	-23.21	189.4	54.02	151.6	0.
235	-23.31	190.0	54.19	152.6	0.
236	-23.41	190.5	54.35	153.6	0.
237	-23.51	191.1	54.51	154.6	0.
238	-23.61	191.7	54.68	155.6	0.
239	-23.71	192.3	54.84	156.6	0.
240	-23.81	192.8	55.00	157.6	0.
241	-23.91	193.4	55.17	158.6	0.
242	-24.01	194.0	55.33	159.6	0.
243	-24.11	194.6	55.49	160.6	0.
244	-24.21	195.1	55.66	161.6	0.
245	-24.31	195.7	55.82	162.6	0.
246	-24.41	196.3	55.98	163.6	0.
247	-24.51	196.8	56.15	164.6	0.
248	-24.61	197.4	56.31	165.6	0.
249	-24.71	198.0	56.47	166.6	0.
250	-24.81	198.6	56.64	167.6	0.
251	-24.91	199.1	56.80	168.6	0.

252	-25.01	199.7	56.96	169.6	0.
253	-25.11	170.7	83.36	170.6	0.
254	-25.21	170.4	83.62	171.6	0.
255	-25.31	170.1	83.89	172.6	0.
256	-25.41	169.8	84.15	173.6	0.
257	-25.51	169.5	84.42	174.6	0.
258	-25.61	169.2	84.68	175.6	0.
259	-25.71	168.9	84.95	176.6	0.
260	-25.81	168.6	85.21	177.6	0.
261	-25.91	168.3	85.48	178.6	0.
262	-26.01	168.1	85.74	179.6	0.
263	-26.11	167.8	86.01	180.6	0.
264	-26.21	167.5	86.27	181.6	0.
265	-26.31	167.2	86.54	182.6	0.

PARATIE 7.00

Ce.A.S. s.r.l. - Milano

PAG. 64

2 FEBBRAIO 2018 17:32:07

History 0 - PALIFI1500

SOIL EL.	QUOTA	SIGMA-H	TAGLIO	PR. ACQUA	GRAD. MAX
266	-26.41	166.9	86.80	183.6	0.
267	-26.51	166.7	87.07	184.6	0.
268	-26.61	166.4	87.33	185.6	0.
269	-26.71	166.1	87.60	186.6	0.
270	-26.81	165.9	87.86	187.6	0.
271	-26.91	165.6	88.13	188.6	0.
272	-27.01	165.4	88.39	189.6	0.
273	-27.11	165.1	88.66	190.6	0.
274	-27.21	164.9	88.92	191.6	0.
275	-27.31	164.6	89.19	192.6	0.
276	-27.41	164.4	89.45	193.6	0.
277	-27.51	164.1	89.72	194.6	0.
278	-27.61	163.9	89.98	195.6	0.
279	-27.71	163.7	90.25	196.6	0.
280	-27.81	163.4	90.51	197.6	0.
281	-27.91	163.2	90.78	198.6	0.
282	-28.01	163.0	91.04	199.6	0.
283	-28.11	162.8	91.31	200.6	0.
284	-28.21	162.6	91.57	201.6	0.
285	-28.31	162.9	91.84	202.6	0.
286	-28.41	163.4	92.10	203.6	0.
287	-28.51	163.9	92.37	204.6	0.
288	-28.61	164.3	92.63	205.6	0.
289	-28.71	164.8	92.89	206.6	0.
290	-28.81	165.3	93.16	207.6	0.
291	-28.91	165.8	93.42	208.6	0.
292	-29.01	166.2	93.69	209.6	0.
293	-29.11	166.7	93.95	210.6	0.
294	-29.21	167.2	94.22	211.6	0.
295	-29.31	167.6	94.48	212.6	0.
296	-29.41	168.1	94.75	213.6	0.
297	-29.51	168.6	95.01	214.6	0.

298	-29.61	169.0	95.28	215.6	0.
299	-29.71	169.5	95.54	216.6	0.
300	-29.81	170.0	95.81	217.6	0.
301	-29.91	170.5	96.07	218.6	0.
302	-30.01	170.9	96.34	219.6	0.
303	-30.11	171.4	96.60	220.6	0.
304	-30.21	171.9	96.87	221.6	0.
305	-30.31	172.3	97.13	222.6	0.
306	-30.41	172.8	97.40	223.6	0.
307	-30.51	173.3	97.66	224.6	0.
308	-30.61	173.7	97.93	225.6	0.
309	-30.71	174.2	98.19	226.6	0.
310	-30.81	174.7	98.46	227.6	0.
311	-30.91	175.2	98.72	228.6	0.

PARATIE 7.00

Ce.A.S. s.r.l. - Milano

PAG. 65

2 FEBBRAIO 2018 17:32:07

History 0 - PALIFI1500

SOIL EL.	QUOTA	SIGMA-H	TAGLIO	PR. ACQUA	GRAD. MAX
312	-31.01	175.6	98.99	229.6	0.
313	-31.11	176.1	99.25	230.6	0.
314	-31.21	176.6	99.52	231.6	0.
315	-31.31	177.0	99.78	232.6	0.
316	-31.41	177.5	100.0	233.6	0.
317	-31.51	178.0	100.3	234.6	0.
318	-31.61	178.4	100.6	235.6	0.
319	-31.71	178.9	100.8	236.6	0.
320	-31.81	179.4	101.1	237.6	0.
321	-31.91	179.9	101.4	238.6	0.
322	-32.01	180.3	101.6	239.6	0.
323	-32.11	180.8	101.9	240.6	0.
324	-32.21	181.3	102.2	241.6	0.
325	-32.31	181.7	102.4	242.6	0.
326	-32.41	182.2	102.7	243.6	0.
327	-32.51	182.7	103.0	244.6	0.
328	-32.61	183.1	103.2	245.6	0.
329	-32.71	183.6	103.5	246.6	0.
330	-32.81	184.1	103.8	247.6	0.
331	-32.91	184.6	104.0	248.6	0.
332	-33.01	185.0	104.3	249.6	0.
333	-33.11	185.5	104.6	250.6	0.
334	-33.21	186.0	104.8	251.6	0.
335	-33.31	186.4	105.1	252.6	0.
336	-33.41	186.9	105.3	253.6	0.
337	-33.50	187.3	105.6	254.5	0.

PARATIE 7.00

Ce.A.S. s.r.l. - Milano

PAG. 66

2 FEBBRAIO 2018 17:32:07

History 0 - PALIFI1500

RIASSUNTO SPINTE NEGLI ELEMENTI TERRENO

(LE SPINTE SONO CALCOLATE INTEGRANDO GLI SFORZI NEI SINGOLI ELEMENTI MOLLA)

SPINTA EFFICACE VERA = Integrale delle pressioni orizzontali efficaci in tutti gli elementi nel gruppo: unita' di misura kN/m

SPINTA ACQUA = Integrale delle pressioni interstiziali in tutti gli elementi nel gruppo: unita' di misura kN/m

SPINTA TOTALE VERA = Somma della SPINTA EFFICACE e della SPINTA DELL'ACQUA: e' l' azione totale sulla parete: unita' di misura kN/m

SPINTA ATTIVA POSSIBILE = La minima spinta che puo' essere esercitata da questo gruppo di elementi terreno, in questa fase: unita' di misura kN/m

SPINTA PASSIVA POSSIBILE = La massima spinta che puo' essere esercitata da questo gruppo di elementi terreno, in questa fase: unita' di misura kN/m

RAPPORTO PASSIVA/VERA = e' il rapporto tra la massima spinta possibile e la spinta efficace vera: fornisce un'indicazione su quanta spinta passiva venga mobilitata;

SPINTA PASSIVA MOBILITATA = e' l'inverso del rapporto precedente, espresso in unita' percentuale: indica quanta parte della massima spinta possibile e' stata mobilitata;

RAPPORTO VERA/ATTIVA = e' il rapporto tra la spinta efficace vera e la minima spinta possibile: fornisce un'indicazione di quanto questa porzione di terreno sia prossima alla condizione di massimo rilascio.

FASE	1	GRUPPO -->	UHLe	DHLe
SPINTA EFFICACE VERA		4317.2	4317.2	
SPINTA ACQUA		3238.5	3238.5	
SPINTA TOTALE VERA		7555.7	7555.7	
SPINTA ATTIVA (POSSIBILE)		2584.7	2584.7	

SPINTA EFFICACE VERA	4317.2	4317.2
SPINTA ACQUA	3238.5	3238.5
SPINTA TOTALE VERA	7555.7	7555.7
SPINTA ATTIVA (POSSIBILE)	2584.7	2584.7

SPINTA PASSIVA (POSSIBILE)	28816.	28816.
RAPPORTO PASSIVA/VERA	6.6747	6.6747
SPINTA PASSIVA MOBILITATA	15.%	15.%
RAPPORTO VERA/ATTIVA	1.6703	1.6703

PARATIE 7.00

Ce.A.S. s.r.l. - Milano

PAG. 67

2 FEBBRAIO 2018 17:32:07

History 0 - PALIFI1500

FASE	2	GRUPPO -->	UHLe	DHLe
SPINTA EFFICACE VERA		3529.2	3129.0	
SPINTA ACQUA		3238.5	3238.5	
SPINTA TOTALE VERA		6767.7	6367.5	
SPINTA ATTIVA (POSSIBILE)		2698.0	946.69	
SPINTA PASSIVA (POSSIBILE)		30042.	11829.	
RAPPORTO PASSIVA/VERA		8.5126	3.7804	
SPINTA PASSIVA MOBILITATA		12.%	26.%	
RAPPORTO VERA/ATTIVA		1.3081	3.3052	

FASE	3	GRUPPO -->	UHLe	DHLe
SPINTA EFFICACE VERA		3471.4	3099.5	
SPINTA ACQUA		3238.5	3238.5	
SPINTA TOTALE VERA		6710.0	6338.0	
SPINTA ATTIVA (POSSIBILE)		2584.7	946.69	
SPINTA PASSIVA (POSSIBILE)		28816.	11829.	
RAPPORTO PASSIVA/VERA		8.3009	3.8163	
SPINTA PASSIVA MOBILITATA		12.%	26.%	
RAPPORTO VERA/ATTIVA		1.3431	3.2740	

FASE	4	GRUPPO -->	UHLe	DHLe
SPINTA EFFICACE VERA		3472.5	3099.0	
SPINTA ACQUA		3238.5	3238.5	
SPINTA TOTALE VERA		6711.0	6337.5	
SPINTA ATTIVA (POSSIBILE)		2584.7	946.69	
SPINTA PASSIVA (POSSIBILE)		28816.	11829.	
RAPPORTO PASSIVA/VERA		8.2983	3.8169	
SPINTA PASSIVA MOBILITATA		12.%	26.%	
RAPPORTO VERA/ATTIVA		1.3435	3.2735	

FASE	5	GRUPPO -->	UHL _e	DHL _e
SPINTA EFFICACE VERA		3473.0	3098.7	
SPINTA ACQUA		3238.5	3238.5	
SPINTA TOTALE VERA		6711.6	6337.2	
SPINTA ATTIVA (POSSIBILE)		2584.7	946.69	
SPINTA PASSIVA (POSSIBILE)		28816.	11829.	
RAPPORTO PASSIVA/VERA		8.2971	3.8173	
SPINTA PASSIVA MOBILITATA		12.%	26.%	
RAPPORTO VERA/ATTIVA		1.3437	3.2732	

PARATIE 7.00

Ce.A.S. s.r.l. - Milano

PAG. 68

2 FEBBRAIO 2018 17:32:07

History 0 - PALIFI1500

FASE	6	GRUPPO -->	UHLe	DHLe
SPINTA EFFICACE VERA		3472.9	3098.8	
SPINTA ACQUA		3238.5	3238.5	
SPINTA TOTALE VERA		6711.4	6337.3	
SPINTA ATTIVA (POSSIBILE)		2584.7	946.69	
SPINTA PASSIVA (POSSIBILE)		28816.	11829.	
RAPPORTO PASSIVA/VERA		8.2974	3.8172	
SPINTA PASSIVA MOBILITATA		12.%	26.%	
RAPPORTO VERA/ATTIVA		1.3437	3.2733	

FASE	7	GRUPPO -->	UHLe	DHLe
SPINTA EFFICACE VERA		3628.4	3190.7	
SPINTA ACQUA		3238.5	3238.5	
SPINTA TOTALE VERA		6867.0	6429.2	
SPINTA ATTIVA (POSSIBILE)		2811.3	946.69	
SPINTA PASSIVA (POSSIBILE)		31269.	11829.	
RAPPORTO PASSIVA/VERA		8.6177	3.7072	
SPINTA PASSIVA MOBILITATA		12.%	27.%	
RAPPORTO VERA/ATTIVA		1.2907	3.3703	

FASE	8	GRUPPO -->	UHLe	DHLe
SPINTA EFFICACE VERA		3443.2	3138.5	
SPINTA ACQUA		3238.5	3238.5	
SPINTA TOTALE VERA		6681.8	6377.1	
SPINTA ATTIVA (POSSIBILE)		2584.7	946.69	
SPINTA PASSIVA (POSSIBILE)		22198.	9022.5	
RAPPORTO PASSIVA/VERA		6.4468	2.8747	
SPINTA PASSIVA MOBILITATA		16.%	35.%	
RAPPORTO VERA/ATTIVA		1.3322	3.3153	

13.2 OUTPUT DEL SOFTWARE GROUP

GROUP for Windows, Version 7.0.24

Analysis of A Group of Piles

Subjected to Axial and Lateral Loading

(c) Copyright ENSOFT, Inc., 1987-2006

All Rights Reserved

This program is licensed to:

piacentini

piacentini

Path to file locations: C:\PI-PROGETTI\CVB\LAVORO\TERRAPIENO\Modelli_Group_Pali_Ancoraggio\

Name of input data file: Sisma_Long.gpd

Name of output file: Sisma_Long.gpo

Name of plot output file: Sisma_Long.gpp

Name of runtime file: Sisma_Long.gpr

Name of output summary file: Sisma_Long.gpt

Time and Date of Analysis

Date: December 21, 2017 Time: 12: 2:53

Spalla-Cerlacchia

***** INPUT INFORMATION *****

* TABLE C * LOAD AND CONTROL PARAMETERS

UNITS--

VERT.LOAD, KN HOR.LOADy, KN HOR.LOADz, KN

0.0000E+00 0.0000E+00 0.1178E+05

MOMENT-V , KN- M MOMENT-Hy, KN- M MOMENT-Hz, KN- M

0.0000E+00 0.0000E+00 0.0000E+00

* DISTRIBUTED LOADS *

* THE LOADING IS STATIC *

KPYOP = 0 (CODE TO GENERATE P-Y CURVES)

(KPYOP = 1 IF P-Y YES; = 0 IF P-Y NO; = -1 IF P-Y ONLY)

* CONTROL PARAMETERS *

TOLERANCE ONCONVERGENCE OF FOUNDATION REACTION, = 0.100E-04 M

TOLERANCE ON DETERMINATION OF DEFLECTIONS = 0.254E-06 M

MAX NO OF ITERATIONS ALLOWED FOR FOUNDATION ANALYSIS = 100

MAXIMUM NO. OF ITERATIONS ALLOWED FOR PILE ANALYSIS = 100

* TABLE D * ARRANGEMENT OF PILE GROUPS

GROUP CONNECT NO OF PILE PILE NO L-S CURVE P-Y CURVE

1	FIX	1	1	1	0
2	FIX	1	1	1	0
3	FIX	1	1	1	0
4	FIX	1	1	1	0
5	FIX	1	1	1	0
6	FIX	1	1	1	0

7	FIX	1	1	1	0
8	FIX	1	1	1	0
9	FIX	1	1	1	0
10	FIX	1	1	1	0
11	FIX	1	1	1	0
12	FIX	1	1	1	0
13	FIX	1	1	1	0

GROUP VERT, M HORy, M HORz, M

1 0.0000E+00 -.7650E+01 -.9225E+01

ALPHA ,DEG BETA ,DEG GROUND, M SPRING, KN- M

0.0000 90.0000 0.00 0.00

GROUP VERT, M HORy, M HORz, M

2 0.0000E+00 -.7650E+01 -.7425E+01

ALPHA ,DEG BETA ,DEG GROUND, M SPRING, KN- M

0.0000 90.0000 0.00 0.00

GROUP VERT, M HORy, M HORz, M

3 0.0000E+00 -.7650E+01 -.5625E+01

ALPHA ,DEG BETA ,DEG GROUND, M SPRING, KN- M

0.0000 90.0000 0.00 0.00

GROUP VERT, M HORy, M HORz, M

4 0.0000E+00 -.7650E+01 -.3825E+01

ALPHA ,DEG BETA ,DEG GROUND, M SPRING, KN- M

0.0000 90.0000 0.00 0.00

GROUP VERT, M HORy, M HORz, M

5 0.0000E+00 -.7650E+01 -.2025E+01

ALPHA ,DEG BETA ,DEG GROUND, M SPRING, KN- M

0.0000 90.0000 0.00 0.00

GROUP VERT, M HORy, M HORz, M

6 0.0000E+00 0.0000E+00 -.5625E+01

ALPHA ,DEG BETA ,DEG GROUND, M SPRING, KN- M

0.0000 90.0000 0.00 0.00

GROUP VERT, M HORy, M HORz, M

7 0.0000E+00 0.0000E+00 -.3825E+01

ALPHA ,DEG BETA ,DEG GROUND, M SPRING, KN- M

0.0000 90.0000 0.00 0.00

GROUP VERT, M HORy, M HORz, M

8 0.0000E+00 0.0000E+00 -.2025E+01

ALPHA ,DEG BETA ,DEG GROUND, M SPRING, KN- M

0.0000 90.0000 0.00 0.00

GROUP VERT, M HORy, M HORz, M

9 0.0000E+00 0.7650E+01 -.9225E+01

ALPHA ,DEG BETA ,DEG GROUND, M SPRING, KN- M

0.0000 90.0000 0.00 0.00

GROUP VERT, M HORy, M HORz, M

10 0.0000E+00 0.7650E+01 -.7425E+01

ALPHA ,DEG BETA ,DEG GROUND, M SPRING, KN- M

0.0000 90.0000 0.00 0.00

GROUP VERT, M HORy, M HORz, M

11 0.0000E+00 0.7650E+01 -.5625E+01

ALPHA ,DEG BETA ,DEG GROUND, M SPRING, KN- M

0.0000 90.0000 0.00 0.00

GROUP VERT, M HORy, M HORz, M

12 0.0000E+00 0.7650E+01 -.3825E+01

ALPHA ,DEG BETA ,DEG GROUND, M SPRING, KN- M

0.0000 90.0000 0.00 0.00

GROUP VERT, M HORy, M HORz, M

13 0.0000E+00 0.7650E+01 -.2025E+01

ALPHA ,DEG BETA ,DEG GROUND, M SPRING, KN- M

0.0000 90.0000 0.00 0.00

* TABLE E * PILE GEOMETRY AND PROPERTIES

PILE TYPE = 1 - DRIVEN PILE

= 2 - DRILLED SHAFT

PILE SEC INC LENGTH, M E , KN/ M**2 PILE TYPE

1 1 70 0.3500E+02 0.2850E+08 2

PILE FROM, M TO, M DIAM, M AREA, M**2 I1, M**4 I2, M**4 GJ, M**2

1 0.0000E+00 0.3500E+02 0.1500E+01 0.1767E+01 0.2485E+00 0.2485E+00 0.5735E+07

* TABLE F * AXIAL LOAD VS SETTLEMENT

(THE LOAD-SETTLEMENT CURVE OF SINGLE PILE IS GENERATED INTERNALLY)

NUM OF CURVES 1

CURVE 1 NUM OF POINTS 19

POINT AXIAL LOAD, KN SETTLEMENT, M

1	-0.3874E+04	-0.5321E-01
2	-0.3916E+04	-0.2783E-01
3	-0.4055E+04	-0.1523E-01
4	-0.2860E+04	-0.4266E-02
5	-0.1939E+04	-0.2419E-02
6	-0.4075E+03	-0.4890E-03

7	-0.2037E+03	-0.2445E-03
8	-0.4075E+02	-0.4890E-04
9	-0.4075E+01	-0.4890E-05
10	0.0000E+00	0.0000E+00
11	0.4283E+01	0.5067E-05
12	0.4283E+02	0.5067E-04
13	0.2141E+03	0.2534E-03
14	0.4283E+03	0.5067E-03
15	0.2025E+04	0.2502E-02
16	0.3015E+04	0.4421E-02
17	0.4502E+04	0.1574E-01
18	0.4556E+04	0.2858E-01
19	0.4781E+04	0.5426E-01

* TABLE T * TORS. MOM. VS ANGLE ROT.

(THE TORQUE-ROTATION CURVE OF SINGLE PILE IS GENERATED INTERNALLY)

NUM OF CURVES 1

CURVE 1 NUM OF POINTS 19

POINT	TORS.MOMEN, KN- M	ROT. ANGLE,Rad.
1	-0.4701E+04	-0.8351E-01
2	-0.4753E+04	-0.4982E-01
3	-0.4890E+04	-0.3343E-01
4	-0.4048E+04	-0.1620E-01

5	-0.3182E+04	-0.1114E-01
6	-0.9666E+03	-0.2764E-02
7	-0.4841E+03	-0.1382E-02
8	-0.9682E+02	-0.2765E-03
9	-0.9682E+01	-0.2765E-04
10	0.0000E+00	0.0000E+00
11	0.9682E+01	0.2765E-04
12	0.9682E+02	0.2765E-03
13	0.4841E+03	0.1382E-02
14	0.9666E+03	0.2764E-02
15	0.3182E+04	0.1114E-01
16	0.4048E+04	0.1620E-01
17	0.4890E+04	0.3343E-01
18	0.4753E+04	0.4982E-01
19	0.4701E+04	0.8351E-01

* TABLE H * SOIL DATA FOR AUTO P-Y CURVES

SOILS INFORMATION

AT THE GROUND SURFACE = 0.00 M

6 LAYER(S) OF SOIL

LAYER 1

THE SOIL IS A SAND

X AT THE TOP OF THE LAYER = 0.00 M

X AT THE BOTTOM OF THE LAYER = 4.30 M

MODULUS OF SUBGRADE REACTION = 0.610E+05 KN/ M**3

LAYER 2

THE SOIL IS A STIFF CLAY BELOW THE WATER TABLE

X AT THE TOP OF THE LAYER = 4.30 M

X AT THE BOTTOM OF THE LAYER = 12.30 M

MODULUS OF SUBGRADE REACTION = 0.136E+06 KN/ M**3

LAYER 3

THE SOIL IS A STIFF CLAY BELOW THE WATER TABLE

X AT THE TOP OF THE LAYER = 12.30 M

X AT THE BOTTOM OF THE LAYER = 19.60 M

MODULUS OF SUBGRADE REACTION = 0.136E+06 KN/ M**3

LAYER 4

THE SOIL IS A SAND

X AT THE TOP OF THE LAYER = 19.60 M

X AT THE BOTTOM OF THE LAYER = 22.60 M

MODULUS OF SUBGRADE REACTION = 0.610E+05 KN/ M**3

LAYER 5

THE SOIL IS A STIFF CLAY BELOW THE WATER TABLE

X AT THE TOP OF THE LAYER = 22.60 M

X AT THE BOTTOM OF THE LAYER = 36.10 M

MODULUS OF SUBGRADE REACTION = 0.136E+06 KN/ M**3

LAYER 6

THE SOIL IS A SAND

X AT THE TOP OF THE LAYER = 36.10 M

X AT THE BOTTOM OF THE LAYER = 39.30 M

MODULUS OF SUBGRADE REACTION = 0.610E+05 KN/ M**3

DISTRIBUTION OF EFFECTIVE UNIT WEIGHT WITH DEPTH

11 POINTS

X, M WEIGHT, KN/ M**3

0.0000 0.1900E+02

4.3000 0.1900E+02

4.3000 0.9000E+01

12.3000 0.9000E+01

19.6000 0.9000E+01

19.6000 0.1000E+02

22.6000 0.1000E+02

22.6000 0.9000E+01

36.1000 0.9000E+01

36.1000 0.1000E+02

39.3000 0.1000E+02

DISTRIBUTION OF STRENGTH PARAMETERS WITH DEPTH

12 POINTS

X	C	PHI,DEGREES	E50	FMAX	TIPMAX
---	---	-------------	-----	------	--------

M	KN/ M**2		KN/ M**2	KN/ M**2
---	----------	--	----------	----------

0.00	0.0000E+00	38.000	0.0000E+00	0.0000E+00	0.0000E+00
------	------------	--------	------------	------------	------------

4.30	0.0000E+00	38.000	0.0000E+00	0.4700E+02	0.1978E+04
4.30	0.5000E+02	0.000	0.7000E-02	0.3000E+02	0.4500E+03
12.30	0.7640E+02	0.000	0.7000E-02	0.4500E+02	0.6870E+03
12.30	0.6500E+02	0.000	0.7000E-02	0.3900E+02	0.5850E+03
19.60	0.7230E+02	0.000	0.7000E-02	0.4340E+02	0.6510E+03
19.60	0.0000E+00	38.000	0.0000E+00	0.1200E+03	0.1100E+04
22.60	0.0000E+00	38.000	0.0000E+00	0.1300E+03	0.1100E+04
22.60	0.7860E+02	0.000	0.5000E-02	0.3200E+02	0.7080E+03
36.10	0.1056E+03	0.000	0.5000E-02	0.4200E+02	0.9510E+03
36.10	0.0000E+00	38.000	0.0000E+00	0.1500E+03	0.4000E+04
39.30	0.0000E+00	38.000	0.0000E+00	0.1500E+03	0.4000E+04

REDUCTION FACTORS FOR CLOSELY-SPACED PILE GROUPS ALONG Y-DIRECTION

ESTIMATED ASSUMING MOVEMENT IN THE DIRECTION OF Y-FORCE (+)

GROUP NO P-FACTOR Y-FACTOR

1	0.53	1.00
2	0.33	1.00
3	0.26	1.00
4	0.29	1.00
5	0.44	1.00
6	0.38	1.00
7	0.31	1.00
8	0.43	1.00
9	0.58	1.00
10	0.40	1.00
11	0.34	1.00
12	0.40	1.00

13	0.58	1.00
----	------	------

REDUCTION FACTORS FOR CLOSELY-SPACED PILE GROUPS ALONG Z-DIRECTION

ESTIMATED ASSUMING MOVEMENT IN THE DIRECTION OF Z-FORCE (+)

GROUP NO	P-FACTOR	Y-FACTOR
----------	----------	----------

1	0.23	1.00
2	0.19	1.00
3	0.22	1.00
4	0.32	1.00
5	0.63	1.00
6	0.33	1.00
7	0.37	1.00
8	0.65	1.00
9	0.23	1.00
10	0.19	1.00
11	0.22	1.00
12	0.32	1.00
13	0.63	1.00

Spalla-Cerlacchia

REDUCTION FACTORS FOR CLOSELY-SPACED PILE GROUPS, COMBINED Y AND Z DIRECTIONS
ESTIMATED USING MOVEMENT IN THE DIRECTION OF PILE CAP DISPLACEMENTS

GROUP NO	P-FACTOR	Y-FACTOR
----------	----------	----------

1	0.23	1.00
2	0.19	1.00
3	0.22	1.00
4	0.32	1.00
5	0.63	1.00
6	0.33	1.00
7	0.37	1.00
8	0.65	1.00
9	0.23	1.00
10	0.19	1.00
11	0.22	1.00
12	0.32	1.00
13	0.63	1.00

***** COMPUTATION RESULTS *****

VERT. LOAD, KN HOR. LOADy, KN HOR. LOADz, KN

0.0000E+00 0.0000E+00 0.1178E+05

MOMENT-V , M- KN MOMENT-Hy, M- KN MOMENT-Hz, M- KN

0.0000E+00 0.0000E+00 0.0000E+00

DISPLACEMENT OF GROUPED PILE FOUNDATION

VERTICAL , M HORIZONTALy, M HORIZONTALz, M

0.2560E-02 -0.1448E-12 0.7840E-02

ANGLE ROT.x,RAD ANGLE ROT.y,RAD ANGLE ROT.z,RAD

0.3224E-13 0.4930E-03 -0.9090E-16

NUMBER OF ITERATIONS = 5

* TABLE I * COMPUTATION ON INDIVIDUAL PILE

* PILE GROUP * 1

PILE TOP DISPLACEMENTS AND REACTIONS

THE GLOBAL STRUCTURAL COORDINATE SYSTEM

VDISPL, M HDISPLy, M HDISPLz, M ROT. V,RAD ROT.Hy,RAD ROT.Hz,RAD

-0.199E-02 0.153E-12 0.784E-02 0.322E-13 0.493E-03 -0.909E-16

AXIAL, KN LATy, KN LATz, KN MOMx, KN- M MOMy, KN- M MOMz, KN- M
 -0.160E+04 0.167E-07 0.663E+03 0.113E-07 -0.189E+04 0.603E-07

STRESS, KN/ M**2

0.661E+04

THE PILE COORDINATE SYSTEM

VDISPL, M HDISPLy, M HDISPLz, M ROT. V,RAD ROT.Hy,RAD ROT.Hz,RAD
 -0.199E-02 0.153E-12 0.784E-02 0.322E-13 0.493E-03 -0.909E-16

AXIAL, KN LATy, KN LATz, KN MOMx, KN- M MOMy, KN- M MOMz, KN- M
 -0.160E+04 0.167E-07 0.663E+03 0.113E-07 -0.189E+04 0.603E-07

STRESS, KN/ M**2

0.661E+04

LATERALLY LOADED PILE

6.50 0.655E-13 0.261E-02 0.911E-08 -0.649E+03 0.400E-08 0.101E+03 0.135E-08 0.538E+02
 0.286E+04 0.708E+07 0.708E+07

7.00 0.576E-13 0.226E-02 0.109E-07 -0.693E+03 0.333E-08 0.752E+02 0.131E-08 0.515E+02
 0.299E+04 0.708E+07 0.708E+07

7.50 0.502E-13 0.193E-02 0.124E-07 -0.723E+03 0.268E-08 0.501E+02 0.127E-08 0.489E+02
 0.309E+04 0.708E+07 0.708E+07

8.00 0.432E-13 0.163E-02 0.136E-07 -0.742E+03 0.206E-08 0.263E+02 0.122E-08 0.462E+02
 0.314E+04 0.708E+07 0.708E+07

8.50 0.366E-13 0.135E-02 0.145E-07 -0.749E+03 0.146E-08 0.397E+01 0.117E-08 0.432E+02
 0.316E+04 0.708E+07 0.708E+07

9.00 0.306E-13 0.110E-02 0.150E-07 -0.745E+03 0.890E-09 -0.168E+02 0.111E-08 0.400E+02
 0.315E+04 0.708E+07 0.708E+07

9.50 0.251E-13 0.883E-03 0.153E-07 -0.731E+03 0.351E-09 -0.360E+02 0.105E-08 0.367E+02
 0.311E+04 0.708E+07 0.708E+07

10.00 0.202E-13 0.686E-03 0.154E-07 -0.708E+03 -0.154E-09 -0.535E+02 0.975E-09 0.332E+02
 0.304E+04 0.708E+07 0.708E+07

10.50 0.158E-13 0.515E-03 0.152E-07 -0.677E+03 -0.623E-09 -0.691E+02 0.902E-09 0.294E+02
 0.295E+04 0.708E+07 0.708E+07

11.00 0.119E-13 0.368E-03 0.147E-07 -0.639E+03 -0.105E-08 -0.828E+02 0.825E-09 0.254E+02
 0.283E+04 0.708E+07 0.708E+07

11.50 0.857E-14 0.243E-03 0.141E-07 -0.594E+03 -0.145E-08 -0.945E+02 0.746E-09 0.211E+02
 0.270E+04 0.708E+07 0.708E+07

12.00 0.572E-14 0.139E-03 0.133E-07 -0.544E+03 -0.180E-08 -0.104E+03 0.673E-09 0.164E+02
 0.254E+04 0.708E+07 0.708E+07

12.50 0.334E-14 0.542E-04 0.123E-07 -0.490E+03 -0.211E-08 -0.110E+03 0.544E-09 0.884E+01
 0.238E+04 0.708E+07 0.708E+07

13.00 0.139E-14 -0.132E-04 0.112E-07 -0.433E+03 -0.236E-08 -0.111E+03 0.460E-09 -0.436E+01
 0.221E+04 0.708E+07 0.708E+07

13.50 -0.167E-15 -0.652E-04 0.992E-08 -0.378E+03 -0.247E-08 -0.108E+03 -0.251E-10 -0.982E+01
 0.204E+04 0.708E+07 0.708E+07

14.00 -0.137E-14 -0.104E-03 0.869E-08 -0.326E+03 -0.242E-08 -0.102E+03 -0.165E-09 -0.125E+02
 0.189E+04 0.708E+07 0.708E+07

14.50 -0.227E-14 -0.131E-03 0.750E-08 -0.276E+03 -0.232E-08 -0.955E+02 -0.245E-09 -0.141E+02
 0.174E+04 0.708E+07 0.708E+07

15.00 -0.290E-14 -0.149E-03 0.637E-08 -0.230E+03 -0.218E-08 -0.882E+02 -0.296E-09 -0.152E+02
 0.160E+04 0.708E+07 0.708E+07

15.50 -0.331E-14 -0.158E-03 0.531E-08 -0.188E+03 -0.202E-08 -0.804E+02 -0.330E-09 -0.158E+02
 0.147E+04 0.708E+07 0.708E+07

16.00 -0.353E-14 -0.161E-03 0.434E-08 -0.149E+03 -0.185E-08 -0.725E+02 -0.352E-09 -0.160E+02
 0.135E+04 0.708E+07 0.708E+07

16.50 -0.360E-14 -0.158E-03 0.346E-08 -0.115E+03 -0.168E-08 -0.645E+02 -0.364E-09 -0.160E+02
 0.125E+04 0.708E+07 0.708E+07

17.00 -0.355E-14 -0.152E-03 0.267E-08 -0.850E+02 -0.149E-08 -0.565E+02 -0.369E-09 -0.158E+02
 0.116E+04 0.708E+07 0.708E+07

17.50 -0.340E-14 -0.142E-03 0.197E-08 -0.588E+02 -0.131E-08 -0.487E+02 -0.368E-09 -0.154E+02
 0.108E+04 0.708E+07 0.708E+07

18.00 -0.318E-14 -0.131E-03 0.136E-08 -0.363E+02 -0.113E-08 -0.412E+02 -0.362E-09 -0.149E+02
 0.101E+04 0.708E+07 0.708E+07

18.50 -0.292E-14 -0.118E-03 0.842E-09 -0.176E+02 -0.947E-09 -0.339E+02 -0.352E-09 -0.142E+02
 0.956E+03 0.708E+07 0.708E+07

19.00 -0.262E-14 -0.104E-03 0.413E-09 -0.248E+01 -0.774E-09 -0.270E+02 -0.339E-09 -0.134E+02
 0.911E+03 0.708E+07 0.708E+07

19.50 -0.231E-14 -0.904E-04 0.687E-10 0.932E+01 -0.609E-09 -0.205E+02 -0.323E-09 -0.126E+02
 0.931E+03 0.708E+07 0.708E+07

20.00 -0.200E-14 -0.770E-04 -0.195E-09 0.180E+02 -0.477E-09 -0.154E+02 -0.204E-09 -0.788E+01
 0.957E+03 0.708E+07 0.708E+07

20.50 -0.169E-14 -0.644E-04 -0.407E-09 0.246E+02 -0.379E-09 -0.116E+02 -0.185E-09 -0.703E+01
 0.977E+03 0.708E+07 0.708E+07

21.00 -0.140E-14 -0.525E-04 -0.573E-09 0.296E+02 -0.292E-09 -0.835E+01 -0.163E-09 -0.610E+01
 0.992E+03 0.708E+07 0.708E+07

21.50 -0.113E-14 -0.418E-04 -0.699E-09 0.329E+02 -0.217E-09 -0.554E+01 -0.139E-09 -0.514E+01
 0.100E+04 0.708E+07 0.708E+07

22.00 -0.887E-15 -0.321E-04 -0.789E-09 0.351E+02 -0.153E-09 -0.321E+01 -0.115E-09 -0.418E+01
 0.101E+04 0.708E+07 0.708E+07

22.50 -0.669E-15 -0.238E-04 -0.851E-09 0.361E+02 -0.101E-09 -0.135E+01 -0.917E-10 -0.326E+01
 0.101E+04 0.708E+07 0.708E+07

23.00 -0.481E-15 -0.167E-04 -0.890E-09 0.364E+02 -0.275E-10 0.123E+01 -0.203E-09 -0.705E+01
 0.101E+04 0.708E+07 0.708E+07

23.50 -0.324E-15 -0.108E-04 -0.878E-09 0.349E+02 0.663E-10 0.443E+01 -0.172E-09 -0.576E+01
 0.101E+04 0.708E+07 0.708E+07

24.00 -0.198E-15 -0.625E-05 -0.823E-09 0.319E+02 0.144E-09 0.697E+01 -0.140E-09 -0.443E+01
 0.100E+04 0.708E+07 0.708E+07

24.50 -0.102E-15 -0.279E-05 -0.733E-09 0.279E+02 0.199E-09 0.861E+01 -0.773E-10 -0.212E+01
 0.987E+03 0.708E+07 0.708E+07

25.00 -0.307E-16 -0.312E-06 -0.624E-09 0.233E+02 0.224E-09 0.920E+01 -0.239E-10 -0.243E+00
 0.974E+03 0.708E+07 0.708E+07

25.50 0.181E-16 0.134E-05 -0.509E-09 0.187E+02 0.227E-09 0.900E+01 0.143E-10 0.106E+01
 0.960E+03 0.708E+07 0.708E+07

26.00 0.489E-16 0.233E-05 -0.397E-09 0.143E+02 0.213E-09 0.826E+01 0.395E-10 0.188E+01
 0.946E+03 0.708E+07 0.708E+07

26.50 0.656E-16 0.282E-05 -0.296E-09 0.104E+02 0.190E-09 0.721E+01 0.540E-10 0.232E+01
 0.935E+03 0.708E+07 0.708E+07

27.00 0.720E-16 0.294E-05 -0.208E-09 0.711E+01 0.161E-09 0.601E+01 0.604E-10 0.247E+01
 0.925E+03 0.708E+07 0.708E+07

27.50 0.710E-16 0.281E-05 -0.135E-09 0.441E+01 0.131E-09 0.480E+01 0.607E-10 0.240E+01
 0.916E+03 0.708E+07 0.708E+07

28.00 0.653E-16 0.252E-05 -0.767E-10 0.231E+01 0.101E-09 0.365E+01 0.568E-10 0.219E+01
 0.910E+03 0.708E+07 0.708E+07

28.50 0.568E-16 0.215E-05 -0.331E-10 0.766E+00 0.747E-10 0.262E+01 0.503E-10 0.190E+01
 0.905E+03 0.708E+07 0.708E+07

29.00 0.472E-16 0.176E-05 -0.208E-11 -0.307E+00 0.515E-10 0.175E+01 0.426E-10 0.158E+01
 0.904E+03 0.708E+07 0.708E+07

29.50 0.376E-16 0.137E-05 0.183E-10 -0.985E+00 0.322E-10 0.104E+01 0.344E-10 0.126E+01
 0.906E+03 0.708E+07 0.708E+07

30.00 0.285E-16 0.102E-05 0.301E-10 -0.135E+01 0.169E-10 0.491E+00 0.266E-10 0.950E+00
 0.907E+03 0.708E+07 0.708E+07

30.50 0.206E-16 0.717E-06 0.352E-10 -0.147E+01 0.543E-11 0.837E-01 0.195E-10 0.679E+00
 0.908E+03 0.708E+07 0.708E+07

31.00 0.138E-16 0.466E-06 0.355E-10 -0.143E+01 -0.278E-11 -0.198E+00 0.133E-10 0.449E+00
 0.907E+03 0.708E+07 0.708E+07

31.50 0.837E-17 0.266E-06 0.324E-10 -0.128E+01 -0.816E-11 -0.375E+00 0.819E-11 0.260E+00
 0.907E+03 0.708E+07 0.708E+07

32.00 0.404E-17 0.110E-06 0.273E-10 -0.106E+01 -0.112E-10 -0.468E+00 0.401E-11 0.110E+00
 0.906E+03 0.708E+07 0.708E+07

32.50 0.675E-18 -0.753E-08 0.212E-10 -0.808E+00 -0.124E-10 -0.493E+00 0.681E-12 -0.760E-02
 0.906E+03 0.708E+07 0.708E+07

33.00 -0.194E-17 -0.970E-07 0.149E-10 -0.562E+00 -0.121E-10 -0.467E+00 -0.199E-11 -0.994E-01
 0.905E+03 0.708E+07 0.708E+07

33.50 -0.403E-17 -0.167E-06 0.916E-11 -0.341E+00 -0.105E-10 -0.399E+00 -0.419E-11 -0.173E+00
 0.904E+03 0.708E+07 0.708E+07

34.00 -0.579E-17 -0.224E-06 0.442E-11 -0.163E+00 -0.793E-11 -0.296E+00 -0.612E-11 -0.237E+00
 0.904E+03 0.708E+07 0.708E+07

34.50 -0.740E-17 -0.276E-06 0.122E-11 -0.444E-01 -0.442E-11 -0.163E+00 -0.793E-11 -0.296E+00
 0.903E+03 0.708E+07 0.708E+07

35.00 -0.896E-17 -0.326E-06 -0.436E-25 0.300E-14 0.102E-25 0.149E-14 -0.975E-11 -0.355E+00
 0.903E+03 0.708E+07 0.708E+07

NUMBER OF ITERATIONS IN LLP = 11

* PILE GROUP * 2

PILE TOP DISPLACEMENTS AND REACTIONS

THE GLOBAL STRUCTURAL COORDINATE SYSTEM

VDISPL, M HDISPLy, M HDISPLz, M ROT. V,RAD ROT.Hy,RAD ROT.Hz,RAD
 -0.110E-02 0.947E-13 0.784E-02 0.322E-13 0.493E-03 -0.909E-16

AXIAL, KN LATy, KN LATz, KN MOMx, KN- M MOMy, KN- M MOMz, KN- M

-0.892E+03 0.909E-08 0.576E+03 0.113E-07 -0.168E+04 0.342E-07

STRESS, KN/ M**2

0.558E+04

THE PILE COORDINATE SYSTEM

VDISPL, M HDISPLy, M HDISPLz, M ROT. V,RAD ROT.Hy,RAD ROT.Hz,RAD

-0.110E-02 0.947E-13 0.784E-02 0.322E-13 0.493E-03 -0.909E-16

AXIAL, KN LATy, KN LATz, KN MOMx, KN- M MOMy, KN- M MOMz, KN- M

-0.892E+03 0.909E-08 0.576E+03 0.113E-07 -0.168E+04 0.342E-07

STRESS, KN/ M**2

0.558E+04

LATERALLY LOADED PILE

X FLEXURAL RIGIDITY	DEFLECTION		BENDING MOMENT		SHEAR FORCE		SOIL REACTION		TOTAL			
	Y-DIR	Z-DIR	Z-DIR	Y-DIR	Y-DIR	Z-DIR	Y-DIR	Z-DIR	STRESS	Z-DIR		
	M	M	M	KN- M	KN- M	KN	KN	KN/ M	KN/ M	KN/ M**2	KN- M**2	KN- M**2
<hr/>												
<hr/>												
0.00	0.947E-13	0.784E-02	-0.342E-07	0.168E+04	0.909E-08	0.576E+03	0.000E+00	0.000E+00				
0.558E+04	0.708E+07	0.708E+07										
0.50	0.940E-13	0.756E-02	-0.296E-07	0.139E+04	0.903E-08	0.571E+03	0.248E-09	0.200E+02				
0.471E+04	0.708E+07	0.708E+07										
1.00	0.923E-13	0.724E-02	-0.251E-07	0.111E+04	0.882E-08	0.556E+03	0.553E-09	0.434E+02				
0.385E+04	0.708E+07	0.708E+07										
1.50	0.897E-13	0.687E-02	-0.208E-07	0.838E+03	0.847E-08	0.528E+03	0.880E-09	0.674E+02				
0.303E+04	0.708E+07	0.708E+07										
2.00	0.864E-13	0.648E-02	-0.167E-07	0.583E+03	0.795E-08	0.489E+03	0.120E-08	0.899E+02				
0.226E+04	0.708E+07	0.708E+07										
2.50	0.825E-13	0.607E-02	-0.128E-07	0.350E+03	0.728E-08	0.439E+03	0.148E-08	0.109E+03				
0.156E+04	0.708E+07	0.708E+07										
3.00	0.782E-13	0.564E-02	-0.940E-08	0.145E+03	0.648E-08	0.381E+03	0.171E-08	0.124E+03				
0.941E+03	0.708E+07	0.708E+07										
3.50	0.735E-13	0.521E-02	-0.638E-08	-0.299E+02	0.557E-08	0.316E+03	0.190E-08	0.135E+03				
0.595E+03	0.708E+07	0.708E+07										
4.00	0.686E-13	0.477E-02	-0.383E-08	-0.171E+03	0.460E-08	0.247E+03	0.200E-08	0.139E+03				
0.102E+04	0.708E+07	0.708E+07										
4.50	0.635E-13	0.435E-02	-0.179E-08	-0.277E+03	0.391E-08	0.200E+03	0.752E-09	0.515E+02				
0.134E+04	0.708E+07	0.708E+07										
5.00	0.584E-13	0.393E-02	0.644E-10	-0.370E+03	0.353E-08	0.174E+03	0.751E-09	0.506E+02				
0.162E+04	0.708E+07	0.708E+07										
5.50	0.533E-13	0.353E-02	0.173E-08	-0.450E+03	0.316E-08	0.149E+03	0.746E-09	0.494E+02				
0.186E+04	0.708E+07	0.708E+07										
6.00	0.482E-13	0.315E-02	0.321E-08	-0.518E+03	0.279E-08	0.125E+03	0.737E-09	0.481E+02				
0.207E+04	0.708E+07	0.708E+07										

6.50 0.433E-13 0.278E-02 0.451E-08 -0.574E+03 0.242E-08 0.101E+03 0.725E-09 0.465E+02
 0.224E+04 0.708E+07 0.708E+07

7.00 0.385E-13 0.243E-02 0.563E-08 -0.619E+03 0.206E-08 0.783E+02 0.710E-09 0.448E+02
 0.237E+04 0.708E+07 0.708E+07

7.50 0.340E-13 0.210E-02 0.656E-08 -0.652E+03 0.171E-08 0.564E+02 0.691E-09 0.428E+02
 0.247E+04 0.708E+07 0.708E+07

8.00 0.296E-13 0.180E-02 0.733E-08 -0.675E+03 0.137E-08 0.355E+02 0.669E-09 0.407E+02
 0.254E+04 0.708E+07 0.708E+07

8.50 0.255E-13 0.152E-02 0.793E-08 -0.687E+03 0.104E-08 0.157E+02 0.644E-09 0.384E+02
 0.258E+04 0.708E+07 0.708E+07

9.00 0.217E-13 0.127E-02 0.837E-08 -0.690E+03 0.729E-09 -0.285E+01 0.616E-09 0.360E+02
 0.259E+04 0.708E+07 0.708E+07

9.50 0.182E-13 0.104E-02 0.865E-08 -0.684E+03 0.429E-09 -0.202E+02 0.585E-09 0.334E+02
 0.257E+04 0.708E+07 0.708E+07

10.00 0.150E-13 0.831E-03 0.879E-08 -0.669E+03 0.145E-09 -0.362E+02 0.552E-09 0.306E+02
 0.252E+04 0.708E+07 0.708E+07

10.50 0.121E-13 0.648E-03 0.879E-08 -0.647E+03 -0.123E-09 -0.507E+02 0.516E-09 0.277E+02
 0.246E+04 0.708E+07 0.708E+07

11.00 0.952E-14 0.488E-03 0.866E-08 -0.618E+03 -0.371E-09 -0.638E+02 0.479E-09 0.246E+02
 0.237E+04 0.708E+07 0.708E+07

11.50 0.724E-14 0.350E-03 0.842E-08 -0.583E+03 -0.601E-09 -0.752E+02 0.440E-09 0.213E+02
 0.226E+04 0.708E+07 0.708E+07

12.00 0.525E-14 0.233E-03 0.806E-08 -0.543E+03 -0.811E-09 -0.850E+02 0.401E-09 0.177E+02
 0.214E+04 0.708E+07 0.708E+07

12.50 0.356E-14 0.134E-03 0.760E-08 -0.498E+03 -0.989E-09 -0.924E+02 0.309E-09 0.117E+02
 0.201E+04 0.708E+07 0.708E+07

13.00 0.213E-14 0.535E-04 0.707E-08 -0.450E+03 -0.114E-08 -0.971E+02 0.295E-09 0.742E+01
 0.186E+04 0.708E+07 0.708E+07

13.50 0.947E-15 -0.113E-04 0.646E-08 -0.401E+03 -0.128E-08 -0.981E+02 0.285E-09 -0.341E+01
 0.171E+04 0.708E+07 0.708E+07

14.00 -0.504E-17 -0.621E-04 0.578E-08 -0.352E+03 -0.136E-08 -0.953E+02 -0.657E-12 -0.809E+01
 0.157E+04 0.708E+07 0.708E+07

14.50 -0.753E-15 -0.100E-03 0.510E-08 -0.305E+03 -0.134E-08 -0.906E+02 -0.778E-10 -0.104E+02
 0.143E+04 0.708E+07 0.708E+07

15.00 -0.132E-14 -0.128E-03 0.444E-08 -0.261E+03 -0.129E-08 -0.851E+02 -0.122E-09 -0.118E+02
 0.129E+04 0.708E+07 0.708E+07

15.50 -0.173E-14 -0.146E-03 0.382E-08 -0.220E+03 -0.122E-08 -0.790E+02 -0.151E-09 -0.127E+02
 0.117E+04 0.708E+07 0.708E+07

16.00 -0.201E-14 -0.157E-03 0.323E-08 -0.182E+03 -0.114E-08 -0.725E+02 -0.170E-09 -0.133E+02
 0.105E+04 0.708E+07 0.708E+07

16.50 -0.217E-14 -0.161E-03 0.268E-08 -0.148E+03 -0.105E-08 -0.658E+02 -0.183E-09 -0.135E+02
 0.951E+03 0.708E+07 0.708E+07

17.00 -0.224E-14 -0.160E-03 0.218E-08 -0.116E+03 -0.957E-09 -0.590E+02 -0.190E-09 -0.136E+02
 0.856E+03 0.708E+07 0.708E+07

17.50 -0.223E-14 -0.154E-03 0.172E-08 -0.887E+02 -0.861E-09 -0.523E+02 -0.194E-09 -0.134E+02
 0.772E+03 0.708E+07 0.708E+07

18.00 -0.216E-14 -0.146E-03 0.131E-08 -0.642E+02 -0.763E-09 -0.456E+02 -0.195E-09 -0.132E+02
 0.699E+03 0.708E+07 0.708E+07

18.50 -0.204E-14 -0.135E-03 0.958E-09 -0.431E+02 -0.666E-09 -0.391E+02 -0.193E-09 -0.128E+02
 0.635E+03 0.708E+07 0.708E+07

19.00 -0.189E-14 -0.123E-03 0.649E-09 -0.251E+02 -0.571E-09 -0.329E+02 -0.188E-09 -0.123E+02
 0.581E+03 0.708E+07 0.708E+07

19.50 -0.172E-14 -0.110E-03 0.387E-09 -0.103E+02 -0.478E-09 -0.269E+02 -0.182E-09 -0.117E+02
 0.536E+03 0.708E+07 0.708E+07

20.00 -0.154E-14 -0.969E-04 0.170E-09 0.169E+01 -0.400E-09 -0.219E+02 -0.132E-09 -0.830E+01
 0.510E+03 0.708E+07 0.708E+07

20.50 -0.134E-14 -0.836E-04 -0.130E-10 0.116E+02 -0.336E-09 -0.179E+02 -0.123E-09 -0.765E+01
 0.540E+03 0.708E+07 0.708E+07

21.00 -0.115E-14 -0.706E-04 -0.166E-09 0.195E+02 -0.278E-09 -0.142E+02 -0.112E-09 -0.688E+01
 0.564E+03 0.708E+07 0.708E+07

21.50 -0.965E-15 -0.584E-04 -0.290E-09 0.258E+02 -0.225E-09 -0.110E+02 -0.996E-10 -0.603E+01
 0.583E+03 0.708E+07 0.708E+07

22.00 -0.789E-15 -0.471E-04 -0.390E-09 0.305E+02 -0.178E-09 -0.823E+01 -0.860E-10 -0.513E+01
 0.597E+03 0.708E+07 0.708E+07

22.50 -0.627E-15 -0.368E-04 -0.468E-09 0.340E+02 -0.139E-09 -0.589E+01 -0.720E-10 -0.423E+01
 0.607E+03 0.708E+07 0.708E+07

23.00 -0.481E-15 -0.278E-04 -0.529E-09 0.364E+02 -0.877E-10 -0.292E+01 -0.132E-09 -0.763E+01
 0.615E+03 0.708E+07 0.708E+07

23.50 -0.354E-15 -0.200E-04 -0.556E-09 0.369E+02 -0.256E-10 0.626E+00 -0.116E-09 -0.656E+01
 0.616E+03 0.708E+07 0.708E+07

24.00 -0.247E-15 -0.135E-04 -0.554E-09 0.358E+02 0.283E-10 0.363E+01 -0.997E-10 -0.546E+01
 0.613E+03 0.708E+07 0.708E+07

24.50 -0.159E-15 -0.834E-05 -0.527E-09 0.333E+02 0.740E-10 0.608E+01 -0.829E-10 -0.434E+01
 0.605E+03 0.708E+07 0.708E+07

25.00 -0.904E-16 -0.432E-05 -0.480E-09 0.297E+02 0.109E-09 0.787E+01 -0.588E-10 -0.281E+01
 0.594E+03 0.708E+07 0.708E+07

25.50 -0.382E-16 -0.134E-05 -0.418E-09 0.254E+02 0.130E-09 0.879E+01 -0.254E-10 -0.890E+00
 0.581E+03 0.708E+07 0.708E+07

26.00 -0.801E-18 0.741E-06 -0.349E-09 0.209E+02 0.137E-09 0.889E+01 -0.542E-12 0.502E+00
 0.568E+03 0.708E+07 0.708E+07

26.50 0.243E-16 0.209E-05 -0.281E-09 0.165E+02 0.133E-09 0.841E+01 0.168E-10 0.144E+01
 0.555E+03 0.708E+07 0.708E+07

27.00 0.394E-16 0.285E-05 -0.216E-09 0.125E+02 0.122E-09 0.755E+01 0.277E-10 0.200E+01
 0.542E+03 0.708E+07 0.708E+07

27.50 0.470E-16 0.317E-05 -0.159E-09 0.895E+01 0.106E-09 0.648E+01 0.337E-10 0.227E+01
 0.532E+03 0.708E+07 0.708E+07

28.00 0.489E-16 0.317E-05 -0.110E-09 0.599E+01 0.891E-10 0.533E+01 0.357E-10 0.231E+01
 0.523E+03 0.708E+07 0.708E+07

28.50 0.470E-16 0.297E-05 -0.697E-10 0.362E+01 0.715E-10 0.420E+01 0.349E-10 0.220E+01
 0.516E+03 0.708E+07 0.708E+07

29.00 0.426E-16 0.263E-05 -0.383E-10 0.179E+01 0.547E-10 0.316E+01 0.321E-10 0.199E+01
 0.510E+03 0.708E+07 0.708E+07

29.50 0.368E-16 0.224E-05 -0.150E-10 0.463E+00 0.396E-10 0.223E+01 0.283E-10 0.172E+01
 0.506E+03 0.708E+07 0.708E+07

30.00 0.305E-16 0.182E-05 0.128E-11 -0.436E+00 0.266E-10 0.144E+01 0.238E-10 0.142E+01
 0.506E+03 0.708E+07 0.708E+07

30.50 0.243E-16 0.142E-05 0.116E-10 -0.980E+00 0.158E-10 0.804E+00 0.193E-10 0.113E+01
 0.508E+03 0.708E+07 0.708E+07

31.00 0.184E-16 0.106E-05 0.171E-10 -0.124E+01 0.727E-11 0.307E+00 0.149E-10 0.857E+00
 0.509E+03 0.708E+07 0.708E+07

31.50 0.132E-16 0.741E-06 0.188E-10 -0.129E+01 0.837E-12 -0.592E-01 0.108E-10 0.608E+00
 0.509E+03 0.708E+07 0.708E+07

32.00 0.864E-17 0.467E-06 0.179E-10 -0.118E+01 -0.367E-11 -0.309E+00 0.720E-11 0.389E+00
 0.508E+03 0.708E+07 0.708E+07

 32.50 0.471E-17 0.234E-06 0.152E-10 -0.977E+00 -0.647E-11 -0.456E+00 0.399E-11 0.198E+00
 0.508E+03 0.708E+07 0.708E+07

 33.00 0.131E-17 0.362E-07 0.114E-10 -0.724E+00 -0.775E-11 -0.513E+00 0.113E-11 0.311E-01
 0.507E+03 0.708E+07 0.708E+07

 33.50 -0.169E-17 -0.136E-06 0.741E-11 -0.464E+00 -0.766E-11 -0.491E+00 -0.147E-11 -0.119E+00
 0.506E+03 0.708E+07 0.708E+07

 34.00 -0.442E-17 -0.293E-06 0.376E-11 -0.233E+00 -0.632E-11 -0.396E+00 -0.391E-11 -0.259E+00
 0.506E+03 0.708E+07 0.708E+07

 34.50 -0.702E-17 -0.441E-06 0.109E-11 -0.669E-01 -0.376E-11 -0.233E+00 -0.631E-11 -0.396E+00
 0.505E+03 0.708E+07 0.708E+07

 35.00 -0.958E-17 -0.586E-06 -0.873E-25 0.300E-14 -0.112E-24 -0.131E-13 -0.873E-11 -0.535E+00
 0.505E+03 0.708E+07 0.708E+07

NUMBER OF ITERATIONS IN LLP = 11

* PILE GROUP * 3

PILE TOP DISPLACEMENTS AND REACTIONS

THE GLOBAL STRUCTURAL COORDINATE SYSTEM

VDISPL, M HDISPLy, M HDISPLz, M ROT. V,RAD ROT.Hy,RAD ROT.Hz,RAD
 -0.213E-03 0.366E-13 0.784E-02 0.322E-13 0.493E-03 -0.909E-16

AXIAL, KN LATy, KN LATz, KN MOMx, KN- M MOMy, KN- M MOMz, KN- M
 -0.177E+03 0.384E-08 0.639E+03 0.113E-07 -0.183E+04 0.140E-07

STRESS, KN/ M**2

0.564E+04

THE PILE COORDINATE SYSTEM

VDISPL, M HDISPLy, M HDISPLz, M ROT. V,RAD ROT.Hy,RAD ROT.Hz,RAD
 -0.213E-03 0.366E-13 0.784E-02 0.322E-13 0.493E-03 -0.909E-16

AXIAL, KN LATy, KN LATz, KN MOMx, KN- M MOMy, KN- M MOMz, KN- M
 -0.177E+03 0.384E-08 0.639E+03 0.113E-07 -0.183E+04 0.140E-07

STRESS, KN/ M**2

0.564E+04

LATERALLY LOADED PILE

X	DEFLECTION	BENDING MOMENT	SHEAR FORCE	SOIL REACTION	TOTAL		
FLEXURAL RIGIDITY							
Y-DIR	Z-DIR	Z-DIR	Y-DIR	Y-DIR	Z-DIR	STRESS	Z-DIR
Y-DIR							
M	M	M	KN- M	KN- M	KN	KN	KN/ M
							KN/ M**2
							KN- M**2
							KN- M**2
0.00	0.366E-13	0.784E-02	-0.140E-07	0.183E+04	0.384E-08	0.639E+03	0.000E+00
0.564E+04	0.708E+07	0.708E+07					
0.50	0.363E-13	0.756E-02	-0.121E-07	0.152E+04	0.381E-08	0.633E+03	0.109E-09
0.467E+04	0.708E+07	0.708E+07					
1.00	0.356E-13	0.723E-02	-0.102E-07	0.120E+04	0.373E-08	0.615E+03	0.243E-09
0.373E+04	0.708E+07	0.708E+07					
1.50	0.345E-13	0.685E-02	-0.833E-08	0.900E+03	0.357E-08	0.584E+03	0.387E-09
0.282E+04	0.708E+07	0.708E+07					
2.00	0.332E-13	0.645E-02	-0.659E-08	0.618E+03	0.334E-08	0.539E+03	0.526E-09
0.197E+04	0.708E+07	0.708E+07					
2.50	0.316E-13	0.602E-02	-0.499E-08	0.362E+03	0.305E-08	0.482E+03	0.650E-09
0.119E+04	0.708E+07	0.708E+07					
3.00	0.298E-13	0.558E-02	-0.354E-08	0.136E+03	0.270E-08	0.416E+03	0.749E-09
0.510E+03	0.708E+07	0.708E+07					
3.50	0.279E-13	0.513E-02	-0.229E-08	-0.547E+02	0.230E-08	0.343E+03	0.831E-09
0.265E+03	0.708E+07	0.708E+07					
4.00	0.259E-13	0.469E-02	-0.124E-08	-0.207E+03	0.188E-08	0.265E+03	0.872E-09
0.725E+03	0.708E+07	0.708E+07					
4.50	0.239E-13	0.425E-02	-0.414E-09	-0.320E+03	0.158E-08	0.211E+03	0.326E-09
0.107E+04	0.708E+07	0.708E+07					
5.00	0.218E-13	0.383E-02	0.333E-09	-0.418E+03	0.141E-08	0.183E+03	0.324E-09
0.136E+04	0.708E+07	0.708E+07					
5.50	0.198E-13	0.341E-02	0.999E-09	-0.502E+03	0.125E-08	0.155E+03	0.321E-09
0.162E+04	0.708E+07	0.708E+07					
6.00	0.178E-13	0.302E-02	0.159E-08	-0.573E+03	0.109E-08	0.127E+03	0.316E-09
0.183E+04	0.708E+07	0.708E+07					

6.50 0.159E-13 0.265E-02 0.209E-08 -0.630E+03 0.937E-09 0.101E+03 0.310E-09 0.518E+02
 0.200E+04 0.708E+07 0.708E+07

7.00 0.140E-13 0.230E-02 0.252E-08 -0.674E+03 0.784E-09 0.756E+02 0.302E-09 0.496E+02
 0.213E+04 0.708E+07 0.708E+07

7.50 0.122E-13 0.197E-02 0.288E-08 -0.705E+03 0.636E-09 0.514E+02 0.292E-09 0.472E+02
 0.223E+04 0.708E+07 0.708E+07

8.00 0.105E-13 0.167E-02 0.316E-08 -0.725E+03 0.492E-09 0.284E+02 0.282E-09 0.447E+02
 0.229E+04 0.708E+07 0.708E+07

8.50 0.897E-14 0.139E-02 0.337E-08 -0.733E+03 0.355E-09 0.677E+01 0.269E-09 0.419E+02
 0.231E+04 0.708E+07 0.708E+07

9.00 0.752E-14 0.114E-02 0.351E-08 -0.731E+03 0.223E-09 -0.134E+02 0.256E-09 0.389E+02
 0.231E+04 0.708E+07 0.708E+07

9.50 0.620E-14 0.919E-03 0.359E-08 -0.720E+03 0.988E-10 -0.321E+02 0.241E-09 0.358E+02
 0.227E+04 0.708E+07 0.708E+07

10.00 0.501E-14 0.720E-03 0.361E-08 -0.699E+03 -0.179E-10 -0.492E+02 0.226E-09 0.324E+02
 0.221E+04 0.708E+07 0.708E+07

10.50 0.394E-14 0.546E-03 0.357E-08 -0.671E+03 -0.126E-09 -0.645E+02 0.209E-09 0.289E+02
 0.212E+04 0.708E+07 0.708E+07

11.00 0.300E-14 0.395E-03 0.348E-08 -0.635E+03 -0.226E-09 -0.780E+02 0.191E-09 0.252E+02
 0.202E+04 0.708E+07 0.708E+07

11.50 0.218E-14 0.267E-03 0.335E-08 -0.593E+03 -0.318E-09 -0.896E+02 0.173E-09 0.212E+02
 0.189E+04 0.708E+07 0.708E+07

12.00 0.148E-14 0.159E-03 0.317E-08 -0.545E+03 -0.400E-09 -0.991E+02 0.156E-09 0.167E+02
 0.175E+04 0.708E+07 0.708E+07

12.50 0.892E-15 0.709E-04 0.295E-08 -0.493E+03 -0.469E-09 -0.106E+03 0.121E-09 0.965E+01
 0.159E+04 0.708E+07 0.708E+07

13.00 0.408E-15 0.138E-06 0.270E-08 -0.439E+03 -0.539E-09 -0.108E+03 0.157E-09 0.534E-01
 0.143E+04 0.708E+07 0.708E+07

13.50 0.185E-16 -0.551E-04 0.241E-08 -0.385E+03 -0.579E-09 -0.106E+03 0.290E-11 -0.862E+01
 0.126E+04 0.708E+07 0.708E+07

14.00 -0.286E-15 -0.968E-04 0.212E-08 -0.333E+03 -0.571E-09 -0.101E+03 -0.340E-10 -0.115E+02
 0.111E+04 0.708E+07 0.708E+07

14.50 -0.515E-15 -0.127E-03 0.184E-08 -0.284E+03 -0.549E-09 -0.947E+02 -0.540E-10 -0.133E+02
 0.958E+03 0.708E+07 0.708E+07

15.00 -0.680E-15 -0.147E-03 0.157E-08 -0.239E+03 -0.519E-09 -0.878E+02 -0.668E-10 -0.144E+02
 0.821E+03 0.708E+07 0.708E+07

15.50 -0.789E-15 -0.158E-03 0.132E-08 -0.197E+03 -0.483E-09 -0.804E+02 -0.752E-10 -0.151E+02
 0.693E+03 0.708E+07 0.708E+07

16.00 -0.852E-15 -0.162E-03 0.108E-08 -0.158E+03 -0.444E-09 -0.728E+02 -0.806E-10 -0.154E+02
 0.578E+03 0.708E+07 0.708E+07

16.50 -0.877E-15 -0.161E-03 0.873E-09 -0.124E+03 -0.403E-09 -0.651E+02 -0.839E-10 -0.154E+02
 0.474E+03 0.708E+07 0.708E+07

17.00 -0.870E-15 -0.156E-03 0.682E-09 -0.931E+02 -0.361E-09 -0.574E+02 -0.853E-10 -0.153E+02
 0.381E+03 0.708E+07 0.708E+07

17.50 -0.840E-15 -0.147E-03 0.512E-09 -0.663E+02 -0.318E-09 -0.499E+02 -0.854E-10 -0.150E+02
 0.300E+03 0.708E+07 0.708E+07

18.00 -0.792E-15 -0.136E-03 0.364E-09 -0.432E+02 -0.276E-09 -0.425E+02 -0.842E-10 -0.145E+02
 0.231E+03 0.708E+07 0.708E+07

18.50 -0.730E-15 -0.123E-03 0.236E-09 -0.238E+02 -0.234E-09 -0.354E+02 -0.822E-10 -0.139E+02
 0.172E+03 0.708E+07 0.708E+07

19.00 -0.661E-15 -0.110E-03 0.129E-09 -0.781E+01 -0.194E-09 -0.287E+02 -0.793E-10 -0.132E+02
 0.124E+03 0.708E+07 0.708E+07

19.50 -0.586E-15 -0.963E-04 0.425E-10 0.486E+01 -0.155E-09 -0.222E+02 -0.758E-10 -0.124E+02
 0.115E+03 0.708E+07 0.708E+07

20.00 -0.511E-15 -0.828E-04 -0.255E-10 0.144E+02 -0.124E-09 -0.171E+02 -0.499E-10 -0.808E+01
 0.144E+03 0.708E+07 0.708E+07

20.50 -0.436E-15 -0.697E-04 -0.811E-10 0.220E+02 -0.998E-10 -0.133E+02 -0.455E-10 -0.727E+01
 0.167E+03 0.708E+07 0.708E+07

21.00 -0.364E-15 -0.574E-04 -0.125E-09 0.277E+02 -0.783E-10 -0.986E+01 -0.404E-10 -0.637E+01
 0.184E+03 0.708E+07 0.708E+07

21.50 -0.297E-15 -0.461E-04 -0.159E-09 0.318E+02 -0.595E-10 -0.691E+01 -0.349E-10 -0.543E+01
 0.196E+03 0.708E+07 0.708E+07

22.00 -0.235E-15 -0.360E-04 -0.185E-09 0.346E+02 -0.435E-10 -0.444E+01 -0.292E-10 -0.447E+01
 0.205E+03 0.708E+07 0.708E+07

22.50 -0.179E-15 -0.270E-04 -0.203E-09 0.363E+02 -0.303E-10 -0.244E+01 -0.235E-10 -0.354E+01
 0.210E+03 0.708E+07 0.708E+07

23.00 -0.131E-15 -0.193E-04 -0.215E-09 0.370E+02 -0.121E-10 0.263E+00 -0.492E-10 -0.726E+01
 0.212E+03 0.708E+07 0.708E+07

23.50 -0.907E-16 -0.130E-04 -0.215E-09 0.360E+02 0.107E-10 0.358E+01 -0.420E-10 -0.602E+01
 0.209E+03 0.708E+07 0.708E+07

24.00 -0.577E-16 -0.789E-05 -0.204E-09 0.334E+02 0.299E-10 0.628E+01 -0.347E-10 -0.475E+01
 0.201E+03 0.708E+07 0.708E+07

24.50 -0.319E-16 -0.398E-05 -0.185E-09 0.297E+02 0.444E-10 0.819E+01 -0.232E-10 -0.290E+01
 0.190E+03 0.708E+07 0.708E+07

25.00 -0.126E-16 -0.112E-05 -0.160E-09 0.253E+02 0.525E-10 0.912E+01 -0.938E-11 -0.831E+00
 0.176E+03 0.708E+07 0.708E+07

25.50 0.962E-18 0.850E-06 -0.133E-09 0.206E+02 0.547E-10 0.917E+01 0.728E-12 0.644E+00
 0.162E+03 0.708E+07 0.708E+07

26.00 0.989E-17 0.209E-05 -0.105E-09 0.161E+02 0.526E-10 0.860E+01 0.763E-11 0.162E+01
 0.149E+03 0.708E+07 0.708E+07

26.50 0.151E-16 0.277E-05 -0.800E-10 0.120E+02 0.477E-10 0.765E+01 0.119E-10 0.218E+01
 0.136E+03 0.708E+07 0.708E+07

27.00 0.175E-16 0.302E-05 -0.576E-10 0.844E+01 0.412E-10 0.650E+01 0.140E-10 0.242E+01
 0.126E+03 0.708E+07 0.708E+07

27.50 0.178E-16 0.298E-05 -0.388E-10 0.549E+01 0.341E-10 0.529E+01 0.145E-10 0.243E+01
 0.117E+03 0.708E+07 0.708E+07

28.00 0.168E-16 0.274E-05 -0.236E-10 0.315E+01 0.270E-10 0.411E+01 0.140E-10 0.228E+01
 0.110E+03 0.708E+07 0.708E+07

28.50 0.150E-16 0.239E-05 -0.118E-10 0.138E+01 0.203E-10 0.304E+01 0.126E-10 0.202E+01
 0.104E+03 0.708E+07 0.708E+07

29.00 0.127E-16 0.199E-05 -0.325E-11 0.111E+00 0.144E-10 0.210E+01 0.109E-10 0.172E+01
 0.101E+03 0.708E+07 0.708E+07

29.50 0.103E-16 0.159E-05 0.259E-11 -0.725E+00 0.943E-11 0.132E+01 0.901E-11 0.139E+01
 0.102E+03 0.708E+07 0.708E+07

30.00 0.800E-17 0.122E-05 0.618E-11 -0.121E+01 0.540E-11 0.706E+00 0.713E-11 0.108E+01
 0.104E+03 0.708E+07 0.708E+07

30.50 0.593E-17 0.882E-06 0.799E-11 -0.143E+01 0.228E-11 0.236E+00 0.537E-11 0.798E+00
 0.105E+03 0.708E+07 0.708E+07

31.00 0.414E-17 0.599E-06 0.846E-11 -0.145E+01 -0.156E-13 -0.101E+00 0.380E-11 0.551E+00
 0.105E+03 0.708E+07 0.708E+07

31.50 0.264E-17 0.367E-06 0.797E-11 -0.133E+01 -0.158E-11 -0.325E+00 0.247E-11 0.343E+00
 0.104E+03 0.708E+07 0.708E+07

32.00 0.143E-17 0.182E-06 0.687E-11 -0.112E+01 -0.254E-11 -0.454E+00 0.136E-11 0.173E+00
 0.104E+03 0.708E+07 0.708E+07

32.50 0.458E-18 0.367E-07 0.543E-11 -0.876E+00 -0.299E-11 -0.506E+00 0.442E-12 0.354E-01
 0.103E+03 0.708E+07 0.708E+07

33.00 -0.321E-18 -0.776E-07 0.388E-11 -0.619E+00 -0.302E-11 -0.496E+00 -0.314E-12 -0.760E-01
 0.102E+03 0.708E+07 0.708E+07

33.50 -0.962E-18 -0.170E-06 0.241E-11 -0.380E+00 -0.270E-11 -0.434E+00 -0.956E-12 -0.169E+00
 0.101E+03 0.708E+07 0.708E+07

34.00 -0.152E-17 -0.249E-06 0.118E-11 -0.184E+00 -0.208E-11 -0.329E+00 -0.153E-11 -0.251E+00
 0.101E+03 0.708E+07 0.708E+07

34.50 -0.203E-17 -0.322E-06 0.329E-12 -0.509E-01 -0.118E-11 -0.184E+00 -0.208E-11 -0.329E+00
 0.100E+03 0.708E+07 0.708E+07

35.00 -0.254E-17 -0.392E-06 0.109E-25 0.000E+00 -0.644E-26 -0.121E-14 -0.263E-11 -0.407E+00
 0.100E+03 0.708E+07 0.708E+07

NUMBER OF ITERATIONS IN LLP = 10

* PILE GROUP * 4

PILE TOP DISPLACEMENTS AND REACTIONS

THE GLOBAL STRUCTURAL COORDINATE SYSTEM

VDISPL, M HDISPLy, M HDISPLz, M ROT. V,RAD ROT.Hy,RAD ROT.Hz,RAD
 0.675E-03 -0.214E-13 0.784E-02 0.322E-13 0.493E-03 -0.909E-16

AXIAL, KN LATy, KN LATz, KN MOMx, KN- M MOMy, KN- M MOMz, KN- M

0.563E+03 -0.305E-08 0.869E+03 0.113E-07 -0.237E+04 -0.104E-07

STRESS, KN/ M**2

0.747E+04

THE PILE COORDINATE SYSTEM

VDISPL, M HDISPLy, M HDISPLz, M ROT. V,RAD ROT.Hy,RAD ROT.Hz,RAD

0.675E-03 -0.214E-13 0.784E-02 0.322E-13 0.493E-03 -0.909E-16

AXIAL, KN LATy, KN LATz, KN MOMx, KN- M MOMy, KN- M MOMz, KN- M

0.563E+03 -0.305E-08 0.869E+03 0.113E-07 -0.237E+04 -0.104E-07

STRESS, KN/ M**2

0.747E+04

LATERALLY LOADED PILE

X FLEXURAL RIGIDITY	DEFLECTION		BENDING MOMENT		SHEAR FORCE		SOIL REACTION		TOTAL	
	Y-DIR	Z-DIR	Z-DIR	Y-DIR	Y-DIR	Z-DIR	Y-DIR	Z-DIR	STRESS	Z-DIR
M M**2	M	KN- M	KN- M	KN	KN	KN/ M	KN/ M	KN/ M**2	KN- M**2	KN- M**2
<hr/>										
<hr/>										
0.00	-0.214E-13	0.784E-02	0.104E-07	0.237E+04	-0.305E-08	0.869E+03	0.000E+00	0.000E+00		
0.747E+04	0.708E+07	0.708E+07								
0.50	-0.213E-13	0.755E-02	0.882E-08	0.194E+04	-0.303E-08	0.861E+03	-0.948E-10	0.336E+02		
0.616E+04	0.708E+07	0.708E+07								
1.00	-0.208E-13	0.719E-02	0.732E-08	0.151E+04	-0.295E-08	0.834E+03	-0.211E-09	0.729E+02		
0.487E+04	0.708E+07	0.708E+07								
1.50	-0.201E-13	0.678E-02	0.587E-08	0.110E+04	-0.282E-08	0.788E+03	-0.336E-09	0.113E+03		
0.364E+04	0.708E+07	0.708E+07								
2.00	-0.192E-13	0.634E-02	0.450E-08	0.720E+03	-0.262E-08	0.722E+03	-0.456E-09	0.150E+03		
0.249E+04	0.708E+07	0.708E+07								
2.50	-0.181E-13	0.586E-02	0.325E-08	0.378E+03	-0.236E-08	0.639E+03	-0.562E-09	0.182E+03		
0.146E+04	0.708E+07	0.708E+07								
3.00	-0.170E-13	0.537E-02	0.214E-08	0.810E+02	-0.206E-08	0.542E+03	-0.646E-09	0.205E+03		
0.563E+03	0.708E+07	0.708E+07								
3.50	-0.157E-13	0.488E-02	0.118E-08	-0.165E+03	-0.172E-08	0.436E+03	-0.714E-09	0.222E+03		
0.816E+03	0.708E+07	0.708E+07								
4.00	-0.144E-13	0.440E-02	0.411E-09	-0.355E+03	-0.136E-08	0.323E+03	-0.746E-09	0.228E+03		
0.139E+04	0.708E+07	0.708E+07								
4.50	-0.131E-13	0.393E-02	-0.175E-09	-0.488E+03	-0.110E-08	0.245E+03	-0.274E-09	0.824E+02		
0.179E+04	0.708E+07	0.708E+07								
5.00	-0.118E-13	0.347E-02	-0.693E-09	-0.601E+03	-0.966E-09	0.205E+03	-0.271E-09	0.800E+02		
0.213E+04	0.708E+07	0.708E+07								
5.50	-0.105E-13	0.304E-02	-0.114E-08	-0.694E+03	-0.832E-09	0.165E+03	-0.266E-09	0.772E+02		
0.241E+04	0.708E+07	0.708E+07								
6.00	-0.922E-14	0.263E-02	-0.153E-08	-0.767E+03	-0.701E-09	0.128E+03	-0.260E-09	0.741E+02		
0.263E+04	0.708E+07	0.708E+07								

6.50 -0.802E-14 0.225E-02 -0.184E-08 -0.822E+03 -0.573E-09 0.914E+02 -0.252E-09 0.705E+02
0.280E+04 0.708E+07 0.708E+07

7.00 -0.689E-14 0.190E-02 -0.210E-08 -0.859E+03 -0.449E-09 0.572E+02 -0.242E-09 0.666E+02
0.291E+04 0.708E+07 0.708E+07

7.50 -0.584E-14 0.157E-02 -0.230E-08 -0.879E+03 -0.331E-09 0.249E+02 -0.232E-09 0.624E+02
0.297E+04 0.708E+07 0.708E+07

8.00 -0.486E-14 0.128E-02 -0.243E-08 -0.884E+03 -0.218E-09 -0.510E+01 -0.220E-09 0.578E+02
0.299E+04 0.708E+07 0.708E+07

8.50 -0.398E-14 0.102E-02 -0.251E-08 -0.874E+03 -0.112E-09 -0.328E+02 -0.206E-09 0.530E+02
0.296E+04 0.708E+07 0.708E+07

9.00 -0.318E-14 0.791E-03 -0.254E-08 -0.852E+03 -0.120E-10 -0.580E+02 -0.192E-09 0.478E+02
0.289E+04 0.708E+07 0.708E+07

9.50 -0.247E-14 0.591E-03 -0.253E-08 -0.817E+03 0.803E-10 -0.806E+02 -0.177E-09 0.424E+02
0.278E+04 0.708E+07 0.708E+07

10.00 -0.185E-14 0.421E-03 -0.247E-08 -0.771E+03 0.165E-09 -0.100E+03 -0.161E-09 0.366E+02
0.265E+04 0.708E+07 0.708E+07

10.50 -0.131E-14 0.277E-03 -0.236E-08 -0.717E+03 0.241E-09 -0.117E+03 -0.144E-09 0.305E+02
0.248E+04 0.708E+07 0.708E+07

11.00 -0.862E-15 0.159E-03 -0.222E-08 -0.654E+03 0.309E-09 -0.131E+03 -0.128E-09 0.236E+02
0.229E+04 0.708E+07 0.708E+07

11.50 -0.490E-15 0.640E-04 -0.205E-08 -0.586E+03 0.370E-09 -0.140E+03 -0.117E-09 0.153E+02
0.209E+04 0.708E+07 0.708E+07

12.00 -0.191E-15 -0.104E-04 -0.185E-08 -0.514E+03 0.425E-09 -0.143E+03 -0.100E-09 -0.548E+01
0.187E+04 0.708E+07 0.708E+07

12.50 0.431E-16 -0.666E-04 -0.163E-08 -0.443E+03 0.448E-09 -0.138E+03 0.893E-11 -0.138E+02
0.166E+04 0.708E+07 0.708E+07

13.00 0.219E-15 -0.107E-03 -0.141E-08 -0.376E+03 0.436E-09 -0.130E+03 0.361E-10 -0.177E+02
0.145E+04 0.708E+07 0.708E+07

13.50 0.346E-15 -0.135E-03 -0.119E-08 -0.313E+03 0.415E-09 -0.121E+03 0.512E-10 -0.199E+02
0.126E+04 0.708E+07 0.708E+07

14.00 0.430E-15 -0.151E-03 -0.993E-09 -0.255E+03 0.387E-09 -0.110E+03 0.606E-10 -0.213E+02
0.109E+04 0.708E+07 0.708E+07

14.50 0.479E-15 -0.158E-03 -0.807E-09 -0.203E+03 0.355E-09 -0.996E+02 0.665E-10 -0.219E+02
0.931E+03 0.708E+07 0.708E+07

15.00 0.500E-15 -0.158E-03 -0.638E-09 -0.156E+03 0.321E-09 -0.886E+02 0.699E-10 -0.221E+02
0.788E+03 0.708E+07 0.708E+07

15.50 0.498E-15 -0.153E-03 -0.487E-09 -0.114E+03 0.285E-09 -0.776E+02 0.714E-10 -0.219E+02
0.663E+03 0.708E+07 0.708E+07

16.00 0.479E-15 -0.143E-03 -0.353E-09 -0.781E+02 0.250E-09 -0.668E+02 0.714E-10 -0.213E+02
0.554E+03 0.708E+07 0.708E+07

16.50 0.448E-15 -0.131E-03 -0.237E-09 -0.473E+02 0.214E-09 -0.564E+02 0.703E-10 -0.206E+02
0.461E+03 0.708E+07 0.708E+07

17.00 0.408E-15 -0.117E-03 -0.139E-09 -0.217E+02 0.180E-09 -0.463E+02 0.682E-10 -0.196E+02
0.384E+03 0.708E+07 0.708E+07

17.50 0.364E-15 -0.103E-03 -0.576E-10 -0.963E+00 0.146E-09 -0.368E+02 0.654E-10 -0.185E+02
0.321E+03 0.708E+07 0.708E+07

18.00 0.317E-15 -0.879E-04 0.730E-11 0.151E+02 0.114E-09 -0.279E+02 0.620E-10 -0.172E+02
0.364E+03 0.708E+07 0.708E+07

18.50 0.270E-15 -0.737E-04 0.567E-10 0.269E+02 0.842E-10 -0.196E+02 0.582E-10 -0.159E+02
0.400E+03 0.708E+07 0.708E+07

19.00 0.226E-15 -0.605E-04 0.915E-10 0.348E+02 0.561E-10 -0.120E+02 0.541E-10 -0.145E+02
0.423E+03 0.708E+07 0.708E+07

19.50 0.185E-15 -0.486E-04 0.113E-09 0.390E+02 0.302E-10 -0.514E+01 0.497E-10 -0.131E+02
0.436E+03 0.708E+07 0.708E+07

20.00 0.147E-15 -0.380E-04 0.122E-09 0.399E+02 0.124E-10 -0.506E+00 0.213E-10 -0.549E+01
0.439E+03 0.708E+07 0.708E+07

20.50 0.115E-15 -0.288E-04 0.125E-09 0.395E+02 0.270E-11 0.198E+01 0.177E-10 -0.445E+01
0.438E+03 0.708E+07 0.708E+07

21.00 0.860E-16 -0.211E-04 0.124E-09 0.380E+02 -0.524E-11 0.395E+01 0.141E-10 -0.346E+01
0.433E+03 0.708E+07 0.708E+07

21.50 0.619E-16 -0.146E-04 0.120E-09 0.356E+02 -0.115E-10 0.545E+01 0.108E-10 -0.254E+01
0.426E+03 0.708E+07 0.708E+07

22.00 0.420E-16 -0.946E-05 0.113E-09 0.325E+02 -0.161E-10 0.652E+01 0.772E-11 -0.174E+01
0.417E+03 0.708E+07 0.708E+07

22.50 0.261E-16 -0.542E-05 0.104E-09 0.290E+02 -0.193E-10 0.722E+01 0.506E-11 -0.105E+01
0.406E+03 0.708E+07 0.708E+07

23.00 0.139E-16 -0.242E-05 0.938E-10 0.253E+02 -0.240E-10 0.809E+01 0.140E-10 -0.244E+01
0.395E+03 0.708E+07 0.708E+07

23.50 0.500E-17 -0.305E-06 0.800E-10 0.210E+02 -0.288E-10 0.878E+01 0.516E-11 -0.314E+00
 0.382E+03 0.708E+07 0.708E+07

24.00 -0.108E-17 0.107E-05 0.650E-10 0.165E+02 -0.298E-10 0.858E+01 -0.114E-11 0.112E+01
 0.368E+03 0.708E+07 0.708E+07

24.50 -0.487E-17 0.186E-05 0.502E-10 0.124E+02 -0.283E-10 0.780E+01 -0.523E-11 0.200E+01
 0.356E+03 0.708E+07 0.708E+07

25.00 -0.689E-17 0.221E-05 0.367E-10 0.873E+01 -0.251E-10 0.669E+01 -0.755E-11 0.243E+01
 0.345E+03 0.708E+07 0.708E+07

25.50 -0.761E-17 0.226E-05 0.251E-10 0.569E+01 -0.210E-10 0.545E+01 -0.851E-11 0.252E+01
 0.336E+03 0.708E+07 0.708E+07

26.00 -0.745E-17 0.210E-05 0.157E-10 0.327E+01 -0.168E-10 0.422E+01 -0.850E-11 0.240E+01
 0.328E+03 0.708E+07 0.708E+07

26.50 -0.673E-17 0.183E-05 0.833E-11 0.146E+01 -0.127E-10 0.309E+01 -0.783E-11 0.213E+01
 0.323E+03 0.708E+07 0.708E+07

27.00 -0.572E-17 0.151E-05 0.295E-11 0.180E+00 -0.906E-11 0.212E+01 -0.678E-11 0.178E+01
 0.319E+03 0.708E+07 0.708E+07

27.50 -0.461E-17 0.118E-05 -0.735E-12 -0.655E+00 -0.598E-11 0.131E+01 -0.556E-11 0.142E+01
 0.320E+03 0.708E+07 0.708E+07

28.00 -0.352E-17 0.872E-06 -0.303E-11 -0.114E+01 -0.350E-11 0.692E+00 -0.433E-11 0.107E+01
 0.322E+03 0.708E+07 0.708E+07

28.50 -0.254E-17 0.606E-06 -0.424E-11 -0.135E+01 -0.163E-11 0.235E+00 -0.318E-11 0.757E+00
 0.323E+03 0.708E+07 0.708E+07

29.00 -0.171E-17 0.387E-06 -0.466E-11 -0.137E+01 -0.290E-12 -0.775E-01 -0.217E-11 0.493E+00
 0.323E+03 0.708E+07 0.708E+07

29.50 -0.104E-17 0.217E-06 -0.453E-11 -0.127E+01 0.591E-12 -0.271E+00 -0.135E-11 0.281E+00
 0.322E+03 0.708E+07 0.708E+07

30.00 -0.536E-18 0.922E-07 -0.407E-11 -0.110E+01 0.110E-11 -0.372E+00 -0.705E-12 0.121E+00
 0.322E+03 0.708E+07 0.708E+07

30.50 -0.172E-18 0.584E-08 -0.343E-11 -0.899E+00 0.134E-11 -0.404E+00 -0.230E-12 0.782E-02
 0.321E+03 0.708E+07 0.708E+07

31.00 0.704E-19 -0.488E-07 -0.273E-11 -0.696E+00 0.137E-11 -0.389E+00 0.958E-13 -0.663E-01
 0.321E+03 0.708E+07 0.708E+07

31.50 0.217E-18 -0.788E-07 -0.206E-11 -0.510E+00 0.127E-11 -0.345E+00 0.299E-12 -0.109E+00
 0.320E+03 0.708E+07 0.708E+07

32.00 0.290E-18 -0.909E-07 -0.146E-11 -0.350E+00 0.110E-11 -0.286E+00 0.407E-12 -0.128E+00
 0.320E+03 0.708E+07 0.708E+07

32.50 0.313E-18 -0.906E-07 -0.960E-12 -0.223E+00 0.883E-12 -0.222E+00 0.446E-12 -0.129E+00
 0.319E+03 0.708E+07 0.708E+07

33.00 0.301E-18 -0.824E-07 -0.574E-12 -0.128E+00 0.663E-12 -0.160E+00 0.436E-12 -0.119E+00
 0.319E+03 0.708E+07 0.708E+07

33.50 0.269E-18 -0.697E-07 -0.297E-12 -0.631E-01 0.455E-12 -0.105E+00 0.395E-12 -0.102E+00
 0.319E+03 0.708E+07 0.708E+07

34.00 0.227E-18 -0.547E-07 -0.119E-12 -0.236E-01 0.272E-12 -0.587E-01 0.338E-12 -0.816E-01
 0.319E+03 0.708E+07 0.708E+07

34.50 0.180E-18 -0.389E-07 -0.255E-13 -0.442E-02 0.119E-12 -0.236E-01 0.272E-12 -0.589E-01
 0.319E+03 0.708E+07 0.708E+07

35.00 0.133E-18 -0.230E-07 -0.341E-27 -0.234E-16 0.722E-28 -0.195E-15 0.203E-12 -0.353E-01
 0.319E+03 0.708E+07 0.708E+07

NUMBER OF ITERATIONS IN LLP = 10

* PILE GROUP * 5

PILE TOP DISPLACEMENTS AND REACTIONS

THE GLOBAL STRUCTURAL COORDINATE SYSTEM

VDISPL, M HDISPLy, M HDISPLz, M ROT. V,RAD ROT.Hy,RAD ROT.Hz,RAD
 0.156E-02 -0.795E-13 0.784E-02 0.322E-13 0.493E-03 -0.909E-16

AXIAL, KN LATy, KN LATz, KN MOMx, KN- M MOMy, KN- M MOMz, KN- M

0.127E+04 -0.182E-07 0.146E+04 0.113E-07 -0.362E+04 -0.530E-07

STRESS, KN/ M**2

0.116E+05

THE PILE COORDINATE SYSTEM

VDISPL, M HDISPLy, M HDISPLz, M ROT. V,RAD ROT.Hy,RAD ROT.Hz,RAD

0.156E-02 -0.795E-13 0.784E-02 0.322E-13 0.493E-03 -0.909E-16

AXIAL, KN LATy, KN LATz, KN MOMx, KN- M MOMy, KN- M MOMz, KN- M

0.127E+04 -0.182E-07 0.146E+04 0.113E-07 -0.362E+04 -0.530E-07

STRESS, KN/ M**2

0.116E+05

LATERALLY LOADED PILE

X	DEFLECTION	BENDING MOMENT	SHEAR FORCE	SOIL REACTION	TOTAL						
FLEXURAL RIGIDITY		Y-DIR	Z-DIR	Z-DIR	Y-DIR	Z-DIR	Y-DIR	Z-DIR	STRESS	Z-DIR	
M	M	M	KN- M	KN- M	KN	KN	KN/ M	KN/ M	KN/ M**2	KN- M**2	KN- M**2
<hr/>											
<hr/>											
0.00	-0.795E-13	0.784E-02	0.530E-07	0.362E+04	-0.182E-07	0.146E+04	0.000E+00	0.000E+00			
0.116E+05	0.708E+07	0.708E+07									
0.50	-0.786E-13	0.753E-02	0.439E-07	0.289E+04	-0.180E-07	0.145E+04	-0.685E-09	0.656E+02			
0.944E+04	0.708E+07	0.708E+07									
1.00	-0.761E-13	0.712E-02	0.349E-07	0.217E+04	-0.175E-07	0.140E+04	-0.152E-08	0.142E+03			
0.727E+04	0.708E+07	0.708E+07									
1.50	-0.725E-13	0.663E-02	0.264E-07	0.149E+04	-0.165E-07	0.131E+04	-0.240E-08	0.219E+03			
0.522E+04	0.708E+07	0.708E+07									
2.00	-0.679E-13	0.609E-02	0.184E-07	0.865E+03	-0.151E-07	0.118E+04	-0.324E-08	0.290E+03			
0.333E+04	0.708E+07	0.708E+07									
2.50	-0.626E-13	0.551E-02	0.112E-07	0.311E+03	-0.133E-07	0.102E+04	-0.395E-08	0.348E+03			
0.166E+04	0.708E+07	0.708E+07									
3.00	-0.570E-13	0.493E-02	0.508E-08	-0.155E+03	-0.112E-07	0.834E+03	-0.449E-08	0.389E+03			
0.119E+04	0.708E+07	0.708E+07									
3.50	-0.511E-13	0.435E-02	0.358E-10	-0.525E+03	-0.884E-08	0.633E+03	-0.491E-08	0.418E+03			
0.230E+04	0.708E+07	0.708E+07									
4.00	-0.453E-13	0.379E-02	-0.378E-08	-0.789E+03	-0.636E-08	0.422E+03	-0.505E-08	0.423E+03			
0.310E+04	0.708E+07	0.708E+07									
4.50	-0.396E-13	0.326E-02	-0.633E-08	-0.948E+03	-0.465E-08	0.280E+03	-0.178E-08	0.147E+03			
0.358E+04	0.708E+07	0.708E+07									
5.00	-0.341E-13	0.277E-02	-0.844E-08	-0.107E+04	-0.377E-08	0.209E+03	-0.172E-08	0.140E+03			
0.395E+04	0.708E+07	0.708E+07									
5.50	-0.290E-13	0.231E-02	-0.101E-07	-0.116E+04	-0.293E-08	0.141E+03	-0.165E-08	0.131E+03			
0.422E+04	0.708E+07	0.708E+07									
6.00	-0.242E-13	0.189E-02	-0.114E-07	-0.121E+04	-0.212E-08	0.773E+02	-0.157E-08	0.123E+03			
0.438E+04	0.708E+07	0.708E+07									

6.50 -0.197E-13 0.151E-02 -0.123E-07 -0.124E+04 -0.136E-08 0.184E+02 -0.148E-08 0.113E+03
 0.445E+04 0.708E+07 0.708E+07

7.00 -0.158E-13 0.118E-02 -0.128E-07 -0.123E+04 -0.650E-09 -0.354E+02 -0.137E-08 0.103E+03
 0.444E+04 0.708E+07 0.708E+07

7.50 -0.122E-13 0.889E-03 -0.129E-07 -0.120E+04 0.870E-11 -0.840E+02 -0.126E-08 0.916E+02
 0.435E+04 0.708E+07 0.708E+07

8.00 -0.916E-14 0.642E-03 -0.128E-07 -0.115E+04 0.609E-09 -0.127E+03 -0.114E-08 0.800E+02
 0.419E+04 0.708E+07 0.708E+07

8.50 -0.654E-14 0.436E-03 -0.123E-07 -0.108E+04 0.115E-08 -0.164E+03 -0.101E-08 0.677E+02
 0.397E+04 0.708E+07 0.708E+07

9.00 -0.435E-14 0.268E-03 -0.116E-07 -0.985E+03 0.162E-08 -0.194E+03 -0.883E-09 0.544E+02
 0.369E+04 0.708E+07 0.708E+07

9.50 -0.257E-14 0.134E-03 -0.107E-07 -0.882E+03 0.203E-08 -0.218E+03 -0.755E-09 0.395E+02
 0.338E+04 0.708E+07 0.708E+07

10.00 -0.116E-14 0.322E-04 -0.959E-08 -0.768E+03 0.240E-08 -0.233E+03 -0.719E-09 0.199E+02
 0.304E+04 0.708E+07 0.708E+07

10.50 -0.100E-15 -0.429E-04 -0.830E-08 -0.649E+03 0.259E-08 -0.232E+03 -0.546E-10 -0.234E+02
 0.268E+04 0.708E+07 0.708E+07

11.00 0.671E-15 -0.952E-04 -0.700E-08 -0.536E+03 0.254E-08 -0.217E+03 0.251E-09 -0.356E+02
 0.234E+04 0.708E+07 0.708E+07

11.50 0.119E-14 -0.128E-03 -0.576E-08 -0.432E+03 0.238E-08 -0.197E+03 0.394E-09 -0.424E+02
 0.203E+04 0.708E+07 0.708E+07

12.00 0.152E-14 -0.146E-03 -0.461E-08 -0.339E+03 0.216E-08 -0.175E+03 0.479E-09 -0.463E+02
 0.174E+04 0.708E+07 0.708E+07

12.50 0.167E-14 -0.153E-03 -0.359E-08 -0.257E+03 0.193E-08 -0.154E+03 0.448E-09 -0.408E+02
 0.150E+04 0.708E+07 0.708E+07

13.00 0.170E-14 -0.149E-03 -0.268E-08 -0.185E+03 0.170E-08 -0.133E+03 0.465E-09 -0.407E+02
 0.128E+04 0.708E+07 0.708E+07

13.50 0.164E-14 -0.140E-03 -0.189E-08 -0.124E+03 0.147E-08 -0.113E+03 0.466E-09 -0.397E+02
 0.109E+04 0.708E+07 0.708E+07

14.00 0.151E-14 -0.126E-03 -0.121E-08 -0.724E+02 0.124E-08 -0.936E+02 0.455E-09 -0.380E+02
 0.939E+03 0.708E+07 0.708E+07

14.50 0.134E-14 -0.109E-03 -0.644E-09 -0.303E+02 0.102E-08 -0.752E+02 0.436E-09 -0.356E+02
 0.812E+03 0.708E+07 0.708E+07

15.00 0.114E-14 -0.919E-04 -0.189E-09 0.290E+01 0.808E-09 -0.581E+02 0.410E-09 -0.329E+02
 0.729E+03 0.708E+07 0.708E+07

15.50 0.942E-15 -0.744E-04 0.164E-09 0.279E+02 0.611E-09 -0.424E+02 0.377E-09 -0.298E+02
 0.804E+03 0.708E+07 0.708E+07

16.00 0.745E-15 -0.579E-04 0.423E-09 0.454E+02 0.431E-09 -0.283E+02 0.341E-09 -0.265E+02
 0.857E+03 0.708E+07 0.708E+07

16.50 0.564E-15 -0.430E-04 0.596E-09 0.562E+02 0.271E-09 -0.160E+02 0.302E-09 -0.230E+02
 0.890E+03 0.708E+07 0.708E+07

17.00 0.404E-15 -0.301E-04 0.694E-09 0.614E+02 0.130E-09 -0.535E+01 0.260E-09 -0.194E+02
 0.906E+03 0.708E+07 0.708E+07

17.50 0.268E-15 -0.194E-04 0.727E-09 0.616E+02 0.111E-10 0.342E+01 0.217E-09 -0.157E+02
 0.906E+03 0.708E+07 0.708E+07

18.00 0.158E-15 -0.108E-04 0.705E-09 0.580E+02 -0.861E-10 0.103E+02 0.172E-09 -0.118E+02
 0.895E+03 0.708E+07 0.708E+07

18.50 0.726E-16 -0.431E-05 0.641E-09 0.514E+02 -0.158E-09 0.149E+02 0.115E-09 -0.684E+01
 0.875E+03 0.708E+07 0.708E+07

19.00 0.100E-16 0.389E-06 0.548E-09 0.430E+02 -0.191E-09 0.165E+02 0.163E-10 0.634E+00
 0.850E+03 0.708E+07 0.708E+07

19.50 -0.333E-16 0.357E-05 0.450E-09 0.349E+02 -0.181E-09 0.148E+02 -0.556E-10 0.597E+01
 0.826E+03 0.708E+07 0.708E+07

20.00 -0.607E-16 0.552E-05 0.367E-09 0.282E+02 -0.163E-09 0.130E+02 -0.171E-10 0.156E+01
 0.805E+03 0.708E+07 0.708E+07

20.50 -0.751E-16 0.648E-05 0.288E-09 0.219E+02 -0.153E-09 0.121E+02 -0.226E-10 0.195E+01
 0.786E+03 0.708E+07 0.708E+07

21.00 -0.794E-16 0.666E-05 0.214E-09 0.161E+02 -0.141E-09 0.111E+02 -0.254E-10 0.213E+01
 0.769E+03 0.708E+07 0.708E+07

21.50 -0.761E-16 0.628E-05 0.147E-09 0.109E+02 -0.128E-09 0.100E+02 -0.258E-10 0.213E+01
 0.753E+03 0.708E+07 0.708E+07

22.00 -0.676E-16 0.551E-05 0.862E-10 0.612E+01 -0.115E-09 0.897E+01 -0.243E-10 0.198E+01
 0.739E+03 0.708E+07 0.708E+07

22.50 -0.561E-16 0.452E-05 0.316E-10 0.188E+01 -0.104E-09 0.805E+01 -0.212E-10 0.171E+01
 0.726E+03 0.708E+07 0.708E+07

23.00 -0.435E-16 0.347E-05 -0.178E-10 -0.193E+01 -0.773E-10 0.591E+01 -0.857E-10 0.684E+01
 0.726E+03 0.708E+07 0.708E+07

23.50 -0.315E-16 0.249E-05 -0.458E-10 -0.403E+01 -0.400E-10 0.295E+01 -0.633E-10 0.500E+01
 0.733E+03 0.708E+07 0.708E+07

24.00 -0.211E-16 0.164E-05 -0.579E-10 -0.488E+01 -0.134E-10 0.854E+00 -0.433E-10 0.338E+01
 0.735E+03 0.708E+07 0.708E+07

24.50 -0.127E-16 0.975E-06 -0.592E-10 -0.489E+01 0.414E-11 -0.502E+00 -0.267E-10 0.205E+01
 0.735E+03 0.708E+07 0.708E+07

25.00 -0.648E-17 0.478E-06 -0.538E-10 -0.438E+01 0.143E-10 -0.127E+01 -0.139E-10 0.102E+01
 0.734E+03 0.708E+07 0.708E+07

25.50 -0.212E-17 0.136E-06 -0.449E-10 -0.362E+01 0.189E-10 -0.160E+01 -0.464E-11 0.297E+00
 0.731E+03 0.708E+07 0.708E+07

26.00 0.649E-18 -0.782E-07 -0.349E-10 -0.278E+01 0.197E-10 -0.163E+01 0.145E-11 -0.174E+00
 0.729E+03 0.708E+07 0.708E+07

26.50 0.219E-17 -0.194E-06 -0.252E-10 -0.199E+01 0.181E-10 -0.148E+01 0.497E-11 -0.441E+00
 0.726E+03 0.708E+07 0.708E+07

27.00 0.284E-17 -0.240E-06 -0.167E-10 -0.130E+01 0.152E-10 -0.123E+01 0.657E-11 -0.555E+00
 0.724E+03 0.708E+07 0.708E+07

27.50 0.290E-17 -0.240E-06 -0.996E-11 -0.760E+00 0.119E-10 -0.948E+00 0.684E-11 -0.565E+00
 0.723E+03 0.708E+07 0.708E+07

28.00 0.261E-17 -0.213E-06 -0.487E-11 -0.357E+00 0.860E-11 -0.679E+00 0.626E-11 -0.510E+00
 0.721E+03 0.708E+07 0.708E+07

28.50 0.215E-17 -0.173E-06 -0.136E-11 -0.810E-01 0.572E-11 -0.446E+00 0.524E-11 -0.423E+00
 0.721E+03 0.708E+07 0.708E+07

29.00 0.164E-17 -0.131E-06 0.851E-12 0.893E-01 0.340E-11 -0.259E+00 0.407E-11 -0.324E+00
 0.721E+03 0.708E+07 0.708E+07

29.50 0.116E-17 -0.911E-07 0.204E-11 0.178E+00 0.165E-11 -0.121E+00 0.292E-11 -0.230E+00
 0.721E+03 0.708E+07 0.708E+07

30.00 0.747E-18 -0.581E-07 0.250E-11 0.210E+00 0.438E-12 -0.257E-01 0.192E-11 -0.149E+00
 0.721E+03 0.708E+07 0.708E+07

30.50 0.426E-18 -0.324E-07 0.248E-11 0.204E+00 -0.320E-12 0.328E-01 0.111E-11 -0.847E-01
 0.721E+03 0.708E+07 0.708E+07

31.00 0.193E-18 -0.139E-07 0.218E-11 0.177E+00 -0.727E-12 0.632E-01 0.514E-12 -0.370E-01
 0.721E+03 0.708E+07 0.708E+07

31.50 0.375E-19 -0.175E-08 0.175E-11 0.141E+00 -0.881E-12 0.736E-01 0.101E-12 -0.472E-02
 0.721E+03 0.708E+07 0.708E+07

32.00 -0.566E-19 0.547E-08 0.130E-11 0.104E+00 -0.867E-12 0.711E-01 -0.155E-12 0.150E-01
 0.721E+03 0.708E+07 0.708E+07

32.50 -0.105E-18 0.902E-08 0.887E-12 0.700E-01 -0.756E-12 0.610E-01 -0.291E-12 0.251E-01
 0.721E+03 0.708E+07 0.708E+07

33.00 -0.121E-18 0.101E-07 0.545E-12 0.427E-01 -0.597E-12 0.476E-01 -0.343E-12 0.286E-01
 0.720E+03 0.708E+07 0.708E+07

33.50 -0.119E-18 0.968E-08 0.290E-12 0.224E-01 -0.426E-12 0.335E-01 -0.341E-12 0.278E-01
 0.720E+03 0.708E+07 0.708E+07

34.00 -0.106E-18 0.847E-08 0.120E-12 0.912E-02 -0.263E-12 0.204E-01 -0.310E-12 0.247E-01
 0.720E+03 0.708E+07 0.708E+07

34.50 -0.893E-19 0.693E-08 0.268E-13 0.200E-02 -0.120E-12 0.912E-02 -0.264E-12 0.205E-01
 0.720E+03 0.708E+07 0.708E+07

35.00 -0.715E-19 0.533E-08 0.000E+00 -0.586E-16 -0.597E-27 0.856E-16 -0.214E-12 0.160E-01
 0.720E+03 0.708E+07 0.708E+07

NUMBER OF ITERATIONS IN LLP = 10

* PILE GROUP * 6

PILE TOP DISPLACEMENTS AND REACTIONS

THE GLOBAL STRUCTURAL COORDINATE SYSTEM

VDISPL, M HDISPLy, M HDISPLz, M ROT. V,RAD ROT.Hy,RAD ROT.Hz,RAD
 -0.213E-03 0.366E-13 0.784E-02 0.322E-13 0.493E-03 -0.909E-16

AXIAL, KN LATy, KN LATz, KN MOMx, KN- M MOMy, KN- M MOMz, KN- M
-0.177E+03 0.522E-08 0.890E+03 0.113E-07 -0.242E+04 0.173E-07

STRESS, KN/ M**2

0.739E+04

THE PILE COORDINATE SYSTEM

VDISPL, M HDISPLy, M HDISPLz, M ROT. V,RAD ROT.Hy,RAD ROT.Hz,RAD
-0.213E-03 0.366E-13 0.784E-02 0.322E-13 0.493E-03 -0.909E-16

AXIAL, KN LATy, KN LATz, KN MOMx, KN- M MOMy, KN- M MOMz, KN- M
-0.177E+03 0.522E-08 0.890E+03 0.113E-07 -0.242E+04 0.173E-07

STRESS, KN/ M**2

0.739E+04

LATERALLY LOADED PILE

X FLEXURAL RIGIDITY	DEFLECTION		BENDING MOMENT		SHEAR FORCE		SOIL REACTION		TOTAL		
	Y-DIR	Z-DIR	Z-DIR	Y-DIR	Y-DIR	Z-DIR	Y-DIR	Z-DIR	STRESS	Z-DIR	
	M	M	KN- M	KN- M	KN	KN	KN/ M	KN/ M	KN/ M**2	KN- M**2	KN- M**2
<hr/>											
<hr/>											
0.00	0.366E-13	0.784E-02	-0.173E-07	0.242E+04	0.522E-08	0.890E+03	0.000E+00	0.000E+00			
0.739E+04	0.708E+07	0.708E+07									
0.50	0.363E-13	0.755E-02	-0.147E-07	0.197E+04	0.518E-08	0.882E+03	0.166E-09	0.346E+02			
0.605E+04	0.708E+07	0.708E+07									
1.00	0.354E-13	0.719E-02	-0.121E-07	0.153E+04	0.504E-08	0.854E+03	0.369E-09	0.751E+02			
0.473E+04	0.708E+07	0.708E+07									
1.50	0.341E-13	0.678E-02	-0.963E-08	0.112E+04	0.480E-08	0.806E+03	0.586E-09	0.116E+03			
0.347E+04	0.708E+07	0.708E+07									
2.00	0.325E-13	0.633E-02	-0.730E-08	0.728E+03	0.446E-08	0.739E+03	0.794E-09	0.155E+03			
0.230E+04	0.708E+07	0.708E+07									
2.50	0.306E-13	0.585E-02	-0.518E-08	0.378E+03	0.401E-08	0.653E+03	0.977E-09	0.187E+03			
0.124E+04	0.708E+07	0.708E+07									
3.00	0.285E-13	0.536E-02	-0.329E-08	0.746E+02	0.349E-08	0.554E+03	0.112E-08	0.211E+03			
0.325E+03	0.708E+07	0.708E+07									
3.50	0.263E-13	0.486E-02	-0.169E-08	-0.176E+03	0.290E-08	0.444E+03	0.124E-08	0.229E+03			
0.631E+03	0.708E+07	0.708E+07									
4.00	0.241E-13	0.438E-02	-0.390E-09	-0.369E+03	0.227E-08	0.328E+03	0.129E-08	0.234E+03			
0.121E+04	0.708E+07	0.708E+07									
4.50	0.218E-13	0.390E-02	0.583E-09	-0.504E+03	0.183E-08	0.248E+03	0.473E-09	0.846E+02			
0.162E+04	0.708E+07	0.708E+07									
5.00	0.195E-13	0.344E-02	0.144E-08	-0.617E+03	0.159E-08	0.207E+03	0.466E-09	0.821E+02			
0.196E+04	0.708E+07	0.708E+07									
5.50	0.173E-13	0.301E-02	0.218E-08	-0.710E+03	0.136E-08	0.166E+03	0.456E-09	0.792E+02			
0.224E+04	0.708E+07	0.708E+07									
6.00	0.152E-13	0.260E-02	0.280E-08	-0.783E+03	0.114E-08	0.127E+03	0.444E-09	0.758E+02			
0.246E+04	0.708E+07	0.708E+07									

6.50 0.132E-13 0.222E-02 0.331E-08 -0.837E+03 0.921E-09 0.905E+02 0.430E-09 0.721E+02
 0.263E+04 0.708E+07 0.708E+07

7.00 0.113E-13 0.186E-02 0.372E-08 -0.874E+03 0.710E-09 0.555E+02 0.413E-09 0.680E+02
 0.274E+04 0.708E+07 0.708E+07

7.50 0.954E-14 0.154E-02 0.402E-08 -0.893E+03 0.509E-09 0.225E+02 0.393E-09 0.636E+02
 0.279E+04 0.708E+07 0.708E+07

8.00 0.791E-14 0.125E-02 0.423E-08 -0.896E+03 0.317E-09 -0.808E+01 0.372E-09 0.589E+02
 0.280E+04 0.708E+07 0.708E+07

8.50 0.643E-14 0.994E-03 0.434E-08 -0.885E+03 0.137E-09 -0.363E+02 0.348E-09 0.538E+02
 0.277E+04 0.708E+07 0.708E+07

9.00 0.510E-14 0.766E-03 0.437E-08 -0.860E+03 -0.306E-10 -0.618E+02 0.323E-09 0.485E+02
 0.269E+04 0.708E+07 0.708E+07

9.50 0.393E-14 0.569E-03 0.431E-08 -0.823E+03 -0.185E-09 -0.847E+02 0.296E-09 0.428E+02
 0.258E+04 0.708E+07 0.708E+07

10.00 0.291E-14 0.401E-03 0.418E-08 -0.775E+03 -0.326E-09 -0.105E+03 0.268E-09 0.368E+02
 0.244E+04 0.708E+07 0.708E+07

10.50 0.204E-14 0.260E-03 0.398E-08 -0.718E+03 -0.453E-09 -0.121E+03 0.239E-09 0.304E+02
 0.227E+04 0.708E+07 0.708E+07

11.00 0.131E-14 0.144E-03 0.373E-08 -0.653E+03 -0.565E-09 -0.135E+03 0.210E-09 0.232E+02
 0.207E+04 0.708E+07 0.708E+07

11.50 0.710E-15 0.520E-04 0.342E-08 -0.583E+03 -0.667E-09 -0.144E+03 0.195E-09 0.143E+02
 0.186E+04 0.708E+07 0.708E+07

12.00 0.231E-15 -0.198E-04 0.306E-08 -0.509E+03 -0.741E-09 -0.146E+03 0.104E-09 -0.893E+01
 0.164E+04 0.708E+07 0.708E+07

12.50 -0.140E-15 -0.737E-04 0.268E-08 -0.438E+03 -0.760E-09 -0.140E+03 -0.283E-10 -0.149E+02
 0.142E+04 0.708E+07 0.708E+07

13.00 -0.416E-15 -0.112E-03 0.230E-08 -0.370E+03 -0.736E-09 -0.131E+03 -0.690E-10 -0.186E+02
 0.122E+04 0.708E+07 0.708E+07

13.50 -0.612E-15 -0.137E-03 0.194E-08 -0.306E+03 -0.696E-09 -0.121E+03 -0.923E-10 -0.207E+02
 0.103E+04 0.708E+07 0.708E+07

14.00 -0.739E-15 -0.152E-03 0.160E-08 -0.248E+03 -0.646E-09 -0.111E+03 -0.107E-09 -0.220E+02
 0.850E+03 0.708E+07 0.708E+07

14.50 -0.809E-15 -0.158E-03 0.129E-08 -0.196E+03 -0.590E-09 -0.995E+02 -0.116E-09 -0.226E+02
 0.691E+03 0.708E+07 0.708E+07

15.00 -0.834E-15 -0.157E-03 0.101E-08 -0.149E+03 -0.531E-09 -0.882E+02 -0.121E-09 -0.226E+02
0.550E+03 0.708E+07 0.708E+07

15.50 -0.823E-15 -0.150E-03 0.763E-09 -0.108E+03 -0.470E-09 -0.770E+02 -0.122E-09 -0.223E+02
0.425E+03 0.708E+07 0.708E+07

16.00 -0.785E-15 -0.140E-03 0.543E-09 -0.719E+02 -0.409E-09 -0.659E+02 -0.122E-09 -0.217E+02
0.317E+03 0.708E+07 0.708E+07

16.50 -0.728E-15 -0.127E-03 0.353E-09 -0.417E+02 -0.349E-09 -0.553E+02 -0.119E-09 -0.209E+02
0.226E+03 0.708E+07 0.708E+07

17.00 -0.658E-15 -0.113E-03 0.194E-09 -0.166E+02 -0.291E-09 -0.451E+02 -0.115E-09 -0.198E+02
0.150E+03 0.708E+07 0.708E+07

17.50 -0.581E-15 -0.983E-04 0.628E-10 0.344E+01 -0.234E-09 -0.355E+02 -0.110E-09 -0.186E+02
0.111E+03 0.708E+07 0.708E+07

18.00 -0.503E-15 -0.837E-04 -0.406E-10 0.189E+02 -0.181E-09 -0.265E+02 -0.104E-09 -0.173E+02
0.157E+03 0.708E+07 0.708E+07

18.50 -0.425E-15 -0.696E-04 -0.118E-09 0.300E+02 -0.131E-09 -0.182E+02 -0.970E-10 -0.159E+02
0.191E+03 0.708E+07 0.708E+07

19.00 -0.352E-15 -0.567E-04 -0.171E-09 0.371E+02 -0.838E-10 -0.107E+02 -0.897E-10 -0.144E+02
0.212E+03 0.708E+07 0.708E+07

19.50 -0.285E-15 -0.451E-04 -0.202E-09 0.406E+02 -0.409E-10 -0.381E+01 -0.820E-10 -0.130E+02
0.223E+03 0.708E+07 0.708E+07

20.00 -0.225E-15 -0.349E-04 -0.212E-09 0.409E+02 -0.120E-10 0.722E+00 -0.335E-10 -0.518E+01
0.224E+03 0.708E+07 0.708E+07

20.50 -0.173E-15 -0.261E-04 -0.214E-09 0.399E+02 0.323E-11 0.305E+01 -0.275E-10 -0.415E+01
0.221E+03 0.708E+07 0.708E+07

21.00 -0.128E-15 -0.188E-04 -0.209E-09 0.379E+02 0.155E-10 0.488E+01 -0.216E-10 -0.317E+01
0.214E+03 0.708E+07 0.708E+07

21.50 -0.904E-16 -0.127E-04 -0.198E-09 0.350E+02 0.250E-10 0.625E+01 -0.162E-10 -0.228E+01
0.206E+03 0.708E+07 0.708E+07

22.00 -0.599E-16 -0.797E-05 -0.184E-09 0.316E+02 0.318E-10 0.719E+01 -0.113E-10 -0.151E+01
0.196E+03 0.708E+07 0.708E+07

22.50 -0.358E-16 -0.431E-05 -0.166E-09 0.278E+02 0.365E-10 0.778E+01 -0.714E-11 -0.859E+00
0.184E+03 0.708E+07 0.708E+07

23.00 -0.176E-16 -0.163E-05 -0.147E-09 0.238E+02 0.428E-10 0.842E+01 -0.183E-10 -0.169E+01
0.172E+03 0.708E+07 0.708E+07

23.50 -0.460E-17 0.207E-06 -0.124E-09 0.194E+02 0.486E-10 0.879E+01 -0.488E-11 0.220E+00
 0.159E+03 0.708E+07 0.708E+07

24.00 0.405E-17 0.136E-05 -0.986E-10 0.150E+02 0.487E-10 0.837E+01 0.439E-11 0.147E+01
 0.146E+03 0.708E+07 0.708E+07

24.50 0.921E-17 0.198E-05 -0.748E-10 0.110E+02 0.451E-10 0.745E+01 0.102E-10 0.219E+01
 0.133E+03 0.708E+07 0.708E+07

25.00 0.117E-16 0.222E-05 -0.535E-10 0.758E+01 0.392E-10 0.628E+01 0.133E-10 0.250E+01
 0.123E+03 0.708E+07 0.708E+07

25.50 0.124E-16 0.218E-05 -0.356E-10 0.475E+01 0.323E-10 0.502E+01 0.142E-10 0.251E+01
 0.115E+03 0.708E+07 0.708E+07

26.00 0.117E-16 0.198E-05 -0.212E-10 0.256E+01 0.253E-10 0.381E+01 0.138E-10 0.233E+01
 0.108E+03 0.708E+07 0.708E+07

26.50 0.104E-16 0.169E-05 -0.103E-10 0.942E+00 0.188E-10 0.273E+01 0.124E-10 0.202E+01
 0.103E+03 0.708E+07 0.708E+07

27.00 0.864E-17 0.136E-05 -0.242E-11 -0.168E+00 0.130E-10 0.180E+01 0.105E-10 0.166E+01
 0.101E+03 0.708E+07 0.708E+07

27.50 0.682E-17 0.104E-05 0.277E-11 -0.863E+00 0.828E-11 0.107E+01 0.848E-11 0.130E+01
 0.103E+03 0.708E+07 0.708E+07

28.00 0.510E-17 0.754E-06 0.586E-11 -0.123E+01 0.455E-11 0.503E+00 0.645E-11 0.953E+00
 0.104E+03 0.708E+07 0.708E+07

28.50 0.359E-17 0.508E-06 0.732E-11 -0.137E+01 0.178E-11 0.102E+00 0.462E-11 0.654E+00
 0.104E+03 0.708E+07 0.708E+07

29.00 0.233E-17 0.311E-06 0.764E-11 -0.134E+01 -0.137E-12 -0.164E+00 0.305E-11 0.407E+00
 0.104E+03 0.708E+07 0.708E+07

29.50 0.135E-17 0.160E-06 0.719E-11 -0.120E+01 -0.135E-11 -0.319E+00 0.179E-11 0.214E+00
 0.104E+03 0.708E+07 0.708E+07

30.00 0.613E-18 0.526E-07 0.629E-11 -0.102E+01 -0.200E-11 -0.390E+00 0.830E-12 0.713E-01
 0.103E+03 0.708E+07 0.708E+07

30.50 0.102E-18 -0.193E-07 0.518E-11 -0.812E+00 -0.225E-11 -0.401E+00 0.141E-12 -0.266E-01
 0.103E+03 0.708E+07 0.708E+07

31.00 -0.226E-18 -0.626E-07 0.404E-11 -0.615E+00 -0.220E-11 -0.373E+00 -0.316E-12 -0.876E-01
 0.102E+03 0.708E+07 0.708E+07

31.50 -0.411E-18 -0.841E-07 0.298E-11 -0.440E+00 -0.198E-11 -0.321E+00 -0.585E-12 -0.120E+00
 0.102E+03 0.708E+07 0.708E+07

32.00 -0.491E-18 -0.901E-07 0.206E-11 -0.294E+00 -0.166E-11 -0.258E+00 -0.710E-12 -0.130E+00
 0.101E+03 0.708E+07 0.708E+07

32.50 -0.498E-18 -0.857E-07 0.132E-11 -0.181E+00 -0.129E-11 -0.194E+00 -0.731E-12 -0.126E+00
 0.101E+03 0.708E+07 0.708E+07

33.00 -0.459E-18 -0.750E-07 0.766E-12 -0.997E-01 -0.941E-12 -0.135E+00 -0.684E-12 -0.112E+00
 0.101E+03 0.708E+07 0.708E+07

33.50 -0.392E-18 -0.607E-07 0.381E-12 -0.462E-01 -0.622E-12 -0.841E-01 -0.594E-12 -0.918E-01
 0.100E+03 0.708E+07 0.708E+07

34.00 -0.312E-18 -0.448E-07 0.145E-12 -0.157E-01 -0.353E-12 -0.439E-01 -0.480E-12 -0.688E-01
 0.100E+03 0.708E+07 0.708E+07

34.50 -0.227E-18 -0.283E-07 0.280E-13 -0.232E-02 -0.145E-12 -0.157E-01 -0.355E-12 -0.441E-01
 0.100E+03 0.708E+07 0.708E+07

35.00 -0.142E-18 -0.118E-07 -0.682E-27 -0.937E-16 -0.843E-27 -0.209E-15 -0.224E-12 -0.186E-01
 0.100E+03 0.708E+07 0.708E+07

NUMBER OF ITERATIONS IN LLP = 10

* PILE GROUP * 7

PILE TOP DISPLACEMENTS AND REACTIONS

THE GLOBAL STRUCTURAL COORDINATE SYSTEM

VDISPL, M HDISPLy, M HDISPLz, M ROT. V,RAD ROT.Hy,RAD ROT.Hz,RAD
 0.675E-03 -0.214E-13 0.784E-02 0.322E-13 0.493E-03 -0.909E-16

AXIAL, KN LATy, KN LATz, KN MOMx, KN- M MOMy, KN- M MOMz, KN- M

0.563E+03 -0.340E-08 0.976E+03 0.113E-07 -0.261E+04 -0.111E-07

STRESS, KN/ M**2

0.819E+04

THE PILE COORDINATE SYSTEM

VDISPL, M HDISPLy, M HDISPLz, M ROT. V,RAD ROT.Hy,RAD ROT.Hz,RAD

0.675E-03 -0.214E-13 0.784E-02 0.322E-13 0.493E-03 -0.909E-16

AXIAL, KN LATy, KN LATz, KN MOMx, KN- M MOMy, KN- M MOMz, KN- M

0.563E+03 -0.340E-08 0.976E+03 0.113E-07 -0.261E+04 -0.111E-07

STRESS, KN/ M**2

0.819E+04

LATERALLY LOADED PILE

X	DEFLECTION	BENDING MOMENT	SHEAR FORCE	SOIL REACTION	TOTAL						
FLEXURAL RIGIDITY											
Y-DIR	Z-DIR	Z-DIR	Y-DIR	Y-DIR	Z-DIR	STRESS	Z-DIR				
Y-DIR											
M	M	M	KN- M	KN- M	KN	KN	KN/ M	KN/ M	KN/ M**2	KN- M**2	KN- M**2
M**2											
*****	*****	*****	*****	*****	*****	*****	*****	*****	*****	*****	*****
*****	*****	*****	*****	*****	*****	*****	*****	*****	*****	*****	*****
0.00	-0.214E-13	0.784E-02	0.111E-07	0.261E+04	-0.340E-08	0.976E+03	0.000E+00	0.000E+00			
0.819E+04	0.708E+07	0.708E+07									
0.50	-0.213E-13	0.755E-02	0.945E-08	0.212E+04	-0.337E-08	0.967E+03	-0.110E-09	0.390E+02			
0.671E+04	0.708E+07	0.708E+07									
1.00	-0.208E-13	0.718E-02	0.777E-08	0.164E+04	-0.328E-08	0.936E+03	-0.244E-09	0.844E+02			
0.527E+04	0.708E+07	0.708E+07									
1.50	-0.200E-13	0.675E-02	0.616E-08	0.118E+04	-0.312E-08	0.882E+03	-0.388E-09	0.131E+03			
0.389E+04	0.708E+07	0.708E+07									
2.00	-0.191E-13	0.629E-02	0.465E-08	0.757E+03	-0.290E-08	0.806E+03	-0.527E-09	0.174E+03			
0.260E+04	0.708E+07	0.708E+07									
2.50	-0.179E-13	0.579E-02	0.326E-08	0.376E+03	-0.260E-08	0.710E+03	-0.648E-09	0.210E+03			
0.145E+04	0.708E+07	0.708E+07									
3.00	-0.167E-13	0.529E-02	0.204E-08	0.470E+02	-0.225E-08	0.598E+03	-0.744E-09	0.236E+03			
0.460E+03	0.708E+07	0.708E+07									
3.50	-0.153E-13	0.478E-02	0.101E-08	-0.223E+03	-0.186E-08	0.475E+03	-0.821E-09	0.256E+03			
0.991E+03	0.708E+07	0.708E+07									
4.00	-0.140E-13	0.428E-02	0.180E-09	-0.429E+03	-0.144E-08	0.346E+03	-0.854E-09	0.262E+03			
0.161E+04	0.708E+07	0.708E+07									
4.50	-0.126E-13	0.379E-02	-0.436E-09	-0.569E+03	-0.115E-08	0.257E+03	-0.312E-09	0.939E+02			
0.204E+04	0.708E+07	0.708E+07									
5.00	-0.112E-13	0.333E-02	-0.975E-09	-0.686E+03	-0.998E-09	0.211E+03	-0.307E-09	0.908E+02			
0.239E+04	0.708E+07	0.708E+07									
5.50	-0.992E-14	0.289E-02	-0.144E-08	-0.781E+03	-0.846E-09	0.166E+03	-0.300E-09	0.873E+02			
0.267E+04	0.708E+07	0.708E+07									
6.00	-0.865E-14	0.247E-02	-0.182E-08	-0.853E+03	-0.699E-09	0.124E+03	-0.291E-09	0.832E+02			
0.289E+04	0.708E+07	0.708E+07									

6.50 -0.744E-14 0.209E-02 -0.214E-08 -0.905E+03 -0.556E-09 0.831E+02 -0.281E-09 0.788E+02
 0.305E+04 0.708E+07 0.708E+07

7.00 -0.632E-14 0.174E-02 -0.238E-08 -0.936E+03 -0.418E-09 0.449E+02 -0.269E-09 0.739E+02
 0.314E+04 0.708E+07 0.708E+07

7.50 -0.527E-14 0.142E-02 -0.256E-08 -0.950E+03 -0.287E-09 0.926E+01 -0.255E-09 0.687E+02
 0.319E+04 0.708E+07 0.708E+07

8.00 -0.431E-14 0.113E-02 -0.267E-08 -0.946E+03 -0.164E-09 -0.237E+02 -0.240E-09 0.631E+02
 0.317E+04 0.708E+07 0.708E+07

8.50 -0.345E-14 0.882E-03 -0.272E-08 -0.927E+03 -0.478E-10 -0.537E+02 -0.223E-09 0.571E+02
 0.311E+04 0.708E+07 0.708E+07

9.00 -0.269E-14 0.664E-03 -0.272E-08 -0.893E+03 0.595E-10 -0.807E+02 -0.206E-09 0.508E+02
 0.301E+04 0.708E+07 0.708E+07

9.50 -0.202E-14 0.476E-03 -0.266E-08 -0.846E+03 0.158E-09 -0.104E+03 -0.187E-09 0.441E+02
 0.287E+04 0.708E+07 0.708E+07

10.00 -0.144E-14 0.319E-03 -0.256E-08 -0.788E+03 0.246E-09 -0.125E+03 -0.167E-09 0.370E+02
 0.270E+04 0.708E+07 0.708E+07

10.50 -0.956E-15 0.189E-03 -0.242E-08 -0.722E+03 0.325E-09 -0.141E+03 -0.148E-09 0.292E+02
 0.250E+04 0.708E+07 0.708E+07

11.00 -0.556E-15 0.847E-04 -0.223E-08 -0.647E+03 0.395E-09 -0.154E+03 -0.131E-09 0.200E+02
 0.227E+04 0.708E+07 0.708E+07

11.50 -0.235E-15 0.330E-05 -0.202E-08 -0.568E+03 0.462E-09 -0.159E+03 -0.138E-09 0.193E+01
 0.203E+04 0.708E+07 0.708E+07

12.00 0.145E-16 -0.580E-04 -0.177E-08 -0.488E+03 0.495E-09 -0.155E+03 0.432E-11 -0.173E+02
 0.179E+04 0.708E+07 0.708E+07

12.50 0.202E-15 -0.102E-03 -0.153E-08 -0.413E+03 0.484E-09 -0.146E+03 0.391E-10 -0.198E+02
 0.156E+04 0.708E+07 0.708E+07

13.00 0.335E-15 -0.132E-03 -0.129E-08 -0.343E+03 0.460E-09 -0.135E+03 0.577E-10 -0.227E+02
 0.135E+04 0.708E+07 0.708E+07

13.50 0.423E-15 -0.149E-03 -0.107E-08 -0.278E+03 0.429E-09 -0.124E+03 0.690E-10 -0.243E+02
 0.116E+04 0.708E+07 0.708E+07

14.00 0.473E-15 -0.157E-03 -0.861E-09 -0.219E+03 0.392E-09 -0.111E+03 0.758E-10 -0.251E+02
 0.980E+03 0.708E+07 0.708E+07

14.50 0.493E-15 -0.156E-03 -0.674E-09 -0.167E+03 0.353E-09 -0.986E+02 0.796E-10 -0.253E+02
 0.821E+03 0.708E+07 0.708E+07

15.00 0.489E-15 -0.150E-03 -0.507E-09 -0.120E+03 0.313E-09 -0.860E+02 0.812E-10 -0.250E+02
 0.682E+03 0.708E+07 0.708E+07

15.50 0.467E-15 -0.140E-03 -0.361E-09 -0.806E+02 0.273E-09 -0.737E+02 0.809E-10 -0.243E+02
 0.562E+03 0.708E+07 0.708E+07

16.00 0.432E-15 -0.127E-03 -0.234E-09 -0.468E+02 0.233E-09 -0.618E+02 0.792E-10 -0.233E+02
 0.460E+03 0.708E+07 0.708E+07

16.50 0.389E-15 -0.112E-03 -0.128E-09 -0.188E+02 0.194E-09 -0.504E+02 0.765E-10 -0.221E+02
 0.375E+03 0.708E+07 0.708E+07

17.00 0.342E-15 -0.969E-04 -0.406E-10 0.362E+01 0.156E-09 -0.397E+02 0.728E-10 -0.207E+02
 0.329E+03 0.708E+07 0.708E+07

17.50 0.293E-15 -0.816E-04 0.285E-10 0.209E+02 0.121E-09 -0.298E+02 0.685E-10 -0.191E+02
 0.382E+03 0.708E+07 0.708E+07

18.00 0.245E-15 -0.671E-04 0.805E-10 0.334E+02 0.880E-10 -0.206E+02 0.637E-10 -0.174E+02
 0.419E+03 0.708E+07 0.708E+07

18.50 0.200E-15 -0.537E-04 0.117E-09 0.415E+02 0.575E-10 -0.123E+02 0.585E-10 -0.157E+02
 0.444E+03 0.708E+07 0.708E+07

19.00 0.159E-15 -0.418E-04 0.138E-09 0.458E+02 0.296E-10 -0.492E+01 0.531E-10 -0.140E+02
 0.457E+03 0.708E+07 0.708E+07

19.50 0.123E-15 -0.315E-04 0.146E-09 0.465E+02 0.442E-11 0.163E+01 0.476E-10 -0.122E+02
 0.459E+03 0.708E+07 0.708E+07

20.00 0.920E-16 -0.229E-04 0.143E-09 0.441E+02 -0.113E-10 0.564E+01 0.154E-10 -0.382E+01
 0.452E+03 0.708E+07 0.708E+07

20.50 0.661E-16 -0.158E-04 0.135E-09 0.408E+02 -0.181E-10 0.730E+01 0.118E-10 -0.282E+01
 0.442E+03 0.708E+07 0.708E+07

21.00 0.450E-16 -0.101E-04 0.124E-09 0.368E+02 -0.232E-10 0.849E+01 0.856E-11 -0.192E+01
 0.430E+03 0.708E+07 0.708E+07

21.50 0.283E-16 -0.575E-05 0.112E-09 0.324E+02 -0.268E-10 0.926E+01 0.571E-11 -0.116E+01
 0.416E+03 0.708E+07 0.708E+07

22.00 0.156E-16 -0.254E-05 0.976E-10 0.276E+02 -0.291E-10 0.968E+01 0.331E-11 -0.541E+00
 0.402E+03 0.708E+07 0.708E+07

22.50 0.626E-17 -0.305E-06 0.827E-10 0.227E+02 -0.302E-10 0.983E+01 0.140E-11 -0.683E-01
 0.387E+03 0.708E+07 0.708E+07

23.00 -0.134E-18 0.113E-05 0.674E-10 0.178E+02 -0.305E-10 0.952E+01 -0.157E-12 0.132E+01
 0.372E+03 0.708E+07 0.708E+07

23.50 -0.415E-17 0.194E-05 0.522E-10 0.132E+02 -0.293E-10 0.861E+01 -0.495E-11 0.232E+01
 0.358E+03 0.708E+07 0.708E+07

24.00 -0.632E-17 0.229E-05 0.381E-10 0.915E+01 -0.261E-10 0.733E+01 -0.771E-11 0.279E+01
 0.346E+03 0.708E+07 0.708E+07

24.50 -0.714E-17 0.231E-05 0.261E-10 0.584E+01 -0.219E-10 0.591E+01 -0.889E-11 0.288E+01
 0.336E+03 0.708E+07 0.708E+07

25.00 -0.704E-17 0.213E-05 0.162E-10 0.324E+01 -0.175E-10 0.452E+01 -0.895E-11 0.270E+01
 0.328E+03 0.708E+07 0.708E+07

25.50 -0.637E-17 0.183E-05 0.858E-11 0.132E+01 -0.132E-10 0.325E+01 -0.827E-11 0.237E+01
 0.322E+03 0.708E+07 0.708E+07

26.00 -0.540E-17 0.148E-05 0.302E-11 -0.134E-01 -0.933E-11 0.217E+01 -0.714E-11 0.196E+01
 0.319E+03 0.708E+07 0.708E+07

26.50 -0.433E-17 0.114E-05 -0.756E-12 -0.853E+00 -0.609E-11 0.130E+01 -0.583E-11 0.153E+01
 0.321E+03 0.708E+07 0.708E+07

27.00 -0.328E-17 0.824E-06 -0.307E-11 -0.131E+01 -0.351E-11 0.630E+00 -0.450E-11 0.113E+01
 0.322E+03 0.708E+07 0.708E+07

27.50 -0.233E-17 0.556E-06 -0.426E-11 -0.148E+01 -0.157E-11 0.153E+00 -0.326E-11 0.777E+00
 0.323E+03 0.708E+07 0.708E+07

28.00 -0.154E-17 0.340E-06 -0.464E-11 -0.146E+01 -0.203E-12 -0.162E+00 -0.219E-11 0.485E+00
 0.323E+03 0.708E+07 0.708E+07

28.50 -0.913E-18 0.177E-06 -0.447E-11 -0.132E+01 0.677E-12 -0.347E+00 -0.132E-11 0.256E+00
 0.322E+03 0.708E+07 0.708E+07

29.00 -0.443E-18 0.594E-07 -0.396E-11 -0.112E+01 0.117E-11 -0.433E+00 -0.653E-12 0.875E-01
 0.322E+03 0.708E+07 0.708E+07

29.50 -0.112E-18 -0.184E-07 -0.330E-11 -0.889E+00 0.138E-11 -0.448E+00 -0.168E-12 -0.276E-01
 0.321E+03 0.708E+07 0.708E+07

30.00 0.102E-18 -0.647E-07 -0.259E-11 -0.669E+00 0.138E-11 -0.416E+00 0.156E-12 -0.987E-01
 0.321E+03 0.708E+07 0.708E+07

30.50 0.225E-18 -0.875E-07 -0.192E-11 -0.473E+00 0.125E-11 -0.358E+00 0.349E-12 -0.136E+00
 0.320E+03 0.708E+07 0.708E+07

31.00 0.280E-18 -0.935E-07 -0.134E-11 -0.311E+00 0.105E-11 -0.287E+00 0.442E-12 -0.147E+00
 0.319E+03 0.708E+07 0.708E+07

31.50 0.288E-18 -0.886E-07 -0.863E-12 -0.186E+00 0.829E-12 -0.215E+00 0.462E-12 -0.142E+00
 0.319E+03 0.708E+07 0.708E+07

32.00 0.266E-18 -0.771E-07 -0.506E-12 -0.961E-01 0.606E-12 -0.148E+00 0.433E-12 -0.125E+00
 0.319E+03 0.708E+07 0.708E+07

 32.50 0.226E-18 -0.622E-07 -0.257E-12 -0.378E-01 0.404E-12 -0.910E-01 0.373E-12 -0.103E+00
 0.319E+03 0.708E+07 0.708E+07

 33.00 0.176E-18 -0.460E-07 -0.102E-12 -0.514E-02 0.237E-12 -0.460E-01 0.296E-12 -0.771E-01
 0.319E+03 0.708E+07 0.708E+07

 33.50 0.123E-18 -0.296E-07 -0.200E-13 0.823E-02 0.111E-12 -0.141E-01 0.210E-12 -0.503E-01
 0.319E+03 0.708E+07 0.708E+07

 34.00 0.697E-19 -0.134E-07 0.911E-14 0.902E-02 0.281E-13 0.425E-02 0.120E-12 -0.232E-01
 0.319E+03 0.708E+07 0.708E+07

 34.50 0.163E-19 0.235E-08 0.814E-14 0.400E-02 -0.917E-14 0.904E-02 0.286E-13 0.412E-02
 0.319E+03 0.708E+07 0.708E+07

 35.00 -0.367E-19 0.180E-07 0.341E-27 0.187E-15 0.372E-28 -0.200E-15 -0.653E-13 0.320E-01
 0.319E+03 0.708E+07 0.708E+07

NUMBER OF ITERATIONS IN LLP = 9

* PILE GROUP * 8

PILE TOP DISPLACEMENTS AND REACTIONS

THE GLOBAL STRUCTURAL COORDINATE SYSTEM

VDISPL, M HDISPLy, M HDISPLz, M ROT. V,RAD ROT.Hy,RAD ROT.Hz,RAD
 0.156E-02 -0.795E-13 0.784E-02 0.322E-13 0.493E-03 -0.909E-16

AXIAL, KN LATy, KN LATz, KN MOMx, KN- M MOMy, KN- M MOMz, KN- M

0.127E+04 -0.185E-07 0.149E+04 0.113E-07 -0.367E+04 -0.536E-07

STRESS, KN/ M**2

0.118E+05

THE PILE COORDINATE SYSTEM

VDISPL, M HDISPLy, M HDISPLz, M ROT. V,RAD ROT.Hy,RAD ROT.Hz,RAD

0.156E-02 -0.795E-13 0.784E-02 0.322E-13 0.493E-03 -0.909E-16

AXIAL, KN LATy, KN LATz, KN MOMx, KN- M MOMy, KN- M MOMz, KN- M

0.127E+04 -0.185E-07 0.149E+04 0.113E-07 -0.367E+04 -0.536E-07

STRESS, KN/ M**2

0.118E+05

LATERALLY LOADED PILE

X FLEXURAL RIGIDITY	DEFLECTION		BENDING MOMENT		SHEAR FORCE		SOIL REACTION		TOTAL	
	Y-DIR	Z-DIR	Z-DIR	Y-DIR	Y-DIR	Z-DIR	Y-DIR	Z-DIR	STRESS	Z-DIR
M M**2	M	KN- M	KN- M	KN	KN	KN/ M	KN/ M	KN/ M**2	KN- M**2	KN- M**2
<hr/>										
<hr/>										
0.00	-0.795E-13	0.784E-02	0.536E-07	0.367E+04	-0.185E-07	0.149E+04	0.000E+00	0.000E+00		
0.118E+05	0.708E+07	0.708E+07								
0.50	-0.786E-13	0.753E-02	0.444E-07	0.293E+04	-0.184E-07	0.147E+04	-0.701E-09	0.672E+02		
0.956E+04	0.708E+07	0.708E+07								
1.00	-0.761E-13	0.711E-02	0.353E-07	0.220E+04	-0.178E-07	0.142E+04	-0.155E-08	0.145E+03		
0.736E+04	0.708E+07	0.708E+07								
1.50	-0.724E-13	0.662E-02	0.266E-07	0.151E+04	-0.168E-07	0.133E+04	-0.246E-08	0.225E+03		
0.526E+04	0.708E+07	0.708E+07								
2.00	-0.677E-13	0.608E-02	0.185E-07	0.868E+03	-0.153E-07	0.120E+04	-0.331E-08	0.297E+03		
0.334E+04	0.708E+07	0.708E+07								
2.50	-0.624E-13	0.550E-02	0.112E-07	0.306E+03	-0.135E-07	0.104E+04	-0.404E-08	0.356E+03		
0.164E+04	0.708E+07	0.708E+07								
3.00	-0.567E-13	0.491E-02	0.494E-08	-0.168E+03	-0.113E-07	0.847E+03	-0.459E-08	0.398E+03		
0.123E+04	0.708E+07	0.708E+07								
3.50	-0.509E-13	0.433E-02	-0.163E-09	-0.542E+03	-0.894E-08	0.640E+03	-0.502E-08	0.427E+03		
0.236E+04	0.708E+07	0.708E+07								
4.00	-0.450E-13	0.377E-02	-0.402E-08	-0.810E+03	-0.640E-08	0.426E+03	-0.515E-08	0.432E+03		
0.316E+04	0.708E+07	0.708E+07								
4.50	-0.393E-13	0.324E-02	-0.658E-08	-0.969E+03	-0.466E-08	0.280E+03	-0.182E-08	0.150E+03		
0.365E+04	0.708E+07	0.708E+07								
5.00	-0.338E-13	0.274E-02	-0.869E-08	-0.109E+04	-0.377E-08	0.207E+03	-0.175E-08	0.142E+03		
0.401E+04	0.708E+07	0.708E+07								
5.50	-0.286E-13	0.228E-02	-0.104E-07	-0.118E+04	-0.291E-08	0.138E+03	-0.168E-08	0.134E+03		
0.428E+04	0.708E+07	0.708E+07								
6.00	-0.238E-13	0.186E-02	-0.116E-07	-0.123E+04	-0.209E-08	0.738E+02	-0.159E-08	0.125E+03		
0.444E+04	0.708E+07	0.708E+07								

6.50 -0.194E-13 0.148E-02 -0.125E-07 -0.125E+04 -0.132E-08 0.140E+02 -0.150E-08 0.115E+03
 0.450E+04 0.708E+07 0.708E+07

7.00 -0.154E-13 0.115E-02 -0.129E-07 -0.125E+04 -0.596E-09 -0.406E+02 -0.139E-08 0.104E+03
 0.448E+04 0.708E+07 0.708E+07

7.50 -0.119E-13 0.865E-03 -0.131E-07 -0.121E+04 0.695E-10 -0.897E+02 -0.127E-08 0.925E+02
 0.438E+04 0.708E+07 0.708E+07

8.00 -0.886E-14 0.621E-03 -0.129E-07 -0.116E+04 0.675E-09 -0.133E+03 -0.115E-08 0.805E+02
 0.421E+04 0.708E+07 0.708E+07

8.50 -0.626E-14 0.417E-03 -0.124E-07 -0.108E+04 0.122E-08 -0.170E+03 -0.102E-08 0.677E+02
 0.398E+04 0.708E+07 0.708E+07

9.00 -0.410E-14 0.252E-03 -0.117E-07 -0.987E+03 0.169E-08 -0.200E+03 -0.880E-09 0.540E+02
 0.370E+04 0.708E+07 0.708E+07

9.50 -0.236E-14 0.121E-03 -0.107E-07 -0.880E+03 0.210E-08 -0.224E+03 -0.748E-09 0.384E+02
 0.338E+04 0.708E+07 0.708E+07

10.00 -0.990E-15 0.214E-04 -0.958E-08 -0.764E+03 0.248E-08 -0.237E+03 -0.768E-09 0.166E+02
 0.303E+04 0.708E+07 0.708E+07

10.50 0.385E-16 -0.512E-04 -0.824E-08 -0.643E+03 0.266E-08 -0.235E+03 0.197E-10 -0.261E+02
 0.266E+04 0.708E+07 0.708E+07

11.00 0.777E-15 -0.101E-03 -0.691E-08 -0.529E+03 0.259E-08 -0.219E+03 0.289E-09 -0.376E+02
 0.232E+04 0.708E+07 0.708E+07

11.50 0.127E-14 -0.132E-03 -0.566E-08 -0.424E+03 0.241E-08 -0.199E+03 0.423E-09 -0.440E+02
 0.200E+04 0.708E+07 0.708E+07

12.00 0.156E-14 -0.148E-03 -0.451E-08 -0.331E+03 0.218E-08 -0.176E+03 0.503E-09 -0.477E+02
 0.172E+04 0.708E+07 0.708E+07

12.50 0.170E-14 -0.153E-03 -0.348E-08 -0.249E+03 0.194E-08 -0.153E+03 0.465E-09 -0.419E+02
 0.147E+04 0.708E+07 0.708E+07

13.00 0.171E-14 -0.149E-03 -0.257E-08 -0.177E+03 0.170E-08 -0.132E+03 0.479E-09 -0.416E+02
 0.126E+04 0.708E+07 0.708E+07

13.50 0.163E-14 -0.138E-03 -0.178E-08 -0.116E+03 0.146E-08 -0.112E+03 0.478E-09 -0.404E+02
 0.107E+04 0.708E+07 0.708E+07

14.00 0.149E-14 -0.124E-03 -0.111E-08 -0.654E+02 0.122E-08 -0.921E+02 0.465E-09 -0.385E+02
 0.918E+03 0.708E+07 0.708E+07

14.50 0.131E-14 -0.107E-03 -0.555E-09 -0.241E+02 0.998E-09 -0.735E+02 0.443E-09 -0.361E+02
 0.793E+03 0.708E+07 0.708E+07

15.00 0.111E-14 -0.890E-04 -0.112E-09 0.811E+01 0.783E-09 -0.562E+02 0.414E-09 -0.332E+02
 0.745E+03 0.708E+07 0.708E+07

15.50 0.908E-15 -0.715E-04 0.228E-09 0.321E+02 0.585E-09 -0.404E+02 0.380E-09 -0.300E+02
 0.817E+03 0.708E+07 0.708E+07

16.00 0.712E-15 -0.552E-04 0.473E-09 0.486E+02 0.404E-09 -0.263E+02 0.342E-09 -0.265E+02
 0.867E+03 0.708E+07 0.708E+07

16.50 0.533E-15 -0.406E-04 0.633E-09 0.584E+02 0.243E-09 -0.140E+02 0.301E-09 -0.229E+02
 0.897E+03 0.708E+07 0.708E+07

17.00 0.376E-15 -0.280E-04 0.717E-09 0.626E+02 0.104E-09 -0.344E+01 0.258E-09 -0.191E+02
 0.909E+03 0.708E+07 0.708E+07

17.50 0.245E-15 -0.176E-04 0.737E-09 0.619E+02 -0.139E-10 0.517E+01 0.213E-09 -0.153E+02
 0.907E+03 0.708E+07 0.708E+07

18.00 0.139E-15 -0.946E-05 0.703E-09 0.574E+02 -0.109E-09 0.118E+02 0.166E-09 -0.113E+02
 0.894E+03 0.708E+07 0.708E+07

18.50 0.586E-16 -0.331E-05 0.628E-09 0.501E+02 -0.174E-09 0.160E+02 0.951E-10 -0.537E+01
 0.871E+03 0.708E+07 0.708E+07

19.00 0.814E-19 0.107E-05 0.529E-09 0.414E+02 -0.198E-09 0.169E+02 0.136E-12 0.178E+01
 0.845E+03 0.708E+07 0.708E+07

19.50 -0.398E-16 0.398E-05 0.431E-09 0.332E+02 -0.181E-09 0.147E+02 -0.680E-10 0.682E+01
 0.821E+03 0.708E+07 0.708E+07

20.00 -0.644E-16 0.573E-05 0.349E-09 0.267E+02 -0.159E-09 0.126E+02 -0.186E-10 0.165E+01
 0.801E+03 0.708E+07 0.708E+07

20.50 -0.768E-16 0.653E-05 0.271E-09 0.206E+02 -0.149E-09 0.117E+02 -0.237E-10 0.201E+01
 0.782E+03 0.708E+07 0.708E+07

21.00 -0.795E-16 0.661E-05 0.200E-09 0.150E+02 -0.136E-09 0.107E+02 -0.261E-10 0.217E+01
 0.766E+03 0.708E+07 0.708E+07

21.50 -0.752E-16 0.615E-05 0.135E-09 0.993E+01 -0.123E-09 0.958E+01 -0.262E-10 0.214E+01
 0.750E+03 0.708E+07 0.708E+07

22.00 -0.662E-16 0.535E-05 0.768E-10 0.540E+01 -0.111E-09 0.856E+01 -0.243E-10 0.197E+01
 0.737E+03 0.708E+07 0.708E+07

22.50 -0.544E-16 0.436E-05 0.245E-10 0.137E+01 -0.992E-10 0.764E+01 -0.210E-10 0.169E+01
 0.724E+03 0.708E+07 0.708E+07

23.00 -0.417E-16 0.331E-05 -0.225E-10 -0.224E+01 -0.729E-10 0.555E+01 -0.842E-10 0.668E+01
 0.727E+03 0.708E+07 0.708E+07

23.50 -0.299E-16 0.235E-05 -0.484E-10 -0.418E+01 -0.365E-10 0.267E+01 -0.616E-10 0.484E+01
 0.733E+03 0.708E+07 0.708E+07

24.00 -0.197E-16 0.153E-05 -0.590E-10 -0.491E+01 -0.107E-10 0.652E+00 -0.416E-10 0.323E+01
 0.735E+03 0.708E+07 0.708E+07

24.50 -0.117E-16 0.890E-06 -0.591E-10 -0.484E+01 0.602E-11 -0.633E+00 -0.251E-10 0.191E+01
 0.735E+03 0.708E+07 0.708E+07

25.00 -0.571E-17 0.418E-06 -0.530E-10 -0.428E+01 0.154E-10 -0.134E+01 -0.125E-10 0.918E+00
 0.733E+03 0.708E+07 0.708E+07

25.50 -0.161E-17 0.979E-07 -0.437E-10 -0.350E+01 0.195E-10 -0.163E+01 -0.359E-11 0.219E+00
 0.731E+03 0.708E+07 0.708E+07

26.00 0.956E-18 -0.992E-07 -0.335E-10 -0.266E+01 0.198E-10 -0.162E+01 0.218E-11 -0.226E+00
 0.728E+03 0.708E+07 0.708E+07

26.50 0.234E-17 -0.202E-06 -0.239E-10 -0.187E+01 0.179E-10 -0.145E+01 0.543E-11 -0.471E+00
 0.726E+03 0.708E+07 0.708E+07

27.00 0.287E-17 -0.240E-06 -0.156E-10 -0.121E+01 0.148E-10 -0.119E+01 0.680E-11 -0.568E+00
 0.724E+03 0.708E+07 0.708E+07

27.50 0.286E-17 -0.234E-06 -0.902E-11 -0.685E+00 0.114E-10 -0.907E+00 0.690E-11 -0.565E+00
 0.722E+03 0.708E+07 0.708E+07

28.00 0.253E-17 -0.204E-06 -0.417E-11 -0.302E+00 0.815E-11 -0.640E+00 0.621E-11 -0.502E+00
 0.721E+03 0.708E+07 0.708E+07

28.50 0.205E-17 -0.164E-06 -0.874E-12 -0.450E-01 0.532E-11 -0.412E+00 0.512E-11 -0.410E+00
 0.720E+03 0.708E+07 0.708E+07

29.00 0.154E-17 -0.122E-06 0.115E-11 0.110E+00 0.306E-11 -0.232E+00 0.391E-11 -0.310E+00
 0.721E+03 0.708E+07 0.708E+07

29.50 0.107E-17 -0.836E-07 0.219E-11 0.187E+00 0.140E-11 -0.101E+00 0.276E-11 -0.216E+00
 0.721E+03 0.708E+07 0.708E+07

30.00 0.673E-18 -0.520E-07 0.254E-11 0.211E+00 0.262E-12 -0.125E-01 0.177E-11 -0.137E+00
 0.721E+03 0.708E+07 0.708E+07

30.50 0.370E-18 -0.280E-07 0.245E-11 0.200E+00 -0.428E-12 0.404E-01 0.991E-12 -0.748E-01
 0.721E+03 0.708E+07 0.708E+07

31.00 0.154E-18 -0.109E-07 0.212E-11 0.171E+00 -0.781E-12 0.665E-01 0.419E-12 -0.297E-01
 0.721E+03 0.708E+07 0.708E+07

31.50 0.125E-19 0.915E-10 0.167E-11 0.134E+00 -0.895E-12 0.739E-01 0.346E-13 0.253E-03
 0.721E+03 0.708E+07 0.708E+07

32.00 -0.701E-19 0.639E-08 0.122E-11 0.967E-01 -0.854E-12 0.694E-01 -0.197E-12 0.179E-01
 0.721E+03 0.708E+07 0.708E+07

32.50 -0.110E-18 0.927E-08 0.819E-12 0.642E-01 -0.727E-12 0.583E-01 -0.313E-12 0.264E-01
 0.721E+03 0.708E+07 0.708E+07

33.00 -0.120E-18 0.989E-08 0.494E-12 0.384E-01 -0.561E-12 0.445E-01 -0.348E-12 0.286E-01
 0.720E+03 0.708E+07 0.708E+07

33.50 -0.113E-18 0.916E-08 0.257E-12 0.197E-01 -0.391E-12 0.306E-01 -0.333E-12 0.269E-01
 0.720E+03 0.708E+07 0.708E+07

34.00 -0.975E-19 0.772E-08 0.103E-12 0.781E-02 -0.235E-12 0.181E-01 -0.291E-12 0.230E-01
 0.720E+03 0.708E+07 0.708E+07

34.50 -0.780E-19 0.601E-08 0.221E-13 0.163E-02 -0.103E-12 0.781E-02 -0.236E-12 0.182E-01
 0.720E+03 0.708E+07 0.708E+07

35.00 -0.576E-19 0.424E-08 0.000E+00 0.117E-16 0.213E-27 0.680E-16 -0.177E-12 0.130E-01
 0.720E+03 0.708E+07 0.708E+07

NUMBER OF ITERATIONS IN LLP = 10

* PILE GROUP * 9

PILE TOP DISPLACEMENTS AND REACTIONS

THE GLOBAL STRUCTURAL COORDINATE SYSTEM

VDISPL, M HDISPLy, M HDISPLz, M ROT. V,RAD ROT.Hy,RAD ROT.Hz,RAD
 -0.199E-02 0.153E-12 0.784E-02 0.322E-13 0.493E-03 -0.909E-16

AXIAL, KN LATy, KN LATz, KN MOMx, KN- M MOMy, KN- M MOMz, KN- M

-0.160E+04 0.167E-07 0.663E+03 0.113E-07 -0.189E+04 0.603E-07

STRESS, KN/ M**2

0.661E+04

THE PILE COORDINATE SYSTEM

VDISPL, M HDISPLy, M HDISPLz, M ROT. V,RAD ROT.Hy,RAD ROT.Hz,RAD

-0.199E-02 0.153E-12 0.784E-02 0.322E-13 0.493E-03 -0.909E-16

AXIAL, KN LATy, KN LATz, KN MOMx, KN- M MOMy, KN- M MOMz, KN- M

-0.160E+04 0.167E-07 0.663E+03 0.113E-07 -0.189E+04 0.603E-07

STRESS, KN/ M**2

0.661E+04

LATERALLY LOADED PILE

6.50 0.655E-13 0.261E-02 0.911E-08 -0.649E+03 0.400E-08 0.101E+03 0.135E-08 0.538E+02
 0.286E+04 0.708E+07 0.708E+07

7.00 0.576E-13 0.226E-02 0.109E-07 -0.693E+03 0.333E-08 0.752E+02 0.131E-08 0.515E+02
 0.299E+04 0.708E+07 0.708E+07

7.50 0.502E-13 0.193E-02 0.124E-07 -0.723E+03 0.268E-08 0.501E+02 0.127E-08 0.489E+02
 0.309E+04 0.708E+07 0.708E+07

8.00 0.432E-13 0.163E-02 0.136E-07 -0.742E+03 0.206E-08 0.263E+02 0.122E-08 0.462E+02
 0.314E+04 0.708E+07 0.708E+07

8.50 0.366E-13 0.135E-02 0.145E-07 -0.749E+03 0.146E-08 0.397E+01 0.117E-08 0.432E+02
 0.316E+04 0.708E+07 0.708E+07

9.00 0.306E-13 0.110E-02 0.150E-07 -0.745E+03 0.890E-09 -0.168E+02 0.111E-08 0.400E+02
 0.315E+04 0.708E+07 0.708E+07

9.50 0.251E-13 0.883E-03 0.153E-07 -0.731E+03 0.351E-09 -0.360E+02 0.105E-08 0.367E+02
 0.311E+04 0.708E+07 0.708E+07

10.00 0.202E-13 0.686E-03 0.154E-07 -0.708E+03 -0.154E-09 -0.535E+02 0.975E-09 0.332E+02
 0.304E+04 0.708E+07 0.708E+07

10.50 0.158E-13 0.515E-03 0.152E-07 -0.677E+03 -0.623E-09 -0.691E+02 0.902E-09 0.294E+02
 0.295E+04 0.708E+07 0.708E+07

11.00 0.119E-13 0.368E-03 0.147E-07 -0.639E+03 -0.105E-08 -0.828E+02 0.825E-09 0.254E+02
 0.283E+04 0.708E+07 0.708E+07

11.50 0.857E-14 0.243E-03 0.141E-07 -0.594E+03 -0.145E-08 -0.945E+02 0.746E-09 0.211E+02
 0.270E+04 0.708E+07 0.708E+07

12.00 0.572E-14 0.139E-03 0.133E-07 -0.544E+03 -0.180E-08 -0.104E+03 0.673E-09 0.164E+02
 0.254E+04 0.708E+07 0.708E+07

12.50 0.334E-14 0.542E-04 0.123E-07 -0.490E+03 -0.211E-08 -0.110E+03 0.544E-09 0.884E+01
 0.238E+04 0.708E+07 0.708E+07

13.00 0.139E-14 -0.132E-04 0.112E-07 -0.433E+03 -0.236E-08 -0.111E+03 0.460E-09 -0.436E+01
 0.221E+04 0.708E+07 0.708E+07

13.50 -0.167E-15 -0.652E-04 0.992E-08 -0.378E+03 -0.247E-08 -0.108E+03 -0.251E-10 -0.982E+01
 0.204E+04 0.708E+07 0.708E+07

14.00 -0.137E-14 -0.104E-03 0.869E-08 -0.326E+03 -0.242E-08 -0.102E+03 -0.165E-09 -0.125E+02
 0.189E+04 0.708E+07 0.708E+07

14.50 -0.227E-14 -0.131E-03 0.750E-08 -0.276E+03 -0.232E-08 -0.955E+02 -0.245E-09 -0.141E+02
 0.174E+04 0.708E+07 0.708E+07

15.00 -0.290E-14 -0.149E-03 0.637E-08 -0.230E+03 -0.218E-08 -0.882E+02 -0.296E-09 -0.152E+02
 0.160E+04 0.708E+07 0.708E+07

15.50 -0.331E-14 -0.158E-03 0.531E-08 -0.188E+03 -0.202E-08 -0.804E+02 -0.330E-09 -0.158E+02
 0.147E+04 0.708E+07 0.708E+07

16.00 -0.353E-14 -0.161E-03 0.434E-08 -0.149E+03 -0.185E-08 -0.725E+02 -0.352E-09 -0.160E+02
 0.135E+04 0.708E+07 0.708E+07

16.50 -0.360E-14 -0.158E-03 0.346E-08 -0.115E+03 -0.168E-08 -0.645E+02 -0.364E-09 -0.160E+02
 0.125E+04 0.708E+07 0.708E+07

17.00 -0.355E-14 -0.152E-03 0.267E-08 -0.850E+02 -0.149E-08 -0.565E+02 -0.369E-09 -0.158E+02
 0.116E+04 0.708E+07 0.708E+07

17.50 -0.340E-14 -0.142E-03 0.197E-08 -0.588E+02 -0.131E-08 -0.487E+02 -0.368E-09 -0.154E+02
 0.108E+04 0.708E+07 0.708E+07

18.00 -0.318E-14 -0.131E-03 0.136E-08 -0.363E+02 -0.113E-08 -0.412E+02 -0.362E-09 -0.149E+02
 0.101E+04 0.708E+07 0.708E+07

18.50 -0.292E-14 -0.118E-03 0.842E-09 -0.176E+02 -0.947E-09 -0.339E+02 -0.352E-09 -0.142E+02
 0.956E+03 0.708E+07 0.708E+07

19.00 -0.262E-14 -0.104E-03 0.413E-09 -0.248E+01 -0.774E-09 -0.270E+02 -0.339E-09 -0.134E+02
 0.911E+03 0.708E+07 0.708E+07

19.50 -0.231E-14 -0.904E-04 0.687E-10 0.932E+01 -0.609E-09 -0.205E+02 -0.323E-09 -0.126E+02
 0.931E+03 0.708E+07 0.708E+07

20.00 -0.200E-14 -0.770E-04 -0.195E-09 0.180E+02 -0.477E-09 -0.154E+02 -0.204E-09 -0.788E+01
 0.957E+03 0.708E+07 0.708E+07

20.50 -0.169E-14 -0.644E-04 -0.407E-09 0.246E+02 -0.379E-09 -0.116E+02 -0.185E-09 -0.703E+01
 0.977E+03 0.708E+07 0.708E+07

21.00 -0.140E-14 -0.525E-04 -0.573E-09 0.296E+02 -0.292E-09 -0.835E+01 -0.163E-09 -0.610E+01
 0.992E+03 0.708E+07 0.708E+07

21.50 -0.113E-14 -0.418E-04 -0.699E-09 0.329E+02 -0.217E-09 -0.554E+01 -0.139E-09 -0.514E+01
 0.100E+04 0.708E+07 0.708E+07

22.00 -0.887E-15 -0.321E-04 -0.789E-09 0.351E+02 -0.153E-09 -0.321E+01 -0.115E-09 -0.418E+01
 0.101E+04 0.708E+07 0.708E+07

22.50 -0.669E-15 -0.238E-04 -0.851E-09 0.361E+02 -0.101E-09 -0.135E+01 -0.917E-10 -0.326E+01
 0.101E+04 0.708E+07 0.708E+07

23.00 -0.481E-15 -0.167E-04 -0.890E-09 0.364E+02 -0.275E-10 0.123E+01 -0.203E-09 -0.705E+01
 0.101E+04 0.708E+07 0.708E+07

23.50 -0.324E-15 -0.108E-04 -0.878E-09 0.349E+02 0.663E-10 0.443E+01 -0.172E-09 -0.576E+01
 0.101E+04 0.708E+07 0.708E+07

24.00 -0.198E-15 -0.625E-05 -0.823E-09 0.319E+02 0.144E-09 0.697E+01 -0.140E-09 -0.443E+01
 0.100E+04 0.708E+07 0.708E+07

24.50 -0.102E-15 -0.279E-05 -0.733E-09 0.279E+02 0.199E-09 0.861E+01 -0.773E-10 -0.212E+01
 0.987E+03 0.708E+07 0.708E+07

25.00 -0.307E-16 -0.312E-06 -0.624E-09 0.233E+02 0.224E-09 0.920E+01 -0.239E-10 -0.243E+00
 0.974E+03 0.708E+07 0.708E+07

25.50 0.181E-16 0.134E-05 -0.509E-09 0.187E+02 0.227E-09 0.900E+01 0.143E-10 0.106E+01
 0.960E+03 0.708E+07 0.708E+07

26.00 0.489E-16 0.233E-05 -0.397E-09 0.143E+02 0.213E-09 0.826E+01 0.395E-10 0.188E+01
 0.946E+03 0.708E+07 0.708E+07

26.50 0.656E-16 0.282E-05 -0.296E-09 0.104E+02 0.190E-09 0.721E+01 0.540E-10 0.232E+01
 0.935E+03 0.708E+07 0.708E+07

27.00 0.720E-16 0.294E-05 -0.208E-09 0.711E+01 0.161E-09 0.601E+01 0.604E-10 0.247E+01
 0.925E+03 0.708E+07 0.708E+07

27.50 0.710E-16 0.281E-05 -0.135E-09 0.441E+01 0.131E-09 0.480E+01 0.607E-10 0.240E+01
 0.916E+03 0.708E+07 0.708E+07

28.00 0.653E-16 0.252E-05 -0.767E-10 0.231E+01 0.101E-09 0.365E+01 0.568E-10 0.219E+01
 0.910E+03 0.708E+07 0.708E+07

28.50 0.568E-16 0.215E-05 -0.331E-10 0.766E+00 0.747E-10 0.262E+01 0.503E-10 0.190E+01
 0.905E+03 0.708E+07 0.708E+07

29.00 0.472E-16 0.176E-05 -0.208E-11 -0.307E+00 0.515E-10 0.175E+01 0.426E-10 0.158E+01
 0.904E+03 0.708E+07 0.708E+07

29.50 0.376E-16 0.137E-05 0.183E-10 -0.985E+00 0.322E-10 0.104E+01 0.344E-10 0.126E+01
 0.906E+03 0.708E+07 0.708E+07

30.00 0.285E-16 0.102E-05 0.301E-10 -0.135E+01 0.169E-10 0.491E+00 0.266E-10 0.950E+00
 0.907E+03 0.708E+07 0.708E+07

30.50 0.206E-16 0.717E-06 0.352E-10 -0.147E+01 0.543E-11 0.837E-01 0.195E-10 0.679E+00
 0.908E+03 0.708E+07 0.708E+07

31.00 0.138E-16 0.466E-06 0.355E-10 -0.143E+01 -0.278E-11 -0.198E+00 0.133E-10 0.449E+00
 0.907E+03 0.708E+07 0.708E+07

31.50 0.837E-17 0.266E-06 0.324E-10 -0.128E+01 -0.816E-11 -0.375E+00 0.819E-11 0.260E+00
 0.907E+03 0.708E+07 0.708E+07

32.00 0.404E-17 0.110E-06 0.273E-10 -0.106E+01 -0.112E-10 -0.468E+00 0.401E-11 0.110E+00
 0.906E+03 0.708E+07 0.708E+07

32.50 0.675E-18 -0.753E-08 0.212E-10 -0.808E+00 -0.124E-10 -0.493E+00 0.681E-12 -0.760E-02
 0.906E+03 0.708E+07 0.708E+07

33.00 -0.194E-17 -0.970E-07 0.149E-10 -0.562E+00 -0.121E-10 -0.467E+00 -0.199E-11 -0.994E-01
 0.905E+03 0.708E+07 0.708E+07

33.50 -0.403E-17 -0.167E-06 0.916E-11 -0.341E+00 -0.105E-10 -0.399E+00 -0.419E-11 -0.173E+00
 0.904E+03 0.708E+07 0.708E+07

34.00 -0.579E-17 -0.224E-06 0.442E-11 -0.163E+00 -0.793E-11 -0.296E+00 -0.612E-11 -0.237E+00
 0.904E+03 0.708E+07 0.708E+07

34.50 -0.740E-17 -0.276E-06 0.122E-11 -0.444E-01 -0.442E-11 -0.163E+00 -0.793E-11 -0.296E+00
 0.903E+03 0.708E+07 0.708E+07

35.00 -0.896E-17 -0.326E-06 0.436E-25 0.000E+00 0.438E-25 -0.408E-15 -0.975E-11 -0.355E+00
 0.903E+03 0.708E+07 0.708E+07

NUMBER OF ITERATIONS IN LLP = 11

* PILE GROUP * 10

PILE TOP DISPLACEMENTS AND REACTIONS

THE GLOBAL STRUCTURAL COORDINATE SYSTEM

VDISPL, M HDISPLy, M HDISPLz, M ROT. V,RAD ROT.Hy,RAD ROT.Hz,RAD
 -0.110E-02 0.947E-13 0.784E-02 0.322E-13 0.493E-03 -0.909E-16

AXIAL, KN LATy, KN LATz, KN MOMx, KN- M MOMy, KN- M MOMz, KN- M

-0.892E+03 0.909E-08 0.576E+03 0.113E-07 -0.168E+04 0.342E-07

STRESS, KN/ M**2

0.558E+04

THE PILE COORDINATE SYSTEM

VDISPL, M HDISPLy, M HDISPLz, M ROT. V,RAD ROT.Hy,RAD ROT.Hz,RAD

-0.110E-02 0.947E-13 0.784E-02 0.322E-13 0.493E-03 -0.909E-16

AXIAL, KN LATy, KN LATz, KN MOMx, KN- M MOMy, KN- M MOMz, KN- M

-0.892E+03 0.909E-08 0.576E+03 0.113E-07 -0.168E+04 0.342E-07

STRESS, KN/ M**2

0.558E+04

LATERALLY LOADED PILE

X	DEFLECTION	BENDING MOMENT	SHEAR FORCE	SOIL REACTION	TOTAL			
FLEXURAL RIGIDITY								
Y-DIR	Z-DIR	Z-DIR	Y-DIR	Y-DIR	Z-DIR	STRESS	Z-DIR	
Y-DIR								
M	M	M	KN- M	KN- M	KN	KN	KN/ M	
							KN/ M	
						KN/ M**2	KN- M**2	
							KN- M**2	
							KN-M	
*****	*****	*****	*****	*****	*****	*****	*****	
*****	*****	*****	*****	*****	*****	*****	*****	
0.00	0.947E-13	0.784E-02	-0.342E-07	0.168E+04	0.909E-08	0.576E+03	0.000E+00	0.000E+00
0.558E+04	0.708E+07	0.708E+07						
0.50	0.940E-13	0.756E-02	-0.296E-07	0.139E+04	0.903E-08	0.571E+03	0.248E-09	0.200E+02
0.471E+04	0.708E+07	0.708E+07						
1.00	0.923E-13	0.724E-02	-0.251E-07	0.111E+04	0.882E-08	0.556E+03	0.553E-09	0.434E+02
0.385E+04	0.708E+07	0.708E+07						
1.50	0.897E-13	0.687E-02	-0.208E-07	0.838E+03	0.847E-08	0.528E+03	0.880E-09	0.674E+02
0.303E+04	0.708E+07	0.708E+07						
2.00	0.864E-13	0.648E-02	-0.167E-07	0.583E+03	0.795E-08	0.489E+03	0.120E-08	0.899E+02
0.226E+04	0.708E+07	0.708E+07						
2.50	0.825E-13	0.607E-02	-0.128E-07	0.350E+03	0.728E-08	0.439E+03	0.148E-08	0.109E+03
0.156E+04	0.708E+07	0.708E+07						
3.00	0.782E-13	0.564E-02	-0.940E-08	0.145E+03	0.648E-08	0.381E+03	0.171E-08	0.124E+03
0.941E+03	0.708E+07	0.708E+07						
3.50	0.735E-13	0.521E-02	-0.638E-08	-0.299E+02	0.557E-08	0.316E+03	0.190E-08	0.135E+03
0.595E+03	0.708E+07	0.708E+07						
4.00	0.686E-13	0.477E-02	-0.383E-08	-0.171E+03	0.460E-08	0.247E+03	0.200E-08	0.139E+03
0.102E+04	0.708E+07	0.708E+07						
4.50	0.635E-13	0.435E-02	-0.179E-08	-0.277E+03	0.391E-08	0.200E+03	0.752E-09	0.515E+02
0.134E+04	0.708E+07	0.708E+07						
5.00	0.584E-13	0.393E-02	0.644E-10	-0.370E+03	0.353E-08	0.174E+03	0.751E-09	0.506E+02
0.162E+04	0.708E+07	0.708E+07						
5.50	0.533E-13	0.353E-02	0.173E-08	-0.450E+03	0.316E-08	0.149E+03	0.746E-09	0.494E+02
0.186E+04	0.708E+07	0.708E+07						
6.00	0.482E-13	0.315E-02	0.321E-08	-0.518E+03	0.279E-08	0.125E+03	0.737E-09	0.481E+02
0.207E+04	0.708E+07	0.708E+07						

6.50 0.433E-13 0.278E-02 0.451E-08 -0.574E+03 0.242E-08 0.101E+03 0.725E-09 0.465E+02
 0.224E+04 0.708E+07 0.708E+07

7.00 0.385E-13 0.243E-02 0.563E-08 -0.619E+03 0.206E-08 0.783E+02 0.710E-09 0.448E+02
 0.237E+04 0.708E+07 0.708E+07

7.50 0.340E-13 0.210E-02 0.656E-08 -0.652E+03 0.171E-08 0.564E+02 0.691E-09 0.428E+02
 0.247E+04 0.708E+07 0.708E+07

8.00 0.296E-13 0.180E-02 0.733E-08 -0.675E+03 0.137E-08 0.355E+02 0.669E-09 0.407E+02
 0.254E+04 0.708E+07 0.708E+07

8.50 0.255E-13 0.152E-02 0.793E-08 -0.687E+03 0.104E-08 0.157E+02 0.644E-09 0.384E+02
 0.258E+04 0.708E+07 0.708E+07

9.00 0.217E-13 0.127E-02 0.837E-08 -0.690E+03 0.729E-09 -0.285E+01 0.616E-09 0.360E+02
 0.259E+04 0.708E+07 0.708E+07

9.50 0.182E-13 0.104E-02 0.865E-08 -0.684E+03 0.429E-09 -0.202E+02 0.585E-09 0.334E+02
 0.257E+04 0.708E+07 0.708E+07

10.00 0.150E-13 0.831E-03 0.879E-08 -0.669E+03 0.145E-09 -0.362E+02 0.552E-09 0.306E+02
 0.252E+04 0.708E+07 0.708E+07

10.50 0.121E-13 0.648E-03 0.879E-08 -0.647E+03 -0.123E-09 -0.507E+02 0.516E-09 0.277E+02
 0.246E+04 0.708E+07 0.708E+07

11.00 0.952E-14 0.488E-03 0.866E-08 -0.618E+03 -0.371E-09 -0.638E+02 0.479E-09 0.246E+02
 0.237E+04 0.708E+07 0.708E+07

11.50 0.724E-14 0.350E-03 0.842E-08 -0.583E+03 -0.601E-09 -0.752E+02 0.440E-09 0.213E+02
 0.226E+04 0.708E+07 0.708E+07

12.00 0.525E-14 0.233E-03 0.806E-08 -0.543E+03 -0.811E-09 -0.850E+02 0.401E-09 0.177E+02
 0.214E+04 0.708E+07 0.708E+07

12.50 0.356E-14 0.134E-03 0.760E-08 -0.498E+03 -0.989E-09 -0.924E+02 0.309E-09 0.117E+02
 0.201E+04 0.708E+07 0.708E+07

13.00 0.213E-14 0.535E-04 0.707E-08 -0.450E+03 -0.114E-08 -0.971E+02 0.295E-09 0.742E+01
 0.186E+04 0.708E+07 0.708E+07

13.50 0.947E-15 -0.113E-04 0.646E-08 -0.401E+03 -0.128E-08 -0.981E+02 0.285E-09 -0.341E+01
 0.171E+04 0.708E+07 0.708E+07

14.00 -0.504E-17 -0.621E-04 0.578E-08 -0.352E+03 -0.136E-08 -0.953E+02 -0.657E-12 -0.809E+01
 0.157E+04 0.708E+07 0.708E+07

14.50 -0.753E-15 -0.100E-03 0.510E-08 -0.305E+03 -0.134E-08 -0.906E+02 -0.778E-10 -0.104E+02
 0.143E+04 0.708E+07 0.708E+07

15.00 -0.132E-14 -0.128E-03 0.444E-08 -0.261E+03 -0.129E-08 -0.851E+02 -0.122E-09 -0.118E+02
0.129E+04 0.708E+07 0.708E+07

15.50 -0.173E-14 -0.146E-03 0.382E-08 -0.220E+03 -0.122E-08 -0.790E+02 -0.151E-09 -0.127E+02
0.117E+04 0.708E+07 0.708E+07

16.00 -0.201E-14 -0.157E-03 0.323E-08 -0.182E+03 -0.114E-08 -0.725E+02 -0.170E-09 -0.133E+02
0.105E+04 0.708E+07 0.708E+07

16.50 -0.217E-14 -0.161E-03 0.268E-08 -0.148E+03 -0.105E-08 -0.658E+02 -0.183E-09 -0.135E+02
0.951E+03 0.708E+07 0.708E+07

17.00 -0.224E-14 -0.160E-03 0.218E-08 -0.116E+03 -0.957E-09 -0.590E+02 -0.190E-09 -0.136E+02
0.856E+03 0.708E+07 0.708E+07

17.50 -0.223E-14 -0.154E-03 0.172E-08 -0.887E+02 -0.861E-09 -0.523E+02 -0.194E-09 -0.134E+02
0.772E+03 0.708E+07 0.708E+07

18.00 -0.216E-14 -0.146E-03 0.131E-08 -0.642E+02 -0.763E-09 -0.456E+02 -0.195E-09 -0.132E+02
0.699E+03 0.708E+07 0.708E+07

18.50 -0.204E-14 -0.135E-03 0.958E-09 -0.431E+02 -0.666E-09 -0.391E+02 -0.193E-09 -0.128E+02
0.635E+03 0.708E+07 0.708E+07

19.00 -0.189E-14 -0.123E-03 0.649E-09 -0.251E+02 -0.571E-09 -0.329E+02 -0.188E-09 -0.123E+02
0.581E+03 0.708E+07 0.708E+07

19.50 -0.172E-14 -0.110E-03 0.387E-09 -0.103E+02 -0.478E-09 -0.269E+02 -0.182E-09 -0.117E+02
0.536E+03 0.708E+07 0.708E+07

20.00 -0.154E-14 -0.969E-04 0.170E-09 0.169E+01 -0.400E-09 -0.219E+02 -0.132E-09 -0.830E+01
0.510E+03 0.708E+07 0.708E+07

20.50 -0.134E-14 -0.836E-04 -0.130E-10 0.116E+02 -0.336E-09 -0.179E+02 -0.123E-09 -0.765E+01
0.540E+03 0.708E+07 0.708E+07

21.00 -0.115E-14 -0.706E-04 -0.166E-09 0.195E+02 -0.278E-09 -0.142E+02 -0.112E-09 -0.688E+01
0.564E+03 0.708E+07 0.708E+07

21.50 -0.965E-15 -0.584E-04 -0.290E-09 0.258E+02 -0.225E-09 -0.110E+02 -0.996E-10 -0.603E+01
0.583E+03 0.708E+07 0.708E+07

22.00 -0.789E-15 -0.471E-04 -0.390E-09 0.305E+02 -0.178E-09 -0.823E+01 -0.860E-10 -0.513E+01
0.597E+03 0.708E+07 0.708E+07

22.50 -0.627E-15 -0.368E-04 -0.468E-09 0.340E+02 -0.139E-09 -0.589E+01 -0.720E-10 -0.423E+01
0.607E+03 0.708E+07 0.708E+07

23.00 -0.481E-15 -0.278E-04 -0.529E-09 0.364E+02 -0.877E-10 -0.292E+01 -0.132E-09 -0.763E+01
0.615E+03 0.708E+07 0.708E+07

23.50 -0.354E-15 -0.200E-04 -0.556E-09 0.369E+02 -0.256E-10 0.626E+00 -0.116E-09 -0.656E+01
 0.616E+03 0.708E+07 0.708E+07

24.00 -0.247E-15 -0.135E-04 -0.554E-09 0.358E+02 0.283E-10 0.363E+01 -0.997E-10 -0.546E+01
 0.613E+03 0.708E+07 0.708E+07

24.50 -0.159E-15 -0.834E-05 -0.527E-09 0.333E+02 0.740E-10 0.608E+01 -0.829E-10 -0.434E+01
 0.605E+03 0.708E+07 0.708E+07

25.00 -0.904E-16 -0.432E-05 -0.480E-09 0.297E+02 0.109E-09 0.787E+01 -0.588E-10 -0.281E+01
 0.594E+03 0.708E+07 0.708E+07

25.50 -0.382E-16 -0.134E-05 -0.418E-09 0.254E+02 0.130E-09 0.879E+01 -0.254E-10 -0.890E+00
 0.581E+03 0.708E+07 0.708E+07

26.00 -0.801E-18 0.741E-06 -0.349E-09 0.209E+02 0.137E-09 0.889E+01 -0.542E-12 0.502E+00
 0.568E+03 0.708E+07 0.708E+07

26.50 0.243E-16 0.209E-05 -0.281E-09 0.165E+02 0.133E-09 0.841E+01 0.168E-10 0.144E+01
 0.555E+03 0.708E+07 0.708E+07

27.00 0.394E-16 0.285E-05 -0.216E-09 0.125E+02 0.122E-09 0.755E+01 0.277E-10 0.200E+01
 0.542E+03 0.708E+07 0.708E+07

27.50 0.470E-16 0.317E-05 -0.159E-09 0.895E+01 0.106E-09 0.648E+01 0.337E-10 0.227E+01
 0.532E+03 0.708E+07 0.708E+07

28.00 0.489E-16 0.317E-05 -0.110E-09 0.599E+01 0.891E-10 0.533E+01 0.357E-10 0.231E+01
 0.523E+03 0.708E+07 0.708E+07

28.50 0.470E-16 0.297E-05 -0.697E-10 0.362E+01 0.715E-10 0.420E+01 0.349E-10 0.220E+01
 0.516E+03 0.708E+07 0.708E+07

29.00 0.426E-16 0.263E-05 -0.383E-10 0.179E+01 0.547E-10 0.316E+01 0.321E-10 0.199E+01
 0.510E+03 0.708E+07 0.708E+07

29.50 0.368E-16 0.224E-05 -0.150E-10 0.463E+00 0.396E-10 0.223E+01 0.283E-10 0.172E+01
 0.506E+03 0.708E+07 0.708E+07

30.00 0.305E-16 0.182E-05 0.128E-11 -0.436E+00 0.266E-10 0.144E+01 0.238E-10 0.142E+01
 0.506E+03 0.708E+07 0.708E+07

30.50 0.243E-16 0.142E-05 0.116E-10 -0.980E+00 0.158E-10 0.804E+00 0.193E-10 0.113E+01
 0.508E+03 0.708E+07 0.708E+07

31.00 0.184E-16 0.106E-05 0.171E-10 -0.124E+01 0.727E-11 0.307E+00 0.149E-10 0.857E+00
 0.509E+03 0.708E+07 0.708E+07

31.50 0.132E-16 0.741E-06 0.188E-10 -0.129E+01 0.837E-12 -0.592E-01 0.108E-10 0.608E+00
 0.509E+03 0.708E+07 0.708E+07

32.00 0.864E-17 0.467E-06 0.179E-10 -0.118E+01 -0.367E-11 -0.309E+00 0.720E-11 0.389E+00
0.508E+03 0.708E+07 0.708E+07

32.50 0.471E-17 0.234E-06 0.152E-10 -0.977E+00 -0.647E-11 -0.456E+00 0.399E-11 0.198E+00
0.508E+03 0.708E+07 0.708E+07

33.00 0.131E-17 0.362E-07 0.114E-10 -0.724E+00 -0.775E-11 -0.513E+00 0.113E-11 0.311E-01
0.507E+03 0.708E+07 0.708E+07

33.50 -0.169E-17 -0.136E-06 0.741E-11 -0.464E+00 -0.766E-11 -0.491E+00 -0.147E-11 -0.119E+00
0.506E+03 0.708E+07 0.708E+07

34.00 -0.442E-17 -0.293E-06 0.376E-11 -0.233E+00 -0.632E-11 -0.396E+00 -0.391E-11 -0.259E+00
0.506E+03 0.708E+07 0.708E+07

34.50 -0.702E-17 -0.441E-06 0.109E-11 -0.669E-01 -0.376E-11 -0.233E+00 -0.631E-11 -0.396E+00
0.505E+03 0.708E+07 0.708E+07

35.00 -0.958E-17 -0.586E-06 -0.436E-25 0.000E+00 0.617E-25 0.562E-14 -0.873E-11 -0.535E+00
0.505E+03 0.708E+07 0.708E+07

NUMBER OF ITERATIONS IN LLP = 11

* PILE GROUP * 11

PILE TOP DISPLACEMENTS AND REACTIONS

THE GLOBAL STRUCTURAL COORDINATE SYSTEM

VDISPL, M HDISPLy, M HDISPLz, M ROT. V,RAD ROT.Hy,RAD ROT.Hz,RAD
-0.213E-03 0.366E-13 0.784E-02 0.322E-13 0.493E-03 -0.909E-16

AXIAL, KN LATy, KN LATz, KN MOMx, KN- M MOMy, KN- M MOMz, KN- M
 -0.177E+03 0.384E-08 0.639E+03 0.113E-07 -0.183E+04 0.140E-07

STRESS, KN/ M**2

0.564E+04

THE PILE COORDINATE SYSTEM

VDISPL, M HDISPLy, M HDISPLz, M ROT. V,RAD ROT.Hy,RAD ROT.Hz,RAD
 -0.213E-03 0.366E-13 0.784E-02 0.322E-13 0.493E-03 -0.909E-16

AXIAL, KN LATy, KN LATz, KN MOMx, KN- M MOMy, KN- M MOMz, KN- M
 -0.177E+03 0.384E-08 0.639E+03 0.113E-07 -0.183E+04 0.140E-07

STRESS, KN/ M**2

0.564E+04

LATERALLY LOADED PILE

X	DEFLECTION	BENDING MOMENT	SHEAR FORCE	SOIL REACTION	TOTAL						
FLEXURAL RIGIDITY											
	Y-DIR	Z-DIR	Z-DIR	Y-DIR	Z-DIR	Y-DIR	Z-DIR	STRESS	Z-DIR		
	Y-DIR										
M	M	M	KN- M	KN- M	KN	KN	KN/ M	KN/ M	KN/ M**2	KN- M**2	KN- M**2
M**2											
*****	*****	*****	*****	*****	*****	*****	*****	*****	*****	*****	*****
*****	*****	*****	*****	*****	*****	*****	*****	*****	*****	*****	*****
0.00	0.366E-13	0.784E-02	-0.140E-07	0.183E+04	0.384E-08	0.639E+03	0.000E+00	0.000E+00			
0.564E+04	0.708E+07	0.708E+07									
0.50	0.363E-13	0.756E-02	-0.121E-07	0.152E+04	0.381E-08	0.633E+03	0.109E-09	0.228E+02			
0.467E+04	0.708E+07	0.708E+07									
1.00	0.356E-13	0.723E-02	-0.102E-07	0.120E+04	0.373E-08	0.615E+03	0.243E-09	0.494E+02			
0.373E+04	0.708E+07	0.708E+07									
1.50	0.345E-13	0.685E-02	-0.833E-08	0.900E+03	0.357E-08	0.584E+03	0.387E-09	0.767E+02			
0.282E+04	0.708E+07	0.708E+07									
2.00	0.332E-13	0.645E-02	-0.659E-08	0.618E+03	0.334E-08	0.539E+03	0.526E-09	0.102E+03			
0.197E+04	0.708E+07	0.708E+07									
2.50	0.316E-13	0.602E-02	-0.499E-08	0.362E+03	0.305E-08	0.482E+03	0.650E-09	0.124E+03			
0.119E+04	0.708E+07	0.708E+07									
3.00	0.298E-13	0.558E-02	-0.354E-08	0.136E+03	0.270E-08	0.416E+03	0.749E-09	0.140E+03			
0.510E+03	0.708E+07	0.708E+07									
3.50	0.279E-13	0.513E-02	-0.229E-08	-0.547E+02	0.230E-08	0.343E+03	0.831E-09	0.153E+03			
0.265E+03	0.708E+07	0.708E+07									
4.00	0.259E-13	0.469E-02	-0.124E-08	-0.207E+03	0.188E-08	0.265E+03	0.872E-09	0.158E+03			
0.725E+03	0.708E+07	0.708E+07									
4.50	0.239E-13	0.425E-02	-0.414E-09	-0.320E+03	0.158E-08	0.211E+03	0.326E-09	0.580E+02			
0.107E+04	0.708E+07	0.708E+07									
5.00	0.218E-13	0.383E-02	0.333E-09	-0.418E+03	0.141E-08	0.183E+03	0.324E-09	0.568E+02			
0.136E+04	0.708E+07	0.708E+07									
5.50	0.198E-13	0.341E-02	0.999E-09	-0.502E+03	0.125E-08	0.155E+03	0.321E-09	0.554E+02			
0.162E+04	0.708E+07	0.708E+07									
6.00	0.178E-13	0.302E-02	0.159E-08	-0.573E+03	0.109E-08	0.127E+03	0.316E-09	0.537E+02			
0.183E+04	0.708E+07	0.708E+07									

6.50 0.159E-13 0.265E-02 0.209E-08 -0.630E+03 0.937E-09 0.101E+03 0.310E-09 0.518E+02
 0.200E+04 0.708E+07 0.708E+07

7.00 0.140E-13 0.230E-02 0.252E-08 -0.674E+03 0.784E-09 0.756E+02 0.302E-09 0.496E+02
 0.213E+04 0.708E+07 0.708E+07

7.50 0.122E-13 0.197E-02 0.288E-08 -0.705E+03 0.636E-09 0.514E+02 0.292E-09 0.472E+02
 0.223E+04 0.708E+07 0.708E+07

8.00 0.105E-13 0.167E-02 0.316E-08 -0.725E+03 0.492E-09 0.284E+02 0.282E-09 0.447E+02
 0.229E+04 0.708E+07 0.708E+07

8.50 0.897E-14 0.139E-02 0.337E-08 -0.733E+03 0.355E-09 0.677E+01 0.269E-09 0.419E+02
 0.231E+04 0.708E+07 0.708E+07

9.00 0.752E-14 0.114E-02 0.351E-08 -0.731E+03 0.223E-09 -0.134E+02 0.256E-09 0.389E+02
 0.231E+04 0.708E+07 0.708E+07

9.50 0.620E-14 0.919E-03 0.359E-08 -0.720E+03 0.988E-10 -0.321E+02 0.241E-09 0.358E+02
 0.227E+04 0.708E+07 0.708E+07

10.00 0.501E-14 0.720E-03 0.361E-08 -0.699E+03 -0.179E-10 -0.492E+02 0.226E-09 0.324E+02
 0.221E+04 0.708E+07 0.708E+07

10.50 0.394E-14 0.546E-03 0.357E-08 -0.671E+03 -0.126E-09 -0.645E+02 0.209E-09 0.289E+02
 0.212E+04 0.708E+07 0.708E+07

11.00 0.300E-14 0.395E-03 0.348E-08 -0.635E+03 -0.226E-09 -0.780E+02 0.191E-09 0.252E+02
 0.202E+04 0.708E+07 0.708E+07

11.50 0.218E-14 0.267E-03 0.335E-08 -0.593E+03 -0.318E-09 -0.896E+02 0.173E-09 0.212E+02
 0.189E+04 0.708E+07 0.708E+07

12.00 0.148E-14 0.159E-03 0.317E-08 -0.545E+03 -0.400E-09 -0.991E+02 0.156E-09 0.167E+02
 0.175E+04 0.708E+07 0.708E+07

12.50 0.892E-15 0.709E-04 0.295E-08 -0.493E+03 -0.469E-09 -0.106E+03 0.121E-09 0.965E+01
 0.159E+04 0.708E+07 0.708E+07

13.00 0.408E-15 0.138E-06 0.270E-08 -0.439E+03 -0.539E-09 -0.108E+03 0.157E-09 0.534E-01
 0.143E+04 0.708E+07 0.708E+07

13.50 0.185E-16 -0.551E-04 0.241E-08 -0.385E+03 -0.579E-09 -0.106E+03 0.290E-11 -0.862E+01
 0.126E+04 0.708E+07 0.708E+07

14.00 -0.286E-15 -0.968E-04 0.212E-08 -0.333E+03 -0.571E-09 -0.101E+03 -0.340E-10 -0.115E+02
 0.111E+04 0.708E+07 0.708E+07

14.50 -0.515E-15 -0.127E-03 0.184E-08 -0.284E+03 -0.549E-09 -0.947E+02 -0.540E-10 -0.133E+02
 0.958E+03 0.708E+07 0.708E+07

15.00 -0.680E-15 -0.147E-03 0.157E-08 -0.239E+03 -0.519E-09 -0.878E+02 -0.668E-10 -0.144E+02
0.821E+03 0.708E+07 0.708E+07

15.50 -0.789E-15 -0.158E-03 0.132E-08 -0.197E+03 -0.483E-09 -0.804E+02 -0.752E-10 -0.151E+02
0.693E+03 0.708E+07 0.708E+07

16.00 -0.852E-15 -0.162E-03 0.108E-08 -0.158E+03 -0.444E-09 -0.728E+02 -0.806E-10 -0.154E+02
0.578E+03 0.708E+07 0.708E+07

16.50 -0.877E-15 -0.161E-03 0.873E-09 -0.124E+03 -0.403E-09 -0.651E+02 -0.839E-10 -0.154E+02
0.474E+03 0.708E+07 0.708E+07

17.00 -0.870E-15 -0.156E-03 0.682E-09 -0.931E+02 -0.361E-09 -0.574E+02 -0.853E-10 -0.153E+02
0.381E+03 0.708E+07 0.708E+07

17.50 -0.840E-15 -0.147E-03 0.512E-09 -0.663E+02 -0.318E-09 -0.499E+02 -0.854E-10 -0.150E+02
0.300E+03 0.708E+07 0.708E+07

18.00 -0.792E-15 -0.136E-03 0.364E-09 -0.432E+02 -0.276E-09 -0.425E+02 -0.842E-10 -0.145E+02
0.231E+03 0.708E+07 0.708E+07

18.50 -0.730E-15 -0.123E-03 0.236E-09 -0.238E+02 -0.234E-09 -0.354E+02 -0.822E-10 -0.139E+02
0.172E+03 0.708E+07 0.708E+07

19.00 -0.661E-15 -0.110E-03 0.129E-09 -0.781E+01 -0.194E-09 -0.287E+02 -0.793E-10 -0.132E+02
0.124E+03 0.708E+07 0.708E+07

19.50 -0.586E-15 -0.963E-04 0.425E-10 0.486E+01 -0.155E-09 -0.222E+02 -0.758E-10 -0.124E+02
0.115E+03 0.708E+07 0.708E+07

20.00 -0.511E-15 -0.828E-04 -0.255E-10 0.144E+02 -0.124E-09 -0.171E+02 -0.499E-10 -0.808E+01
0.144E+03 0.708E+07 0.708E+07

20.50 -0.436E-15 -0.697E-04 -0.811E-10 0.220E+02 -0.998E-10 -0.133E+02 -0.455E-10 -0.727E+01
0.167E+03 0.708E+07 0.708E+07

21.00 -0.364E-15 -0.574E-04 -0.125E-09 0.277E+02 -0.783E-10 -0.986E+01 -0.404E-10 -0.637E+01
0.184E+03 0.708E+07 0.708E+07

21.50 -0.297E-15 -0.461E-04 -0.159E-09 0.318E+02 -0.595E-10 -0.691E+01 -0.349E-10 -0.543E+01
0.196E+03 0.708E+07 0.708E+07

22.00 -0.235E-15 -0.360E-04 -0.185E-09 0.346E+02 -0.435E-10 -0.444E+01 -0.292E-10 -0.447E+01
0.205E+03 0.708E+07 0.708E+07

22.50 -0.179E-15 -0.270E-04 -0.203E-09 0.363E+02 -0.303E-10 -0.244E+01 -0.235E-10 -0.354E+01
0.210E+03 0.708E+07 0.708E+07

23.00 -0.131E-15 -0.193E-04 -0.215E-09 0.370E+02 -0.121E-10 0.263E+00 -0.492E-10 -0.726E+01
0.212E+03 0.708E+07 0.708E+07

23.50 -0.907E-16 -0.130E-04 -0.215E-09 0.360E+02 0.107E-10 0.358E+01 -0.420E-10 -0.602E+01
0.209E+03 0.708E+07 0.708E+07

24.00 -0.577E-16 -0.789E-05 -0.204E-09 0.334E+02 0.299E-10 0.628E+01 -0.347E-10 -0.475E+01
0.201E+03 0.708E+07 0.708E+07

24.50 -0.319E-16 -0.398E-05 -0.185E-09 0.297E+02 0.444E-10 0.819E+01 -0.232E-10 -0.290E+01
0.190E+03 0.708E+07 0.708E+07

25.00 -0.126E-16 -0.112E-05 -0.160E-09 0.253E+02 0.525E-10 0.912E+01 -0.938E-11 -0.831E+00
0.176E+03 0.708E+07 0.708E+07

25.50 0.962E-18 0.850E-06 -0.133E-09 0.206E+02 0.547E-10 0.917E+01 0.728E-12 0.644E+00
0.162E+03 0.708E+07 0.708E+07

26.00 0.989E-17 0.209E-05 -0.105E-09 0.161E+02 0.526E-10 0.860E+01 0.763E-11 0.162E+01
0.149E+03 0.708E+07 0.708E+07

26.50 0.151E-16 0.277E-05 -0.800E-10 0.120E+02 0.477E-10 0.765E+01 0.119E-10 0.218E+01
0.136E+03 0.708E+07 0.708E+07

27.00 0.175E-16 0.302E-05 -0.576E-10 0.844E+01 0.412E-10 0.650E+01 0.140E-10 0.242E+01
0.126E+03 0.708E+07 0.708E+07

27.50 0.178E-16 0.298E-05 -0.388E-10 0.549E+01 0.341E-10 0.529E+01 0.145E-10 0.243E+01
0.117E+03 0.708E+07 0.708E+07

28.00 0.168E-16 0.274E-05 -0.236E-10 0.315E+01 0.270E-10 0.411E+01 0.140E-10 0.228E+01
0.110E+03 0.708E+07 0.708E+07

28.50 0.150E-16 0.239E-05 -0.118E-10 0.138E+01 0.203E-10 0.304E+01 0.126E-10 0.202E+01
0.104E+03 0.708E+07 0.708E+07

29.00 0.127E-16 0.199E-05 -0.325E-11 0.111E+00 0.144E-10 0.210E+01 0.109E-10 0.172E+01
0.101E+03 0.708E+07 0.708E+07

29.50 0.103E-16 0.159E-05 0.259E-11 -0.725E+00 0.943E-11 0.132E+01 0.901E-11 0.139E+01
0.102E+03 0.708E+07 0.708E+07

30.00 0.800E-17 0.122E-05 0.618E-11 -0.121E+01 0.540E-11 0.706E+00 0.713E-11 0.108E+01
0.104E+03 0.708E+07 0.708E+07

30.50 0.593E-17 0.882E-06 0.799E-11 -0.143E+01 0.228E-11 0.236E+00 0.537E-11 0.798E+00
0.105E+03 0.708E+07 0.708E+07

31.00 0.414E-17 0.599E-06 0.846E-11 -0.145E+01 -0.156E-13 -0.101E+00 0.380E-11 0.551E+00
0.105E+03 0.708E+07 0.708E+07

31.50 0.264E-17 0.367E-06 0.797E-11 -0.133E+01 -0.158E-11 -0.325E+00 0.247E-11 0.343E+00
0.104E+03 0.708E+07 0.708E+07

32.00 0.143E-17 0.182E-06 0.687E-11 -0.112E+01 -0.254E-11 -0.454E+00 0.136E-11 0.173E+00
 0.104E+03 0.708E+07 0.708E+07

32.50 0.458E-18 0.367E-07 0.543E-11 -0.876E+00 -0.299E-11 -0.506E+00 0.442E-12 0.354E-01
 0.103E+03 0.708E+07 0.708E+07

33.00 -0.321E-18 -0.776E-07 0.388E-11 -0.619E+00 -0.302E-11 -0.496E+00 -0.314E-12 -0.760E-01
 0.102E+03 0.708E+07 0.708E+07

33.50 -0.962E-18 -0.170E-06 0.241E-11 -0.380E+00 -0.270E-11 -0.434E+00 -0.956E-12 -0.169E+00
 0.101E+03 0.708E+07 0.708E+07

34.00 -0.152E-17 -0.249E-06 0.118E-11 -0.184E+00 -0.208E-11 -0.329E+00 -0.153E-11 -0.251E+00
 0.101E+03 0.708E+07 0.708E+07

34.50 -0.203E-17 -0.322E-06 0.329E-12 -0.509E-01 -0.118E-11 -0.184E+00 -0.208E-11 -0.329E+00
 0.100E+03 0.708E+07 0.708E+07

35.00 -0.254E-17 -0.392E-06 0.000E+00 0.150E-14 0.429E-26 0.743E-16 -0.263E-11 -0.407E+00
 0.100E+03 0.708E+07 0.708E+07

NUMBER OF ITERATIONS IN LLP = 10

* PILE GROUP * 12

PILE TOP DISPLACEMENTS AND REACTIONS

THE GLOBAL STRUCTURAL COORDINATE SYSTEM

VDISPL, M HDISPLy, M HDISPLz, M ROT. V,RAD ROT.Hy,RAD ROT.Hz,RAD
 0.675E-03 -0.214E-13 0.784E-02 0.322E-13 0.493E-03 -0.909E-16

AXIAL, KN LATy, KN LATz, KN MOMx, KN- M MOMy, KN- M MOMz, KN- M

0.563E+03 -0.305E-08 0.869E+03 0.113E-07 -0.237E+04 -0.104E-07

STRESS, KN/ M**2

0.747E+04

THE PILE COORDINATE SYSTEM

VDISPL, M HDISPLy, M HDISPLz, M ROT. V,RAD ROT.Hy,RAD ROT.Hz,RAD

0.675E-03 -0.214E-13 0.784E-02 0.322E-13 0.493E-03 -0.909E-16

AXIAL, KN LATy, KN LATz, KN MOMx, KN- M MOMy, KN- M MOMz, KN- M

0.563E+03 -0.305E-08 0.869E+03 0.113E-07 -0.237E+04 -0.104E-07

STRESS, KN/ M**2

0.747E+04

LATERALLY LOADED PILE

X FLEXURAL RIGIDITY	DEFLECTION		BENDING MOMENT		SHEAR FORCE		SOIL REACTION		TOTAL	
	Y-DIR	Z-DIR	Z-DIR	Y-DIR	Y-DIR	Z-DIR	Y-DIR	Z-DIR	STRESS	Z-DIR
M M**2	M	KN- M	KN- M	KN	KN	KN/ M	KN/ M	KN/ M**2	KN- M**2	KN- M**2
<hr/>										
<hr/>										
0.00	-0.214E-13	0.784E-02	0.104E-07	0.237E+04	-0.305E-08	0.869E+03	0.000E+00	0.000E+00		
0.747E+04	0.708E+07	0.708E+07								
0.50	-0.213E-13	0.755E-02	0.882E-08	0.194E+04	-0.303E-08	0.861E+03	-0.948E-10	0.336E+02		
0.616E+04	0.708E+07	0.708E+07								
1.00	-0.208E-13	0.719E-02	0.732E-08	0.151E+04	-0.295E-08	0.834E+03	-0.211E-09	0.729E+02		
0.487E+04	0.708E+07	0.708E+07								
1.50	-0.201E-13	0.678E-02	0.587E-08	0.110E+04	-0.282E-08	0.788E+03	-0.336E-09	0.113E+03		
0.364E+04	0.708E+07	0.708E+07								
2.00	-0.192E-13	0.634E-02	0.450E-08	0.720E+03	-0.262E-08	0.722E+03	-0.456E-09	0.150E+03		
0.249E+04	0.708E+07	0.708E+07								
2.50	-0.181E-13	0.586E-02	0.325E-08	0.378E+03	-0.236E-08	0.639E+03	-0.562E-09	0.182E+03		
0.146E+04	0.708E+07	0.708E+07								
3.00	-0.170E-13	0.537E-02	0.214E-08	0.810E+02	-0.206E-08	0.542E+03	-0.646E-09	0.205E+03		
0.563E+03	0.708E+07	0.708E+07								
3.50	-0.157E-13	0.488E-02	0.118E-08	-0.165E+03	-0.172E-08	0.436E+03	-0.714E-09	0.222E+03		
0.816E+03	0.708E+07	0.708E+07								
4.00	-0.144E-13	0.440E-02	0.411E-09	-0.355E+03	-0.136E-08	0.323E+03	-0.746E-09	0.228E+03		
0.139E+04	0.708E+07	0.708E+07								
4.50	-0.131E-13	0.393E-02	-0.175E-09	-0.488E+03	-0.110E-08	0.245E+03	-0.274E-09	0.824E+02		
0.179E+04	0.708E+07	0.708E+07								
5.00	-0.118E-13	0.347E-02	-0.693E-09	-0.601E+03	-0.966E-09	0.205E+03	-0.271E-09	0.800E+02		
0.213E+04	0.708E+07	0.708E+07								
5.50	-0.105E-13	0.304E-02	-0.114E-08	-0.694E+03	-0.832E-09	0.165E+03	-0.266E-09	0.772E+02		
0.241E+04	0.708E+07	0.708E+07								
6.00	-0.922E-14	0.263E-02	-0.153E-08	-0.767E+03	-0.701E-09	0.128E+03	-0.260E-09	0.741E+02		
0.263E+04	0.708E+07	0.708E+07								

6.50 -0.802E-14 0.225E-02 -0.184E-08 -0.822E+03 -0.573E-09 0.914E+02 -0.252E-09 0.705E+02
0.280E+04 0.708E+07 0.708E+07

7.00 -0.689E-14 0.190E-02 -0.210E-08 -0.859E+03 -0.449E-09 0.572E+02 -0.242E-09 0.666E+02
0.291E+04 0.708E+07 0.708E+07

7.50 -0.584E-14 0.157E-02 -0.230E-08 -0.879E+03 -0.331E-09 0.249E+02 -0.232E-09 0.624E+02
0.297E+04 0.708E+07 0.708E+07

8.00 -0.486E-14 0.128E-02 -0.243E-08 -0.884E+03 -0.218E-09 -0.510E+01 -0.220E-09 0.578E+02
0.299E+04 0.708E+07 0.708E+07

8.50 -0.398E-14 0.102E-02 -0.251E-08 -0.874E+03 -0.112E-09 -0.328E+02 -0.206E-09 0.530E+02
0.296E+04 0.708E+07 0.708E+07

9.00 -0.318E-14 0.791E-03 -0.254E-08 -0.852E+03 -0.120E-10 -0.580E+02 -0.192E-09 0.478E+02
0.289E+04 0.708E+07 0.708E+07

9.50 -0.247E-14 0.591E-03 -0.253E-08 -0.817E+03 0.803E-10 -0.806E+02 -0.177E-09 0.424E+02
0.278E+04 0.708E+07 0.708E+07

10.00 -0.185E-14 0.421E-03 -0.247E-08 -0.771E+03 0.165E-09 -0.100E+03 -0.161E-09 0.366E+02
0.265E+04 0.708E+07 0.708E+07

10.50 -0.131E-14 0.277E-03 -0.236E-08 -0.717E+03 0.241E-09 -0.117E+03 -0.144E-09 0.305E+02
0.248E+04 0.708E+07 0.708E+07

11.00 -0.862E-15 0.159E-03 -0.222E-08 -0.654E+03 0.309E-09 -0.131E+03 -0.128E-09 0.236E+02
0.229E+04 0.708E+07 0.708E+07

11.50 -0.490E-15 0.640E-04 -0.205E-08 -0.586E+03 0.370E-09 -0.140E+03 -0.117E-09 0.153E+02
0.209E+04 0.708E+07 0.708E+07

12.00 -0.191E-15 -0.104E-04 -0.185E-08 -0.514E+03 0.425E-09 -0.143E+03 -0.100E-09 -0.548E+01
0.187E+04 0.708E+07 0.708E+07

12.50 0.431E-16 -0.666E-04 -0.163E-08 -0.443E+03 0.448E-09 -0.138E+03 0.893E-11 -0.138E+02
0.166E+04 0.708E+07 0.708E+07

13.00 0.219E-15 -0.107E-03 -0.141E-08 -0.376E+03 0.436E-09 -0.130E+03 0.361E-10 -0.177E+02
0.145E+04 0.708E+07 0.708E+07

13.50 0.346E-15 -0.135E-03 -0.119E-08 -0.313E+03 0.415E-09 -0.121E+03 0.512E-10 -0.199E+02
0.126E+04 0.708E+07 0.708E+07

14.00 0.430E-15 -0.151E-03 -0.993E-09 -0.255E+03 0.387E-09 -0.110E+03 0.606E-10 -0.213E+02
0.109E+04 0.708E+07 0.708E+07

14.50 0.479E-15 -0.158E-03 -0.807E-09 -0.203E+03 0.355E-09 -0.996E+02 0.665E-10 -0.219E+02
0.931E+03 0.708E+07 0.708E+07

15.00 0.500E-15 -0.158E-03 -0.638E-09 -0.156E+03 0.321E-09 -0.886E+02 0.699E-10 -0.221E+02
 0.788E+03 0.708E+07 0.708E+07

15.50 0.498E-15 -0.153E-03 -0.487E-09 -0.114E+03 0.285E-09 -0.776E+02 0.714E-10 -0.219E+02
 0.663E+03 0.708E+07 0.708E+07

16.00 0.479E-15 -0.143E-03 -0.353E-09 -0.781E+02 0.250E-09 -0.668E+02 0.714E-10 -0.213E+02
 0.554E+03 0.708E+07 0.708E+07

16.50 0.448E-15 -0.131E-03 -0.237E-09 -0.473E+02 0.214E-09 -0.564E+02 0.703E-10 -0.206E+02
 0.461E+03 0.708E+07 0.708E+07

17.00 0.408E-15 -0.117E-03 -0.139E-09 -0.217E+02 0.180E-09 -0.463E+02 0.682E-10 -0.196E+02
 0.384E+03 0.708E+07 0.708E+07

17.50 0.364E-15 -0.103E-03 -0.576E-10 -0.963E+00 0.146E-09 -0.368E+02 0.654E-10 -0.185E+02
 0.321E+03 0.708E+07 0.708E+07

18.00 0.317E-15 -0.879E-04 0.730E-11 0.151E+02 0.114E-09 -0.279E+02 0.620E-10 -0.172E+02
 0.364E+03 0.708E+07 0.708E+07

18.50 0.270E-15 -0.737E-04 0.567E-10 0.269E+02 0.842E-10 -0.196E+02 0.582E-10 -0.159E+02
 0.400E+03 0.708E+07 0.708E+07

19.00 0.226E-15 -0.605E-04 0.915E-10 0.348E+02 0.561E-10 -0.120E+02 0.541E-10 -0.145E+02
 0.423E+03 0.708E+07 0.708E+07

19.50 0.185E-15 -0.486E-04 0.113E-09 0.390E+02 0.302E-10 -0.514E+01 0.497E-10 -0.131E+02
 0.436E+03 0.708E+07 0.708E+07

20.00 0.147E-15 -0.380E-04 0.122E-09 0.399E+02 0.124E-10 -0.506E+00 0.213E-10 -0.549E+01
 0.439E+03 0.708E+07 0.708E+07

20.50 0.115E-15 -0.288E-04 0.125E-09 0.395E+02 0.270E-11 0.198E+01 0.177E-10 -0.445E+01
 0.438E+03 0.708E+07 0.708E+07

21.00 0.860E-16 -0.211E-04 0.124E-09 0.380E+02 -0.524E-11 0.395E+01 0.141E-10 -0.346E+01
 0.433E+03 0.708E+07 0.708E+07

21.50 0.619E-16 -0.146E-04 0.120E-09 0.356E+02 -0.115E-10 0.545E+01 0.108E-10 -0.254E+01
 0.426E+03 0.708E+07 0.708E+07

22.00 0.420E-16 -0.946E-05 0.113E-09 0.325E+02 -0.161E-10 0.652E+01 0.772E-11 -0.174E+01
 0.417E+03 0.708E+07 0.708E+07

22.50 0.261E-16 -0.542E-05 0.104E-09 0.290E+02 -0.193E-10 0.722E+01 0.506E-11 -0.105E+01
 0.406E+03 0.708E+07 0.708E+07

23.00 0.139E-16 -0.242E-05 0.938E-10 0.253E+02 -0.240E-10 0.809E+01 0.140E-10 -0.244E+01
 0.395E+03 0.708E+07 0.708E+07

23.50 0.500E-17 -0.305E-06 0.800E-10 0.210E+02 -0.288E-10 0.878E+01 0.516E-11 -0.314E+00
 0.382E+03 0.708E+07 0.708E+07

24.00 -0.108E-17 0.107E-05 0.650E-10 0.165E+02 -0.298E-10 0.858E+01 -0.114E-11 0.112E+01
 0.368E+03 0.708E+07 0.708E+07

24.50 -0.487E-17 0.186E-05 0.502E-10 0.124E+02 -0.283E-10 0.780E+01 -0.523E-11 0.200E+01
 0.356E+03 0.708E+07 0.708E+07

25.00 -0.689E-17 0.221E-05 0.367E-10 0.873E+01 -0.251E-10 0.669E+01 -0.755E-11 0.243E+01
 0.345E+03 0.708E+07 0.708E+07

25.50 -0.761E-17 0.226E-05 0.251E-10 0.569E+01 -0.210E-10 0.545E+01 -0.851E-11 0.252E+01
 0.336E+03 0.708E+07 0.708E+07

26.00 -0.745E-17 0.210E-05 0.157E-10 0.327E+01 -0.168E-10 0.422E+01 -0.850E-11 0.240E+01
 0.328E+03 0.708E+07 0.708E+07

26.50 -0.673E-17 0.183E-05 0.833E-11 0.146E+01 -0.127E-10 0.309E+01 -0.783E-11 0.213E+01
 0.323E+03 0.708E+07 0.708E+07

27.00 -0.572E-17 0.151E-05 0.295E-11 0.180E+00 -0.906E-11 0.212E+01 -0.678E-11 0.178E+01
 0.319E+03 0.708E+07 0.708E+07

27.50 -0.461E-17 0.118E-05 -0.735E-12 -0.655E+00 -0.598E-11 0.131E+01 -0.556E-11 0.142E+01
 0.320E+03 0.708E+07 0.708E+07

28.00 -0.352E-17 0.872E-06 -0.303E-11 -0.114E+01 -0.350E-11 0.692E+00 -0.433E-11 0.107E+01
 0.322E+03 0.708E+07 0.708E+07

28.50 -0.254E-17 0.606E-06 -0.424E-11 -0.135E+01 -0.163E-11 0.235E+00 -0.318E-11 0.757E+00
 0.323E+03 0.708E+07 0.708E+07

29.00 -0.171E-17 0.387E-06 -0.466E-11 -0.137E+01 -0.290E-12 -0.775E-01 -0.217E-11 0.493E+00
 0.323E+03 0.708E+07 0.708E+07

29.50 -0.104E-17 0.217E-06 -0.453E-11 -0.127E+01 0.591E-12 -0.271E+00 -0.135E-11 0.281E+00
 0.322E+03 0.708E+07 0.708E+07

30.00 -0.536E-18 0.922E-07 -0.407E-11 -0.110E+01 0.110E-11 -0.372E+00 -0.705E-12 0.121E+00
 0.322E+03 0.708E+07 0.708E+07

30.50 -0.172E-18 0.584E-08 -0.343E-11 -0.899E+00 0.134E-11 -0.404E+00 -0.230E-12 0.782E-02
 0.321E+03 0.708E+07 0.708E+07

31.00 0.704E-19 -0.488E-07 -0.273E-11 -0.696E+00 0.137E-11 -0.389E+00 0.958E-13 -0.663E-01
 0.321E+03 0.708E+07 0.708E+07

31.50 0.217E-18 -0.788E-07 -0.206E-11 -0.510E+00 0.127E-11 -0.345E+00 0.299E-12 -0.109E+00
 0.320E+03 0.708E+07 0.708E+07

32.00 0.290E-18 -0.909E-07 -0.146E-11 -0.350E+00 0.110E-11 -0.286E+00 0.407E-12 -0.128E+00
 0.320E+03 0.708E+07 0.708E+07

32.50 0.313E-18 -0.906E-07 -0.960E-12 -0.223E+00 0.883E-12 -0.222E+00 0.446E-12 -0.129E+00
 0.319E+03 0.708E+07 0.708E+07

33.00 0.301E-18 -0.824E-07 -0.574E-12 -0.128E+00 0.663E-12 -0.160E+00 0.436E-12 -0.119E+00
 0.319E+03 0.708E+07 0.708E+07

33.50 0.269E-18 -0.697E-07 -0.297E-12 -0.631E-01 0.455E-12 -0.105E+00 0.395E-12 -0.102E+00
 0.319E+03 0.708E+07 0.708E+07

34.00 0.227E-18 -0.547E-07 -0.119E-12 -0.236E-01 0.272E-12 -0.587E-01 0.338E-12 -0.816E-01
 0.319E+03 0.708E+07 0.708E+07

34.50 0.180E-18 -0.389E-07 -0.255E-13 -0.442E-02 0.119E-12 -0.236E-01 0.272E-12 -0.589E-01
 0.319E+03 0.708E+07 0.708E+07

35.00 0.133E-18 -0.230E-07 -0.341E-27 0.000E+00 -0.197E-27 -0.144E-15 0.203E-12 -0.353E-01
 0.319E+03 0.708E+07 0.708E+07

NUMBER OF ITERATIONS IN LLP = 10

* PILE GROUP * 13

PILE TOP DISPLACEMENTS AND REACTIONS

THE GLOBAL STRUCTURAL COORDINATE SYSTEM

VDISPL, M HDISPLy, M HDISPLz, M ROT. V,RAD ROT.Hy,RAD ROT.Hz,RAD
 0.156E-02 -0.795E-13 0.784E-02 0.322E-13 0.493E-03 -0.909E-16

AXIAL, KN LATy, KN LATz, KN MOMx, KN- M MOMy, KN- M MOMz, KN- M

0.127E+04 -0.182E-07 0.146E+04 0.113E-07 -0.362E+04 -0.530E-07

STRESS, KN/ M**2

0.116E+05

THE PILE COORDINATE SYSTEM

VDISPL, M HDISPLy, M HDISPLz, M ROT. V,RAD ROT.Hy,RAD ROT.Hz,RAD

0.156E-02 -0.795E-13 0.784E-02 0.322E-13 0.493E-03 -0.909E-16

AXIAL, KN LATy, KN LATz, KN MOMx, KN- M MOMy, KN- M MOMz, KN- M

0.127E+04 -0.182E-07 0.146E+04 0.113E-07 -0.362E+04 -0.530E-07

STRESS, KN/ M**2

0.116E+05

LATERALLY LOADED PILE

X	DEFLECTION	BENDING MOMENT	SHEAR FORCE	SOIL REACTION	TOTAL						
FLEXURAL RIGIDITY		Y-DIR	Z-DIR	Z-DIR	Y-DIR	Z-DIR	Y-DIR	Z-DIR	STRESS	Z-DIR	
M	M	M	KN- M	KN- M	KN	KN	KN/ M	KN/ M	KN/ M**2	KN- M**2	KN- M**2
<hr/>											
<hr/>											
0.00	-0.795E-13	0.784E-02	0.530E-07	0.362E+04	-0.182E-07	0.146E+04	0.000E+00	0.000E+00			
0.116E+05	0.708E+07	0.708E+07									
0.50	-0.786E-13	0.753E-02	0.439E-07	0.289E+04	-0.180E-07	0.145E+04	-0.685E-09	0.656E+02			
0.944E+04	0.708E+07	0.708E+07									
1.00	-0.761E-13	0.712E-02	0.349E-07	0.217E+04	-0.175E-07	0.140E+04	-0.152E-08	0.142E+03			
0.727E+04	0.708E+07	0.708E+07									
1.50	-0.725E-13	0.663E-02	0.264E-07	0.149E+04	-0.165E-07	0.131E+04	-0.240E-08	0.219E+03			
0.522E+04	0.708E+07	0.708E+07									
2.00	-0.679E-13	0.609E-02	0.184E-07	0.865E+03	-0.151E-07	0.118E+04	-0.324E-08	0.290E+03			
0.333E+04	0.708E+07	0.708E+07									
2.50	-0.626E-13	0.551E-02	0.112E-07	0.311E+03	-0.133E-07	0.102E+04	-0.395E-08	0.348E+03			
0.166E+04	0.708E+07	0.708E+07									
3.00	-0.570E-13	0.493E-02	0.508E-08	-0.155E+03	-0.112E-07	0.834E+03	-0.449E-08	0.389E+03			
0.119E+04	0.708E+07	0.708E+07									
3.50	-0.511E-13	0.435E-02	0.358E-10	-0.525E+03	-0.884E-08	0.633E+03	-0.491E-08	0.418E+03			
0.230E+04	0.708E+07	0.708E+07									
4.00	-0.453E-13	0.379E-02	-0.378E-08	-0.789E+03	-0.636E-08	0.422E+03	-0.505E-08	0.423E+03			
0.310E+04	0.708E+07	0.708E+07									
4.50	-0.396E-13	0.326E-02	-0.633E-08	-0.948E+03	-0.465E-08	0.280E+03	-0.178E-08	0.147E+03			
0.358E+04	0.708E+07	0.708E+07									
5.00	-0.341E-13	0.277E-02	-0.844E-08	-0.107E+04	-0.377E-08	0.209E+03	-0.172E-08	0.140E+03			
0.395E+04	0.708E+07	0.708E+07									
5.50	-0.290E-13	0.231E-02	-0.101E-07	-0.116E+04	-0.293E-08	0.141E+03	-0.165E-08	0.131E+03			
0.422E+04	0.708E+07	0.708E+07									
6.00	-0.242E-13	0.189E-02	-0.114E-07	-0.121E+04	-0.212E-08	0.773E+02	-0.157E-08	0.123E+03			
0.438E+04	0.708E+07	0.708E+07									

6.50 -0.197E-13 0.151E-02 -0.123E-07 -0.124E+04 -0.136E-08 0.184E+02 -0.148E-08 0.113E+03
 0.445E+04 0.708E+07 0.708E+07

7.00 -0.158E-13 0.118E-02 -0.128E-07 -0.123E+04 -0.650E-09 -0.354E+02 -0.137E-08 0.103E+03
 0.444E+04 0.708E+07 0.708E+07

7.50 -0.122E-13 0.889E-03 -0.129E-07 -0.120E+04 0.870E-11 -0.840E+02 -0.126E-08 0.916E+02
 0.435E+04 0.708E+07 0.708E+07

8.00 -0.916E-14 0.642E-03 -0.128E-07 -0.115E+04 0.609E-09 -0.127E+03 -0.114E-08 0.800E+02
 0.419E+04 0.708E+07 0.708E+07

8.50 -0.654E-14 0.436E-03 -0.123E-07 -0.108E+04 0.115E-08 -0.164E+03 -0.101E-08 0.677E+02
 0.397E+04 0.708E+07 0.708E+07

9.00 -0.435E-14 0.268E-03 -0.116E-07 -0.985E+03 0.162E-08 -0.194E+03 -0.883E-09 0.544E+02
 0.369E+04 0.708E+07 0.708E+07

9.50 -0.257E-14 0.134E-03 -0.107E-07 -0.882E+03 0.203E-08 -0.218E+03 -0.755E-09 0.395E+02
 0.338E+04 0.708E+07 0.708E+07

10.00 -0.116E-14 0.322E-04 -0.959E-08 -0.768E+03 0.240E-08 -0.233E+03 -0.719E-09 0.199E+02
 0.304E+04 0.708E+07 0.708E+07

10.50 -0.100E-15 -0.429E-04 -0.830E-08 -0.649E+03 0.259E-08 -0.232E+03 -0.546E-10 -0.234E+02
 0.268E+04 0.708E+07 0.708E+07

11.00 0.671E-15 -0.952E-04 -0.700E-08 -0.536E+03 0.254E-08 -0.217E+03 0.251E-09 -0.356E+02
 0.234E+04 0.708E+07 0.708E+07

11.50 0.119E-14 -0.128E-03 -0.576E-08 -0.432E+03 0.238E-08 -0.197E+03 0.394E-09 -0.424E+02
 0.203E+04 0.708E+07 0.708E+07

12.00 0.152E-14 -0.146E-03 -0.461E-08 -0.339E+03 0.216E-08 -0.175E+03 0.479E-09 -0.463E+02
 0.174E+04 0.708E+07 0.708E+07

12.50 0.167E-14 -0.153E-03 -0.359E-08 -0.257E+03 0.193E-08 -0.154E+03 0.448E-09 -0.408E+02
 0.150E+04 0.708E+07 0.708E+07

13.00 0.170E-14 -0.149E-03 -0.268E-08 -0.185E+03 0.170E-08 -0.133E+03 0.465E-09 -0.407E+02
 0.128E+04 0.708E+07 0.708E+07

13.50 0.164E-14 -0.140E-03 -0.189E-08 -0.124E+03 0.147E-08 -0.113E+03 0.466E-09 -0.397E+02
 0.109E+04 0.708E+07 0.708E+07

14.00 0.151E-14 -0.126E-03 -0.121E-08 -0.724E+02 0.124E-08 -0.936E+02 0.455E-09 -0.380E+02
 0.939E+03 0.708E+07 0.708E+07

14.50 0.134E-14 -0.109E-03 -0.644E-09 -0.303E+02 0.102E-08 -0.752E+02 0.436E-09 -0.356E+02
 0.812E+03 0.708E+07 0.708E+07

15.00 0.114E-14 -0.919E-04 -0.189E-09 0.290E+01 0.808E-09 -0.581E+02 0.410E-09 -0.329E+02
 0.729E+03 0.708E+07 0.708E+07

15.50 0.942E-15 -0.744E-04 0.164E-09 0.279E+02 0.611E-09 -0.424E+02 0.377E-09 -0.298E+02
 0.804E+03 0.708E+07 0.708E+07

16.00 0.745E-15 -0.579E-04 0.423E-09 0.454E+02 0.431E-09 -0.283E+02 0.341E-09 -0.265E+02
 0.857E+03 0.708E+07 0.708E+07

16.50 0.564E-15 -0.430E-04 0.596E-09 0.562E+02 0.271E-09 -0.160E+02 0.302E-09 -0.230E+02
 0.890E+03 0.708E+07 0.708E+07

17.00 0.404E-15 -0.301E-04 0.694E-09 0.614E+02 0.130E-09 -0.535E+01 0.260E-09 -0.194E+02
 0.906E+03 0.708E+07 0.708E+07

17.50 0.268E-15 -0.194E-04 0.727E-09 0.616E+02 0.111E-10 0.342E+01 0.217E-09 -0.157E+02
 0.906E+03 0.708E+07 0.708E+07

18.00 0.158E-15 -0.108E-04 0.705E-09 0.580E+02 -0.861E-10 0.103E+02 0.172E-09 -0.118E+02
 0.895E+03 0.708E+07 0.708E+07

18.50 0.726E-16 -0.431E-05 0.641E-09 0.514E+02 -0.158E-09 0.149E+02 0.115E-09 -0.684E+01
 0.875E+03 0.708E+07 0.708E+07

19.00 0.100E-16 0.389E-06 0.548E-09 0.430E+02 -0.191E-09 0.165E+02 0.163E-10 0.634E+00
 0.850E+03 0.708E+07 0.708E+07

19.50 -0.333E-16 0.357E-05 0.450E-09 0.349E+02 -0.181E-09 0.148E+02 -0.556E-10 0.597E+01
 0.826E+03 0.708E+07 0.708E+07

20.00 -0.607E-16 0.552E-05 0.367E-09 0.282E+02 -0.163E-09 0.130E+02 -0.171E-10 0.156E+01
 0.805E+03 0.708E+07 0.708E+07

20.50 -0.751E-16 0.648E-05 0.288E-09 0.219E+02 -0.153E-09 0.121E+02 -0.226E-10 0.195E+01
 0.786E+03 0.708E+07 0.708E+07

21.00 -0.794E-16 0.666E-05 0.214E-09 0.161E+02 -0.141E-09 0.111E+02 -0.254E-10 0.213E+01
 0.769E+03 0.708E+07 0.708E+07

21.50 -0.761E-16 0.628E-05 0.147E-09 0.109E+02 -0.128E-09 0.100E+02 -0.258E-10 0.213E+01
 0.753E+03 0.708E+07 0.708E+07

22.00 -0.676E-16 0.551E-05 0.862E-10 0.612E+01 -0.115E-09 0.897E+01 -0.243E-10 0.198E+01
 0.739E+03 0.708E+07 0.708E+07

22.50 -0.561E-16 0.452E-05 0.316E-10 0.188E+01 -0.104E-09 0.805E+01 -0.212E-10 0.171E+01
 0.726E+03 0.708E+07 0.708E+07

23.00 -0.435E-16 0.347E-05 -0.178E-10 -0.193E+01 -0.773E-10 0.591E+01 -0.857E-10 0.684E+01
 0.726E+03 0.708E+07 0.708E+07

23.50 -0.315E-16 0.249E-05 -0.458E-10 -0.403E+01 -0.400E-10 0.295E+01 -0.633E-10 0.500E+01
 0.733E+03 0.708E+07 0.708E+07

24.00 -0.211E-16 0.164E-05 -0.579E-10 -0.488E+01 -0.134E-10 0.854E+00 -0.433E-10 0.338E+01
 0.735E+03 0.708E+07 0.708E+07

24.50 -0.127E-16 0.975E-06 -0.592E-10 -0.489E+01 0.414E-11 -0.502E+00 -0.267E-10 0.205E+01
 0.735E+03 0.708E+07 0.708E+07

25.00 -0.648E-17 0.478E-06 -0.538E-10 -0.438E+01 0.143E-10 -0.127E+01 -0.139E-10 0.102E+01
 0.734E+03 0.708E+07 0.708E+07

25.50 -0.212E-17 0.136E-06 -0.449E-10 -0.362E+01 0.189E-10 -0.160E+01 -0.464E-11 0.297E+00
 0.731E+03 0.708E+07 0.708E+07

26.00 0.649E-18 -0.782E-07 -0.349E-10 -0.278E+01 0.197E-10 -0.163E+01 0.145E-11 -0.174E+00
 0.729E+03 0.708E+07 0.708E+07

26.50 0.219E-17 -0.194E-06 -0.252E-10 -0.199E+01 0.181E-10 -0.148E+01 0.497E-11 -0.441E+00
 0.726E+03 0.708E+07 0.708E+07

27.00 0.284E-17 -0.240E-06 -0.167E-10 -0.130E+01 0.152E-10 -0.123E+01 0.657E-11 -0.555E+00
 0.724E+03 0.708E+07 0.708E+07

27.50 0.290E-17 -0.240E-06 -0.996E-11 -0.760E+00 0.119E-10 -0.948E+00 0.684E-11 -0.565E+00
 0.723E+03 0.708E+07 0.708E+07

28.00 0.261E-17 -0.213E-06 -0.487E-11 -0.357E+00 0.860E-11 -0.679E+00 0.626E-11 -0.510E+00
 0.721E+03 0.708E+07 0.708E+07

28.50 0.215E-17 -0.173E-06 -0.136E-11 -0.810E-01 0.572E-11 -0.446E+00 0.524E-11 -0.423E+00
 0.721E+03 0.708E+07 0.708E+07

29.00 0.164E-17 -0.131E-06 0.851E-12 0.893E-01 0.340E-11 -0.259E+00 0.407E-11 -0.324E+00
 0.721E+03 0.708E+07 0.708E+07

29.50 0.116E-17 -0.911E-07 0.204E-11 0.178E+00 0.165E-11 -0.121E+00 0.292E-11 -0.230E+00
 0.721E+03 0.708E+07 0.708E+07

30.00 0.747E-18 -0.581E-07 0.250E-11 0.210E+00 0.438E-12 -0.257E-01 0.192E-11 -0.149E+00
 0.721E+03 0.708E+07 0.708E+07

30.50 0.426E-18 -0.324E-07 0.248E-11 0.204E+00 -0.320E-12 0.328E-01 0.111E-11 -0.847E-01
 0.721E+03 0.708E+07 0.708E+07

31.00 0.193E-18 -0.139E-07 0.218E-11 0.177E+00 -0.727E-12 0.632E-01 0.514E-12 -0.370E-01
 0.721E+03 0.708E+07 0.708E+07

31.50 0.375E-19 -0.175E-08 0.175E-11 0.141E+00 -0.881E-12 0.736E-01 0.101E-12 -0.472E-02
 0.721E+03 0.708E+07 0.708E+07

32.00 -0.566E-19 0.547E-08 0.130E-11 0.104E+00 -0.867E-12 0.711E-01 -0.155E-12 0.150E-01
 0.721E+03 0.708E+07 0.708E+07

32.50 -0.105E-18 0.902E-08 0.887E-12 0.700E-01 -0.756E-12 0.610E-01 -0.291E-12 0.251E-01
 0.721E+03 0.708E+07 0.708E+07

33.00 -0.121E-18 0.101E-07 0.545E-12 0.427E-01 -0.597E-12 0.476E-01 -0.343E-12 0.286E-01
 0.720E+03 0.708E+07 0.708E+07

33.50 -0.119E-18 0.968E-08 0.290E-12 0.224E-01 -0.426E-12 0.335E-01 -0.341E-12 0.278E-01
 0.720E+03 0.708E+07 0.708E+07

34.00 -0.106E-18 0.847E-08 0.120E-12 0.912E-02 -0.263E-12 0.204E-01 -0.310E-12 0.247E-01
 0.720E+03 0.708E+07 0.708E+07

34.50 -0.893E-19 0.693E-08 0.268E-13 0.200E-02 -0.120E-12 0.912E-02 -0.264E-12 0.205E-01
 0.720E+03 0.708E+07 0.708E+07

35.00 -0.715E-19 0.533E-08 -0.170E-27 -0.351E-16 -0.412E-27 -0.120E-16 -0.214E-12 0.160E-01
 0.720E+03 0.708E+07 0.708E+07

NUMBER OF ITERATIONS IN LLP = 10

13.3 OUTPUT DEL SOFTWARE ENG

Dati generali

Archivio: C:\PI-PROGETTI\CVB\LAVORO\TERRAPIENO\Modelli_Trave_Coronamento\QPerm_2pali.TEL
 Data di stampa: 10/04/2018 alle: 17:20:49
 TRSP ed. 7.0 - 7/2007 - SIGMAC SOFT - programma di calcolo telai piani
 Numero nodi = 11
 Numero aste = 10
 Numero elementi strutturali= 0
 Numero condizioni di carico= 1
 Numero carichi nodali = 0
 Numero carichi distribuiti = 4
 Numero carichi parziali = 0
 Numero carichi concentrati = 0
 Numero coppie concentrate = 0
 Numero carichi termici = 0
 Numero cedimenti vincoli = 0
 Calcolo automatico peso proprio: Disattivato

Geometria struttura

Coordinate nodali e vincoli fissi :

nodo	x	y	wx	wy	rz
1	-7	10	0	1	0
2	-8	4	0	0	0
3	-8	1	0	0	0
4	-8	0	0	0	0
5	0	0	0	0	0
6	0	1	0	0	0
7	0	6	0	1	0
8	8	0	1	0	0

9	8	1	0	0	0
10	8	4	0	0	0
11	7	10	0	1	0

Caratteristiche delle aste

Elemento strutturale 0 :

asta	nodo i	nodo j	lunghezza
1	1	2	6
2	2	3	4
3	3	4	1
4	4	5	8
5	5	6	1
6	6	7	5
7	5	8	8
8	8	9	1
9	9	10	4
10	10	11	6

asta	sezione	area	modulo J	modulo E
1	1	4	1	3,5E7
2	1	4	1	3,5E7
3	1	4	1	3,5E7
4	2	4	1	3,5E7
5	1	4	1	3,5E7
6	1	4	1	3,5E7
7	2	4	1	3,5E7
8	1	4	1	3,5E7
9	1	4	1	3,5E7
10	1	4	1	3,5E7

Geometria delle sezioni

Sezione 1 : base =2 altezza =2

Sezione 2 : base =2 altezza =2

Carichi applicati alla struttura***QPerm***Carichi distribuiti :

descrizione	asta	qx iniz.	qx fin.	qy iniz.	qy fin.	riferim.
	2	0	0	-342	-342	LL
	9	0	0	-342	-342	LL
	4	0	0	-365	-365	LL
	7	0	0	-365	-365	LL

Combinazioni di carico :

combinazione	QPerm
QPerm	1,00

Spostamenti e reazioni**Condizione : QPerm**

nodo	Spost. Wx	Spost. Wy	Rotaz. Rz	Reaz. Wx	Reaz. Wy	Reaz. Rz
1	-0,0052	0,0000	0,00062	0	1747	0
2	-0,0020	-0,0005	0,00054	0	0	0
3	-0,0004	-0,0007	0,00033	0	0	0
4	-0,0001	-0,0007	0,00024	0	0	0
5	-0,0001	-0,0001	0,00000	0	0	0
6	-0,0001	-0,0001	0,00000	0	0	0
7	-0,0001	0,0000	0,00000	0	2131	0
8	0,0000	-0,0007	-0,00024	0	0	0
9	0,0002	-0,0007	-0,00033	0	0	0
10	0,0019	-0,0005	-0,00054	0	0	0
11	0,0051	0,0000	-0,00062	0	1747	0

Reazioni totali

0 5624

0

Sollecitazioni**Condizione : QPerm**

asta	x	M	T	N	P
1	0	0	-215	1733	
	1	-108	-215	1733	
	1	-215	-215	1733	
	2	-323	-215	1733	
	2	-431	-215	1733	
	3	-538	-215	1733	
	3	-646	-215	1733	
	4	-753	-215	1733	
	4	-861	-215	1733	
	5	-969	-215	1733	
	5	-1076	-215	1733	
	6	-1184	-215	1733	
	6	-1188	-215	1733	
2	0	-1188	-186	1737	
	1	-1323	-357	1737	
	1	-1544	-528	1737	
	2	-1851	-699	1737	
	2	-2243	-870	1737	
	3	-2720	-1041	1737	
	3	-3283	-1212	1737	
	4	-3932	-1383	1737	
	4	-4173	-1441	1737	
3	0	-4173	-1248	1880	
	1	-4797	-1248	1880	
	1	-5109	-1248	1880	

4	0	-5109	1880	1248
	1	-4215	1697	1248
	1	-3412	1515	1248
	2	-2700	1332	1248
	2	-2079	1150	1248
	3	-1550	967	1248
	3	-1112	785	1248
	4	-765	602	1248
	4	-510	420	1248
	5	-345	237	1248
	5	-272	55	1248
	6	-290	-128	1248
	6	-400	-310	1248
	7	-600	-493	1248
	7	-892	-675	1248
	8	-1276	-858	1248
	8	-1750	-1040	1248
	8	-1824	-1066	1248
5	0	0	0	2131
	1	0	0	2131
	1	0	0	2131
	1	0	0	2131
6	0	0	0	2131
	1	0	0	2131
	1	0	0	2131
	2	0	0	2131
	2	0	0	2131
	3	0	0	2131
	3	0	0	2131
	4	0	0	2131
	4	0	0	2131
	5	0	0	2131
	5	0	0	2131
	5	0	0	2131
7	0	-1824	1066	1248
	1	-1336	883	1248
	1	-941	701	1248
	2	-636	518	1248
	2	-422	336	1248

	3	-300	153	1248
	3	-269	-29	1248
	4	-330	-212	1248
	4	-481	-394	1248
	5	-724	-577	1248
	5	-1058	-759	1248
	6	-1483	-942	1248
	6	-2000	-1124	1248
	7	-2608	-1307	1248
	7	-3307	-1489	1248
	8	-4097	-1672	1248
	8	-4978	-1854	1248
	8	-5109	-1880	1248
8	0	-5109	1248	1880
	1	-4485	1248	1880
	1	-4173	1248	1880
9	0	-4173	1441	1737
	1	-3495	1270	1737
	1	-2903	1099	1737
	2	-2396	928	1737
	2	-1975	757	1737
	3	-1639	586	1737
	3	-1389	415	1737
	4	-1224	244	1737
	4	-1188	186	1737
10	0	-1188	215	1733
	1	-1080	215	1733
	1	-972	215	1733
	2	-865	215	1733
	2	-757	215	1733
	3	-649	215	1733
	3	-542	215	1733
	4	-434	215	1733
	4	-327	215	1733
	5	-219	215	1733
	5	-111	215	1733
	6	-4	215	1733
	6	0	215	1733